



عالم الذرة

مجلة هيئة الطاقة الذرية السورية

مجلة دورية تصدر سنّ مرات في السنة عن هيئة الطاقة الذرية في الجمهورية العربية السورية. وتهدف إلى الإسهام في نشر المعرفة العلمية باللغة العربية في الميدانين النووي والنووي وفي كل ما يتعلق بهما من تطبيقات.

تموز-آب 2002

السنة السابعة عشرة

العدد الثمانون

المدير المسؤول

الدكتور إبراهيم عثمان

المدير العام لهيئة الطاقة الذرية

هيئة التحرير

الدكتور توفيق قسام (رئيس هيئة التحرير)

الدكتور فؤاد العجل

الدكتور محمد قعقع

الدكتور محمد فؤاد الرباط

الدكتور أحمد الحاج سعيد

شروط الترجمة والتأليف للنشر في مجلة عالم الذرة

- 1- ترسل نسختان من مادة النشر باللغة العربية مطبوعتان بالآلة أو مكتوبتان بالحرر بخط واضح، على وجه واحد من الورقة، وبفراغ مضاعف بين السطور.
- 2- يُكتب على ورقة مستقلة عنوان مادة النشر واسم الكاتب وصفته العلمية وعنوانه مع ملخصين لها أحدهما بالعربية والآخر باللغة الإنكليزية حصراً، في حدود عشرة أسطر لكل منهما، ويطلب من كل من المؤلف والمترجم كتابة اسمه كاملاً، باللغتين العربية والإنجليزية، ولقبه العلمي وعنوان مراسلته.
- 3- يُقدم المؤلف أو المترجم في ورقة مستقلة قائمة بالعبارة التي تشكل الكلمات المفتاحية (Key words) والتي توضح أهم ما تتضمنه المادة من حيث موضوعاتها وغايتها ونتائجها والطرق المستخدمة فيها) وبما لا يتجاوز عشر عبارات باللغتين العربية والإنكليزية.
- 4- إذا سبق نشر هذا المقال أو البحث في مجلة أجنبية، ترسل الترجمة مع صورة واضحة عن هذه المادة المنشورة. ويستحسن إرسال نسخة الأصل المطبوع والأشكال (الرسوم) الأصلية، إن وجدت، ولو على سبيل الإعارة.
- 5- إذا كانت المادة مؤلفة أو مجمعة من مصادر عدّة، يذكر الكاتب ذلك تحت العنوان مباشرة كأن يقول «تأليف، جمع، إعداد، مراجعة...» ويرفق المادة بقائمة مرقمة للمراجع التي استقاها منها.
- 6- إذا تضمنت المادة صوراً وأشكالاً، ترسل الصورة الأصلية وكذلك الأشكال مخططة بالحرر الأسود على أوراق مستقلة، إلا إذا كانت موجودة في المادة المطبوعة بلغة أجنبية (كما جاء في الفقرة 4)، مرقمة حسب أماكن ورودها.
- 7- يرسل مع المادة قائمة بالمصطلحات العلمية المستخدمة فيها مع مقابلاتها الأجنبية إذا لم تكن واردة في معجم الهيئة للمصطلحات العلمية والتقنية في الطاقة الذرية، الذي تم نشره في أعداد المجلة (2-18).
- 8- تكتب المصطلحات وكذلك أسماء الأعلام باللغتين العربية والأجنبية عند ورودها في النص أول مرة ومن ثم يُكتفى بإيراد المقابل العربي وحده سواء أكان هذا المقابل كاملاً أم مختزلاً. وتتضمن في النص المؤلف أو المترجم الأرقام العربية 1، 2، 3، أيما وردت مع مراعاة كتابتها بالترتيب العربي من اليمين إلى اليسار. وإذا ورد في نص معادلة أو قانون أحرف أجنبية وأرقام فتكتب للمعادلة أو القانون كما في الأصل الأجنبي.
- 9- يُشار إلى الحواشي، إن وجدت، بإشارات دالة (* ، + ، x ، o ...) في الصفحة ذاتها، كما يشار في المتن إلى أرقام المصادر والمراجع المدرجة في الصفحة الأخيرة، وذلك بوضعها ضمن قوسين متوسطين [] .
- 10- تُرقم مقاطع النص الأجنبي والنص العربي بترتيب واحد في حالة الترجمة.
- 11- يرجى من السادة المترجمين مراعاة الأمانة التامة في الترجمة.
- 12- تخضع مادة النشر للتقييم ولا تُرد إلى أصحابها نشرت أم لم تنشر.
- 13- يمنح كل من الكاتب أو المترجم أو المراجع مكافأة مالية وفق القواعد المقررة في الهيئة.
- 14- توجه المراسلات باسم رئيس هيئة التحرير إلى العنوان التالي:

الجمهورية العربية السورية - هيئة الطاقة الذرية - مكتب الترجمة والتأليف والنشر - مجلة عالم الذرة - دمشق - ص. ب 6091

رسوم الاشتراك

الاشتراك السنوي للطلاب (200) ل.س - الاشتراك السنوي للأفراد (300) ل.س - الاشتراك السنوي للمؤسسات (1000) ل.س
الاشتراك السنوي للأفراد من خارج القطر العربي السوري (30) دولاراً أمريكياً. وللمؤسسات (60) دولاراً أمريكياً - تتضمن الاشتراكات أجور البريد

بالنسبة للمشاركين من خارج القطر يُرسل رسم الاشتراك إلى العنوان التالي:

المصرف التجاري السوري فرع رقم 13

مزة - جبل - ص.ب 16005

رقم الحساب 2/3012

أو بشيك باسم هيئة الطاقة الذرية السورية

يمكن للمقيمين داخل القطر دفع قيمة الاشتراك بحوالة بريدية على العنوان التالي:

مجلة عالم الذرة - مكتب الترجمة والتأليف والنشر - هيئة الطاقة الذرية السورية - دمشق - ص. ب 6091

مع بيان يوضح عنوان المراسلة المفضل

أو تدفع مباشرة إلى مكتب الترجمة والتأليف والنشر في الهيئة - دمشق - شارع 17 نيسان

سعر العسط الواحد

سورية 50 ل.س / لبنان 3000 ل.ل / الأردن 2 دينار / مصر 3 جنيه / الجزائر 100 دينار / السعودية 10 ريال و6 دولارات في البلدان الأخرى.

تود مجلة عالم الذرة إعلام الشركات والمؤسسات العاملة في قطاع التجهيزات العلمية والتجارية كافة والصناعات المتعلقة بها عن فتح باب الإعلان التجاري فيها. للمزيد من الاستفسار حول رغبتكم بنشر إعلاناتكم التجارية الكتابة إلينا على العنوان التالي:

هيئة الطاقة الذرية السورية - مكتب الترجمة والتأليف والنشر

دمشق ص.ب 6091 - الجمهورية العربية السورية

أو الاتصال على رقم الهاتف/61119267 - فاكس 6112289

في هذا العدد

المقالات

- 7 عرض لتطبيقات مقياسية جرعة الإشعاع باستخدام تيمولي د. سولبرغ، وآخرون
كود مونتي كارلو MCNP
ترجمة هيئة التحرير
- 29 معالجة السرطان باستخدام النظيرين Bi-213 و Ac-225 ك. أبوستوليس، وآخرون
في مداواة مناعية إشعاعية
ترجمة هيئة التحرير
- 35 تناول جذاعة سليكون يومياً: هل سيبعد عنا الطبيب؟ ليغ كانهام، روجر آستون
ترجمة هيئة التحرير

أخبار علمية

42. التوجه نحو الذهب
43. القوة الشديدة بازدياد.
45. التبديل السريع لأشعة-X.
46. إدخال المعادن في البوليميرات.
49. مفعول الضوء مع الماء.
50. مسارات جديدة بغية التوصل إلى النظرية النهائية.
52. التصادمات تتحسّن البرودة.
53. فيزياء كرة القدم

ورقات البحوث (أعمال باحثي الهيئة المنشورة في المجلات العالمية)

- 60 محاكاة عدم الاستقرار الترموهيدروليكي في مفاعلات علي حنون، أندرياس شافرات
البحث عالية التدفق باستخدام الكود ATHLET
- 69 أثر فعاليات تحميل الفسفات على البيئة د. محمد سعيد المصري وآخرون
البحرية القرية: الشاطئ السوري
- 74 تثبيت الآزوت الجوي في الحمص : تأثير الهيدروكينون د. فواز كرد علي
كمشط للبوريز على ثبات الإغناء بالنظير ^{15}N

التقارير العلمية (أعمال باحثي الهيئة غير المنشورة)

- 83 رصد الهزات الأرضية الصغيرة في محافظة اللاذقية د. مظهر باهري، محمد رضا سيناتي،
رياض الدراوطة، د. يانس ماكريس، د. يورك شتيكر

- 86 د. عبد الرحمن شريدة تطبيق تقنية النظائر في دراسة مصادر تغذية المياه الجوفية وملوحتها في منطقة الرصافة (حوض الفرات الأوسط - الضفة الشامية)
- 87 د. محفوظ البشير، د. جورج لحام تأثير المعالجة بأشعة غاما على الحمولة المكروبية والخصائص النوعية للعرق سوس (*Glycyrrhiza glabra L.*)
- 89 د. معتز زرقاوي، د. محمد راتب المصري، د. خلف خليفة القيمة الغذائية لنبات السيسبان (*Sesbania aculeata*) وتأثيره على الأداء التناسلي عند إناث الماعز الشامي
- 91 د. محمد العودات، د. نجم الدين الشرايبي م. سلوى كناكري تأثير إضافة الفسفوجبسوم إلى التربة في نمو وإنتاج بعض المحاصيل الزراعية الهامة وفي انتقال العناصر المشعة والنادرة والفلور إليها

كتب حديثة مختارة

- 94 (تأليف: كينيث س. ديفيس) ذروة هوبرت: النقص في كمية النفط العالمي على وشك الحدوث (عرض وتحليل: ستوارت يونغ)
- 94 (تأليف: ريتشارد ل. غاروين وجورج شارباك) الميغاواطات والميغاطنات: نقطة تحول في العصر النووي؟ (عرض وتحليل: ستوارت يونغ)
- 94 (تأليف: بيتر هوفمان) طاقة الغد: الهدروجين، الخلايا الوقودية والتوقعات بشأن كوكب أنظف (عرض وتحليل: ستوارت يونغ)
- 96 (تأليف: توماس كرمب) مختصر تاريخ العلوم: كما يُرى من خلال تطور الأدوات العلمية (عرض وتحليل: كيفن جونسون)

ملخصات باللغة الإنكليزية عن الموضوعات المنشورة في هذا العدد. 104.

يُسمح بالنسخ والنقل عن هذه المجلة للاستخدام الشخصي بشرط الإشارة إلى المرجع، أما النسخ والنقل لأهداف تجارية فغير مسموح به إلا بموافقة خطية مسبقة من الهيئة.

عرض لتطبيقات مقياسية جرعة الإشعاع باستخدام كود مونتي كارلو MCNP

تيموثي د. سوليرغ وآخرون
قسم علم الأورام الإشعاعية - المدرسة الطبية - لوس أنجلوس - كاليفورنيا
الولايات المتحدة الأمريكية

ملخص

إن لكود مونتي كارلو MCNP (مونتي كارلو للجسيمات المعتدلة) تاريخاً هاماً يرجع إلى السنوات الأولى من مشروع مانهاتن. ولقد استعمل MCNP حديثاً بنجاح لحل العديد من المشاكل في مجال الفيزياء الطبية. فقد استخدم MCNP بنجاح في تطبيقات المعالجة بالأشعة لحساب أطياف إشعاع الكبح bremsstrahlung spectra من مسرعات خطية طبية، ولنمذجة توزيعات الجرعة حول منابع المعالجة القصيرة ذات المعدلات العالية للجرعة، ومن أجل تقدير الخواص الجراحية لمانع مشعة جديدة مستخدمة في تشييع داخل الأوعية intravascular irradiation لمنع عود التضيق restenosis الذي يأتي عقب الرأب الوعائي angioplasty. كما استخدم MCNP أيضاً في تطبيقات المعالجة المناعية الشعاعية radioimmunotherapy وتطبيقات المعالجة بالأسر التروني في البورون. لقد استخدم للتنبؤ بتشيط الترونات السريعة للمواد المستخدمة في التدريع والمواد الحيوية. وهناك مجال يعد بالكثير من الناحية السريرية، هو مجال التخطيط للمداواة باستخدام المعالجة بالأشعة. وفي تطبيقات التشخيص، استخدم MCNP لنمذجة المساحات في التصوير المقطعي الطبقي المحوسب بأشعة x-ray computed tomography، ومساحات التصوير المقطعي الطبقي بالإصدار البوزتروني positron emission tomography، وذلك لحساب الجرعة التي تقدمها إجراءات CT، ولتعيين الخصائص المميزة للكواشف من نبائط الطب النووي. لقد استخدم MCNP لتعيين تدفقات الجسيمات حول نبائط المداواة بالمعالجة الشعاعية ولإنجاز حسابات التدريع في غرف المداواة بالمعالجة الشعاعية. تهدف هذه المخطوطة إلى تزويد القارئ بملخص شامل عن تطبيقات الكود MCNP في الفيزياء الطبية.

الكلمات المفتاحية: كود مونتي كارلو، MCNP، مجرعية الإشعاع، فيزياء طبية، تخطيط المعالجة، تطبيقات الجراحية.

تهد

ETRAN. جاء في كتاب فيتزجيرالد Fitzgerald براونيل Brownell و ماهوني Mahoney عام 1967 حول مقياسية الجرعة: "يبدو أن تقنيات مونتي كارلو قد تكون أسلوباً عاماً حسناً للاختيار في مسائل ذات منابع معقدة وأبعاد هندسية معتدلة" [4]. إن الملاحظة بأن تكون التطبيقات محدودة بالقول "عندما لا تكون التقلبات العميقة ذات أهمية أساسية"، تبين أن المؤلفين قدروا الصعوبات الموجودة، بما في ذلك طبيعة الطريقة المكثفة من الناحية الحاسوبية. في الوقت الذي شهدت فيه السنوات التي مرت منذ تطوير ETRAN تقدماً هائلاً في مجالات نقل الإشعاع، ومجرعية الإشعاع، وخوارزميات لحساب الجرعات، ظلت مقدرة طريقة مونتي كارلو بدون منازع. وآخر ما اقترحه موهان بأنه "... توجد إمكانية للتحسين في الحصلة السريرية إذا تحسنت الدقة في الجرعة بمساعدة محاكاة مونتي كارلو لنقل الإشعاع" [5].

تبنت عدد من الباحثين كود مونتي كارلو للجسيمات المعتدلة MCNP (Monte - Carlo N - Particle) كهيكل ينون عليه الجراحية والتطبيقات المخطط لها للمداواة بالمعالجة الشعاعية [1، 6، 7]. تم تبني نقل

إن تطبيق التقنية على مشاكل نقل الإشعاع يكاد يعزى في جميع الأحوال إلى عمل فرمي في أواخر الثلاثينيات من القرن الماضي. فقد كان تطوير القنبلة الذرية خلال الحرب العالمية الثانية، وكذا ظهور الحواسيب من الدوافع التي حثت وشجعت فرمي بالتعاون مع أولام Ulam، وفون نيومن von Neumann، وميتروبوليز Metropolis، وغيرهم على أن يعرضوا بنجاح استخدام التقنية لاقتفاء أثر الجسيمات المعتدلة عبر عدد من المواد [1]. ونظراً لكون تأثيرات الجسيمات المشحونة مع المادة أكثر حدوثاً وتعقيداً، فقد مر بعض الوقت قبل وضع برنجر Berger اللبنة الأولى في انتقال الجسيمات المشحونة [2]. واستناداً إلى هذا العمل، طُوِّر برنجر وسيلتزر Seltzer إثران ETRAN، وهو أول كود حاسوبي ذي هدف عام من أجل نقل الفوتونات والإلكترونات [3].

لقد كان معروفاً أن عمل برنجر قد يقدم حلاً لكثير من المشاكل التي تواجهه في مجرعية (مقياسية الجرعة) الإشعاع المؤيّن حتى قبل تطوير

محكم يمكن أداء MCNP من أن يقيس (يدرّج) بتناسب خطي مع عدد المعالجات المخصصة للغرض. إن MCNP مدغم على منظومات عديدة لأسلوب بناء الحواسيب وأنظمة تشغيلها بما في ذلك يونيكس و ويندوز TM (DOS). وأخيراً فإن تصوراً ثلاثي الأبعاد لهندسة MCNP ومسارات الجسيمات متاح من خلال تطبيق منفصل يدعى [13] S.ABRINA. إن الكود MCNP الحالي، وهو النسخة 4B، يعد من وجوه عدة قمة العمل الذي قام به فرمي Fermi وأولام Ulam وفون نيومان von Neumann وميتروبوليس Metropolis و بزرجر Berger و سلترز Seltzer. إن MCNP مدعوم بصورة فعالة من قبل المجموعة XCI في مختبر لوس ألاموس الوطني (www - xdiv. lanl. gov / XCI / PROJECTS / MCNP/).

يُقصد من هذه المخطوطة أن تكون بمثابة مراجعة شاملة لاستخدام كود MCNP في تطبيقات الجرعية الطبية. إذا رغب القارئ بمزيد من التفاصيل الخاصة عليه أن يرجع إلى المراجع في آخر المقال. وبالإضافة إلى ذلك هناك دراسة ممتازة عن تطبيقات مونتني كارلو في الجرعية (مقياسية الجرعات) الطبية قام بها أندريو Andreo [9].

المعالجة الإشعاعية بالخزم الخارجية

نمذجة السرعات وإنتاج إشعاع الكبح

يعد الحساب الدقيق لأطياف إشعاع الكبح شرطاً لحسابات مونتني كارلو عديدة أخرى في مجرعية الإشعاع الطبي. استخدم دي ماركو De Marco وآخرون كود MCNP لحساب أطياف إشعاع الكبح ذي الهدف الثخين من أجل إلكترونات واردة بطاقة 15 MeV على أهداف من Al و Be و Pb [14]. في ذلك الحين اندمج MCNP (نسخة 4A) والنسخة 1 من ITS المتعلقة بالنقل الإلكتروني [15]. ولقد زيد العدد المُنتقل default number للخطى الفرعية الإلكترونية إلى ستة أضعاف في كل مادة هدف كي نقل مأمكناً من الناتج الصناعي السطحي الذي ينتج في حبيبة عالية إلى حد غير واقعي من فوتونات أشعة الكبح الناتجة في الاتجاه المباشر. جرى تسجيل الحبيبة المتكاملة (المتجمعة) والطاقة الوسطى لكل طيف عند زوايا مختلفة بين 0 و 90 درجة. قورنت النتائج مع المعطيات المقبسة التي حصل عليها فاديغون Faddegon وآخرون وكذلك مع الحسابات المبكرة التي أنجزت باستخدام الكود EGS4 [16, 17]، ولخصت بالجدول 1. أما عند زوايا أقل من 60 درجة، فكانت الحبيبة المتكاملة المحسوبة باستخدام MCNP في حدود 6% من المعطيات المقبسة من أجل كل مواد الهدف وإن يكن تقدير MCNP عند زوايا أكبر، ومن أجل الهدف P_b بصورة خاصة، فيه مغالاة على القياس وكذلك على حسابات EGS4. من المحتمل أن يكون هذا عائداً إلى معطيات المقطع العرضي لإشعاع الكبح القديمة في النسخة 4B من MCNP. إن الحسابات التي تستخدم معطيات مقطع عرضي جديدة أو نقلًا إلكترونيًا محسّنًا للنسخة 4B يجب أن يتم إنجازها.

لقد أنجز سايرز Seibers وآخرون، حديثاً، مقارنة مفصلة بين EGS و MCNP 4B من أجل توليد التوزعات الفضائية لطور الفوتون [18]. إن توزعات إشعاع الكبح الذي ولدناه باستخدام كلا الكودين مستخدمين

الإلكترونات في MCNP في الأصل من ETRAN [3]. جرت مسبقاً حسابات قوى الإيقاف الصدمي على شبكة ذات حدود تقابل خطي الطاقة العظمى. هذه الخطى لها طول s يخضع للعلاقة:

$$\frac{E_n}{E_{n-1}} = k, \quad (1)$$

$$k = 2^{\frac{1}{n}}$$

كما أن فقد الطاقة المنتشر بغير نظام، من جداول بورش - سوبان Borsch - Supan لتوزع لاندائو / بلونك - لايزغانغ، قد جرى اختياره عند كل خطوة طاقة كبرى. تقسم خطى الطاقة الكبرى أيضاً إلى خطى فرعية بطول m / s، حيث m لها قيمة بين 2 و 15 (أو كما يعرفها المستخدم)، اعتماداً على المادة. تُرتب الانحرافات الزاوية، المأخوذة من توزع غود سميت - ساندرسون، وجداء كل الجسيمات الثانوية في عتبات عند كل خطوة فرعية.

بواسطة النسخة 4B، يُظهر MCNP الفيزياء الفوتونية مكافئة لنسخة سلسلة تايجر المتكاملة Integrated Tiger Series (ITS) (النسخة 3.0) [6]. وبواسطة النسخة 4C، المنشورة حديثاً، أدخلت زيادات ملحوظة في الفيزياء الإلكترونية كي "تجعل MCNP أكثر تماشياً مع سلسلة تايجر المتكاملة" [8]. وهذا يتضمن تحسينات على قوى الإيقاف المشعة وإنتاج إشعاع الكبح. بالرغم من أن صياغة غودسميت - ساندرسون للتبعثر الإلكتروني المتعدد في ETRAN / ITS اعتبرت متفوقة على الطرق الأخرى، إلا أنه لوحظ بعض النقص، وعلى الأخص فيما يتعلق بفقد الطاقة المنتشر بصورة غير منتظمة [9، 10]. ففقد الطاقة غير المنتظم في التطبيق الأصلي جرى تجميع عتباته واختبارها بشكل غير كاف من تقريب بلونك - لايزغانغ لنظرية لاندائو. ولقد تناولت النسخ المتأخرة من ITS [11] هذا النقص، وطُبّق ذلك حديثاً في MCNP [6، 12].

إن لـ MCNP عدة مزايا تجعله جذاباً لتطبيقات الفيزياء الطبية. فمجال النقل الفوتوني والإلكتروني يمتد من 1keV إلى 100MeV. كما يمكن نمذجة ظواهر الطاقة المنخفضة المهمة بدقة، مثل إنتاج ونقل أشعة X مميزة وشلالات أوجيه. وينقل الكود أيضاً الترونات، مع أن الاقتران لا يمتد إلا إلى الترونات الناتجة عن الفوتونات. إن إنتاج الترونات الفوتونية لم يُنفذ إلا حديثاً في MCNP، رغم أنه غير مدعوم الآن في الإطلاقات الرسمية. يدعم MCNP عدة خطط هندسية في وقت واحد؛ فالهندسة التوافقية combinatorial التي تُجمع سطوح الدرجة الأولى والثانية والأشورة الإهليلجية من الدرجة الرابعة تعد مناسبة بصورة مثالية لنمذجة السرعات، في حين يحاكي مظهر الشبكة المتداخلة تخيلات طبية قائمة على الفوكسيلات أو عناصر الحجم voxel - based medical imagery. يمكن محاكاة حزم المعالجة بالأشعة الخارجية المتعددة باستعمال ميرة البني المتكررة. فكل التعليمات الواردة من المستخدم، بما فيها تركيبة المنبع، وهندسة الهدف، ومواصفات المادة، والوسطاء الفيزيائية، وخيارات الانحياز، تنشأ من ملف نص واحد؛ وليس هناك حاجة لتشغيل برمجيات حاسوبية من قبل المستثمر. ومع ذلك فإن التعديلات على الكود تتم بسهولة من خلال مساعدة المعالج الأولي Pre-processor PRPR. إن إمكانية توزيع حساب ما على عدة معالجات حاسوبية موصولة وصلًا غير

الجدول 1- حصيله إشعاع الكبيح المتكامله (في Sr^{-1}) حسب باستخدام كل من MCNP 4A و EGS4 و قاسها فاديغون وآخرون [17]. مأخوذة من دي ماركو وآخريين [14].

| تجريبياً | EGS4 | MCNP | () الزاوية | الهدف |
|-----------------------|-----------------------|-----------------------|-------------|-------|
| 2.73×10^0 | 2.60×10^0 | 2.74×10^0 | 0 | Be |
| 2.14×10^0 | 2.00×10^0 | 2.10×10^0 | 2 | Be |
| 6.30×10^{-1} | 5.69×10^{-1} | 6.19×10^{-1} | 10 | Be |
| 9.49×10^{-2} | 8.65×10^{-2} | 9.52×10^{-2} | 30 | Be |
| 1.06×10^{-2} | 9.89×10^{-3} | 1.07×10^{-2} | 90 | Be |
| 3.42×10^0 | 3.27×10^0 | 3.36×10^0 | 0 | Al |
| 2.78×10^0 | 2.63×10^0 | 2.68×10^0 | 2 | Al |
| 1.06×10^0 | 1.00×10^0 | 1.06×10^0 | 10 | Al |
| 2.65×10^{-1} | 2.47×10^{-1} | 2.71×10^{-1} | 30 | Al |
| 2.87×10^{-2} | 2.51×10^{-2} | 3.38×10^{-2} | 90 | Al |
| 2.92×10^0 | 3.07×10^0 | 2.91×10^0 | 0 | Pb |
| 2.48×10^0 | 2.50×10^0 | 2.40×10^0 | 2 | Pb |
| 1.20×10^0 | 1.21×10^0 | 1.14×10^0 | 10 | Pb |
| 4.47×10^{-1} | 4.50×10^{-1} | 4.35×10^{-1} | 30 | Pb |
| 5.19×10^{-2} | 5.33×10^{-2} | 5.94×10^{-2} | 90 | Pb |

(الشكل 1). تستخدم مقدرات الحوادث اللاحقة ("الكواشف" في MCNP) بشكل واسع لتسجيل الطيف الناتج نظراً للكفاءة المتأصلة المصاحبة لاستخدامها. أنجزت سلسلة أخرى من الحسابات لتقدير واختبار جودة الأطياف بمقارنة القياس بمعياري مرجعي. ويتألف هذا في الحالة العامة من جرعة العمق على المحور المركزي من الجانبيات والتي تتباعد عن المحور في الماء. ونظراً للتناقض والتضارب في المواصفات التي تزود بها الشركة الصانعة، فإنه ليس غريباً أن نجد بعض الشيء من عدم التوافق بين جرعة العمق المحسوبة في البدء وبين القياس. وهكذا فإن هذه العملية المؤلفة من خطوتين للحصول على أطياف الفوتونات ولجعل هذا الأمر مؤكداً، تُعدّ عملية تكرارية بمعنى أن طاقة الإلكترون على الهدف تُغيّر في محاكاة مونتني كارلو حتى يتحقق التوافق مع المعطيات المقيسة.

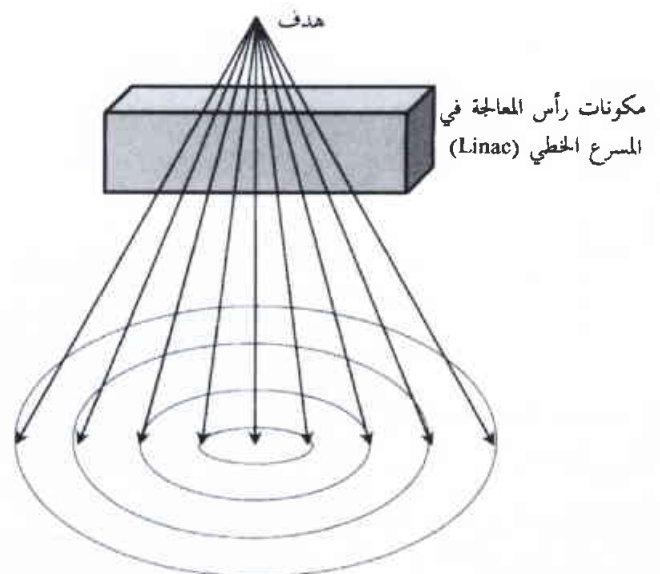
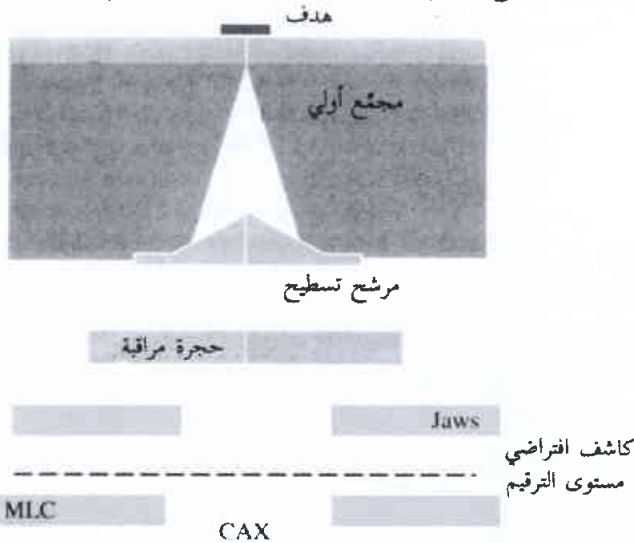
أنجز عدد كبير من الباحثين حسابات لأطياف إشعاع الكبيح من مسرعات طبية باستخدام MCNP. يبين الشكل 2 أطيافاً لخزمتين من أشعة X مسرعتين بـ 6 MV و 25 MV للمعالجة الإشعاعية قام بحسابها دو ماركو وآخرون [19]. وبالرغم من كون الطاقة الاسمية للإلكترون حسب توصيف الشركة الصانعة هي 6 و 25 MeV من أجل نمطي الطاقة المنخفض والعالي على الترتيب، فإن المحاكاة تطلبت طاقة 6.8 MeV و 22.0 MeV للحصول على توافق جيد مع القياس.

لقد خضعت هذه الأطياف لمقارنات مرجعية مكثفة وهي تستخدم الآن في تطبيقات مونتني كارلو المخطط لها للمداواة بالمعالجة الإشعاعية (في الأسفل) [19، 20]. لقد استخدم لويس Lewis وآخرون MCNP لإنجاز توصيفات مسرعات مماثلة [20].

وبأسلوب مماثل، حصل أرييلانو Arellano وآخرون، وتشيتي Chetty وآخرون على أطياف لمسرّع خطي فريد (Novalis) مخصص لتطبيقات المعالجة بالأشعة (الشكل 3) [22، 23]. تتمتع هذه النبيطة (الجهاز) بمرشح للتسوية والتسطيح (تنعيم) أصغر بشكل ملحوظ، وقد صُمم ليزيد من

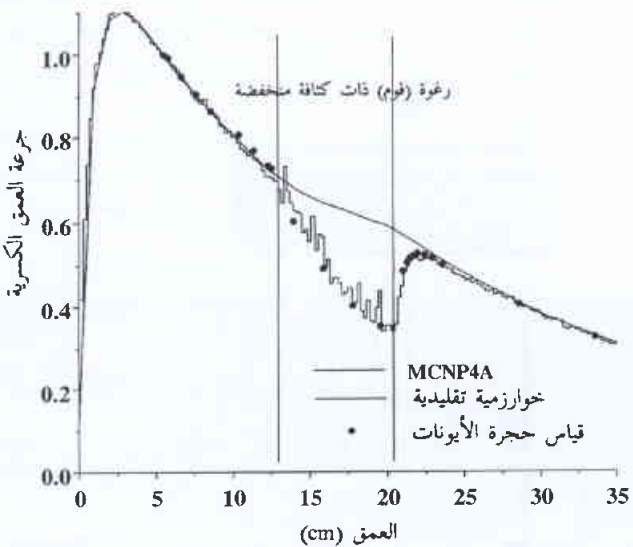
نموذجاً تفصيلياً لمسرّع خطي تجاري (فاربان Varian 2100C، منظومات فاربان لعلم الأورام Oncology، بالو ألتو CA، Palo Alto). وفي حين لوحظت اختلافات في إنتاج إشعاع الكبيح المطلق بين الكودين، فإن المنظرين الجانبيين لكل من الجرعة في الأعماق والبعد عن المحور المحسوسين من أجل الخزمتين الناتجتين 6 و 18 MeV كانا على وفاق تام.

ولإنجاز حسابات إشعاع الكبيح من أجل مسرعات خطية طبية، لا بد من معرفة مواصفات تفصيلية لمكونات المسرّع من الشركة المصنّعة. وفضلاً عن ذلك، يجب على الشركة الصانعة أن تقدم توزيع الطاقة للإلكترونات على الهدف، علماً بأن الطاقة الاسمية فقط هي التي تعطي في أغلب الأحيان. وبعد ذلك يُتمدج المسرّع حسب كود مونتني كارلو ثم تُؤدّ فوتونات إشعاع الكبيح الناتج ثم يُقنفي أثرها عبر المكونات المختلفة

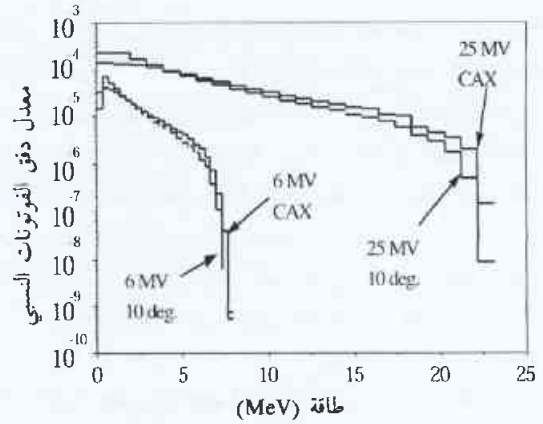


الشكل 1- أطياف أشعة X لمسرعات خطية طبية ذات طاقة عالية تم الحصول عليها بنقل إلكترونات على هدف ومتابعة أطياف أشعة الكبيح الناتجة عبر مركبات متعددة (إلى اليسار). MCNP تظهر "كواشف حلقة"، يطلق عليها بصورة عامة اسم مقدرات الحادثة التالية (إلى اليمين) من أجل تسجيل أطياف أشعة X.

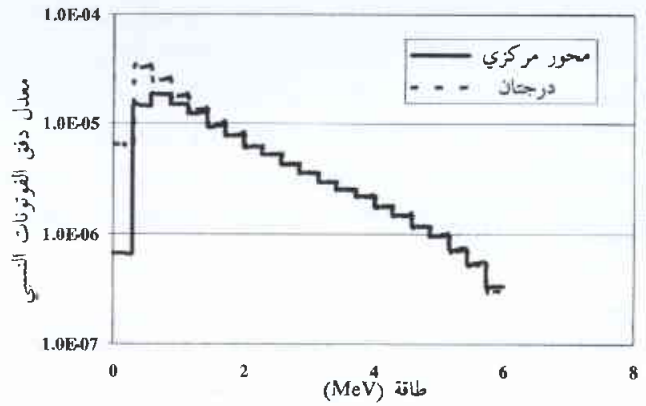
المحور المركزي وجانبيات الاعتماد عن المحور. فضلاً عن ذلك، فإن طريقة مونتي كارلو تُستخدم كثيراً للحصول على معطيات وذلك عندما لا تكون القياسات ممكنة أو عندما يوجد ترتيب كبير في المعطيات المقیسة. أوضح صولبرغ Solberg وآخرون أنه من الممكن أن يكون MCNP أداة قيمة في التنبؤ بالجرعة بالقرب من السطوح البينية (سطوح التماس) وفي مناطق تعاني نقصاً في التوازن الإلكتروني [33]. يوضح الشكل 4 فقدان التوازن وفق المحور المركزي الذي يمكن أن يحدث عندما تواجه حزم الفوتونات مناطق ذات كثافة منخفضة. قارن لوف Love وآخرون جرعة العمق المحسوبة في الماء من عدة كودات لمونتي كارلو بما فيها EGS4 والنسختين الأكثر حداثة من MCNP، والأحداث منهما (MCNP 4B) مستخدمين خوارزميتين مختلفتين لفهرسة الطاقة energy indexing [34]. استخدمت منابع لأشعة X أحادية الطاقة تعطي 1.25 و 1.9 و 3.0 ميغا إلكترون فولط (MeV) وذلك كي تقرب حزم المعالجة الإشعاعية لأطيف إشعاع الكبح من إشعاع الكوبالت Co - 60 والإشعاعين الناتجين من التسريع بـ 6 و 10 MV على الترتيب. سُجّلت الجرعة كتابع للعمق في شبح مائي محاكى، ثم قلبت إلى جرعة لكل سجل زمني (تاريخ) لتسهيل المقارنة بين الكودات. وفيما عدا الجرعة القصوى، كان الاتفاق بين الكودات الثلاثة عند كل الطاقات المحاكاة ضمن الأرتياب (عدم اليقين) الإحصائي لحسابات مونتي كارلو (<2%). أدى استخدام خوارزمية فهرسة طاقة مغتفلة في MCNP، داخل منطقة التراكم، إلى جرعة محسوبة هي أقل قليلاً مما تعطيه كلٌّ من EGS4 أو MCNP ذاتي فهرسة الطاقة المحسنة. كما لاحظ مؤلفو هذا المقال أنه من أجل الهندسات البسيطة التي استخدموها في محاكياتهم، كانت EGS4 أسرع من MCNP بحوالي 50 إلى 80 في المائة.



الشكل 4- علامة مرجعية benchmark لجرعة العمق من أجل حزمة فوتونات 10 MV تتعرض شبحاً مائياً صلباً يحتوي على منطقة ذات كثافة منخفضة. يبدو القياس وحسابات مونتي كارلو (MCN04A) على توافق ممتاز بينما تخفق خوارزمية تقليدية (EgTAR) في تقدير دور المنطقة ذات الكثافة المنخفضة بشكل ملائم. مأخوذة من دي ماركو وآخرين [19].



الشكل 2- أطيف أشعة X من أجل حزمتين اسميتين 6 و 25 MV أنتجهما المسرع الخطي Philips SL-25. مأخوذة من دي ماركو وآخرين [14].



الشكل 3- أطيف أشعة X من أجل حزم اسمية ذات 6MV أنتجها مسرع نوباليز Novalis الخطي. مأخوذة من تشيتي وآخرين [23].

خرج الإشعاع. وفي النتيجة تكون الحزمة أكثر نعومة من الحزم في السرعات الأخرى التي تستخدم الـ 6MV، بطاقة وسطى تبلغ 1.67 MeV على امتداد المحور المركزي و 1.40 MeV بعيداً عن المحور.

تطبيقات المعالجة الإشعاعية

كان مكّي Mackie وباتيستا Battista [24] أول الداعين إلى استخدام طرائق مونتي كارلو في تطبيقات المعالجة بالأشعة الحديثة. ومنذ ذلك الحين، ظل تطبيق أساليب مونتي كارلو على تخطيط المداواة بالمعالجة الإشعاعية الموضوع الذي نال قسطاً كبيراً من المناقشة والتفكير. هناك العديد من المراكز العلمية بما فيها UCLA، وجامعة ستانفورد، والكلية الطبية في فيرجينيا (MCV)، ومختبر لورنس ليفرمور الوطني، ومجلس البحث الوطني في كندا (NRCC) وآخرون، تلعب دوراً رائداً في تطوير قدرات طريقة مونتي كارلو في التخطيط للمعالجة، رغم أن المتاجرة (التجيز) ذات الانتشار الواسع تبقى بعيدة عدة سنوات [5، 19، 25 - [32].

إن تطبيقات مونتي كارلو في المعالجة الإشعاعية بالحزم الخارجية قد تضمنت تاريخياً حساب وسطاء الحزمة العيارية أمثال جرعة العمق على

الحزم الإلكترونية

عند تطبيق طرائق مونت كارلو على المعالجة الإشعاعية، تركز القسم الأعظم من العمل على الحزم الإلكترونية. وتلك هي الحال مع مشاريع عديدة تابعة لمؤسسات عدة من أواخر الثمانينيات والتسعينيات من القرن الماضي، و أوميغا OMEGA، و بيم BEAM، و MMC [27، 29، 31]. إن كلا المشروعين، إضافة إلى القدر الكبير من العمل اللاحق، مبني على كود EGS. وعلى العكس من ذلك، لم ينجح باستخدام MCNP إلا القليل نسبياً.

قدم ما Ma وجيانغ Jiang [35] حديثاً مراجعة شاملة عن تطبيقات مونت كارلو على الحزم الإلكترونية المنمذجة من سرعات خطية طيبة. في حالة MCNP هناك مراجع قليلة نسبياً. أما لوف وآخرون فقد استخدموا EGS4 و MCNP - 4B لحساب جرعة العمق على المحور المركزي في الماء من أجل حزمة إلكترونية بطاقة 10 MeV [34]. عند تشغيل MCNP في النمط المُتفَتل default mode، لاحظ مؤلفو المقال جرعة سطحية أدنى وتغلفلاً أعمق بالمقارنة مع EGS4، وهذه ظاهرة ترجع إلى فهرسة طاقة غير صحيحة imcorrect energy indexing كما أشار جيراج Jiraj وآخرون [36] من قبل. وعندما استخدمت خطة فهرسة الطاقة المحسنة، اتفقت EGS4 و MCNP في حدود الارتياح الإحصائي للحسابات. أما الاتفاق مع BJR - 25 عند D50 (وهو العمق الأقصى بجرعة 50%) فهو في حدود 0.5%.

أنجز جيراج وآخرون دراسة مماثلة من أجل حزمتين إلكترونيتين طاقتاهما 6 و 20 MeV [36]. لاحظ المؤلفون ظواهر مماثلة بالنسبة للنقل الإلكتروني وفق MCNP. عند الطاقة 6MeV، تم تقدير فقد الطاقة بواسطة MCNP - 4A و MCNP - 4B تقديراً منخفضاً باستخدام فهرسة الطاقة المُتفَتلة (MCNP DEF default energy indexing)، فتتج عن ذلك حزمة كانت متغلغلة كثيراً عند مقارنتها مع EGS4 ومع القياس. و يختبر MCNP - 4A بصورة غير صحيحة عينات ذات انتشار غير منظم للطاقة، في حين استخدم MCNP DEF الطريقة الأقدم لفهرسة الطاقة. إن شكلية ETRAN من أجل الانتشار غير المنتظم للطاقة في MCNP - 4A تقدر فقد الطاقة تقديراً بخساً، وقد وُصِفَت من قِبَل [37، 10]. ولكن باتباع خطة فهرسة الطاقة المحسنة في MCNP (يسمى المؤلفون هذه MCNP ITS من أجل فهرسة النمط ITS)، فإن حسابات MCNP على وفق ممتاز مع القياس. وبخصوص الإلكترونات بطاقة 20 MeV، فإن MGS4 و MCNP ITS كانتا أيضاً على اتفاق جيد.

أنجز جيراج وآخرون أيضاً سلسلة من الحسابات لتبعثر الإلكترون الراجع electron backscatter بالقرب من السطوح البينية لكل من الهواء أو النحاس أو الرصاص والماء الصلب [36]. تمت القياسات في حزمة إلكترونية طاقتها 20 MeV باستخدام TLD وحجرة تأين ذات صفائح متوازية. عملت محاكيات EGS4 ومونت كارلو MCNP - 4B على نمذجة TLDs واستخدمت طيف الإلكترون / الفوتون معاً. عُرف عامل

التبعثر الراجع للإلكترون electron backscatter (EBF) factor بأنه نسبة الجرعة المقدمة إلى TLD مع وبدون لانجانسية الرصاص. يلاحظ المؤلفون أن الاتفاق بين كل نسخ MCNP والقياسات جيد بالرغم من أن حساب جرعة العمق تم بصورة غير صحيحة في النسخ المبكرة ل MCNP. كما يلاحظ المؤلفون أيضاً أن حسابات EGS4 اتفقت بصورة حسنة مع القياس بالقرب من سطحي تماس الهواء / الماء و النحاس / الماء، لكن EGS4 أعطت تقديراً أدنى ل EBF (عامل التبعثر الراجع للإلكترون) عندما استخدم الرصاص. يلخص الجدول 2 نتائج حساباتهم وتجارب TLD.

مع التأكيد المضاف. على النقل الإلكتروني في النسخ الحديثة من MCNP، يُصحح الفارئ بالعودة إلى التوثيق في سلسلة ITS للكودات [38]، إضافة إلى العمل الأكثر حداثة على MCNP [39]. هناك دراسة (مناقشة) ممتازة عن النقل الإلكتروني في النسخ المبكرة ل ETRAN و ITS يمكن إيجادها في الوقائع Proceeding التي نشرها جنكينز Jenkins ونلسون Nelson و رندي Rindi [40].

حزم الفوتونات

إن استخدام MCNP من أجل التخطيط لمعالجة إشعاعية بالفوتونات قائمة على CT قد سُرح من قِبَل دو ماركو وآخرين، وولاس Wallace وألن Allen، وحديثاً جداً من قبل تشيتي [19، 20، 23، 32]. كتب وُلاس وألن كود FORTRAN خصيصاً لإنشاء فوكسيالات (عناصر الحجم) Voxels مستخدمة على هندسة توافقية للكود MCNP النموذجي. وهذا مماثل للطريقة التي استخدمها زامينهوف Zamenhof وآخرون في تطبيقات المعالجة بأسر النيوترونات في البورون (انظر أدناه) [41]. تم تعيين التركيب العنصري والكثافة بناء على عدد CT وفق تقرير ICRU رقم 46. أنجزت معالجات أولية أكثر لفصل الهواء المحيط عن فوكسيالات ذات كثافة مماثلة ضمن الرتبة. أنجزت عملية النقل باستخدام نسخة سابقة من MCNP (هي النسخة 3A). ولما كانت النسخة 3A لاتنقل إلكترونات، فقد سجل معدّل دفق fluence الفوتونات في كل فوكسيلا وُلّفَ بعامل كرما KERMA مناسب. كان يلزم 10 ساعات تشغيل تقريباً للحصول على انحراف معياري قدره 5% أو أقل في كل فوكسيلا. لقد لاحظ باحثون آخرون أن الانحرافات المعيارية الأصغر قد تكون ضرورية لإنتاج "توزعات أملس أو أنعم".

استفاد دوماركو من وجود هندسة "شبيكة" ل MCNP، وهي المستخدمة تقليدياً لنمذجة عناصر المفاعل النووي، كي يسهل استخدام تخيلات طبية مبنية على الفوكسيالات voxel-based medical imagery.

الجدول 2- عوامل التبعثر الراجع للإلكترونات بالقرب من السطح البيني ل رصاص / ماء صلب حسب استخدام EGS4 و MCNP وقيست باستخدام TLD. مأخوذة من جيراج وآخرين [36].

| موضع TLD من Pb (mm) | موضع EBF (MCNP) | EBF (EGS4) | EBF (مقياس) |
|---------------------|-----------------|-------------|-------------|
| 0 | 1.41 ± 0.01 | 1.34 ± 0.01 | 1.43 ± 0.02 |
| 3 | 1.23 ± 0.01 | 1.20 ± 0.01 | 1.25 ± 0.02 |
| 3 | 1.22 ± 0.01 | 1.17 ± 0.01 | 1.20 ± 0.02 |
| 3 | 1.16 ± 0.01 | 1.18 ± 0.01 | 1.22 ± 0.02 |

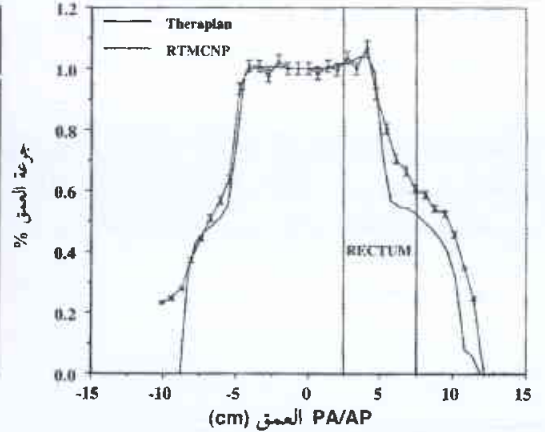
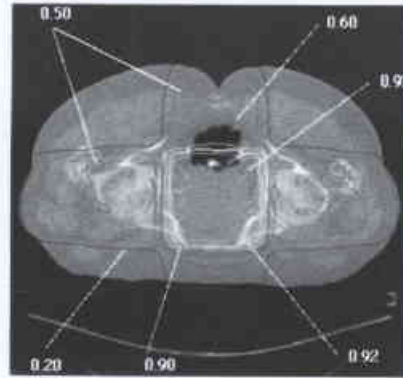
كما أن دوماركو وآخرين أدخلوا تعديلات هامة على كود MCNP ليجعلوا النقل الفوتوني أمثلياً عبر هندسة الشبكة [19]. وبالإضافة إلى ذلك فإنه يسمح للمستخدم أن يحدد فقط تلك الفوكسيالات الخاصة التي ستسجل فيها الجرعة. ففي تطبيقات المعالجة بالأشعة حيث نرغب أن يكون فصل (مَيّ) الجرعة عالياً، والفوكسيالات قد تكون من مرتبة 1mm، فإن تعديلات التقفي والتسجيل قد أدت إلى زيادة في السرعة تصل حتى 10^3 .

طور تشيتي وآخرون، معتمدين على عمل دوماركو وآخرين، منبع فضاء طوري معتمداً generalized phase - space source لمحاكاة تشكيل الحقل، من بين الأشياء الأخرى، مستخدماً مجمعات (مسدّات) متعددة الوريقات multileaf collimator ومخططات (خراط) ذات شدة كيفية كتلك التي تستخدم في المعالجة الإشعاعية المعدلة الشدة (IMRT) intensity modulated radiotherapy [20, 23]. إن تسجيل طيف أشعة X يتم بطريقة مشابهة للطريقة الموصوفة أعلاه. وعلى كل حال، فإن قيم معدل الدفق النسبي تؤخذ بالاستقراء الداخلي من الكواشف الحلقية في الفضاء الطوري إلى شبكة ديكارتية باستخدام تحويل بسيط للإحداثيات القطبية. يتم الحصول على معدل الدفق النسبي لمناطق واقعة بين كواشف حلقية من خلال استقراء داخلي خطي [انظر الشكل 6].

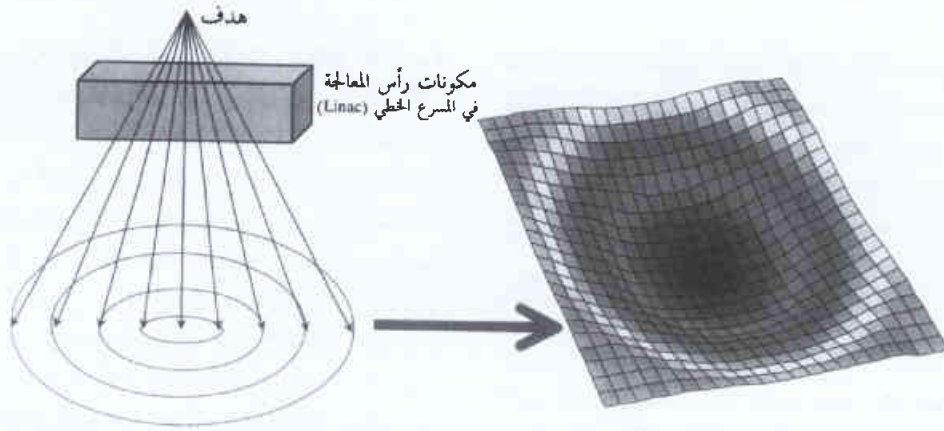
يخصص كل جسيم منبع يبدأ من منبع فضاء طوري بموضع (x, y, z) باعتيان تابع (دالة) توزيع تراكمي مناسب (CDF) cumulative distribution function بدلاً من شبكة معدل الدفق الافتراضي. يبين الشكل 6 شبكة معدل الدفق الأولية من أجل حزمة اسمية من الفوتونات GMV. هناك تابع توزيع تراكمي (CDF) آخر أنشئ بأسلوب مماثل يستخدم ليعاين طاقة الجسيمات. يتم معاينة اتجاه جسيمات المنبع بفرض أن كل الجسيمات تنشأ من الهدف. وبمجرد الحصول على توابع التوزيع التراكمية (CDFs) اللازمة، يصبح باستطاعة المرء أن يشكل منبع الفضاء الطوري كي يتوافق مع مواصفة الحزمة الفيزيائية (المادية) وذلك بتخصيص قيم معدل دفق نسبي مناسبة لعناصر الشبكة المقابلة. ففي الحقول المعروفة بمجمع متعدد الوريقات، على سبيل

المثال، يمكن استخدام قيمة 1.0 لتحديد الحقل المفتوح، في حين يمكن استخدام القيمة 0.01 (مُعَيّن أثناء القياس) لتقبر عن التسرب خلال المجمعات (الشكل 7). تمت تحسينات أخرى قام بها كاتبو هذا المقال وذلك ليأخذوا بالاعتبار مركبة المنبع البؤرية الإضافية وكذلك آثار التبعر من التجميع الثالثي (من المرتبة الثالثة).

كما قام دوماركو وآخرون وتشيتي وآخرون بعمل تعديلات على كود MCNP لزيادة تحسين الأداء [20, 23]. ففي البداية، طُبق المؤلفون طريقة النقطة المحفّضة cut - point method لتقليل cut - point method من CDF [42]. وقد أدى هذا إلى



الشكل 6- رسم بياني لترتيب العلاج رباعي الحقل بالأشعة لسرطان الموءة حسب استخدام MCNP (إلى اليسار). جانبية شاقولية (إلى اليمين) تقترح بأن فروقاً ملحوظة يمكن أن توجد بين الحسابات التقليدية وحسابات موتني كارلو، وبخاصة بالقرب من مناطق نسبها غير متجانس وهي في هذه الحالة بنية أساسية محددة للجرعة. مأخوذة من دي ماكو وآخرين [19].

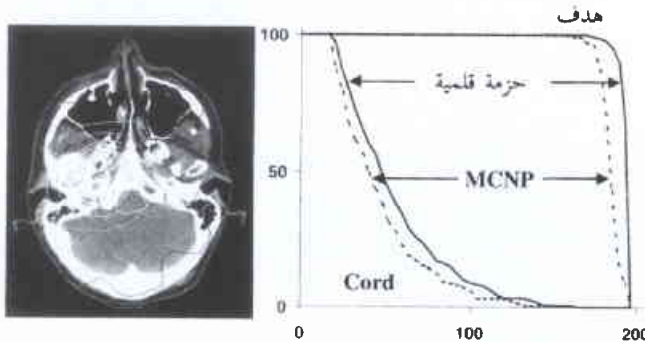


الشكل 6- معدل الدفع المتناظر بصورة دورانية مرسوم على شبكة ديكارتية. إن معدل دفع الفوتون أخفض على امتداد CAX الحزمة بالنسبة لأطراف الحزمة نظراً لوجود مرشح التوسيع ذي الشكل المخروطي. مأخوذ من تشيتي [23].

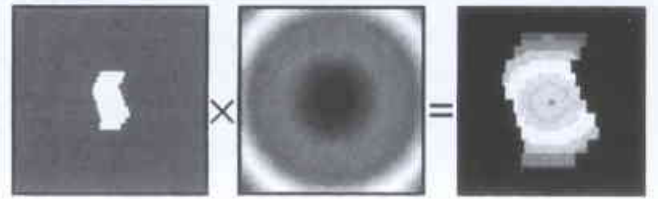
من مسرع ميكروترون حلبة السباق racetrack microtron ذي الطاقة 50 MeV [44]. ولما كانت الفوتونات الناتجة قد نُقلت عبر نموذج لمريض، فإن إنتاج الترونات الفوتونية قد عيّن تحليلاً بناءً على توزع الطاقة الناتجة للفوتونات في النسيج. استعمل MCNP في محاكاة لاحقة لينقل الترونات الفوتونية ونموذج المريض وتسجيل مساهمة الجرعة بالنسبة لجرعة من الفوتونات الأولية. قدّر مؤلفو هذا المقال مساهمة الجرعة في نسيج طري من ترونات فوتونية والنوى الخفيفة الثانوية بحوالي 0.15 ± 0.08% من الجرعة الفوتونية القصوى.

* جراحة إشعاعية دقيقة ومجسمة stereotactic radiosurgery

أُنجز صولبيرغ Solberg وآخرون سلسلة مكثفة من العلامات المرجعية لكود MCNP4A من أجل حزم فوتونية صغيرة (قطرها بين 5 - 40 مليمتراً) كتلك التي تستخدم في الجراحة الإشعاعية وتستعمل تكتيكاً يسمح بتحديد الموضع تحديداً دقيقاً stereotactic surgery. تبدي الحزم الفوتونية الصغيرة صعوبات خاصة بالنسبة للقياس وذلك نظراً للكواشف ذوات الحجم المحدود وكذلك بسبب فقدان التوازن الإلكتروني (تبعثر جانبي) على طول المحور المركزي. يبين الشكل 9 مقارنة لجرعة عميقة بين



الشكل 8- خطة معالجة بطريقة مونت كارلو ذات 17 حقلًا من أجل هدف هو الرأس والرقبة (إلى اليسار). وكما يشير الرسم البياني لمقادير الجرعات (إلى اليمين) توجد اختلافات لا يستهان بها بين خطة مونت كارلو وتلك التي حسب استخدام خوارزمية حزمة قلمية تجارية. من تشيتي وآخرين [20].



الشكل 7- حزم شكلت بصورة غير منتظمة يمكن نمذجتها بضرب شكل الحقل مع خارطة معدل الدفع. من تشيتي وآخرين [23].

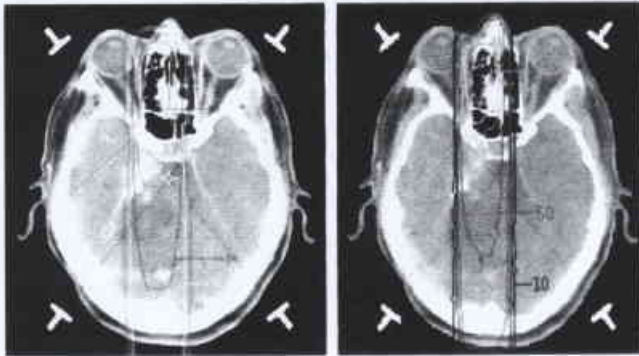
تخفيض في زمن التشغيل بلغ أربعة أضعاف. ثانياً، طبق المؤلفون خطة تبعثر دلتاوية (وتعرف أيضاً باسم تبعثر الدجاجة woodcock scattering) من أجل النقل الفوتوني في MCNP [43]. ينشطر المقطع العرضي للتأثر في تبعثر الأشعة الدلتاوية إلى مقطعين حقيقي وتخييلي. فمن أجل التصادم المسجل بأنه تخيلي، لا تتغير الطاقة ولا اتجاه الجسم. إن الإسراع في حالة التبعثر الدلتاوي يعتمد اعتماداً كبيراً على حجم الفوكسيالات، بدءاً من أكثر من 100 لفوكسيالات بطول 0.5 mm على أحد الجانبين، إلى حوالي 20 لفوكسيالات بطول 1 cm.

يبين الشكل 8 مثلاً لخارطة معالجة مونت كارلو وقد وُلدت باستخدام MCNP معزز ل تشيتي دي ماركو، وبعدها تدخلت مع منظومة تخطيط تجارية (Theraplan Plus™). تحاكي الخطة شكلاً مجسماً دقيقاً زائفاً ل 17 حزمة شكلت كل حزمة منها لتلائم مسقط ما تراه الحزم من الورم beams - eye - view projection. إن المضامين السريرية لتخطيط المعالجة بكود مونت كارلو واضحة ويئة في الرسم البياني النسيجي لمقادير الجرعات dose - volume histogram. تتنبأ خوارزمية مونت كارلو بجرعة هدف أخفض (وجرعة للجل الشوكي أخفض) من خوارزمية حزمة القلم التجارية.

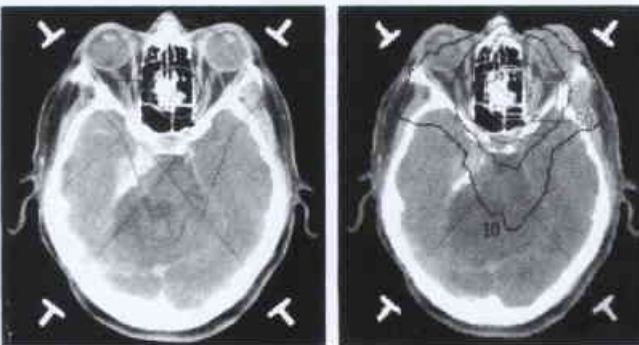
عند طاقات عالية للفوتونات، يصبح توليد الترونات الفوتونية Photoneutron والمساهمة الناتجة للجرعة المنتصة في مريض أمراً ذا أهمية متزايدة. يُعد MCNP أداة مثالية للبحث عن آثار هذه الطاقات العالية. نمذج غودوسكا وآخرون Gudows Ket al إنتاج إشعاع كبح

* هي الجراحة التي تعنى بالوضع الدقيق للمسار وسواها داخل الدماغ مستخدمة تكتيكاً مجسماً.

غرار منظومة التخطيط لمعالجة الجراحة الإشعاعية (SRS) السريرية ذات التكتيك الثلاثي الأبعاد، يقدم المستخدم موضعاً متساوياً المركز، وزاوية الجدول، وزوايا بدء المشند (الجس) وتوقفه، وترايد القوس، وحجم الحقل (مجمع). وكالمنظومات السريرية، تعد الأقواس سلسلة من الحزم الضوئية الثابتة. ولكن خلافاً للمنظومات السريرية فإن طيف المنبع فيها هو أيضاً متغير بسهولة. تم الحصول في هذا العمل على عدة أطياف فوتونية، من الكوبالت Co - 60 إلى حزم أشعة X المسرعة بـ 25 MV، متفوتة في الزاوية والطاقة، وذلك من خلال حسابات MCNP السابق. لقد تم نمذجة الحزم كمنابع نقطية بسيطة، بحجم للحقل يتم تعيينه بواسطة الاعتيان عبر زاوية ملائمة لتعطي حجم الحقل المرغوب فيه عند مركز متساوٍ. إن الاختلافات بين كود مونتني كارلو والخوارزميات التقليدية (SRS 200TM) ومنظومات فيليبس الطبية) مؤكدة ووضوحاً في المقارنة المبينة في الشكل 11 لحزمة مفردة. تفشل الخوارزمية التقليدية في التنبؤ بدقة عن اللاتنظاميات عند سطح الدخول كما تفشل بالتنبؤ أيضاً عن جرعة المخرج. وفشل الخوارزمية التقليدية واضح أيضاً في أخذها بالحساب لانتجانسيات النسج الداخلية. يبين الشكل 12 مقارنة مماثلة من أجل مخططات متعددة الأقواس والحقل قطره 30 mm من خلال زوايا مجموعها 460 درجة. وفي هذه الحالة تغالي الخوارزمية التقليدية (SRS 200TM) في تقدير الـ 90% من حجم الجرعة بما يقارب 100 في المائة.

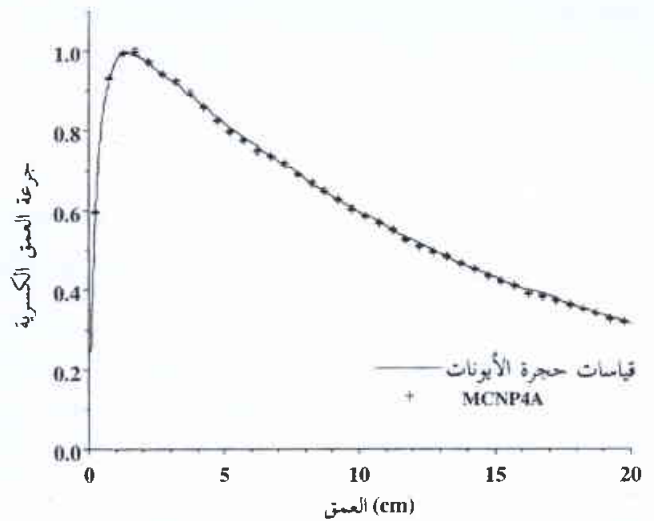


الشكل 11- خرائط معالجة بـ 10 MV متماثلة من أجل حقل AP بقطر 30 mm محسوبة باستخدام منظومة تخطيط معالجة جراحة إشعاعية تقليدية (إلى اليسار) و MCNP (إلى اليمين). مأخوذة من صولبرغ وآخرين [45].

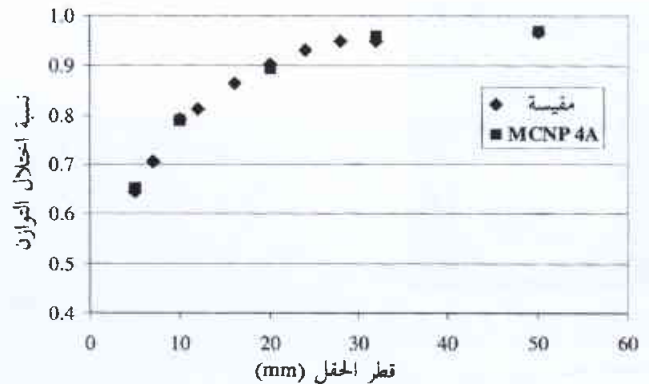


الشكل 12- خرائط معالجة بـ 10 MV متماثلة تستخدم ثلاثة أقواس لانقع في مستوي واحد بمجموع قطره 30 mm حسب استخدام منظومة تخطيط معالجة جراحة إشعاعية (إلى اليسار) و MCNP (إلى اليمين). مأخوذة من صولبرغ وآخرين [45].

كود MCNP والقياس من أجل حزمة فوتونات بقطر 30 mm فولطية تسريع 6MV. إن الاتفاق ممتاز حتى ضمن منطقة النمو. يمكن لحزم صغيرة ذات طاقة عالية مثل هذه الحزم أن تخضع إلى اضطراب كبير عندما تواجهها لانتجانسية في النسج. ويتأثر التوزيع الناتج للجرعة بشدة (جانبياً) بالنقل الإلكتروني لذا لا يمكن التنبؤ به بواسطة وسائل تقليدية. فالأجواف الهوائية الصغيرة في وسط متجانس بطريقة أخرى، على سبيل المثال، سيكون له تأثير تخفيض الجرعة وراء السطح البيني الأقصى. يبين الشكل 10 التأثير المثير الذي يستطيع جوف هوائي بقطر 3 ملليمتر أن يطبقه على حزم فوتونية صغيرة. أما في حالة حزمة فوتونية ذات 5 ملليمتر (غالباً ما تستخدم للجراحة الإشعاعية الفعالة)، فإن الجرعة تتناقص عند السطح البيني الأقصى بما يزيد على الثلث بالمقارنة مع الحالة المتجانسة. وفيما بعد أضاف صولبرغ وآخرون وحدة قياس، من أجل محاكاة خطط معالجة الجراحة الإشعاعية المبينة على CT، إلى الوصلة البينية المستخدم في التمثيل البياني وضعها دوماركو وآخرون [19, 45]. وعلى



الشكل 9- جرعة العمق الكسرية في الماء قيست من أجل حزمة فوتونات ذات 6MV جمعت في قطر يبلغ 30 mm من صولبرغ وآخرين [45].



الشكل 10- نسبة اختلال التوازن (تعرف بأنها نسبة الجرعة عند الطرف البعيد من لانتجانسية النسج، وهو في هذه الحالة تجويف هوائي، إلى الجرعة عند النقطة ذاتها في شبح متجانس) كتابع لحجم الحقل من أجل حزمة فوتونات ذات 10 MV. من صولبرغ وآخرين [33].

إن محاكيات مونتني كارلو لـ IMRT مباشرة تماماً. فيمكن محاكاة عناصر "حزمة القلم" pencil beam الفردية بسهولة وتسجيل توزيعات الجرعة الناتجة. لكن الزمن المشمول في حساب كل عنصر حزمة قلم على حدة سيكون محزماً إلى أبعد الحدود. وبمنزجة الحزمة المعدلة باستخدام منبع أفاد الاعتيان عن غياب شبكة فضاء طوري يقابل عناصر حزمة القلم الفردية (كذلك التي طورها تشيتي وآخرون [20])، يمكن جعل هذه العملية أكثر كفاءة.

المعالجة الفوتونية بأشعة X

تعد المعالجة الفوتونية بأشعة X تقنية يُحتمل فيها الورم بمادة ذات عدد ذري كبير (بتصوير عوامل التباين كالبيود والغادولينيوم، وهما مركبان مثاليان)، ثم تشع بعد ذلك بأشعة X ذات فولطية من رتبة الكيلوفولط. إن المقاطع العرضية الضخمة للتأثيرات الإلكترونية فوتونية في الإشعاعات الثانوية لشلالات أوجيه، وأشعة X المميزة، والإلكترونات الفوتونية، كلها عالية في نقل الطاقة الخطي (LET) Linear energy transfer. إن هذا يساهم في تعزيز الجرعة الموضعية وفي التحكم بالورم بشكل أفضل وبصورة مأمولة. كان مللو وآخرون أول من اقترح الطريقة في عام 1983 [48]. وعقب ذلك بين البرهان التجريبي تعزيزاً للجرعة في الزجاج وفي أورام صلبة [49]. وفي 1990 عدل إيواتو Iwamoto وآخرون ماسحا CT تقليدياً وذلك للمعالجة الفوتونية بأشعة X لأورام الدماغ [50]. ثم قيمت بعد ذلك الطريقة في أورام دماغية كلبية تلقائية / عضوية [51]. وقد سجل حديثاً أول تجربة عن المعالجة الفوتونية بأشعة X في معالجة الآدميين [52, 53].

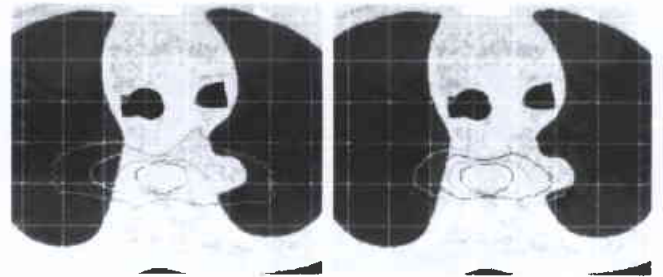
وقبل كل شيء، ولكون التأثيرات الإلكترونية فوتونية غير منمذجة بدقة بواسطة التقنيات الاعتيادية، فقد استعملت مونتني كارلو بكثرة لدعم الجراحية من وراء المعالجة الفوتونية بأشعة X. استعمل صولبرغ وآخرون، بادىء ذي بدء، كود MCNP ليؤكد عوامل مميزات جرعة العمق وهي: نسبة الجرعة المعطاة إلى هدف محشو بمادة تباين إلى الجرعة في هدف منتظم (ماء) [54]. يبين الشكل 14 التوافق الجيد في جرعة العمق بين MCNP والقياس. وبعد ذلك حسب ميزا Mesa وآخرون عوامل تعزيز الجرعة لليود وحسب مؤخراً وسطاء تعزيز جرعة محتملة أخرى عديدة [55]. يظهر الشكل 15 رسماً لعامل تعزيز الجرعة DEF كتابك للطاقة من أجل ثلاثة تراكيز مختلفة لليود. إن الموازنة بين احتمال إنقاص تأثير إلكترون فوتوني وبين زيادة طاقة منقولة إلى الإلكترون فوتوني تولد عامل تعزيز جرعة (DEF) له ذروة تقع في مكان ما خلف الحافة k لليود (33.2 keV)، وبعدها يتناقص تدريجياً إلى الواحد.

استخدم ميزا وآخرون MCNP مؤخراً لدراسة توزيعات الجرعة الناتجة من تركيبة تشعيع متعدد الأقواس كذلك التي تنتج عن مساحة CT معدلة [55]. يوضع الورم في هذه التركيبة عند المركز المتساوي البعد في حامل التصوير الطبقي المقطعي المحوسب (CT). يُعطى الإشعاع في ثلاث دورات تبلغ كل منها 360 درجة باستخدام إمالات للحامل بين 0 و 20 ± درجة. تستخدم الصور المأخوذة من مسح CT جمجمي (قحفي) كدخل محاكاة MCNP باتباع طريقة دوماركو وآخرين [19]. يتم إنشاء منطقة اهتمام قطرها 20 mm وتجري مداولة الفوكسيلا على نحو

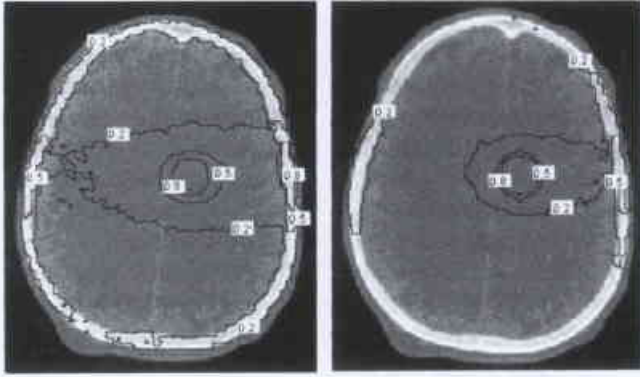
اقترح مدين Medin وآخرون، حديثاً، منظومة لجراحة إشعاعية ثلاثية الأبعاد لأهداف في النخاع الشوكي [46]. تعتمد الطريقة على زرع علامات ممتدة في العمليات الفقارية. ساهم مؤلفو هذا المقال في جزء من هذا المشروع فحسبوا الجراحة المصاحبة لتشعيع حقلي صغير للعمود الفقري [47]. استخدم MCNP لتقدير الدقة في خوارزميات الجرعة التقليدية المستخدمة في تطبيقات الجراحة الإشعاعية. ولما كانت الجراحة الإشعاعية منجزة على أهداف تقع داخل الجمجمة، فإن تجانسية النسيج تعد إحدى الفرضيات الأساسية في خوارزميات جرعة الجراحة الإشعاعية. يبين الشكل 13 خطة معالجة لهدف من الجسم فقاري حسب استخدام خوارزمية الجراحة الإشعاعية التقليدية (SRS 200TM) وواحدة حسب استخدام MCNP. تغالي الخوارزمية التقليدية في تقدير كل حجم من الحجم المتساوية الجرعة. وبالإضافة إلى ذلك، فإن الخوارزمية التقليدية تقلل من تقدير الجرعة المطلقة عند مركز الهدف بما يقارب 27%. لقد أكدت القياسات المباشرة كلتا الجرعتين النسبية والمطلقة التي تنبأت بها MCNP.

المعالجة الإشعاعية المعدلة الشدة

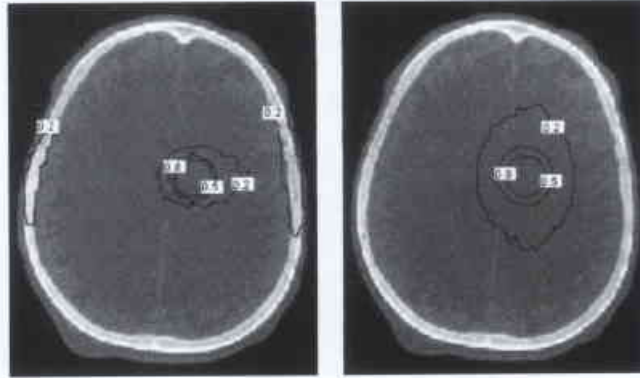
تعد المعالجة الإشعاعية المعدلة الشدة (IMRT) طريقة جديدة نسبياً تسعى إلى وضع تحسينات على القيود المفروضة على المعالجة المطواعة conformal therapy من خلال استخدام حزم من أشعة X غير منتظمة. تعرّن جانبيات profiles الشدة لحزم أشعة X من خلال عملية أمثلة بمساعدة الحاسوب computer - aided optimization process مبنية أساساً على الوضع الهندسي لتشريح المريض. وفي هذه العملية تقسم حزمة كبيرة إلى عناصر صغيرة عديدة منفصلة. تُغير شدة كل عنصر حتى يتم الحصول على توزيع للجرعة أفضل. وفي النهاية يُنقل الإشعاع في سلسلة من قطع حقلية معرفة ببساطة بتشكيل الحقل كأن تكون موجه (مسدّد) متعدد الوريقات. يمكن لهذه القطع أن تكون في الحالة العامة صغيرة تماماً، وكما أشار العديد من الباحثين، يمكن لطرائق حساب الجرعة التقليدية أن تخفق في غياب التوازن الإلكتروني (الجانبي). لذا، فهناك حاجة واضحة لتقنية مثل مونتني كارلو من أجل حسابات الجرعة في IMRT.



الشكل 13 - مخططان بيانان للمعالجة بـ 6 MV تستخدم أقواساً متحدة المستوى يصل كل قوس منها إلى 80 درجة وبمجموع قطره 20 mm. حسب المخطط في الجهة اليسرى التي إلى اليسار باستخدام خوارزمية جراحة إشعاعية تقليدية (TMR / OAR) أما المخطط على اليمين فإن الحسابات استخدمت MCNP. لقد تم تشغيل 82 مليون بيان طبي من الماضي لفوتونات أولية للحصول على أقل من 2% بنداً إحصائياً من أجل خطة مونتني كارلو. مأخوذ من مدين وآخرين [46].



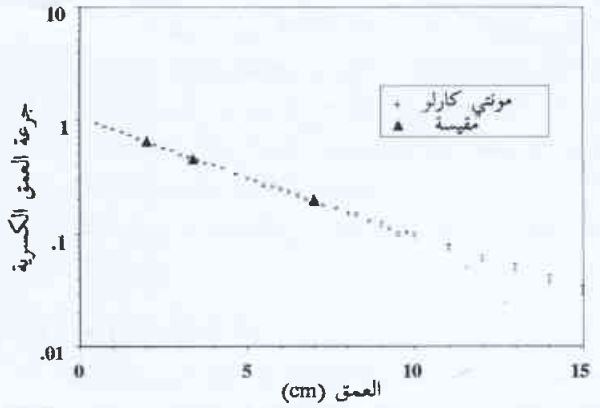
الشكل 16- صورة ضوئية مأخوذة بأشعة X لتوزعات الجرعة بدون يود (إلى اليسار) ومع وجود 5mg/ml يود (إلى اليمين)، حسب استخدام MCNP طيف 140 kVp وثلاثة أقواس غير متحدة المستوي من ماسح CT معدّل أدخلت في المحاكاة. مأخوذة من ميزا وآخرين [55].



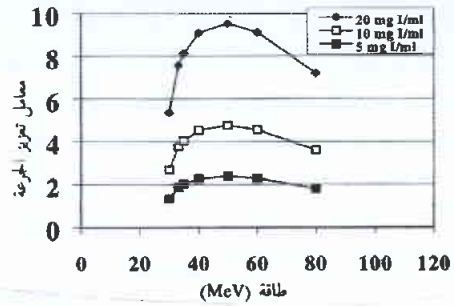
الشكل 17- توزيعات الجرعة في صور ضوئية مأخوذة بأشعة X من أجل ورم محشو بـ 10mg/ml يود ومشعّ بحزمة 140 kVp (إلى اليسار) وبحزمة 10 MV (إلى اليمين). استخدمت ثلاثة أقواس غير متحدة المستوي في كل عملية محاكاة لـ MCNP. مأخوذة من ميزا وآخرين [55].

قصيرة المدى أو ذات LET (نقل طاقة خطي) عالٍ. في العلاج بالأسر التروني بالبورون (BNCT)، يكون للتفاعل $^{10}\text{B}(n, \alpha)^7\text{Li}$ مقطع عرضي للأسر كبير من أجل الترونات الحرارية (> 3500 barns) ويصدر جسيمات قصيرة المدى ($> 10 \mu\text{m}$ في النسيج) ذات LET عالٍ. ومن البديهي أن نوعية الورم للمركب المستخدم ذات أهمية كبيرة. لكن القضايا السريرية لنوعية الورم، والسّمية ونتائج المريض لن تناقش هنا.

كتب يانش Yanch وآخرون في عام 1991 [56] واحداً من أوائل استخدامات MCNP في NCT (المعالجة بالأسر التروني). استخدم مؤلفو هذا المقال MCNP لتعيين طاقة الترون المثلى لمعالجة أورام الدماغ بواسطة NCT. تمت نمذجة الدماغ والجمجمة كقطعتين ناقصين، وأخذت الحسابات مجراها باستخدام حزم نترونية أحادية الطاقة. تم الحصول على تعزيز الجرعة العائد لمركبة البورون بضرب تدفق الترونات بعامل يساوي 3 أو 30، بالنسبة للدماغ الاعتيادي والورم على الترتيب، تم تطبيق عوامل معدّل التدفق إلى كيرما fluence - to - kerma الملائمة. تم التوصل إلى استنتاجات هامة عديدة في الدراسة اقترحت التوجه المستقبلي لـ NCT السريري. فأولاً، يبدو أن المجال المثالي لطاقات الترونات من أجل معالجة



الشكل 14- الجرعة كتابع للعمق من أجل حزمة من أشعة X ذات 140 kVp. حسب معطيات مونتني كارلو باستخدام الكود MCNP بينما تم الحصول على المعطيات المقیسة باستخدام حجرة الأيونات في الماء. تشير شرائط الخطأ إلى الارتياح الإحصائي [10] في حسابات مونتني كارلو. مأخوذة من صولبرغ وآخرين [54].



الشكل 15- معامل تعزيز الجرعة (DEF) كتابع لطاقة أشعة X (أحادية الطاقة) من أجل ثلاثة تراكيز من اليود في ورم. مأخوذ من ميزا وآخرين [55].

صنعي للحصول على مادة ملائمة وكثافة تقابل ما يصل حتى 15 mg/ml من اليود. يبين الشكلان 16 و 17 توزيعات الجرعة الناتجة محسوبة بواسطة MCNP. في حال عدم وجود مادة تباين من اليود، فإن الجمجمة والنسيج الذي يتخللها يتلقيان جرعة كبيرة، ربما تكون في بعض المواضع مساوية تقريباً لجرعة الهدف. ولدى زيادة تركيز اليود إلى 15 mg/ml، يصبح توزيع الجرعة أشد تبايناً حول الورم كما تنخفض إلى حد كبير الجرعة المحيطة بالعظم. وفضلاً عن ذلك، ورغم أن المعالجة التقليدية، بـ 10 MV، والتي تستخدم تكتيكاً ثلاثي الأبعاد، لا تعاني من جرعة العظم المعززة التي تحدث بسبب المعالجة بأشعة X الكيلوفولطية، فإن توزيعات الجرعة من المنبع المنافس المنخفض الطاقة تطابق الورم بصورة محكمة أكثر (الشكل 17). وأخيراً، وضمن حدود ميل حامل CT يبدو أن ثلاثة أقواس هي العدد الأمثل والذي تصبح جرعة العظم فوقه مقيدة.

العلاج بالأسر التروني:

ظل MCNP ولفترة طويلاً معروفاً بأنه كود الاختيار للنقل التروني والنقل التروني / الفوتوني المقرونين. وهكذا فلا يدهشنا أن كثيراً من مجرعة العلاج بالأسر التروني (NCT) neutron capture therapy قد كان مدعوماً بـ MCNP. إن الهدف من العلاج بالأسر التروني هو أن تقدم إلى الورم مركباً سيولّد عندما يشعّ بالترونات منتجات تفاعل

الوقت الذي لا يتأثر فيه التوزيع المكاني للنترونات الحرارية نسبياً بوجود الأسافين، فإن طيف النترونات السريعة يتغير بشكل ملحوظ.

في عام 1995 أنجزت المجموعة نفسها تحليلاً مفصلاً لتوزيعات جرعة BNCT من ترتيبات حزمة متعددة [61]. تم إنشاء نماذج إهليلجية للرأس والجمجمة والورم لدراسة توزيع النترونات الحرارية والجرعة في شروط واقعية. فقد رُكبت فوق نموذج الرأس شبكة -كعبة حجمها 1 cm^3 صنعت فيها سجلات. وضعت فرضيات بخصوص تركيز البورون في الجمجمة، والدماغ الطبيعي، والورم بنسبة 2: 6:1. أنجزت المحاكيات في طريقة ذات خطوتين. يجري أولاً إنجازه حساب تفصيلي لقلب المفاعل، وممر النترونات والمرشح، ثم يُستخدم هذا الطيف في محاكيات لاحقة لتسجيل اللدق والجرعة في نماذج الرأس ولدراسة أثر أجهزة تعديل الحزمة. وهذا مشابه للعملية ذات الخطوتين من أجل محاكاة المعالجة الإشعاعية بالحزمة الفوتونية الموصوفة أعلاه. تحسبت جرعة النترونات باستخدام عوامل كرما kerma factors الملائمة. تضمن الحساب الجرعة من أشعة غاما الأسرة بفرض وجود توازن إلكتروني في حجم الدماغ بأكمله مع افتراض آخر بأن الطاقة بأكملها توضع مع الفوكسيلا 1 cm^3 . كما استعمل المؤلفون سمات التحويل (بطاقة TR card) في MCNP لتسهيل التشعيع المتعدد المرات، مظهرين تجانسية محسنة في جرعة الهدف بوجود حقول متضاعفة.

أنجز وولاس Wallace وآخرون محاكيات مونتج كارلو أخرى للكود BNCT مستخدماً حزمة نترونات فوق حرارية من مفاعل بيتن Petten ذي التدفق العالي [62]. وكما الحال في الدراسات السابقة، فقد وُضع نموذج للدماغ ونموذج للجمجمة على هيئة قطع ناقصية (إهليلج). مع ذلك، درس تأثير الماء الثقيل كمكوّن لمادة الدماغ بدلاً من الماء. لم يدخل في المحاكاة إشعاع غاما من المنبع، ولكن جرى توليد الفوتونات المحرّضة بالنترونات واقتفاء أثرها. سُجّلت معدلات الدفق الفوتوني والنتروني في رُقع حجم كل رقعة منها 0.125 cm^3 ؛ حوّل معدل الدفق إلى جرعة باستخدام عوامل كيرما مناسبة. لوحظ تغلف نتروني أعمق خلال الماء الثقيل بالمقارنة مع الماء الطبيعي، مولداً مركبة لنترونات حرارية أعلى عند عمق الهدف. وفضلاً عن ذلك فإن المركبة الغاماوية قد انخفضت نظراً للتفاعلات الأقل في أسر الهيدروجين.

لقد وصف زامنهوف وآخرون [41] منظومة مريض نوعية من أجل تخطيط المعالجة في BNCT. تستخدم مسوحات تصوير طبقي مقطعي محوسب (CT) غير متباينة لتوليد نموذج ثلاثي البعد ودقيق لتفصيل المريض ملائم للاستخدام مع MCNP. تُقطع الصور بصورة آلية إلى ثلاثة أنواع من الأنسجة: هواء، ودماغ طبيعي، وعظم. يستخدم القطاع اليدوي من التعريف موضع الاهتمام لتقسيم الهدف؛ فتراكيز البورون في الهدف، وفي النسيج الطبيعي، وفي الدم تخصص يدوياً اعتباراً على دراسة سابقة. تُولد الخلايا ذات الحجم 1 cm^3 الإفرادية باستخدام الهندسة التوافقية النموذجية لـ MCNP؛ وإن محاكاة نموذجية وفق MCNP ستكون من 11205 خلية من هذه الخلايا*. تسمح الوسائل البيانية بمعالجة وسطاء

أورام الدماغ تقع بين 4 eV و 40 keV. إن الحجم الأمثل للحقل يعتمد أيضاً وبقوة على حجم الورم، وشكله وعمقه. وأخيراً، اقترحت الحسابات أن العمق الأكبر الذي يمكن معالجته معالجة جيدة بواسطة NCT كان 10 cm تقريباً وكان هذا ممكناً باستخدام طاقة تبلغ 10 keV.

استخدم بعد ذلك يانشي وآخرون MCNP في التصميم لمنشأة ^{252}Cf من أجل BNCT [57]. درست مواد مهدئة / مرشحة / عاكسة عديدة في محاولة لجعل الحزمة السريرية الناتجة مثلى. استخدمت أساليب تتبع عملها المبكر وذلك لمحاكاة النماذج الكاذبة وحساب الجرعة. ولكن لسوء الحظ كانت معدلات الجرعة الناتجة أخفض مما هي عليه للمناع المفاعل بقدر كبير، واستنتج المؤلفون أن منشأة سريرية ليست عملية حتى لو استخدمت كميات كبيرة من ^{252}Cf (1.0 g).

شكّل غوبتا Gupta وآخرون واحدة من المجموعات الأولى التي تستخدم MCNP لدراسة وقع أشعة غاما الأسرة ذات الطاقة العالية (2.2 MeV) والتي تنشأ من التأثير $^2\text{H}(n,\gamma)^1\text{H}$ في BNCT [58]. ولدت جرعة العمق وجانبيات الاعتماد عن المحور بتسجيل تدفق غاما باستخدام مقدر طول الأثر (F4 tally) وتطبيق عوامل كرما المناسبة. قورنت النتائج مع النتائج التي تستخدم كود QAD - CGGP، كما أنه تم صنع كود تدريع نواة نقطية a point kernel shielding في مختبر لوس الأموس الوطني.

استخدم بيترسون Pettersson وآخرون الكود MCNP3B لحساب تدفقات النترونات والفوتونات في منشأة النترونات الحرارية في شتودزفيك Studsvik [59]. تمت نمذجة منبع نتروني مسطح (مستوي) وطيف طاقة الانشطار، ثم سجلت التدفقات عند مخرج مهدىء الماء الثقيل وعلى طول محور أنبوب التجربة الحيوية. أظهرت الحسابات أن التدفق النتروني متجانس بشكل مقبول مع الأنبوب. إن معدلات النترونات الحرارية المحسوبة قطرياً وعلى عمق على امتداد الأنبوب توافقت بشكل جيد مع قياسات وريقة التنشيط activation foil measurements. كما حسبت أيضاً جرعة الفوتونات ضمن الأنبوب بضرب تدفق الفوتونات بعوامل تحويل تدفق - إلى - جرعة. وكانت الجرعة الفوتونية المحسوبة على توافق جيد مع الجرعة المقيسة بواسطة TLD.

لقد استخدم كونيجينبرغ Konijnenberg وآخرون الكود MCNP لدراسة توزيع التدفق النتروني في أجسام مائية وهمية شُعت بواسطة حزمة من النترونات فوق حرارية [60]. قُسم التدفق النتروني إلى ثلاثة أنواع من الطاقة: حراري (بطاقة $0.55 \text{ eV} >$) وفوق حراري (من 0.55 eV إلى 20 keV) وسريع ($20 \text{ keV} <$). حسب تنشيط الوريقة كتابع للعمق وقورن مع القياس. عند أعماق أكثر من 4 cm، كانت القيم المحسوبة على توافق ممتاز مع القياس. أما عند أعماق أقل من 4 cm فقد كانت المعطيات المقيسة أعلى من المعطيات المحسوبة بكود MCNP بصورة ملحوظة. يظن المؤلفون أن هذا بمثابة نقطة ضعف في تقنية قياسهم وليس مشكلة متعلقة بـ MCNP. كما أن المؤلفين درسوا الأثر الذي تخلفه أجهزة عديدة لتعديل الحزمة مثل الأسافين وقالب البولي إيثيلين / رصاص المُتوزق. وفي

* تم مؤخراً استبدال الخلايا التي استخدمها المؤلفون والتي تشكلت باستخدام الهندسة التوافقية لتحل محلها الهندسة الشبكية لـ MCNP.

تحقيق الحالة الأمثل (الأفضل) لوسطاء الحزمة النيوترونية من أجل العلاج بالأسر النيوتروني [67]. في عام 1992 اقترحت استخدام ^{157}Gd كمرشّح لـ BNCT لقد استخدم MCNP لحساب جرعة غاما من ^{158}Gd [68]. ويتبع هذا العمل بعد فترة وجيزة دراسة أخرى للأثار المشتركة لمنابع ^{235}U البينية مصحوبة بتشعيع ببترونات حزمة خارجية (انظر أدناه) [69]. وفي عام 1994 أعلنت المجموعة عن دراسة تصميم منشأة نوترونات فوق حرارية ذات شدة عالية في مفاعل البحث الطبي في بروكهافن [70]. وكما هو الحال في العمل السابق، استخدم MCNP لحساب تدفقي النوترونات وأشعة غاما وكذلك حساب الجرعات المنتصة.

العلاج بالنوترونات السريعة والأيونات الثقيلة

صُمم MCNP في الأصل ككود للنوترونات والانشطار، ويوصف بصورة عامة بأنه كود مثالي للنقل النيوتروني. وبسبب هذا فالأقوال الواردة في الأدبيات (ماكتب في الدوريات العملية) حول استخدام MCNP في تطبيقات النوترونات وتطبيقات النوترونات / الفوتونات المقترنة أقوال متعددة ومتنوعة. أما في المجال النوعي لمقاييس الجرعة الطبي، فهناك بضعة مراجع حول نقل النوترونات السريعة.

لقد درس كليك Kleck وآخرون تنشيط النسيج، وبخاصة توليد البوزترونات التي تصدر نظائرًا في مرضى يخضعون للعلاج بالنوترونات السريعة [71]. لقد استخدم MCNP لحساب إنتاج ^{11}C و ^{13}N و ^{15}O في الأكريليك والماء من الحزمة السيكلوترونية $(20\text{ Be } (46)\text{ P})$ في منشأة العلاج بالنوترونات UCLA. تمت نمذجة المنبع النيوتروني كقرص مستوي قطره 1cm، وتم الحصول على توزيع الطاقة من معطيات منشورة من قبل. لقد نُمدجت موجهات (مسدّدات) النوترونات ذات المساند المتساوية المركز isocentric gantry كي تنتج أحجاماً حقلية مساقطها من 6×6 إلى $20 \times 20\text{ cm}^2$. حسب إنتاج ^{11}C و ^{13}N و ^{15}O بمساعدة مقاطع عرضية خاصة للتفاعل تم الحصول عليها من الأدبيات. كما أُنجزت حسابات تنشيط مماثلة من أجل فوتونات عالية الطاقة (50 - 20 MeV) نتجت من مكروترين حلبة السباق. استخدمت أيضاً مقاطع عرضية خاصة للتفاعل ضمن MCNP. وبعد ذلك مباشرة شقعت الأشكال الوهمية (الأشباح) وتم توصيف التنشيط باستخدام التصوير الإشعاعي الآلي والتصوير المقطعي الطبقي بالإصدار البوزتروني.

أعلن يوم Bohm وآخرون. عن استخدام تقنيات مونتني كارلو لنمذجة ثلاث منشآت للعلاج بالنوترونات السريعة (في مخبر فرمي للمسرح الوطني، ومشفى هاربر في ديترويت ميتشيجان، ومركز المسرع الوطني في فوري، جنوب أفريقيا) [72]. وُصف المؤلفون كل منشأة بعملية مؤلفة من ثلاث خطوات. الخطوة الأولى، استخدم كود LAHET لنقل جسيمات واردة على هدف لتسجيل طيف النوترونات الناتجة. استخدم MCNP لنقل النوترونات الناتجة عبر منظومة توصيل الحزمة. ولما كان LAHET و MCNP يستخدمان مخطط الهندسة التوافقية نفسه، فإن هذه العملية ميسرة تماماً. أُضيفت مكينات للمعطيات النووية الإضافية من أجل الاستخدام مع الكود

الحزمة المختلفة بما فيها التوجيه وحجم الحقل. تحسب الجرعة باستخدام عوامل كيما المناسبة؛ ولا يدخل النقل الإلكتروني في عملية المحاكاة. تسمح وسائل ما بعد المعالجة بتصور جانبيات بعد واحد وتوزعات الجرعة المتساوية ثنائية البعد المترابطة على صور CT مناسبة. أنشئ شتج متخصص بغرض تحقيق حسابات تخطيط المعالجة. لوحظ توافق ممتاز في معدلات الجرعة المقيسة (نوترون حراري، نوترون سريع، 10 - B، غاما والإجمالي) بالمقارنة مع نتائج MCNP.

استخدمت إحدى المجموعات تقنيات مونتني كارلو لدراسة تعزيز الجرعة الممكن في البورون من حزم من النوترونات السريعة [63، 64]. تتم نمذجة إنتاج النوترونات، المأخوذة من بروتونات سيكلوترون بطاقة 60 MeV على هدف من البريليوم، باستخدام كود FLUKA. تجري محاكاة نقل النوترونات الأولية الناتجة باستخدام MCNP4A. سُجّل الطيف الحراري كتابع للعمق في شح من الزجاج المرن (بليكسي غلاس). شوهد نتاج النوترونات الحرارية وله تبعية كبيرة لحجم الحقل، فهو يبلغ 2.2 ضعفاً عند $20 \times 20\text{ cm}^2$ من قيمته عند $10 \times 10\text{ cm}^2$. إن تعزيز الجرعة العائد لأسر النوترونات الحرارية. المأسورة ب ^{10}B ، بفرض تركيز يبلغ $100\text{ }\mu\text{g}$ من ^{10}B لكل غرام من النسيج، يمتد من 4.6 إلى 10.4 بالمائة من جرعة النوترونات السريعة (الجدول 3).

كما أن بلوول Bleuel وآخرين درسوا منابع نوترونات المسرّعات من أجل كود BNCT، وفي هذه الحالة صُمم مسرع DC جديد من أجل تيار حزمة من البروتونات يبلغ 100 mA [65]. يتم إنتاج النوترونات من خلال التفاعل $^7\text{Li} (p, n) ^7\text{Be}$ في عملية ذات خطوتين، درس المؤلفون أثر التهذئة لثلاث مواد: Al / AlF_3 و ^7LiF ، والماء الثقيل. ففي الخطوة الأولى استخدم MCNP لنقل حزمة النوترونات التي أنتجها المسرع من خلال مجموعة المهدي، مسجلاً تدفقي النوترونات وأشعة غاما عند المخرج. أما في الخطوة الثانية فإن الكود BNCT - RTPE، الذي تم تطويره لدى مخبر إيداهو الوطني للهندسة والبيئة [66]، قد استخدم لنقل النوترونات الفوق حرارية وأشعة غاما من خلال نموذج لرأس بشري، وافترض وجود تركيز للورم يبلغ 10 ppm من ^{10}B . وجد المؤلفون من تحليل توزعات الجرعة الناتجة أن Al / AlF_3 و ^7LiF تعدان من المواد المهدئة الأفضل، حيث تزيد من معدل دفع النوترونات الحرارية والجرعة عند الخط الأوسط midline للدماغ بعامل يصل إلى اثنين فوق D_2O .

قامت مجموعة روبرت بروجر R. Brugger من جامعة ميسوري - كولومبيا بعدد من المساهمات الهامة في مجالات العلاج بالنوترونات، والعلاج بالنوترونات المأسورة، وطرائق مونتني كارلو. وفي عام 1990 كانت هذه المجموعة إحدى المجموعات الأوائل التي تستخدم MCNP لدراسة

الجدول 3- معدل الجرعة من نوترونات سريعة ناتجة من سيكلوترون وتلك التي تعود إلى أسر البور من المركبة الحرارية. مأخوذ من يغنول وآخرين [63].

| مقاس الحقل (cm^2) | معدل الجرعة (Gy/s) | | تعزيز الجرعة (%) |
|------------------------------|------------------------|---------------------------------------|------------------|
| | نوترونات سريعة | $^{10}\text{B}(n, \alpha)^7\text{Li}$ | |
| 10×10 | 2.368×10^{-3} | 1.145×10^{-4} | 4.6 |
| 20×20 | 2.672×10^{-3} | 3.111×10^{-4} | 10.4 |

5%. وهذا جيد بصورة خاصة ونحن ننظر في مقطع عرضي مهمل لفوتون ذي طاقة منخفضة استخدمه MCNP4A كما لفت الانتباه إليه حديثاً باحثون آخرون [80]. إن شدة المنبع المحسوبة اتفقت مع القياس ضمن الارتياح الإحصائي لكلا الطريقتين (الجدول 4).

الجدول 4- ثابت معدل الجرعة المقيس والمحسوب لمنبع قصير العلاج ^{169}Yb جديد. مأخوذ من ماك فرسون و باتيسنا [79].

| بذرة | Λ_0 (cGy h ⁻¹ U ⁻¹) | تقنية |
|--------|--|--------|
| Type 8 | 1.34 ± 0.10 | مقيس |
| Type 8 | 1.25 ± 0.05 | MCNP4A |
| Type 6 | 1.25 ± 0.05 | MCNP4A |

استخدم فو Wu و آخرون MCNP وكوداً ثانياً، هو دلتا DELTA، لتقدير الفعالية الحيوية النسبية (RBE) لأربعة منابع علاج قصير بالنسبة لـ ^{60}Co [81]. أنجزت حسابات MCNP لتوليد طيف إبطاء الإلكترون. ومن هذه تعيين طيوف الطاقة المؤلفة من خطوط وتمت مقارنتها بالقياسات التي أجريت بالعقاد التناسبي عديم الجدار المشأ من أجزاء غير معدنية. كانت النتائج التجريبية والمحسوبة على توافق تام. كما أن تقديرات RBE كانت على اتفاق تام مع معطيات حيوية منشورة (الجدول 5).

لقد استخدمت عدة مجموعات الكود MCNP لدراسة خصائص مقياسية الجرعة لمانع ^{192}Ir ذوات معدلات جرعة عالية [82 - 85]. فقد استعمل فيسيندين Fessenden وآخرون MCNP لحساب وسطاء مقياسية الجرعة من أجل منبعي ^{192}Ir يتمتعان بمعدلي جرعة عاليين [82] (HDR). تم تعيين الجرعة إلى نقطة في الماء باستخدام نوعين مختلفين من حسابات كيرما MCNP (وبفرض توضع محلّي موضعي) لطاقة الإلكترون (f5) وسجل كيرما kema tally (f6) وسجل معدل الدفق (f5) fluence tally وفق معاملين مناسبين لطاقة الامتصاص. أنجزت حسابات منبع نقطي من ^{192}Ir وقورنت مع الدراسات السابقة. وبالإضافة إلى ذلك فقد تم وضع نموذجين تجاريين لمنبعي ^{192}Ir في شكلهما النهائي. أجريت قياسات لتأكيد الحسابات استخدم فيها فلم من الكروم GAF. يبين الشكل 18 الجرعة مأخوذة من منبع ^{192}Ir تجاري كتابع للمسافة القطرية (مع حذف آثار $1/r^2$). تتفق المعطيات بصورة جيدة مع حسابات وليام

الجدول 5- الطاقة الخطية الوسطى و RBE محسوبة باستخدام MCNP لأربعة منابع العلاج القصير. قيم RBE التي تقع في العمود الأيمن مأخوذة من قياسات حيوية (بيولوجية). مأخوذة من فو وآخرين [81].

| نكلد مشع | مقيسة | طاقة خطية وسط مونتري كارلو | RBE | RBE |
|-------------------|-------|----------------------------|-----|------------------------|
| ^{103}Pd | 3.3 | 3.8 | 2.3 | 1.9 ± 0.6 ¹ |
| ^{125}I | 3.0 | 3.5 | 2.1 | 1.4 ± 0.6 ¹ |
| ^{241}Am | 3.1 | 3.5 | 2.1 | |
| ^{192}Ir | 1.9 | 2.0 | 1.3 | 1.45 ² |
| ^{60}Co | 1.5 | 1.6 | 1.0 | |

¹ Ling et al. [105];

² Zellmer et al. [106].

MCNP. وأخيراً استخدم كود PEREGRINE لنقل النيوترونات عبر أجسام وهمية متنوعة وتسجيل الجرعة. استخدم في الكود PEREGRINE نموذج المنبعين لحزمة النيوترونات الواردة؛ النيوترونات الأولية هي تلك التي تنشأ من الهدف، أما النيوترونات المتبعثرة فهي تلك التي تأثرت مع المركبات على امتداد طريق الحزمة. أجريت مقارنة بين جانبية جرعة العمق على المحور المركزي والجانبية العرضية central axis depth dose and transverse profiles فيبنت توافقاً ممتازاً بين الحسابات والقياسات.

العلاج القصير brachytherapy

العلاج القصير التقليدي

لقد حظيت طرائق مونتري كارلو باستخدامات مكثفة في مجال العلاج القصير. وتعد الصعوبة التي تكتنف عملية القيام بقياسات مباشرة في الجوار القريب مباشرة من منبع العلاج القصير أحد الأسباب الرئيسية لذلك. ظهرت فكرة تطبيق تقنيات مونتري كارلو على العلاج القريب في أوائل الثمانينيات من القرن العشرين [73 - 75]. ومنذ ذلك الحين كان هناك بحث مكثف في هذا المجال. ويعد وليام سون Williamson من أوائل من قدموا مقترحات حول هذه الطريقة. وباستخدام كود مونتري كارلو من تصميمه الشخصي، ودمج النقل الفوتوني فقط، حسب وليام سون بعضاً من وسطاء الجرعة الأولى من أجل منابع ذات طاقة منخفضة وأشار إلى تناقضات هامة مع المعطيات المتوفرة. [76, 77]. وإن معظم المعطيات الأصلية التي حسنها وليام سون قد وجدت طريقها في منظومات تخطيط المعالجة.

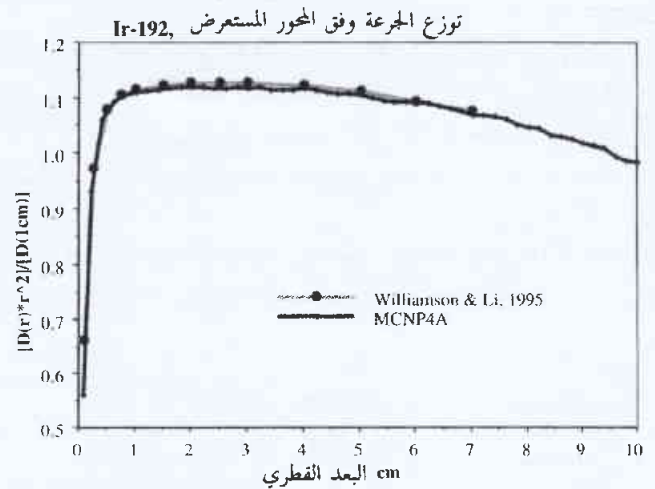
إن استخدام كود MCNP من أجل حسابات العلاج القصير أقل شهرة من الكودات الأخرى، مثل كود EGS4 وكود وليام سون في المقام الأول. وأثناء السنوات الأخيرة العديدة ازداد عدد ما كتب في الدوريات حول MCNP. وهناك عدة سمات ممتازة في MCNP تجعله مناسباً جداً لنمذجة منبع العلاج القصير. إن الهندسة التوافقية القوية تجعل محاكاة هندسات البذور المعقدة متيسرة مباشرة. يمكن إنجاز التدفق أو الكيرما، أو سجلات الجرعة dose tallies في هندسات أسطوانية أو كروية بسيطة أو في هندسة شبكية نظامية. كما اعتبر نقل الفوتونات ذات الطاقة المنخفضة والنقل الإلكتروني جيداً جداً في معظم نسخ MCNP الحديثة.

في أوائل التسعينيات من القرن الماضي استخدم ماسون Mason وآخرون. وماك فيرسون MacPherson و باتيسنا Battista الكود MCNP لحساب وسطاء الجرعة لـ ^{169}Yb ، وهو منبع علاج قصير منخفض الطاقة جديد [78 - 79]. استخدم المؤلفون MCNP - 4A لينمذجوا بدقة البذور seeds بغية حساب بعض العوامل مثل توهين الفوتونات photon attenuation، والامتصاص الذاتي والتبعثر. حسبت جانبيات الجرعة الزاوية عند مسافات مختلفة، بالإضافة إلى ثابت معدل الجرعة Λ_0 ثم قورنت مع قياس TLD. عُينت الجرعة المحسوبة بتسجيل معدل دفق الطاقة (باستخدام مقيس طول أثر) والضرب بمعامل تحويل الكتلة إلى طاقة. اتفقت توزيعات الجرعة المحسوبة مع القياس ضمن تقريب قدره

متخصص للعلاج القصير بمعدلات جرعة عالية specialized HDR brachytherapy applicator [83, 84]. إن الهندسة المعقدة للمطابق وتركيبته المكونة من الفولاذ الذي لا يصدأ والتنغستين تبدي صعوبات في كل من المحاكاة والقياس. سُجّل معدل دفع الفوتونات باستخدام مولدات الحادثة التالية next - event generators (في الكود MCNP سجل الكاشف النقطي والحلقي، f5). وبدلاً من عدّ (تسجيل) الجرعة مباشرة كما فعل والاسي وآخرون [83]، فقد عيّنت الجرعة بضرب معدل الدفع المحسوب بمعاملات الامتصاص الكتلي المناسبة. تضمنت محاكاة مونتني كارلو 31 إصداراً في طيف أشعة غاما النمذج. أنجز التحويل إلى وحدات لكل نشاط بفرض قيمة متوسطة 2.36 فوتون/اضمحلال. ومرة أخرى تلاحظ هنا اختلافات بين العمل الراهن وعمل وولاس وآخرين. إن مؤلفي هذا المقال يلاحظون بالفعل أنه توجد أربع من الطاقات الأساسية التي تشكل أغلبية الإصدارات، لذا فإنه لا يتوقع أن يكون هناك تأثير ملحوظ لأي اختلاف من الاختلافات. وبالمقارنة تبين أن النتائج مؤيدة للنتائج التي أعطتها الدراسات السابقة [87 - 88] ومؤيدة للقياسات باستخدام TLDs. يقترح المؤلفون استخدام جداول البحث ثلاثية الأبعاد التي وصفوها والمبنية على معطيات مونتني كارلو ليشملوا حجب (ستر) المطابق والآثار الأخرى والتي يمكنها لو وقعت أن تحدث أخطاءً لا يستهان بها. وبأسلوب مماثل للعديد من دراسات مونتني كارلو المبكرة، استخدم وايزبيكي Wierzbicki وآخرون الكود MCNP لحساب وسطاء مقياسية جرعة مرجعية لمنبع ^{125}I جديد [89]. تم تعيين تابع الجرعة القطرية، وعوامل اللاتناحي وثوابت اللاتناحي بتسجيل الجرعة الممتصة (باستخدام البطاقة *f8 للكود MCNP) في شبح مائي كروي، تم نمذجة البذور، المؤلفة من أربع حبات راتنج مخضبة بـ ^{125}I ومحفوظة (مكبسلة) في أنابيب من التيتانيوم، في مجموعها الهندسي. لوحظت اختلافات ضئيلة بين القيم المحسوبة والقيم التي قاسها الباحثون السابقون (الجدول 7). يعتقد المؤلفون بأن الاختلافات ترجع بصورة رئيسية إلى المواد الوهمية المستخدمة في القياسات الأسبق؛ ولقد أوصوا باستخدام قيم مونتني كارلو من أجل التطبيقات السريرية.

درس وونغ Wong وآخرون. [90] دقة منظومة تخطيط معالجة بالعلاج القصير تجارية مع الأخذ بالاعتبار مقياسية جرعة الحقل القريب، وبصورة خاصة، تراكب أثر مواقع ذات منابع متعددة. ولقد اتبعوا منهجية عملهم السابق في تعيين وسطاء مقياسية الجرعة لمنبع ^{192}Ir [83]. قورنت النتائج مع منظومة تخطيط معالجة تجارية. استنتج المؤلفون بأن كلاً من الجرعة القطرية radial dose واللاتناحي anisotropy في المنظومة التجارية تضمّنت أخطاءً على مسافات أقل من 1 سنتيمتر من المنبع. وهذا بدوره جعل المنظومة التجارية تغالي في تقدير الجرعة إلى نقطة من مواقع منابع متعددة (dwell) من 3 إلى 15 في المائة.

استخدم دي ماركو وآخرون مؤخراً الكود MCNP لنمذجة توزيعات ثنائية وثلاثية الأبعاد



الشكل 18- الجرعة كتاب للبعد (بعد حذف آثار $1/r^2$) من أجل منبع ^{192}Ir المكروسلكتروني. مأخوذ من فيسيندن وآخرين [82].

سون ولي السابقة [86]. إن وسطاء مقياسية الجرعة الأخرى التي حُسبت بواسطة MCNP هي أيضاً على اتفاق مع المعطيات المنشورة سابقاً (الجدول 6).

درس وولاس وآخرون [83] المميزات الجراحية لمنبع ^{192}Ir تجاري ذي معدل جرعة عالٍ (Nucletron's MicroSelectron)، استخدم الكود MCNP ليقدّم نموذجاً حقيقياً للمنبع؛ لقد تضمن طيف أشعة غاما النمذج 33 إصداراً. استخدمت مجلدات لسجلات حلقية لجرعة مقيّمة (باستخدام السجل *f8 MCNP) تخرج قطعياً إلى الخارج من المنبع. استخدمت القيمة الوسطى 2.24 فوتوناً / اضمحلال للتحويل إلى وحدات لكل نشاط (per activity). كانت مميزات الجرعة على اتفاق ممتاز مع الحسابات الأسبق لويليام سون ولي (الذين استخدموا كوداً من تصميمهما الخاص) [86]. اقترح المؤلفون أن الابتعاد عن قانون التربيع العكسي في حقل الجوار كان يرجع في معظمه إلى الهندسة الملاحظة noted geometry بدلاً من آثار الإنشاء. كما اقترح المؤلفون أيضاً أن انزياحاً يجري على تخطيط معالجة بالعلاج القصير مبنياً على CT، وهو شائع بصورة متزايدة خاصة في حالة النسيج الدائم، يجب أن يكون مصحوباً بخوارزميات لجرعات أفضل من تلك التي تستخدم في منظومات تجارية.

استخدم واتانيب Watanabe وآخرون الكود MCNP ليولدوا معطيات مقياسية الجرعة من أجل مطابق applicator

الجدول 6- وسطاء مقياسية الجرعة لمنبع نقطي ^{192}Ir ومنبع HDR تجاريين. مأخوذ من فيسيندن وآخرين [82].

| مكروسلكترون منبع متغير | ثابت معدل الجرعة (A) | | شدة كيرما الهواء (Sk) | منبع نقطي ^{192}Ir مكروسلكترون متغير | منبع نقطي ^{192}Ir محسوب (MCNP4A) |
|------------------------|---|---|-----------------------|---|--|
| | منبع نقطي ^{192}Ir مكروسلكترون متغير | منبع نقطي ^{192}Ir مكروسلكترون متغير | | | |
| 1.111 | 1.043 | 1.111 | 3.658 | 3.833 | 4.044 |
| 1.115 ¹ | 1.110 ² | 1.110 ² | | | 4.110 |

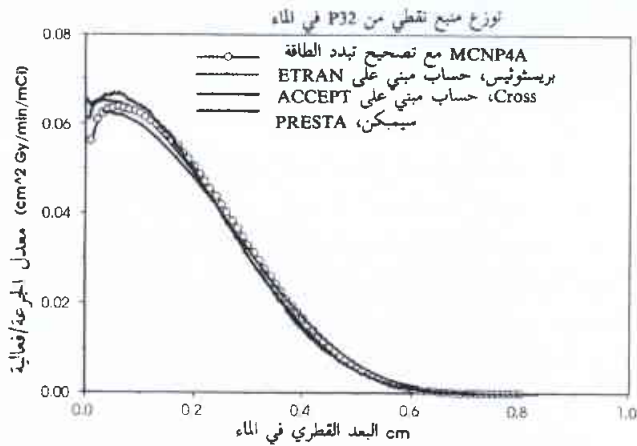
¹ Williamson and Li [86].

الجدول 7- حسابات موني كارلو من أجل بذرة ^{125}I Gold بالمقارنة مع القياس . مأخوذ من وليرزيكي وآخرين [89].

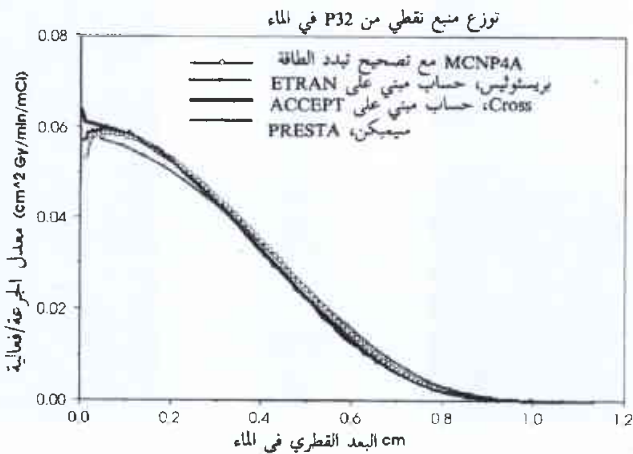
| مسافة عرضية (cm) | بذرة نموذج 6711 مقيس | عامل اللاتساحي بذرة نموذج 6702 مقيس | بذرة ^{125}I Gold مقيس | Io Gold MCNP |
|---------------------|----------------------|--|---------------------------------|--------------|
| 0.5 | | | | 0.975 |
| 0.75 | | | | 0.955 |
| 1.0 | 0.944 | 0.968 | 0.885 | 0.946 |
| 1.5 | | | | 0.951 |
| 2.0 | 0.936 | 0.928 | 0.847 | 0.945 |
| 3.0 | 0.893 | 0.897 | 0.926 | 0.947 |
| 4.0 | 0.887 | 0.942 | 0.853 | 0.951 |
| 5.0 | 0.884 | 0.959 | 0.936 | 0.952 |
| Anisotropy Constant | 0.93 | 0.95 | 0.90 | 0.95 |

¹ Nath *et al.* [87];

² Wallace and Fan [107].



الشكل 19- جانبية الجرعة مع البعد في الماء من أجل منبع نقطي من ^{32}P . حسابات EGS4 من سيمبكين وآخرين، 1990 [109]؛ حسابات ETRAN من بريستويتش وآخرين، 1995 [93]؛ حسابات ITS من كروس وآخرين، 1992 [108]. مأخوذ من فيسيندن وآخرين [82].



الشكل 20- جانبية الجرعة مع البعد في الماء من أجل منبع نقطي من ^{90}Y . حسابات EGS4 من سيمبكين وآخرين، 1990 [109]؛ حسابات ETRAN من بريستويتش وآخرين، 1995 [93]؛ حسابات ITS من كروس وآخرين، 1992 [108]. مأخوذ من فيسيندن... إلخ.

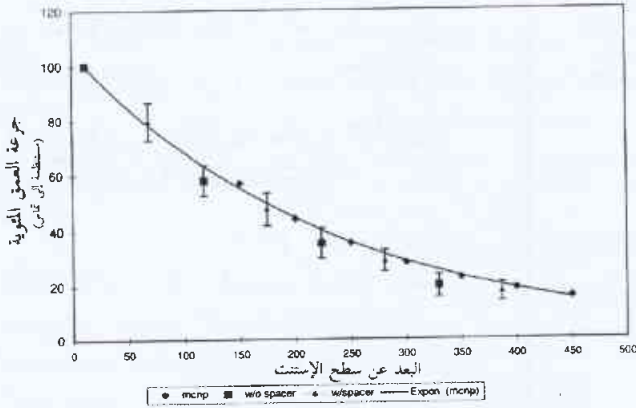
من نُشج ^{125}I دائمة وذلك من أجل ورم سرطاني للبروستات [80].

علاج قصير الأمد داخل الأوعية intravascular brachytherapy

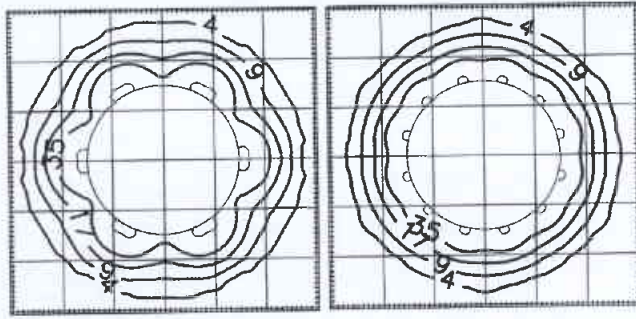
اقترح حديثاً إشعاع الشرايين القلبية والمحيطية كآلية لتقليل عَوْد التضيق الذي يعقب إجراءات الجراحة الوعائية التعميضية angioplasty procedures. إن وضع المنابع المشعة داخل الأوعية قد يسمح بتقديم جرعات فعالة إلى جدار الأوعية في حين يقلل الجرعة المحيطة إلى الأنسجة المحيطة به. توجد تصاميم لمنابع عديدة قيد الاستعمال في هذه الأيام، لكل منها حسناته وسيئاته. هناك مجموعتان استخدمتا MCNP بشكل واسع لدراسة خواص مقياسية الجرعة للمنابع داخل الأوعية [82, 91, 92].

أنجز فيسيندن Fessenden وآخرون تحليلاً مفصلاً عن العوامل المؤثرة على توزع الجرعة من التشعيع بأشعة بيتا داخل وعائية [91] تضمنت هذه العوامل: اختيار منبع بيتا (^{32}P أو $^{90}\text{Y} / ^{90}\text{Sr}$)، وطول المنبع، والتغليف أو التعبئة، وآثار توزيع تركيب القسطر وثخائنه، وموقعه داخل الوعاء، وتركيب الوعاء. كانت منابع بيتا ^{32}P و $^{90}\text{Y} / ^{90}\text{Sr}$ تعد من المنابع المرجعية للمعطيات المنشورة. أنجزت الحسابات باستخدام النسخة 4A من MCNP مع رقعة أدمجت كي تصحح ماوقع في الأشياء الصناعية لانتشار الطاقة والتي أشار إليها باحثون سابقون [10, 37]. إن الرقعة التي وصفها هيوغز Hughes وآخرون [12] قد اندمجت منذئذ في الكود MCNP 4B. يبين الشكل 19 جرعة كتابع للبعد من أجل منبع نقطي ^{32}P حسبت باستخدام MCNP. وقد بينا حسابات موني كارلو لعدة دراسات سابقة من أجل المقارنة. الاتفاق جيد على وجه العموم مع ظهور اختلافات فقط ضمن المليمتر الأول. وتجدر الإشارة إلى أن حسابات بريستويتش Prestwitech وآخرين. كانت قد أنجزت بواسطة ETRAN التي تختبر بشكل غير صحيح توزع الطاقة في غير نظام [93]. يبين الشكل 20 مقارنات مماثلة لمنبع ^{90}Y نقطي. وفيما بعد صُمم منبع $^{90}\text{Y} / ^{90}\text{Sr}$ وضُغ من قبل المؤلفين. وقد دلت مقارنة حسابات MCNP مع القياس على توافق ممتاز (الشكل 21).

وصف لي وآخرون استخدام الكود MCNP في الحصول على معطيات مجراحية من أجل إشتنت stent (واقية شريانية) (والإستنت - أي الواقية الشريانية - نبيطة ميكانيكية تستخدم لمنع الشرايين من الانهيار عقب إجراءات تصوير الأوعية الدموية) [92]. تم تشكيل المنبع بـرجم واقية شريانية تجارية بروتونات طاقتها 8.5 MeV من سيكلوترون منشأة العلاج UCLA (UCLA Neutron Therapy Facility cyclotron). يمتص ال ^{48}Ti الموجود في الإشتنت (الواقية) (بتركيب 45.2%) بروتوناً ليشكل ^{48}V . أما النظير ^{48}V الناتج فيفتكك بإصدار بوزترون وأسر إلكترونين بعمر نصف يبلغ 16 يوماً. تبلغ طاقة إصدار التفتك الأولي



الشكل 23- جرعة العمق المحسوبة والمقاسة لواقية شريانية تجارية (^{48}V) منشطه. استنظمت المعطيات إلى "التماس contact". مأخوذ من لي وآخرين [92].



الشكل 24- جانبيات جرعة المقطع العرضي الشائي البعد المحسوبة، في جرعة زمن الحياة (^{48}V) (Gy بوحدة الفعالية العالية μCi))، عند موضعين مختلفين من أجل إستنت تجاري (^{48}V) منشط. مأخوذة من لي وآخرين [92].

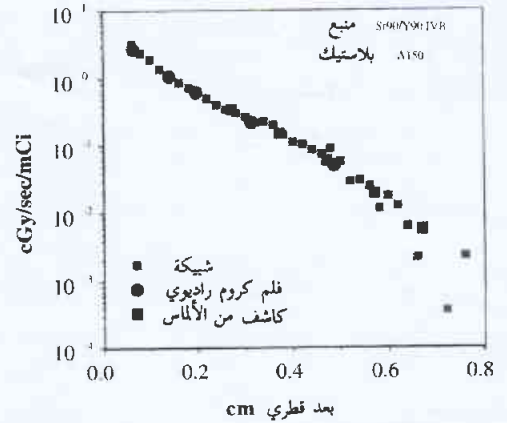
تطبيقات أخرى للعلاج القصير

Cf - 252

استخدم دي ماركو وآخرون الكود MCNP لحساب توزيعات الجرعات من نترونات المنبع وفوتوناته بالإضافة إلى أسر أشعة غاما من ^{252}Cf اقترحت بمثابة منبع علاج قصير [94]. تم نمذجة تغليف منبع ^{252}Cf بالرغم من أن المقاطع العرضية الحقيقية للنترونات لم تكن متوفرة لكل المواد. لقد أخذت نترونات المنبع وأشعة غاما الأسر في محاكاة واحدة، بينما عوملت فوتونات المنبع في محاكاة منفصلة. جرى ترقيم توزيع الجرعة القطري باستخدام أسطوانات متركزة. استخدم ترقيم كيرما (f6) لتسجيل توزيع الجرعات من جسيمات المنبع، بينما سجلت الجرعة من أسر غاما مباشرة (f8). قورنت المعطيات المحسوبة مع القياس ومع الحسابات السابقة. حُسب معدلا جرعة النترونات والفوتونات فكانا على التوالي 2.02 c و 1.25 c Gy / hr / μg على بعد 1cm من المنبع من أجل المنبع المقترح.

U - 235

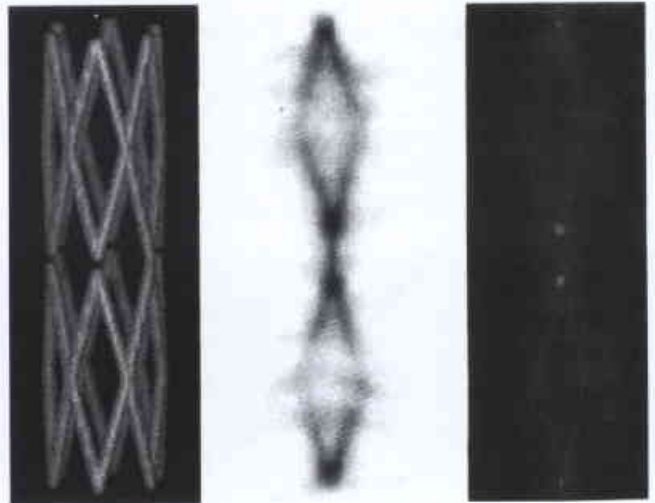
اقترح ليو Liu وآخرون تقنية للعلاج بضمم العلاج القصير و علاج الأسر باستخدام ^{235}U [69]. والفكرة في العمل هي أن بذور ^{235}U المغروزة كمنابع علاج قصير مؤقتة شتتت إشعاع من حزمة خارجية من



الشكل 21- معدل الجرعة بوحدة الفعالية من منبع علاج قصير ضمن وعائي $^{90}\text{Sr} / ^{90}\text{Y}$ قيس في شبح صلب وحسب باستخدام MCNP. مأخوذ من فيسيندن وآخرين [82].

0.696 MeV عظمى للبروترون، و 511 keV لفوتونات الفناء وإشعاعات غاما أخرى عديدة تقع طاقاتها في المجال 0.944 MeV و 2.241 MeV.

ونظراً للهندسة المعقدة للواقية الشريانية (الإشيتت) (الشكل 22)، فقد تمت نمذجة محاكيات مونت كارلو لعناصر إفرادية (قوائم انضغاط struts) باستخدام الكود MCNP من أجل إعادة تنظيم الفصل عن الخط (أو الأنترنيت) offline. تم تعيين توزيع الجرعة للواقية الشريانية بأكملها بضمم توزيع الجرعة لقوائم انضغاط منفصل حسب هندسة الواقية. قورنت الحسابات مع الحسابات التالية المنجزة باستخدام فلم كرومي GAF في جسم وهمي من البولي ستيرين أنشئ خصيصاً. يبين الشكل 23 مقارنة جرعة عمق بسيطة. ويبين الشكل 24 توزيعي جرعة ثنائية البعد مأخوذين عند سويتين مختلفتين على الواقية الشريانية.



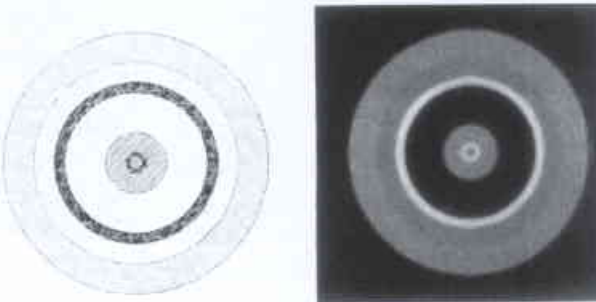
الشكل 22- واقية شريانية (إشيتت) تجارية (إلى اليسار) نُشطت بحزمة من البروتونات. أنجزت حسابات MCNP من أجل عنصر داعم وحيد و توزيع جرعة تم الحصول عليه لكل الواقية الشريانية بترابك العناصر الفردية (إلى اليمين). قورنت الحسابات مع القياس المنجز باستخدام فلم GAF من الكروم (في الوسط). مأخوذ من لي وآخرين [92].

عضلة، دهن وهواء كسلسلة من حلقات متمركزة متناظرة قطرياً حول المركز. بين الشكل 25 النموذج والصورة المعاد إنشاؤها. كما درست عوامل أخرى مثل طاقة الفوتون، وتبعثر الفوتون، وتقسية الحزمة.

إن مسألة الجرعة التي يتلقاها المرضى الذين يخضعون للتشخيص والإجراءات أشعة X المتخللة هي قيد النظر بمراقبة متزايدة ضمن مجال فيزياء الصحة الطبية medical health physics. ويعد تزايد التعقيد (ومن ثم الزمن والتعرض) في الإجراءات الاجتياحية بصورة أصغرية واحداً من هذه الأسباب يوجهه في ذلك التنظير بالتفلور وتصوير الأوعية الدموية. لقد استعمل جانسون وآخرون Jansen تقنيات مونت كارلو لحساب جرعات الأعضاء و الجرعات الفعالة من إجراءات CT [98]. يعرف دليل جرعة التصوير المقطعي المحوسب (CTDI) بالجرعة المتكاملة على خط يوازي المحور Z لمساح CT مقسوماً على ثخن الشريحة. يقاس CTDI بسهولة باستخدام حجرة تأين خاصة. تمت نمذجة المساح CT، من أجل حسابات مونت كارلو، بتصميم منبع حلقي خاص special annular source باستخدام الروتين الثنائي المنبع. جمعت عينات لاتجاهات الفوتون من الجانبيات المحسوبة أو المقيسة من أجل زاوية المروحة وبصورة منتظمة عبر زاوية صغيرة للحصول على الثخن الجيد المناسب عند المحور المركزي. تم اختيار طيف الحزمة من معطيات منشورة مبنية على الـ kV الاسمي و HVL المقيس. صممت أشباح تشرحية ذكرية وأنثوية وحسبت جرعات الأعضاء باستخدام تقدير طول الأثر معدّل بعوامل تحويل معدل الدفع إلى جرعة مستنظمة إلى CTDI المقيسة.

الطب النووي

استخدم كرامر Kramer وإيو Yiu الكود MCNP لدراسة كفاية كواشف NaI من أجل مرضى عديدين ومميزات الكواشف في المعالجة باليود 125 I للغدة الدرقية [99]. تمت نمذجة الرقبة والغدة الدرقية بناء على تعاريف ICRP و ICRU مستخدمين الهندسة التوافقية النموذجية للكود MCNP. عينت الكفاية في العدّ بناء على عدد الجسيمات المتأثرة مع الكاشف. وبناء على النتائج، استنتج المؤلفون بأن كفاية العد كانت تعتمد على حجم الكاشف (أكبر كفاية تقابل أكبر الكواشف) وعلى ثخن النسيج الغطاء (الكفاية الأكبر تقابل أقل نسيج مغط).



الشكل 25- صورة بالتصوير الطبقي معاد إنشاؤها (إلى اليمين) من جانبيات مونت كارلو المحسوبة للنموذج على اليسار. المواد مرتبة بدءاً من الحلقة الخارجية: ماء، دهن، عظم، هواء، ماء، عظم، ماء. مأخوذ من كاغنون وآخرين [97].

النترونات منتجة أشعة غاما أسر ونيوترونات سريعة ثانوية بالإضافة إلى جسيمات ألفا منبعثة من ^{235}U نفسه. استخدم الكود MCNP لتقدير مدى ملاءمة التقنية بدلالة توزيع الجرعات ومعدل الجرعة. ولقد جرت دراسة حوادث انشطار ^{235}U كمتابعة لهذا العمل [95].

الطب الإشعاعي التشخيصي

التصوير الطبقي المقطعي المحوسب computed tomography

ربما كان مجال الطب الإشعاعي التشخيصي أحد أكثر المجالات في استخدام حسابات مونت كارلو في مقياسية الجرعة الطبية. ورغم كل هذا، فإن تقنيات مونت كارلو تبقى إمكانية مهمة للأبحاث التي تغطي مجالاً واسعاً من التطبيقات التشخيصية، بدءاً من تعرض المريض للإشعاع والجرعة إلى تباين الصور والفصل (الميز). كان بروكهوف وآخرون من أوائل المجموعات التي تطبق الكود MCNP على مسألة إعادة بناء صور التصوير الطبقي المقطعي [96]. فقد عملوا محاكاة لأول جيل من مساحات CT (التصوير الطبقي المقطعي المحوسب) الناقل / الدوارة translate / rotate CT scanner. وضع منبع فوتونات أحادية الطاقة ذو خطوط متوازية مقابل صيف من كتل الكواشف. وُضع شبح تشرحي MIRD بين المنبع وصيف الكواشف. دُوّر الشبح وجرى الحصول على الجانبيات profiles بفواصل زاوي قدره درجتان من 180 درجة كاملة. تم إنجاز إعادة البناء والشبكة مفصلة. أعيدت الإجراءات باستخدام طيف طاقة تشخيصي ومع نموذج حقيقي لمريض أخذ من مسح CT سابق خضع لمعالجة فرعية من مصفوفة 64 X 64 لإنقاص أزمته التشغيل. نتج عن كلتا المحاكاتين تمثيلات معقولة للمعطيات الأصلية. وأخيراً فإن إنجاز ما يزيد على 90 دورة تشغيل للحصول على الجانبيات اللازمة لإنشاء شريحة واحدة يعد بلا جدوى أبداً. وعلى كل حال برهن المؤلفون أن كود مونت كارلو يمكن أن يكون أداة فعالة لتقدير العمليات الفيزيائية الكائنة خلف إعادة بناء الصور المأخوذة بالتصوير الطبقي.

إن معرفة عدم الكفايات الموجودة في طرائق بروكهوف وآخرين، والحاجة إلى تمثيل كامل لكل من المساح CT والجسم الذي سيتم تصويره، جعلت كاغنون Cagnon وآخرين يأخذون على عواتقهم مشروعاً طموحاً لنمذجة إعادة بناء صور التصوير الطبقي باستخدام الكود MCNP وتمثيل دقيق للمساح CT [97]. ويمكن في الوقت الراهن لطيف فوتونات أحادي أو متعدد الطاقة أن يؤخذ كعينات عشوائية من حزمة مروحية تنشأ من هدف. من أجل أطيف متعددة الطاقة، أنشئت دالة توزيع تراكمي من أطيف إشعاع الكبح CT المقيسة أو المحاكاة. عُدّل الكود ليقدم نموذج فضاء طوري لمنبع أشعة X، معرّفًا مواقع موضعية x، y، z وأشعة اتجاه u، v، w وطاقة (انظر أيضاً [20، 23]). يمكن تغيير الفضاء الطوري من قبل المستخدم ليعطي وسطاء أمثال عرض المروحة، وثن الشريحة المحوري، والموضع الدوراني حول المبدأ. وتوضع مجموعة من عناصر كاشفة مرتبة وفق قوس مقابل الحزمة المروحية. يُرتب المستخدم بسهولة عدد الكواشف وحجمها ومواقعها ليتيح الوصول إلى الحالة المثلى في الضجيج أو الميز (الفصل) حسب الرغبة. عرّف نموذج يحاكي أنسجة المريض: ماء،

التدريب والوقاية من الإشعاع

وشحانات الأسقف والأرضيات. تمذجت الحزمة المشكّلة فقط من الترونات كمنبع نقطي متناح. وتمذج طيف الطاقة كأربع بثّات bin منفصلة، من 4eV إلى 1 MeV. وضعت كواشف نقطية للترونات والفوتونات عند مواضع مختلفة داخل وخارج غرفة المعالجة. ولتحسين الإنجاز وإنقاص التغير الإحصائي، سُمح لانشطار الجسيمات كما أُغلق التبعر المترابط. أنشئ منحني النفوذ transmission curve من معطيات الكاشف النقطي. قرر المؤلفون من هذا أن الإضافة 5% من البولي إيثيلين المبورق بين النبع والجدران الإسمنتية يمكن أن يقلل حجم الإسمنت اللازم بمقدار 27% بينما يحافظ على الجرعة اللامهنية عند الحدود المقبولة.

استخدم العفان AI - Affan كود MCNP الذي كان مستخدماً لحساب طيف الفوتونات المبعثرة والطاقة الوسطى عند مواضع مختلفة داخل غرف المعالجة بالإشعاعي وخارجها [103]. وباستعمال هذه المعلومات، تم تحقيق تقييم للجرعات المتسرّبة خارج الشبكة. كانت نتائج الحسابات على اتفاق جيد مع القياسات المنشورة من قبل. أنجز ماك جينلي McGinley وآخرون دراسة مماثلة لكنهم فضّلوا المساهمات العائدة للجرعة إلى أشعة غاما الأُسْر، وتسرب أشعة X ومنابع التبعر [104].

النتيجة

يعد كود مونت كارلو للجسيمات المعتدلة (MCNP) ملائماً بشكل مثالي لتطبيقات في مقياسية جرعة الإشعاع الطبي. إن كود MCNP موثّق بشكل جيد من خلال الأدبيات العلمية المنشورة ومن خلال العدد المتزايد بسرعة من المواقع على الإنترنت. لقد حاولنا في هذه المخطوطة أن نلخص الجزء الأساسي من العمل مطبقين كود MCNP على مقياسية جرعة الإشعاع الطبي، وذلك لإعلام الباحثين الآخرين في هذا المجال ولتشجيع استخدامات أخرى لهذا الكود والعمل على تطويره. وفي الوقت الذي نسعى فيه للكمال قدر الإمكان، لاشك أن هناك عدد آخر من المراجع لم يرد ذكره. ويلاحظ بوضوح فيما يتعلق بالتطبيقات في الفيزياء الطبية العلاجية أنها تعكس صورة لاهتمامات المؤلفين الخاصة وتحيّزاتهم.

REFERENCES

- [1] Briesmeister, J. F.: MCNP - A general Monte Carlo N - Particle transport code, version 4A. Los Alamos National Laboratory report LA - 12625 (1993).
- [2] Berger, M. J.: Monte Carlo calculations of the penetration and diffusion of fast charged particles. In: Methods in Computational Physics, Vol. 1, Alder, B., Fernbach, S., Rotenberg, M., eds. Academic Press, New York (1963).
- [3] Berger, M. J., Seltzer, S. M.: ETRAN Monte Carlo code system for electron and photon transport through extended media. Radiation Shielding Information Center report CCC - 107 (1968).
- [4] Fitzgerald, J. J., Brownell, G. L., Mahoney, F. J.: Mathematical theory of radiation dosimetry. Gordon and Breach Science Publishers, Inc., New York (1967).

ربما يكون مجال حجب الإشعاع radiation shielding واحداً من أكثر المجالات التي تستخدم حسابات مونت كارلو في مقياسية الجرعة الطبية. ففي عام 1993 نشر ميتزجر Metzger وآخرون عن تصميم التدريب (الحجب) لقاعات أشعة X المستخدمة في التشخيص باستخدام MCNP [100]. فقد جرى تمذجة الخواص الفيزيائية لقاعات أشعة X بما فيها تركيب وبناء الجدران، والأرضيات والأسقف (لوح جداري من الجبصين، والرصاص والإسمنت). كما تمذج مستقبل الصورة image receptor (حامل كاسيت) الفلم والمريض، ودُرسا في حسابات التوهين. أخذت أطيايف أشعة X تتراوح ما بين 45 و 150 kVp من معطيات منشورة. وضعت كواشف حلقيّة (مولدات الحدث التالي ل MCNP) عند مواضع متعددة وخارج الغرفة. استعملت الحسابات بالنسبة للموضع 100 سنتيمتر من المنبع على المحور المركزي، ثم ضربت في الخرج التراكم المحسوب calculated collective output لتعطي كيرما الهواء. قورنت النتائج الموجودة في التقرير رقم 49 ل NCRP. قام المؤلفون بالحساب فوجدوا أن تقرير NCRP يغالي في تقدير التدريب اللازم في غرف أشعة X المعدة للتشخيص. وفي النتيجة اقترحوا أن معظم المنشآت الموجودة ستكون قادرة على الاستجابة والإذعان لحد الجرعة اللامهنية المختزل بدون الحاجة إلى مواد تدريب إضافية.

يمكن إنتاج الترونات في غرفة العلاج الإشعاعي كلما كانت الطاقات المستخدمة فوق عتبة التفاعل (γ,n). لقد اقترح أغوستينو Agosteo وآخرون [101] وصفاً تحليلياً لتدفق الترونات المكاني في غرف العلاج الإشعاعي. ولقد استخدم الكود MCNP لتحقيق نتائج الصبغ التحليلية.

استخدم إيفانز Evans وبلو Blue الكود MCNP في تصميم تدريب غرف المعالجة (المعانية) من أجل العلاج بأسر الترونات [102]. تمذجت أبعاد الغرفة حسب أبعاد ميتزجر وآخرون، ولكن استخدمت أيضاً مجموعات مختلفة بصورة طبيعية من مواد التدريب والإنشاء، بما فيها البولي إيثيلين المبورق (المشعب بحمض البوريك)، والجدران المختلفة،

- [5] Mo97: Mohan, R.: Why Monte Carlo. In: Proceedings of the XIIth International Conference on the Use of Computers in Radiation Therapy. Leavitt, D. D., Starkschall, G., eds. Medical Physics Publishing (1997).
- [6] Briesmeister, J. F.: MCNP - A general Monte Carlo N - Particle transport code, version 4B. Los Alamos National Laboratory report LA- 12625 - M (1997).
- [7] Hendricks, J. S., Briesmeister, J. F.: Recent MCNP enhancements. Los Alamos National Laboratory report LA - UR - 91 - 3456 (1991).
- [8] Hendricks, J. S.: MCNP4C. Los Alamos National Laboratory communication X - 5: JSH - 2000 - 30 (2000).
- [9] Andreo, P.: Monte Carlo techniques in medical radiation physics. Phys. Med. Biol. 36, 961 - 920 (1991).
- [10] Rogers, D. W. O., Bielajew, A. F.: Differences in electron depthdose curves calculated with EGS and ETRAN and

- improved energy - range relationships. *Med. Phys.* 13 (5), 687 - 694 (1986).
- [11] Seltzer, S. M.: An overview of ETRAN Monte Carlo methods. In: *Monte Carlo Transport of Electrons and Photons*. Jenkins, T. M., Nelson, W. R., Rindi, A., eds. Plenum Press (1988).
- [12] Hughes, H. G.: Treating Electron Transport in MCNP. Unpublished Los Alamos National Laboratory report (1997).
- [13] West, J. T.: SABRINA: An interactive three - dimensional geometry modeling program for MCNP, Los Alamos National Laboratory report LA - 10688 - M (1986).
- [14] DeMarco, J. J., Solberg, T. D., Wallace, R. E., Smathers, J. B.: A verification of the Monte Carlo code MCNP for thick target bremsstrahlung calculations. *Med. Phys.* 22(1), 11 - 16 (1995).
- [15] Hal blieb, J. A., Mehlhorn, T. A.: ITS: The integrated TIGER series of coupled electron / photon Monte Carlo transport codes. Sandia National Laboratory Report SAND 84 - 0573 (1984).
- [16] Faddegon, B. A., Ross, C. K., Rogers, D. W. O.: Forward - directed bremsstrahlung of 10 - 30 MeV electrons incident on thick targets of AL and Pb. *Medical Physics* 18, 773 - 785 (1990).
- [17] Faddegon, B. A., Ross, C. K., Rogers, D. W. O.: Angular distribution of bremsstrahlung from 15 - MeV electron beams incident on thick targets of Be, AL, and Pb. *Med. Phys.* 17, 727 - 739 (1991).
- [18] Siebers, J. V., Keall, P. L., Libby, B., Mohan, R.: Comparison of EGS4 and MCNP4b Monte Carlo codes for generation of photon phase space distributions for a Varian 2100C. *Phys. Med. Biol.* 44 (12), 3009 - 3026 (1999).
- [19] DeMarco, J. J., Solberg, T. D., Smathers, J. B.: A CT - based Monte Carlo Simulation Tool for Dosimetry Planning and Analysis. *Med. Phys.* 25 (1), 1 - 11 (1998).
- [20] Chetty, I., DeMarco, J. J., Solberg, T. D.: A virtual source model for Monte Carlo modeling of arbitrary intensity distributions. *Med. Phys.* 27 (1), 166 - 172 (2000).
- [21] Lewis, R. D., Ryde, S. J., Hancock, D. A., Evans, C. J.: An MCNP - based model of a linear accelerator X - ray beam. *Phys. Med. Biol.* 44 (5), 1219 - 1230 (1999).
- [22] Arellano, A. R., DeMarco, J. J., Solberg, T. D.: Spectral Characteristics of a Linear Accelerator Dedicated for Radiosurgery. *Med. Phys.* 23 (8), 1492 (1996).
- [23] Chetty, I. C., Solberg, T. D., DeMarco, J. J., Arellano, A. R., Fogg, R.: A phase - space model for simulating arbitrary intensity distributions for shaped radiosurgery beams using the Monte Carlo method. In: *Radiosurgery* 1999. Kondziolka, D., ed. S. Karger AG, Basel, pp. 41 - 52 (2000).
- [24] Mackie, T. R., Battista, J. J.: A macroscopic Monte Carlo method for electron beam dose calculations: a proposal. In: *The Use of Computers in Radiation Therapy*. Proceedings of the Eighth ICCR, Toronto, Canada (1984).
- [25] Hartmann - Siantar, C. L., Chandler, W. P., Weaver, K. A., Al - bright, N. W., Verhey, L. J., Hornstein, S. M., Cox, L. J., Rathkopf, A., Svatos, M. M.: Validation and Performance Assessment of the Peregrine All - Particle Monte Carlo, Code for Photon Beam Therapy. *Med. Phys.* 23, 1128 (1996).
- [26] Lovelock, D. M. J., Chui, C. S., Moban, R.: A Monte Carlo model of photon beams used in radiation therapy. *Med. Phys.* 22, 1387 - 1394 (1995).
- [27] Mackie, T. R.: The Ottawa - Madison Electron Gamma Algorithm (OMEGA) project: feasibility of two Monte Carlo techniques. In: *The Use of Computers in Radiation Therapy*. Proceedings of the Tenth ICCR, Lucknow, India (1990).
- [28] Ma, C. M., Mok, E., Kapur, A., Brain, S., Findley, D., Boyer, A.: Clinical implementation of a Monte Carlo Treatment Planning System. *Med. Phys.* 25, A128 (1998).
- [29] Neuenchwande, H., Macker, T. R., Reckwerdt, P. J.: MMC - a high performance Monte Carlo code for electron beam treatment planning. *Phys. Med. Biol.* 40, 543 - 574 (1995).
- [30] Rogers, D. W. O., Bielajew, A. F., Mackie, T. R., Kubsad, S. S.: The OMEGA Project: Treatment planning for electron - beam radiotherapy using Monte Carlo techniques. *Phys. Med. Biol.* 35, 285 (1990).
- [31] Rogers, D. W. O., Faddegon, B. A., Ding, G. X., Ma, W. M., We, J., Mackie, T. R.: BEAM: A Monte Carlo code to simulate radiotherapy treatment units. *Med. Phys.* 22, 503 - 524 (1995).
- [32] Wallace, S., Allen, B. J.: CT based 3D Monte Carlo radiation therapy treatment planning. *Australasian Physical and Engineering Sciences in Medicine* 21 (2), 41 - 50 (1998).
- [33] Solberg, T. D., Holly, F. E., DeSalles, A. A. F., Smathers, J. B.: Implications of Tissue Heterogeneity for Radiosurgery in Head and Neck Tumors. *Int. J. Radiation Onc. Biol. Physics* 32 (1), 235 - 239 (1995).
- [34] Love, P. A., Lewis, D. G., AI - Affan, I. A., Smith, C. W.: Comparison of EGS4 and MCNP Monte Carlo codes when calculating radiotherapy depth doses. *Phys. Med. Biol.* 43 (5), 1351 - 1357 (1998).
- [35] Ma, C. - M., Jiang, S. B.: Monte Carlo modeling of electron beams from medical accelerators. *Phys. Med. Biol.* 44 (12), R157 - R189 (1999).

- [36] Jeraj, R., Keall, P. J., Ostwald, P. M.: Comparisons between MCNP, EGS4 and experiment for clinical electron beams, *Phys. Med. Biol.* 44(3), 705 - 717 (1999).
- [37] Andreo, P., Brahme, A.: Mean energy in electron beams. *Med. Phys.* 8, 682 - 687 (1981).
- [38] Halbleib, J. A.: Integrated TIGER series of coupled electronphoton Monte Carlo transport codes, ITS version 3. o. Sandia National Laboratories report SAND91 - 1634 (1992).
- [39] Gierga, D. p., Adams, K. J.: Electron photon verification calculations using MCNP4B. Los Alamos National Laboratory report LA - 13440, (1999).
- [40] Jenkins, T. M., Nelson, W. R., Rindi, A. (eds.): Monte Carlo transport of electrons and photons. Plenum Press, New York, (1988).
- [41] Zamenhof, R., Redmond, E., Solartes, G., Katz, D., Riley, K., Kiger, S., Harling, O.: Monte Carlo - based treatment planning for boron neutron capture therapy using custom designed models automatically generated from CT data. *Int J. Radiation Onc. Biol. Physics.* 35 (2), 383 - 397 (1996).
- [42] Chen, H. C., Asau, Y.: On generating random variates from an empirical distribution. *AIIE Trans.* 6, 163 (1974).
- [43] Woodcock, E. R., Murphy, T., Hemmings, P. J., Longworth, S. C.: Techniques used in the GEM code for Monte Carlo neutronics calculations in reactors and other systems of complex geometries. In: Proc. Of the Conf. Applications of Computing Methods to Reactor Problems. Argonne National Laboratory Report ANL - 7050, p. 557 (1965).
- [44] Gudowska, I., Brahme, A., Andreo, P., Gudowski, W., kierkegaard, J.: Calculation of absorbed dose and biological effectiveness from photonuclear reactions in a bremsstrahlung beam of end point 50 MeV. *Phys. Med. Biol.* 44 (9), 2099 - 2125 (1999).
- [45] Solberg, T. D., DeMarco, J. J., Smathers, J. B., Holly, F. E., DeSalles, A. A. F.: Monte Carlo Treatment Planning for Stereotactic Radiosurgery. *Radiotherapy and Oncology* 49, 73 - 84 (1998).
- [46] Medin, P. M., Solberg, T. D., DeMarco, J. J., Cagnon, C. H., Chetty, I. C.: A dosimetric comparison of film measurements with three calculation methods for traditional SRS radiation fields in extracranial target volumes. Proceedings of the 4th International Stereotactic Radiosurgery Society Congress, p. 55 (1999).
- [47] Medin, P. M., DeSalles, A. A. F., DeMarco, J. J., Selch, M. T., Vassilev, V., Smathers, J. B., Solberg, T. D.: Radiosurgery for spinal lesions: dosimetric considerations. *Med. Phys.* 23 (6), 1165 (1996).
- [48] Mello, R. S., Callison, H., Winter, J., Kagan, A. R., Norman, A.: Radiation dose enhancement in tumors with iodine. *Med. Phys.* 10, 75 - 78 (1983).
- [49] Iwamoto, K. S., Cochran, S. T., Winter, J., Holburt, E., Higashida, R.T., Norman, A.: Radiation dose enhancement therapy with iodine in rabbit VSX - 2 brain tumors. *Radiotherapy and Oncology* 8, 161 - 170 (1987).
- [50] Iwamoto, K. S., Norman, A., Kagan, A. R., Wollin, M., Olch, A., Bellotti, J., Ingram, M., Skillen, R.: The CT scanner as a therapy machine. *Radiotherapy and Oncology* 19, 337 - 343 (1990).
- [51] Norman, A., Ingram, M., Skillen, R. G., Freshwater, D. B., Iwamoto, K. A., Solberg, T. D.: X - ray phototherapy for canine brain masses. *Radiat. Oncol. Invest.* 5, 8 - 14 (1997).
- [52] Norman, A., Ingram, M., Cochran, S. T., Solberg, T. D., Ford, J. M.: X - ray phototherapy for Solid Tumors. *Academic Radiology* 5, 177 - 179 (1998).
- [53] Rose, J. H., Norman, A., Ingram, M., Aoki, C., Solberg, T. D., Mesa, A.: First experience with radiation therapy of human metastatic brain tumors delivered by a computerized tomographic scanner (CTRx). *Int. J. Radiation Onc. Biol. Physics* 45 (5), 1127 - 1132 (1999).
- [54] Solberg, T. D., Norman, A., Iwamoto, K. S.: Radiation Dose Enhancement Therapy for Brain Tumors. *Phys. Med. Biol.* 37 (2), 439 - 443 (1992).
- [55] Mesa, A. V., Norman, A., Solberg, T. D., DeMarco, J. J., Smathers, J. B.: Dose distributions using kilovoltage X - rays and Dose Enhancement from Iodine Contrast Agents. *Phys. Med. Biol.* 44, 1955 - 1968 (1999).
- [56] Yanch, J. C., Zhou, X. L., Brownell, G. L.: A Monte Carlo investigation of the dosimetric properties of monoenergetic neutron beams for neutron capture therapy. *Radiation Research.* 126 (1), 1 - 20 (1991).
- [57] Yanch, J. C., Kim, J. K., Wilson, M. J.: Design of a californiumbased epithermal neutron beam for neutron capture therapy. *Phys. Med. Biol.* 38 (8), 1145 - 1155 (1993).
- [58] Gupta, N., Niemkiewicz, J., Blue, T. E., Gahbauer, R., Qu, T. X.: Effect of head phantom size on 10B and 1H [n, γ] 2H dose distributions for a broad field accelerator epithermal neutron source for BNCT. *Med. Phys.* 20 (2), 395 - 404 (1993),
- [59] Pettersson, O. A., Chiangmai, S. N., Grusell, E., Larsson, B.: A facility for biomedical experiments with thermal neutrons. *Phys. Med. Biol.* 38 (8), 1081 - 1088 (1993).
- [60] Konijnenberg, M. W., Mijnheer, B. J., Raaijmakers, C. P., Stecher - Rasmussen, F., Watkins, P. R.: An investigation of the possibilities of BNCT treatment planning with the

- Monte Carlo method. *Strahlentherapie und Onkologie*. 169 (1), 25 - 28 (1993).
- [61] Konijnenberg, M. W., Dewit, L. G., Mijnheer, B. J., Raaijmakers, C. P., Watkins, P. R.: Dose homogeneity in boron neutron capture therapy using an epithermal neutron beam. *Radiation Research*. 142 (3), 327 - 339 (1995).
- [62] Wallace, S. A., Allen, B. J., Mathur, J. N.: Monte Carlo calculations of epithermal boron neutron capture therapy with heavy water, *Phys. Med. Biol.* 40 (10), 1599 - 1608 (1995).
- [63] Pignol, J. P., Cuendet, P., Brassart, N., Fares, G., Colomb, F., M'Bake Diop, C., Sabattier, R., Hachem, A., Prevot, G.: Combined use of FLUKA nod MCNP - 4A for the Monte Carlo simulation of the dosimetry of IOB neutron capture enhancement of fast neutron irradiations. *Med. Phys.* 25(6), 885 - 891 (1998).
- [64] Pignol, J. P., Paquis, P., Cuendet, P., Gibon, D., Diop, C. M., Sabattier, R.: Beam collimation and bolusing material optimizations for IO boron neutron capture enhancement of fur neutron (BNCFN): definition of the optimum irradiation technique. *Int. J. Radiation Onc. Biol. Physics*. 43 (5), 1151 - 1159 (1999).
- [65] Bleuel, D. L., Donahue, R. J., Ludewigt, B. A., Vujic, J.: Designing accelerator - based epithermal neutron beams for boron neutron capture therapy. *Med. Phys.* 25 (9), 1725 - 1734 (1998).
- [66] Brugger, R. M., Herleth, W. H.: Intermediate energy neutron beams from the MURR. *Basic Life Sciences*. 54, 153 - 166 (1990).
- [67] Wessol, D. E., Babcock, R. S., Esty, N., Frandsen, M., Harkin., Starkey, D., Voss, L., Wheeler, F. J.: BNCT - RTPE: BNCT radiation treatment planning environment. In: INEEL BNCT Research Program Annual Report 1996. Venhuizen, J. R., ed. INEEL / EXT - 97 - 00319 (1997).
- [68] Shih, J. L., Brugger, R. M.: Gadolinium as a neutron capture therapy agent. *Med. Phys.* 19 (3), 733 - 744 (1992).
- [69] Liu, H. B., Brugger, R. M., Shih, J. L.: Neutron capture therapy with ^{235}U seeds. *Med. Phys.* 19 (3), 705 - 708 (1992).
- [70] Liu, H. B., Burgger, R. M., Rorer, D. C., Tichler, P. R., Hu, J. P.: Design of a high - flux epithermal neutron beam using ^{235}U fission plates at the Brookhaven Medical Research Reactor. *Med. Phys.* 21 (10), 1627 - 1631 (1994).
- [71] Kleck, J. H.: Applications of positron emitting tissue activation products in high energy particle and photon therapy. Doctoral Dissertation, University of California, Los Angeles (1991).
- [72] Bohm, T. D., Deluca, P. M. Jr., Cox, L. J., Maughan, R. L., Jones, D. T., Lennox, A.: Monte Carlo calculations to characterize the source for neutron therapy facilities. *Med. Phys.* 26 (5). 783 - 792 (1999).
- [73] Dale, R. G.: A Monte Carlo derivation of parameters for use in the tissue dosimetry of medium and low energy nuclides. *Br. J. Radiol.* 55 (658), 748 - 757 (1982).
- [74] Burns, G. S., Raeside, D. E.: Monte Carlo estimates of specific absorbed fractions for an I - 125 point source in water. *Med. Phys.* 10 (2), 197 - 198 (1983).
- [75] Williamson, J. F., Morin, R. L., Khan, F. M.: Monte Carlo evaluation of the Sievert integral for brachytherapy dosimetry. *Phys. Med. Biol.* 28 (9), 1021 - 1032 (1983).
- [76] Williamson, J. F.: Monte Carlo evaluation of specific dose constants in water for ^{125}I seeds. *Med. Phys.* 15 (5), 686 - 694 (1988).
- [77] Williamson, J. F; and Quintero, F. J.: Theoretical evaluation of dose distributions in water about models 6711 and 6702 ^{125}I seeds. *Med. Phys.* 15 (6), 891 - 897 (1988).
- [78] Mason, D., Battista, J., Barnett, R., Porter, A.: Ytterblum - 169: Calculated physical properties of a new radiation source for brachytherapy. *Med. Phys.* 19, 695 - 703 (1992).
- [79] MacPherson, M. S., Battista, J. J.: Dose distributions and dose rate constants for new ytterbium - 169 brachytherapy seedts. *Med. Phys.* 22 (1), 89 - 96 (1995).
- [80] DeMarco, J. J., Smathers, J. B., Burnison, C. M., Ncube, Q. K., Solberg, T. D.: CT-based dosimetry calculations for ^{125}I prostate implants. *Int. J. Radiation Onc. Biol. Physics* 45 (5), 1347 - 1353 (1999).
- [81] Wu, C. S., Kliuga, P., Zaider, M., Amols, H. I.; Microdosimetric evaluation of relative biological effectiveness for ^{103}Pd , ^{125}I , ^{241}Am , and ^{192}Ir brachytherapy sources. *Int. J. Radiation Onc. Biol. Physics*. 36 (3), 689 - 697 (1996).
- [82] Fessenden, K. K., DeMarco, J. J., Solberg, T. D., Smathers, J. B., Wright, A. E., Kleck, J. H.: Measured and calculated dosimetry for the VariSource HDR source. *Med. Phys.* 23 (6), 1149 (1996).
- [83] Wallace, S., Wong, T., Fernando, W.: Monte Carlo dosimetry of the microselectron HDR ^{192}Ir brachytherapy source using MCNP4A. *Australasian Physical and Engineering Sciences in Medicine*. 21 (1), 11 - 17 (1998).
- [84] Watanabe, Y., Roy, J. N., Harrington, P. J., Anderson, L. L.: Experimental and Monte Carlo dosimetry of the Henschke applicator for high dose - rate ^{192}Ir remote afterloading. *Med. Phys.* 25 (5), 736 - 745 (1998).
- [85] Watanabe, Y., Roy, J. N., Harrington, P. J., Anderson, L. L.: Threedimensional lookup tables for Henschke

- applicator cervix treatment by HDR 192Ir remote afterloading. *Int. J. Radiation Onc. Biol. Physics.* 41 (5), 1201 - 1207 (1998).
- [86] Williamson, J. F., Li, Z.: Monte Carlo aided dosimetry of the Microselectron pulsed and high dose - rate 192Ir sources. *Med. Phys.* 22 (6), 809 - 819 (1995).
- [87] Nath, R., Anderson, L. L., Luxton, G., Weaver, K. A., Williamson, J. F., Meigooni, A. S.: Dosimetry of interstitial brachytherapy sources: Recommendations of the AAPM Radiation Therapy Committee Task Group No. 43. *Med. Phys.* 22, 209 - 234 (1995).
- [88] Williamson, J. F.: Comparison of measured and calculated dose rates in water near I - 125 and Ir - 192 seeds. *Med. Phys.* 18, 776 - 786 (1991).
- [89] Wierzbicki, J. G., Rivard, M. J., Waid, D. S., Arterbery, V. E.: Calculated dosimetric parameters of the IO Gold 125I source model 3631 - A. *Med. Phys.* 25 (11), 2197 - 2199 (1998).
- [90] Wong, T., Wallace, S., Fernando, W., Schumer, W., Quong, G.: Dose errors in the near field of an HDR brachytherapy stepping source. *Phys. Med. Biol.* 44 (2), 357 - 363 (1999).
- [91] Fessenden, K. K., De Marco, J. J., Solberg, T. D., Rege, S., Razavi, M., Smathers, J. B., Almond, P. R., Xu, Z.: Monte Carlo dosimetry for beta source selection and design for endovascular irradiation. *Int. J. Radiation Onc. Biol. Physics* 36 (1-suppl), 401 (1996).
- [92] Li, A. N., Eigler, N. L., Litvack, F., Whiting, J. S.: Characterisation of a positron emitting V48 nitinol stent for intracoronary brachytherapy. *Med. Phys.* 25 (1), 20 - 28 (1998).
- [93] Prestwich, W. V., Kennett, T. J., Kus, F. W.: The dose distribution produced by a 32P - coated stent. *Med. Phys.* 22: 313 - 320 (1995).
- [94] DeMarco, J. J., Solberg, T. D., Smathers, J. B. Martin, R.: Monte Carlo Dosimetry Analysis for a new Cf- 252 Brachytherapy Source. *Med. Phys.* 23 (8), 1486 (1996).
- [95] Liu, H. B., Bragger, R. M., Laster, B. H., Greenberg, D. D., Gordon, C. R., Warkentien, L. S.: Physical nod biological doses produced from neutron capture in a 235U foil. *Med. Phys.* 22(5), 591 - 595 (1995).
- [96] Brockhoff, R. C., Estes, G. P., Hills, C. R., DeMarco, J. J., Solberg, T. D.: the Application of MCNP to Computed Tomography in Medicine. Los Alamos National Laboratory Report, LAUR - 96 - 135 (1996).
- [97] Cagnon, C. H., McNitt - Gray, M., DeMarco, J. J.: Simulation of CT scanner geometry and physics using Monte Carlo methods. *Med. Phys.* 26 (6), 1063 - 1064 (1999).
- [98] Jansen, J. T., Geleijns, J., Zweers, D., Schultz, F. W., Zoetelief, J.: Calculation of computed tomography dose index to effective dose conversion factors based on measurement of the dose profile along the fan shaped beam. *Br. J. Radiol.* 69 (817), 33 - 41 (1996).
- [99] Kramer, G. H., Yiu, S.: Examination of the effect of counting geometry on 125I monitoring using MCNP. *Health Physics*, 72 (3), 465 - 470 (1997).
- [100] Metzger, R., Richardson, R., Van Riper, K. A.: A Monte Carlo model for retrospective analysis of shield design in a diagnostic X - ray room. *Health Physics* 65 (2), 164-171 (1993).
- [101] Agosteo, S., Foglio Para, A., Maggioni, B.: Neutron fluxes in radiotherapy rooms. *Med. Phys.* 20 (2), 407 - 414 (1993).
- [102] Evans, J. F., Blue, T. E.: Shielding design of a treatment room for an accelerator - based epithermal neutron irradiation facility for BNCT. *Health Physics*. 71 (5), 692 - 699 (1996).
- [103] Al - Affan, I. A. M.: Estimation of the dose at the maze entrance for X-rays from radiotherapy linear accelerators. *Med. Phys.* 27 (1), 231 - 238 (2000).
- [104] McGinley, P. H., Dhaba'an, A. H., Reft, C. S.: Evaluation of the contribution of capture gamma rays, X - ray leakage, and scatter to photon dose at the maze door for a high energy medical electron accelerator using a Monte Carlo particle transport code. *Med. Phys.* 27 (1), 225 - 230 (2000).
- [105] Ling, C. C., Li, W. X., Anderson, L. L.: The relative biological effectiveness of I - 125 and Pd - 103. *Int. J. Radiation Onc. Biol. Physics.* 32, 373 - 378 (1995).
- [106] Zellmer, D. L., Shadley, J. D., Gillin, M. T.: Comparisons of measured biological response and predictions from microdosimetric data applicable to brachytherapy. *Radiat. Prot. Dosim.* 52, 395 - 403 (1994).
- [107] Wallace, R. E., Fan, J. J.: Evaluation of new brachytherapy 125I source by AAPM TG - 53 formalism. *Med. Phys.* 25, 2190 - 2196 (1998).
- [108] Cross, W. G., Freedman, N. O., Wong, P. Y.: Beta - ray dose distributions from point sources in an infinite water medium. *Health Physics*. 63 (2), 160 - 171 (1992).
- [109] Simpkin, D. J., Mackie, T. R.: FGS4 Monte Carlo determination of the beta dose kernel in water. *Med. Phys.* 17, 179 - 186 (1990). ■



معالجة السرطان باستخدام النظيرين Ac-225 و Bi-213 في مداواة مناعية إشعاعية*

ك. أبوسوليدس، ر. كارلوس ماركيز، و. يانسنز، ر. مولينز، ت. ميكولا،
علي عوض
معهد عناصر ما بعد اليورانيوم - قسم الكيمياء النووية - كارلسروه - ألمانيا.

ملخص

تُعدّ المداواة المناعية الإشعاعية علاجاً مبتكراً للسرطان يجري فيه ربط شحنة مشعة مع حامل نوعي خلوية سرطانية بهدف إحداث قتل انتقائي لخلايا ورمية مستهدفة.

الكلمات المفتاحية: مداواة مناعية إشعاعية، مداواة مناعية بأشعة ألفا، مصادر ألفا، جسم ضدي أحادي النسيلة، مولد النظير 213-Bi، مرافق مشع، النظير 213-Bi، النظير 225-Ac، أورام نقيية مكروية، متمخبات، سرطانات صفاقية، النظير 224-Ra، التهاب الفقار الرثياني

السرطانية. وحيث أن البروتينات (الأجسام الضدية) المأخوذة من تدييات أخرى تنبه أيضاً النظام المناعي لدى الإنسان، لذلك يُلجأ، لمرات عديدة، إلى هندسة الأجزاء غير الحرجة للأجسام الضدية بطرائق تقانة حيوية كي تنسجم مع بنية الجسم الضدي البشري. وهناك عامل حيوي في المداواة المناعية الإشعاعية، وهو العلاج الجديد للسرطان، يجري تشكيله بواسطة أجسام ضدية أحادية النسيلة بالاشتراك مع بروتينات نوعية للخلايا السرطانية أخف وزناً [مثل البيبتيدات أو سُدف الجسم الضدي التي يطلق عليها Fab- و F(ab)2، والتي تعد أجزاء نوعية للجسم الضدي مشتتة على سلاسل بروتينية تقوم بالتعرف على مستضد ما (مستقبل)].

وتعد المداواة المناعية الإشعاعية علاجاً مبتكراً للسرطان يجري فيها ربط شحنة مشعة (رصاص) مع حامل نوعي خلوية سرطانية (مثل جسم ضدي أحادي النسيلة) من أجل تحقيق قتل انتقائي للخلايا الورمية المستهدفة (انظر الشكل 1). وخلال الاضمحلال الإشعاعي للنظير المحقون قد يصدر فوتون (جسيم ضوئي) أو حتى جسيم أثقل وزناً، مثل نواة الهليوم (جسيم ألفا)، يقوم بصدم الخلية السرطانية. وتبعاً لحجم طاقة الجسيم الصادم، سيتولد، على طول مساره، تخریب خلوي لاعكوسي - يزيد أو ينقص. ولهذا، نجد، في الحالة المثالية، أن الخلايا السليمة لا تتأثر بالتخریب الناجم عن الاضمحلال الإشعاعي الآنف الذكر.

وجنباً إلى جنب مع اكتشاف الأجسام الضدية الأحادية النسيلة والبيبتيدات كعوامل سرطانية نوعية نموذجية، ظهرت المداواة المناعية الإشعاعية قبل حوالي 15 عاماً مستخدمة تكليدات مشعة مصدرة لجسيمات بيتا. ويتمتع هذا النوع من التكليدات بنقل خطي للطاقة (LET) منخفض نسبياً، الأمر الذي يعني أن طاقة اضمحلالها ستتوضع بشكل جزئي فقط فوق الخلايا السرطانية المستهدفة؛ أما الجزء المتبقي من هذه الطاقة فسوف يؤثر في الخلايا السليمة (مفعول تقاطع النيران cross-fire effect). ولحل هذه المشكلة، انزاحت بؤرة أبحاث

منذ سنوات عديدة والتشعيع يستخدم في معالجة السرطان سواء بتغيير حزمة خارجية بشكل مباشر فوق الخلايا السرطانية أو بجلب نظائر مشعة (كالبيوت - 131) إلى منطقة وجود الخلايا السرطانية المراد التخلص منها، كالغدة الدرقية. وفي أوائل الثمانينيات، اكتسبت الطريقة الأخيرة مزيداً من الاهتمام مع تطوير مواد تقترب انتقائياً مع مستقبلات خلوية (متاليات بروتينية مميزة يعبر عنها من قبل الخلايا) يجري التعبير، أو الإفراط بالتعبير، عنها بواسطة خلايا سرطانية فقط - مع أنه يُلجأ في بعض الحالات إلى استهداف المجموعة الخلوية بكاملها والتي قد تشمل خلايا سليمة.

إن المبدأ التشغيلي لهذا العلاج مشابه لطريقة أداء وظيفة الجهاز المناعي الذي تُصنع فيه الأجسام الضدية من أجل تحديد هوية "الجسيمات" (التي تنوع ما بين جزيئات صغيرة و بكتيريا ومواد أخرى تشتمل على خلايا غريبة) والتي تعد بدورها غزاة دخيلة في جسم الإنسان.

ونظراً لأن الخلايا السرطانية لا تستطيع تبييه الجهاز المناعي للمريض، يجري حقن الخلايا السرطانية للإنسان إلى داخل تدييات أخرى (الفقران عادة) حيث يتم تبييه الجهاز المناعي. ويجري حصاد الخلايا البيضاء البائية B - white cells المسؤولة عن تصنيع الجسم الضدي؛ ويحوي الحوض الخلوي الناجم عن ذلك عدة أنواع مختلفة من الأجسام الضدية [توجد خمسة أصناف من الأجسام الضدية - IgA، IgD، IgE، IgG، IgM - تشكل عائلة البروتين المعروفة باسم "غلوبولين مناعي" immunoglobulin (Ig) قبالة مستقبلات مختلفة على الخلايا السرطانية.

تُنمى الخلايا المحصورة في الزجاج، وتقسّم عدة مرات إلى مجموعات فرعية sub populations إلى أن يتم عزل مجموعة فرعية منها تصنع نوعاً واحداً فقط من الجسم الضدي (جسم ضدي أحادي النسيلة monoclonal antibody) قبالة جزء نوعي على مستقبل الخلية

minimum residual diseases) كما هو الحال بعد جرعة عالية من المعالجة الكيميائية أو بعد الجراحة التي تبقى فيها كميات صغيرة من الخلايا السرطانية منتشرة إما موضعياً أو في أرجاء الجسم كافة.

اختيار مصدر ألفا

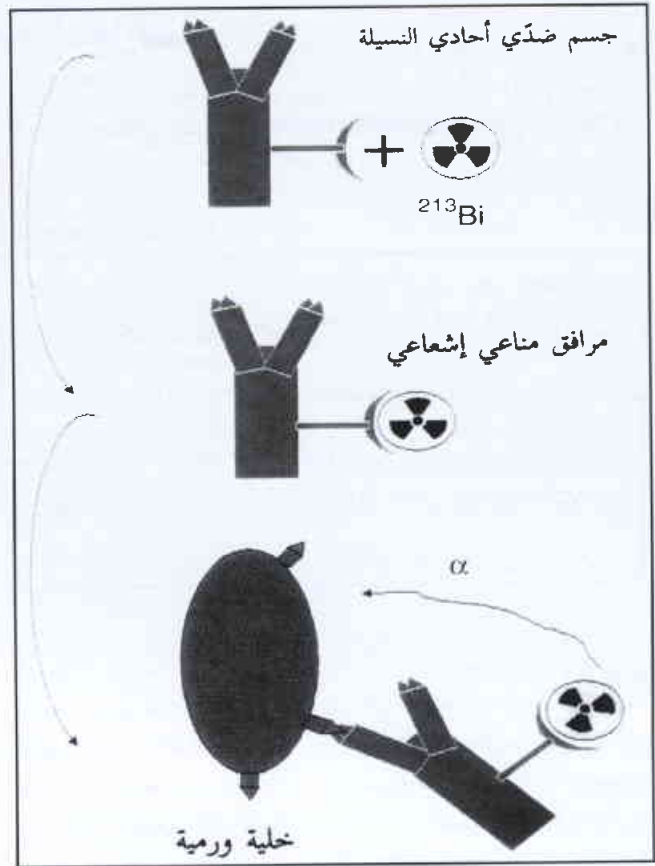
اقترحت عدة نظائر مصدرة لألفا من أجل استخدامها في المداواة المناعية الإشعاعية، كما تم إجراء بعض الدراسات عليها خلال السنوات الأخيرة الماضية (انظر الجدول 1)، ونذكر منها ما يلي: البزموت-212، و 213-Bi، والأكتينيوم-225 (وهو النكليد الأم للنظير 213-Bi)، والأستاتين-211، والراديوم-223 و 224-Ra، والتريوم-149. ومهما يكن من أمر، مازالت هذه النظائر كافة عرضة لبعض العوائق، وهي لهذا السبب لم يُبدأ بعد باستخدامها على نطاق واسع.

وكأمثلة على المشاكل التي ووجهت أثناء تطوير المداواة المناعية الإشعاعية بمصديرات ألفا نذكر ما يلي: التراكم اللانوعي وغير المرغوب، في أعضاء وأنسجة محددة، لمراقب مشع radioactive conjugate (مركب نظير مشع مع حامل متمخبل carrier-chelate-radioisotope construct) أو التحرر في الحي لنكليد مشع، أو انبعاث غاز الرادون أو نظائر مصدرة لأشعة غاما عالية الطاقة عند تصنيع واضمحلال سلسلة النكليدات المشعة.

وتبين فيما بعد أن النظير 213-Bi (بعمر نصف قدره 45 دقيقة) هو الأكثر جاذبية وسحراً بين النكليدات المشعة المصدرة لألفا؛ حيث يوجد ضمن سلسلة اضمحلال هذا النظير، جزء صغير فقط من النكليدات الوليدة المصدرة لإشعاعات غاما القاسية، كما يتمتع هذا النظير بكيمياء سهلة (أي من الممكن بسهولة فصله عن النكليد الأم ومزاوجته مع

الجدول 1- مصدرات ألفا من أجل المداواة المناعية الإشعاعية.

| النكليد | عمر النصف | طاقة جسم α | ملاحظات | إنتاج (مولد = cow) |
|-------------------|-----------|-------------------|--|---|
| ^{213}Bi | 45.6 min | 6 MeV | النكليد الأم ^{225}Ac | $^{225}\text{Ac}/^{213}\text{Bi}$ -cow |
| ^{225}Ac | 10 d | 6 MeV | النظائر الوليدة ^{221}Fr (4.9 min; 6 MeV), ^{217}At (32.3 ms; 7 MeV), ^{213}Bi (see ^{213}Bi) | ^{226}Ra (p,2n) ^{225}Ac $^{229}\text{Th}/^{225}\text{Ac}$ -cow |
| ^{212}Bi | 1.0 h | 6 MeV/9 MeV | النكليد الأم ^{212}Pb | ^{228}Th - ^{224}Ra decay |
| ^{212}Pb | 10.6 h | β - مصدر | مولد في الحي للنظير ^{212}Bi | |
| ^{224}Ra | 3.6 d | | النظائر الوليدة ^{220}Rn (55.6 s; 6 MeV), ^{216}Po (0.15 s; 7 MeV), ^{212}Pb (See ^{212}Pb and ^{213}Bi) | |
| ^{223}Ra | 11.4 d | 6 MeV | النظائر الوليدة ^{219}Rn (4s; 7 MeV), ^{215}Po (1.8 ms; 7 MeV), ^{211}Pb (36.1 min; β -emitter), ^{211}Bi (2.1 min; 7 MeV) | $^{227}\text{Ac}/^{223}\text{Ra}$ -cow |
| ^{211}At | 7.2 h | 6 MeV/7.5 MeV | | $^{207}\text{Bi}(\alpha,2n)^{211}\text{At}$ |
| ^{149}Tb | 4.15 h | 4 MeV | من الاضمحلالات %17 تصدّر جسيمات α | تنظية بروتونات تتال |
| ^{255}Fm | 20.1 h | 7.0 MeV | النكليد الأم ^{255}Es | أسترونومي متعدد للكورويوم |

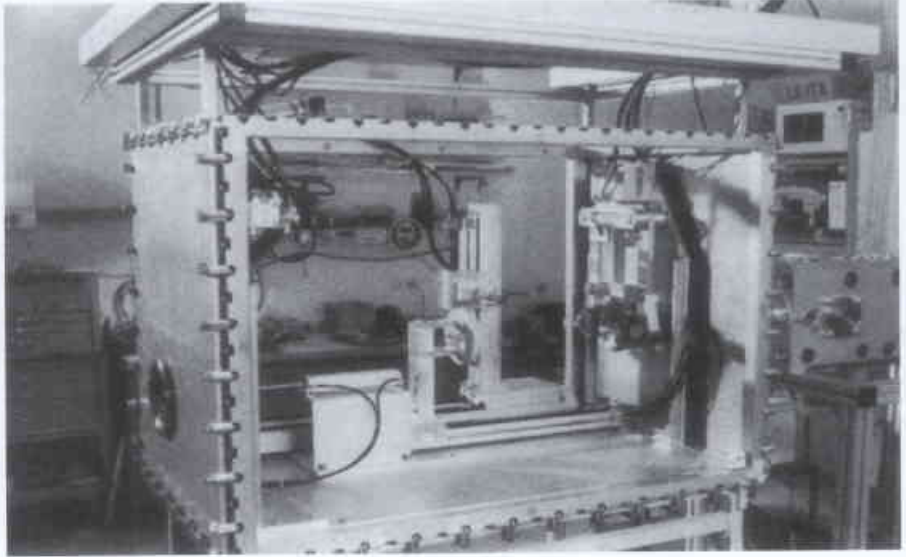


الشكل 1- مبدأ التشغيل للمداواة المناعية بأشعة ألفا: تراقب ومزاوجة مراقب مناعي إشعاعي مصدر لأشعة ألفا.

المداواة المناعية الإشعاعية إلى نكليدات تصدر إما إلكترونات أوجيه Auger-electrons أو جسيمات ألفا. ويتمتع نوعا الجسيمات كلاهما بقيمة LET عالية، كما تتوضع طاقتاهما فوق عدد قليل من الأقطار الخلوية؛ لكن استخدام إلكترونات أوجيه يبقى محدوداً إذ لا بد أن يجري تسديدها إلى موضع قريب جداً من الدنا (DNA) في نواة الخلية السرطانية، وبالتالي تتطلب الطريقة عدداً كبيراً من الاضمحلالات كي تكون مؤثرة وفعالة.

وبالمقارنة، تكون مصدرات ألفا فعالة جداً في تحريض ظاهرة الموت الخلوي المبرمج apoptosis داخل الخلية السرطانية وتستطيع ذلك حتى من خلال اضمحلال مفرد واحد. لهذا، يُعتقد أن مصدرات ألفا المرتبطة بحوامل نوعية للورم ستكون جذابة وبخاصة في علاج السرطانات المحمولة بالدم وكذلك الأورام الثقيلة المكروية micrometastatic tumors (وأعني بذلك تلك الحالات التي تكون فيها الخلايا السرطانية موجودة نموذجياً في أرجاء الجسم كافة ولو بكميات صغيرة نسبياً) حيث لا يكون مجدداً فيها العلاج بالجراحة أو التشعيع الخارجي. ويُتوقع أن يكون مفضلاً استخدام المداواة المناعية الإشعاعية بجسيمات ألفا في حالة الأمراض المتبقية الأصغرية

قامت بتطويره المعاهد الوطنية للصحة في مدينة واشنطن د. س. أو أحد مشتقات (1,4,7,10 - tetraazacyclodecane-1,4,7,10 - DOTA (tetraacetic acid). ولا زالت أعمال التطوير مستمرة لإيجاد متمخبات أخرى (وبخاصة من أجل استخدام مباشر للأكتينيوم - 225). واعتماداً على نماذج عديدة، فإن أكثر المركبات الواعدة هي التي يجري اصطناعها واختيارها بالتعاون ما بين ITU وشركة فرنسية تدعى شيلاتك Chelatec في مدينة Nantes. والاختيار النهائي للمتمخبل يعتمد أيضاً على الحامل الأكثر مواءمة. وتُعد الأجسام الضدية الأحادية النسيلة أو البيبتيدات الحوامل الأكثر استخداماً حتى تاريخه.



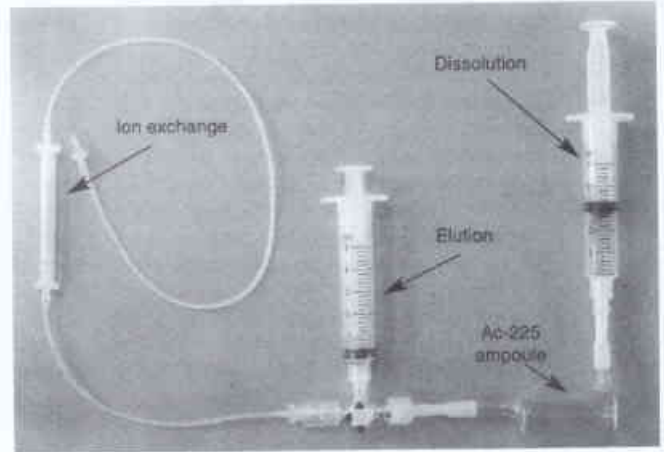
الشكل 3- صندوق القفاز الذي تم بناؤه من أجل تشييع أهداف 226-Ra (بدون تدريع).

لكن الاهتمام أخذ في الاتجاه نحو استخدام سُدْف Fab- للجسم الضدي أو سلسلة مفردة للأجسام الضدية، أو نحو استخدام أجسام ضدية ثنائية أو ثلاثية أو رباعية، وذلك حسب التصور المرغوب فيه سواء أكان استهدافاً مباشراً (أي حقن، داخل الوريد للنظير المقترن بحامل نوعي للسرطان أو توجهاً متعدد المراحل (بداية، يتاح فيه لجزء نوعي للسرطان أن يتراكم فوق الخلايا السرطانية كما تجري تصفية الجزئية غير المرتبط من الأعضاء غير المستهدفة، ومن ثم حقن الجزئية الصغير مع النظير المشع والذي يعرف على الجزئية النوعي للسرطان). ومعروف أن الاستهداف ذا المرحلتين المذكور آنفاً يعمل على زيادة الانتقائية وسرعة الاستهداف كليهما، ولهذا فإنه جذاب خصوصاً من أجل استخدام البزموت -213.

تجارب سريرية في الولايات المتحدة وأوربة

أجريت أول دراسة سريرية، خاصة بالطور I لحالة ايضاض الدم leukemia استخدم فيها ضدي موسوم بالنظير 213-Bi، لدى مركز أبحاث السرطان في مدينة نيويورك والمعروف باسم Memorial Sloan - Kettering Cancer Center (MSKCC)؛ وقد نُفِذت هذه الدراسة خلال الفترة ما بين 1996 - 1999 وتضمنت 19 مريضاً. وأعطيت أعلى جرعة (50 MBq/kg) للمرضى المعانين من leukemia ايضاض نقوي متكرر أو حرون relapsed or refractory myeloid leukemia حيث تبين أنها لا تزال دون سوية أعلى جرعة يمكن تحملها.

وكانت النتائج الرئيسية من دراسة الطور I هي أن التركيبة Hu M195- CHXA-DTPA-Bi-213 تعد تركيبة آمنة، وأن نسبة الجرعة المنتصبة ما بين وزن كل من الكبد والطحال وكامل الجسم تكون أعظم بمقدار ألف ضعف عن تلك التي لوحظت عند استخدام نكليدات مشعة مصدرية لجسيمات بيتا [2]. وفي حزيران 2001، بدأت في مركز أبحاث السرطان MSKCC دراسة جديدة للطور II استخدمت فيها التركيبة Bi-213 -Hu M-195؛ وكان هدف هذه التجربة الجديدة دراسة نجاعة التركيبة 213-Bi لدى مرضى سبق لهم أن تعرضوا لمعالجة كيميائية معيارية.



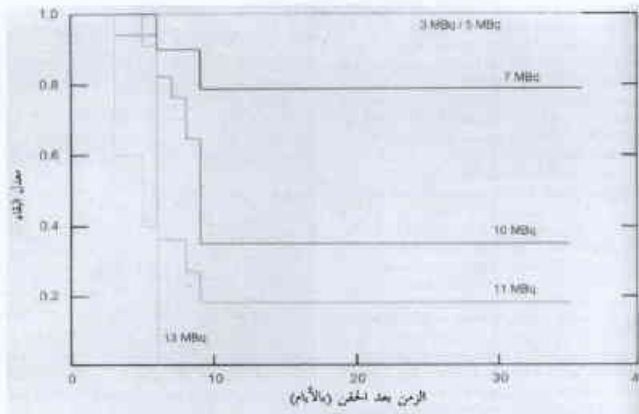
الشكل 4- مولد 213-Bi، كما صنعه معهد عناصر ما بعد اليورانيوم (ITU)، والمعدّ للشحن إلى مشافي الولايات المتحدة وأوربة.

كان يجري تخزين المولد عدة أيام (كما يحصل أثناء نقله بالطائرة) دون إجراء عملية الغسل، كان يزداد معنوياً نافذ الأكتينيوم 225- بفعل التحليل الإشعاعي. لقد أمكن حالياً حل هذه المشكلة بإيجاد طريقة تحضير جديدة للمولد تتيح إجراء توزيع للنظير 225-Ac أكثر تجانساً عبر حجم عمود المبادل الأيوني. وفي المشفى، يمكن لمردود 213-Bi من مولد النكليد المشع أن يحقق استرداداً يقدر في حدود 80-95% من النشاط الإشعاعي المحسوب للأكتينيوم 225- خلال عدة أسابيع.

اختيار المتمخبل والحامل

تتطلب معالجة نوع محدد من السرطان، إلى جانب إتاحة النظير، اختياراً مناسباً للحامل النوعي (الجسم الضدي أحادي النسيلة، أو البيبتيد، أو أحد الجزئيات الحيوية الأخرى) وللمتمخبل chelate (الجزئية العضوي الذي يؤمن الارتباط بين النظير والحامل).

وفي الوقت الراهن، تستخدم غالبية التجارب السريرية التي يدخل فيها البزموت 213- كمادة متمخبل، إما مركب CHX-A-DTPA الذي



الشكل 5- تقييم سمية المرافق المناعي الإشعاعي Bi-213-CD20 في الفئران.

للتوسع في الاستخدام الآنف ذكره ليشمل مراكز أخرى، كمشفى الجامعة في مدينة غنت Ghent (بلجيكا).

وبالتعاون مع قسم الطب النووي في جامعة غوتنغن - جورج - أوغست (ألمانيا)، تم ، في عام 2000، إنهاء مشروع الاختبار ما قبل السريري لتطبيق المعالجة بأشعة ألفا على سرطان القولون مع استخدام بيتيدات بطريقة استهداف مباشر. وقد بين المشروع المذكور أن لبيتيد DTPA-(D-Glu1)minigastrin [وهو بيتيد صناعي يتعرف على مستقبلات الكوليسستوكينين B-] غسترين CCK-B-gastrin receptors التي يجري فرط التعبير عنها في أنواع سرطانية محددة، كما هو الحال في سرطان القولون] امتصاصاً سريعاً ونوعياً داخل أنسجة "مستقبل CCK-β"، كما أن له ثباتاً في الحي أعلى من مشتقاته التقليدية. وقد تمّ التأكيد على أن مصدرات (أوجيه و α) تكون، من الناحية العلاجية، أعظم فعالية من مصدرات β التقليدية عند استخدام شدة Fab والجسم الضدي IgG، وأن فعاليتها هذه قد تكون أعظم حتى بمقدار ضعفين إلى ثلاثة أضعاف في حال استخدام بيتيد المينيجاسترين [3].

ويجري حالياً، بالمشاركة مع معهد (INSERM Institut National de la Recherche Medicale) de la Sante، وهي مؤسسة بحثية وطنية حكومية ذات توجه طبي في مدينة نانت (فرنسة)، تنفيذ مشروع حول فعالية العلاج المناعي بأشعة ألفا الثنائي المرحلة باستخدام طريقة الاستهداف المسبق (طريقة المراحل المتعددة التي تم شرحها أعلاه). وكان هدف المشروع دراسة فعالية هذه الطريقة - والتي قد تكون، على سبيل المثال، لمستضد CEA - معبر عن أورام شبيهة بسرطان الدرقية اللبي metastatic medullary thyroid cancer. أما الهابتن haptens (جزء صغير يتعرف على الحامل النوعي) المستنبت حديثاً فهو بيتيد LM موسوم بالنظير Bi-213 يمكن اصطناعه باستخدام تقنيات تم تطويرها مؤخراً لتعطي نقاوة كيميائية إشعاعية وتفاعلية مناعية تراوح ما بين 85 و 90% (وهذا يعني، أنه بعد مزاججة النظير بالبيتيد، ستُصان إلى حد كبير قدرة المستضد في التعرف على البيتيد). وقدمت دراسات التوزع الحيوي على الفئران العارية - والتي قورنت فيها تقنية الاستهداف المباشر باستخدام الجسم الضدي Bi-213-DTPA-F6-Bz مع تقنية الاستهداف المسبق باستخدام الجسم الضدي Bi-213-DTPA-F6-Bz مع تقنية نتائج واعدة فيما يتعلق بطريقة الاستهداف المسبق [4].

وقد قدّم الباحث دافيد شاينبرغ (M.D., Ph. D.)، وهو الذي ترأس التجارب المحررة لدى MSKCC، وجهة نظره بشأن مستقبل المداواة المناعية بأشعة ألفا فاستطرد قائلاً: "لقد اجتازت، حالياً، المداواة بجسيمات ألفا المستهدفة الاختبار الأولي لإثبات الفكرة، حيث أظهر هذا الاختبار أنه بالإمكان عملياً تصنيع أجسام أحادية النسيلة، موسومة إشعاعياً بذرات مصدرة لجسيمات ألفا، وضمان إيصالها إلى خلايا سرطانية بشرية موجودة داخل المرضى المصابين بها. وإني أتوقع في السنوات الخمس القادمة حدوث توسع سريع لهذا الأسلوب في المعالجة بحيث يشمل عدداً من أنواع الأورام الأخرى وحالات مرضية غير خيبيثة. وسوف تشمل مجالات النمو السريع تلك الأنواع من الأورام التي أضحي يتوفر لها، وبشكل مؤكد، منظومات للمستضد والجسم الضدي antigen antibody systems، والتي ينطوي تحت لوائها أجسام ضدية لكل من اللمفومات lymphomas، وسرطان الموتة (البروستات)، وربما أيضاً سرطان الثدي وسرطان القولون. إضافة لما سبق، من الممكن أيضاً إجراء اختبار لاستخدام جسيمات ألفا في الانسان من أجل قتل خلايا مصابة بالفيروس، كما هو الحال في خلايا مصابة بالفيروس HIV (نقص المناعة المكتسب). وفي هذه المرحلة، يبدو أنه يمكن، إلى حد كبير، التغلب على عوائق أساسية (كالإمداد المحدود للنظير أو للتمخبلات غير المواتمة) حالت دون استخدام واسع للمعالجة بجسيمات ألفا. ولاشك بأن الجهود المستمرة لإنتاج كميات كبيرة من النظير ذي التكلفة المنخفضة ستكون المفتاح لتحقيق أعظم انتشار سريع لطريقة العلاج هذه".

وتم إجراء أول معالجة لمرضى بالمداواة المناعية بأشعة ألفا في نيسان من عام 2000 في مدينة بازل بسويسرة وذلك بحقن موضعي لتركيبية Bi-213/DOXA/peptide في مريضين يعانيان من ورم الأرومة الدبقية glioblastoma (ورم دماغي خبيث). وقد شجعت النتائج الأولى على توسيع التجربة لتشمل عشرة مرضى، لكن التنظيم الجديد للأمان الإشعاعي في سويسرة أدى إلى تأخير التنفيذ.

ويتمويل من المفوضية الأوروبية، بدأت في آذار 2001 الدراسات السريرية للتطور I من لمقوم اللا - هودجكين (NHL) non-Hodgkin's lymphoma في المركز الألماني لأبحاث السرطان (DKFZ) في مدينة هايدلبرغ بالتعاون مع ITU والمشافي الجامعية لكل من مدينتي هايدلبرغ ودوسلدورف (في ألمانيا) ومدينتي غنت وهاسلت (في بلجيكا). وتم إجراء العمل ما قبل السريري في المعاهد المذكورة آنفاً، بينما ساهم ITU في تطوير واختبار التمهبلات لمزاججة Bi مع الأجسام الضدية وفي إثبات فعالية التركيبة الموسومة بالنظير Bi-213 فوق الخطوط الخلوية ذات الصلة.

وفي مركز أبحاث DKFZ، تمّ اختبار الثبات، في الحي، للمرافقين المناعيين الإشعاعيين: Bi-213-CHX-A"-CD19 و Bi-213-CHX-A"-CD20، كما تم تقييم سميتها في الفئران (انظر الشكل 5). وقد أشارت البيانات إلى أنه من المتوقع أن يكون المترافقان المذكوران كلاهما آمنين وفعالين جداً وذلك بسبب القدرة العالية لمصدرات ألفا على قتل الخلايا. وفي الوقت نفسه، عولج تسعة مرضى بداء NHL، لدى ثلاثة مشاف ألمانية مختلفة، بثلاث سويات للجرعة الإشعاعية (15mCi، 30mCi و 45mCi، من Bi-213). هذا، وسوف تستخدم في المستقبل سوية جرعة أعلى مما سبق ذكره، كما سيخطط

على مشاركة من شركات الصيدلانيات الإشعاعية التي ستساهم مستقبلاً في تطوير واستثمار طريقة المداواة الجديدة هذه.

التوقعات المستقبلية للمداواة المناعية الإشعاعية

من الممكن تحقيق المزيد من قدرات المداواة المناعية بأشعة ألفا وذلك عن طريق استخدام: حوامل متقدمة (كالببتيدات)، ومنظومات وصل جديدة (كالاستهداف الثنائي أو الثلاثي المرحلة)، والاستخدام المختلط (كوكتيلات) لتكديرات مشعة مصدرة للجسيمات ألفا أو بيتا أو للإلكترونات أو جيه. والهدف هو إيجاد تركيبة مثالية من السلوك الحيوي والفيزيوي-كيميائي للمرافقات المناعية الإشعاعية radioimmunoconjugates.

وقد أشارت دراسات أجريت لدى MSKCC إلى كون الجسيمات الضدية الأحادية النسيلة (m Abs) الموسومة بالنظير 225-Ac ثابتة في الحي، وإلى أنها تكون فعالة ومؤثرة سواء ضد الأورام الصلبة المتمكنة أو ضد السرطان المنتشر بسويات دون السامة. و كان مخططاً أن تُجرى، في عام 2002 أول تجارب سريرية تستخدم mAb موسومة بالنظير 225-Ac.

وبسبب النجاحات التي أمكن إحرازها، تزداد أيضاً الأهمية بالنسبة لنظائر أخرى مصدرة لأشعة ألفا كالراديوم (Ra)، على سبيل المثال. ورغم أنه لا يتوفر، حتى تاريخه، متمخبل جيد لاستخدام الراديوم في المعالجة المناعية، تجدر الملاحظة أنه، اعتباراً من كانون الثاني (يناير) من عام 2000، تمت المصادقة، في أوري، على استخدام كلوريد 224-Ra في معالجة المرضى بالتهاب الفقار الرثياني ankylosing spondylitis؛ كما يتوقع، قريباً، في النرويج إجراء تجربة سريرية تستخدم كلوريد 223-Ra في علاج حالات الإصابة بتقائل العظم bone metastases (بشكل أساسي من أجل تخفيف الألم).

وتجري حالياً - لدى مشفى الطب النووي التابع لجامعة ميونخ التقنية (ألمانيا) - اختبارات قبل - سريرية باستخدام جسم ضدي أحادي النسيلة موسوم بالنظير 213-Bi يمكنه التعرف على جزيء الالتصاق الخلوي المطفر (أي حدث له تغيير في سلسلة أحماضه الأمينية) المعروف باسم "E-cadherin" (جزيء على سطح الخلية يقوم بربط الخلايا ببعضها البعض). ويُعدّ جزيء E-cadherin مطفراً في حوالي 50% من نوع منتشر لسرطان المعدة يتميز بانتشار الورم داخل الصفاق (وأعني بذلك سرطان المعدة مع خلايا سرطانية ضمن السائل المحيط بالمعدة). وارتفع، في الفئران، معدل البقاء على قيد الحياة ليلعب 108 أيام بالمقارنة مع 30 يوماً في مجموعة الشاهد غير المعالجة، وذلك بعد حقن المجموعة التجريبية بجرعة من الجسم الضدي الموسوم بالنظير 213-Bi قدرها 22 MBq. هذا، وتناقصت قيم الخلايا البيضاء في دم الفئران بعد ثلاثة أيام من المعالجة، بينما حدث استرداد لقيم ما قبل المعالجة في اليوم 25 بعد الحقن. وتشير النتائج إلى إمكانية إعادة للجسم الضدي النوعي الورم الموسوم بالنظير 213-Bi من أجل معالجة السرطانات الصفاقية، وذلك بعد الحقن موضعياً في منطقة الإصابة.

تعزيز وتشجيع المداواة المناعية بأشعة ألفا

قام معهد ITU في مدينة كارلسروه، في كل من عامي 1997 و 2000، بتنظيم ندوة علمية للمداواة المناعية بأشعة ألفا تهدف إلى تبادل الخبرة وتعزيز هذه الطريقة الجديدة في معالجة السرطان. وقد حضر الندوتين المذكورتين ما يزيد على 50 مشاركاً عالمياً (من الولايات المتحدة، وكندا، وأستراليا، وبلدان أخرى)، ممن يعملون في قطاع الطب النووي ومعالجة الأورام وناقشوا فيهما الوضع الحالي، ومدى التقدم الحاصل، وكذلك خطط التطوير المستقبلية لطريقة المداواة المتوه بها. وتم التخطيط لندوة علمية ثالثة تعقد في معهد ITU في أوائل عام 2002 بحيث تشتمل

therapeutic efficacy and dose-limiting toxicity of ²¹³Bi-versus ⁹⁰Y-labeled CO17-1A Fab' fragments in a human colonic cancer model." *Cancer Res.* 59 (1999): 2635-2643.

[4] O. Couturier, A. Faivre-Chauvet, I. V. Filip-povich, P. Thedrez, C. Sai-Maurel, M. Bardies, A. K. Mishra, M. Gauvrit, G. Blain, C. Apostolidis, R. Molinet, J. C. Abbe, R. Bataille, J. Wijdenes, J. F. Cherel, "Validation of ²¹³Bi radioimmunotherapy for multiple myeloma." *Clin. Cancer Res.* 5(10 Suppl)(1999): 3165s-3170s.

[5] R. Senekowitch-Schmidtke, C. Schuhmacher, K.F. Becker, T. K. Nikula, C. Seidel, I. Becker, M. Mieder, C. Apostolidis, C. Adam, R. Huber, E. Kremmer, K. Fischer, and M. Schwaiger, "Highly specific tumor binding of a ²¹³Bi-labeled monoclonal antibody against mutant E-Cadherin suggests its usefulness for locoregional α -radioimmunotherapy of diffuse-type gastric cancer." *Cancer Res.* 61 (2001): 2804-2808. ■

REFERENCES

المراجع

- [1] C. Apostolidis, M. Betti, R. Carlos-Marquez, W. Janssens, R. Molinet, T. Nikula, and A. Ouadi, "Production of carrier free actinium-225/bismuth-213 from thorium-229 for alpha-immunotherapy." *J. Labelled Cpd. Radiopharm.* 44 Suppl. 1(2001): 806-808.
- [2] G. Sgouros, A. M. Ballangrud, J. G. Jurcic, M. R. McDevitt, J. L. Humm, Y. E. Erdi, B. M. Mehta, R. D. Finn, S. M. Larson, D. A. Scheinberg, "Pharmacokinetics and dosimetry of an α -particle emitter labeled antibody: ²¹³Bi-HUM195 (anti-CD33) in patients with leukemia." *Journal of Nuclear Medicine* 40 (1999): 1935-1946.
- [3] T. M. Behr, M. Behe, M. G. Stabin, E. Wehrmann, C. Apostolidis, R. Molinet, F. Strutz, A. Fayyazi, E. Wieland, S. Gratz, L. Koch, D. M. Goldenberg, W. Becker, "High-linear energy transfer (LET) α versus low-LET B emitters in radioimmunotherapy of solid tumors:

تناول جذاذة سليكون يومياً: هل سيعيد عنا الطبيب؟*

ليغ كانهام: مدير بحوث
روجر أستون: مدير تنفيذي
لدى شركة سليكون p مديكا المحدودة، وورسيسترشاير، المملكة المتحدة.

ملخص

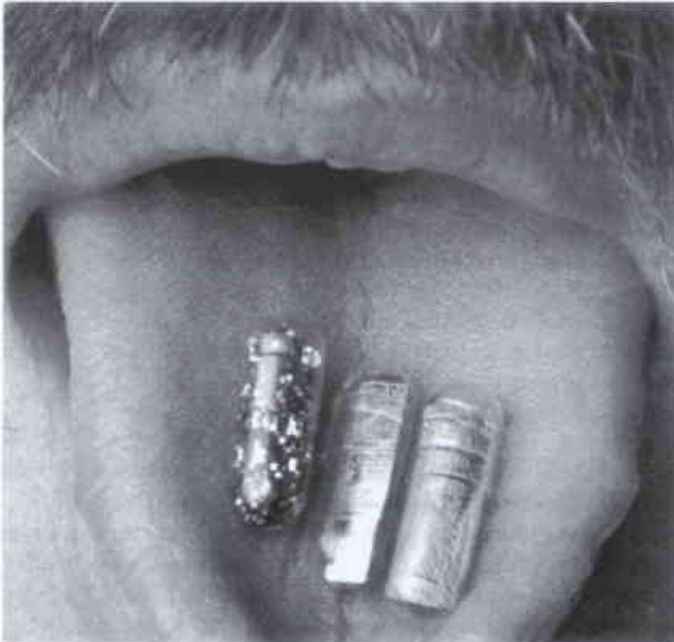
يمكن تطوير السليكون، وهو المادة الأولية في صناعة الإلكترونيات المكروية، إلى مادة ملائمة وقابلة للتحلل حيوياً بحيث تفضي إلى غرسات implants أصغر وأذكى وأكثر تأثيراً في الجسم البشري.

الكلمات المفتاحية: جذاذة، الإنسان البيوني، غرسة، سليكون مسامي، إلكترونيات مكروية، ملائم حيوياً، قابل للتحلل حيوياً، مادة حيوية، مضافات مغلقة، أنودة، تمشيش.

يمكن أن تعالج الشلل والعشى واضطرابات التنكس العصبي
.neuro-degenerative

جذاذات صحية

ومع ذلك، فقد اتخذ دور السليكون حديثاً في الطب اتجاهاً آخر.
فالباحث، الذي أجراه مؤلفو هذا المقال خلال السنوات الخمس الأخيرة في
وكالة ديرا (Defence Evaluation Research Agency (DERA في



يمكن أن يغير السليكون الحيوي توزيع العقار تغييراً جذرياً وذلك بالعمل على تصنيع
مضافات "ذكية" تطلق العقاقير في زمن ومكان الحاجة إليها.

"يمكننا إعادة بناء الإنسان البيوني"⁽¹⁾ Bionic man ولدنا لذلك التقانة
والقدرة على صنع أول إنسان بيوني عالمي". هكذا كانت تبدأ في
السبعينيات كل حلقة من حلقات المسلسل التلفزيوني "رجل الستة ملايين
دولار"، بينما كان يحاول الجراحون إعادة بناء أحد ضحايا حادث سقوط
طائرة ستيف أوستن وذلك بتجهيزه بأطراف "بيونية" ملائمة وبرؤية حادة.
وكما برهنت شعبية المسلسل فإن فكرة دمج الإنسان بالآلة قد أذكت
تخيلاتنا لمدة طويلة، وشكلت أيضاً موضوع الكثير من أفلام ومسلسلات
الخيال العلمي الأخرى التي تتضمن "المرأة البيونية وروبوكوب
Robocop والمفتش كادجيت Inspector Gadget".

على الرغم من مشاهد هوليود المفرطة إلى حد ما فقد تنامت بهدوء
خلال الثلاثين سنة الماضية قدرتنا على تطوير نائط منمنمة يمكن
اغتراسها في الجسم. ويمكننا الآن إنتاج نائط إلكترونية مهندسة بدقة
ومضبوطة مثل ناظمت ضربات القلب التي أطالت أعمار الآلاف من
المرضى. إن الكثير من التقدم الذي تم، يرجع إلى استثمار الصناعة
الإلكترونية الهائل لتقانة السليكون الذي قاد إلى تطوير العديد من
النائط "الذكية" لحماية البشر من الأمراض.

فقد كانت الغرسات القوقعية (في الأذن) مثلاً، أول ربط مباشر بين
جذاذات السليكون والدماغ البشري. فعندما تُقرن الغرسة بالتحريض مع
مكروفون خارجي فإنها تحوّل الأصوات الخارجية إلى إشارات كهربائية
تُغذي صفيفاً من الإلكترونيات المكروية الموصولة مع الأعصاب في الأذن
الداخلية. وتمر النبضات بعد ذلك بالعصب السمعي إلى الدماغ الذي
يترجمها كأصوات. والغرسات القوقعية هي الآن صغيرة جداً لدرجة أنها
غُرست في الأطفال الصُغى حيث كان لكل واحد منهم الفرصة لا تنمى
حاسة السمع العادية فحسب وأما لتنمية عملية التكلم العادي أيضاً.
وقد تم أيضاً تقدّم مطرّد في تطوير نائط تعتمد على السليكون

* نشر هذا المقال في مجلة Physics World, July 2001. ترجمة هيئة التحرير - هيئة الطاقة الذرية السورية.
(1) الإنسان البيوني هو الإنسان الذي تتحسن قدرته البيولوجية العادية بنائط إلكترونية أو ميكانيكية إلكترونية.

خاص لمقاومة الرقاقة وتركيب الإلكترونيات
وكتافة التيار المطبق. وقد يتغير الجزء من الحجم
الكلي الذي يصبح فارغاً -أي المسامية- من
1% إلى 95%.

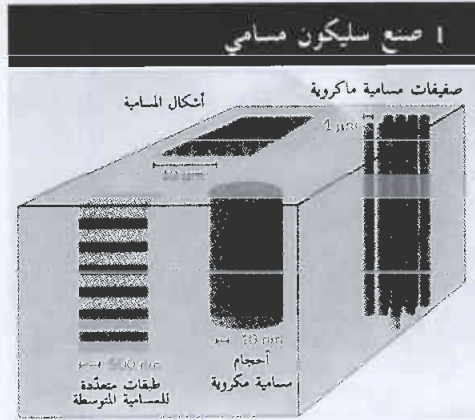
يظل السليكون العالي المسامية الذي صُنِعَ
بهذه الطريقة نقياً ولكنه يسلك سلوكاً مختلفاً
اختلافاً كبيراً عن السليكون الكتلتي غير
المسامي. ففرجه العُصاوية، أي الفرجة الطاقية
بين عُصايات النقل والتكافؤ، يمكن أن تكون
أكبر من ضعف مثلتها في السليكون الكتلتي،
وهذا ما يزيد من تفاعليته الكيميائية ويتيح له
بصورة مذهشة أن يصدر ضوءاً مرئياً. في
الواقع، إن خاصية السليكون المسامي في إصدار
الضوء قد لفتت انتباه معظم الفيزيائيين حتى
الآن، هذا الانتباه الذي وصل إلى القمة في
التقارير الحديثة المتعلقة بالكسب الضوئي
والإصدار المثنوث (انظر المراجع الإضافية).

مع الأسف، تشكّل التفاعلية المتزايدة
للسليكون ذي البنية المسامية النانوية مشكلة
في الكثير من تطبيقات الإلكترونيات الضوئية.
وبصورة خاصة، إنّ تمشيش السليكون بالحامض
يؤدّي إلى روابط سليكون / هيدروجين غير
مستقرة في نهاية هيكل السليكون. وتتأكسد هذه الروابط تدريجياً في
الهواء مؤدّية إلى تغيير في خواص السليكون مع مرور الزمن، فهو يصبح
مثلاً أعلى مقاومة من الناحية الكهربائية.

ونتيجة لذلك حاولت مجموعات، يقودها مايك سيلور M. Sailor
من جامعة كاليفورنيا في سان دييغو وجيليان بوريك J. Buriak من
جامعة يورردو في إنديانا وجون-نوبل شرافيل J-N Chazalviel من
مدرسة البوليتكنيك في باليزو، فرنسا، تحويل سطح البنية النانوية
للسليكون. أذى عملهم إلى أشكال "مشتقة" من السليكون
المسامي حيث حلّت محل روابط السليكون - هيدروجين روابط
السليكون - كربون التي لاتتأكسد. وهذه الإجراءات يمكن أن تسمح
لجال واسع من الجزئيات العضوية والبيولوجية أن ترتبط تشاركياً مع
السطح وهذا ما يعطي السليكون المسامي مجالاً واسعاً من الخواص
المتنوعة. فهو، بصورة انتقائية، يمكن من ربط الأضداد antibodies
المرتبطة على سبيل المثال بجزئيات مستهدفة (المستضدات antigens) التي
تجول عبر جهاز دوران الدم.

الفعالية الحيوية وقابلية التحلل الحيوي

نُفذت في عام 1995 أولى الاختبارات لرؤية سلوكية سطوح
السليكون ذي البنية النانوية في البيئة البيولوجية. فقد بيّنت مجموعتنا لدى
وكالة "ديرا" أنه يمكن لبعض أنماط السليكون المسامي، وكذلك السليكون
"متعدد البلور polycrystalline، أن يحرض ويجهز دعامة بنوية لنمو



يمكن أن ينقلب السليكون الكتلتي "اللامسامي" إلى سليكون
"مسامي" يتمشيشه بالحامض (وهي عملية تُعرف بالأنودة أو
التمشيش الملون Stain etching). بيّن الشكل الأنماط المتنوعة
للسليكون المسامي التي يمكن أن تُحدث عن طريق الأنودة في
محاليل أساسها هيدروجين - فلوريد. واعتماداً على الاختيار
الخاص لمقاومة الرقاقة وتركيب الإلكترونيات وكتافة التيار المطبق
يمكن إحداث ثقوب ماكروية (عرض الثقب < 50 نانومتر).
وثقوب متوسطة (عرض الثقب 2-50 نانومتر) وحتى ثقوب
مكروية (عرض الثقب > 2 نانومتر). ويمكن للمسامية (الجزء
المفرغ من الحجم الكلي) أن تخلف من 1% إلى 95%. وبخلاف
أية مواد حيوية أخرى يمكن أن تولّد أشكال المسامية جانبياً بعملية
الطباعة الحجرية الضوئية photolithography وشاقولياً بتغيير
كتافة التيار المطبق.

المملكة المتحدة، حدّد أشكالاً من السليكون
لا تكون ذات قيمة من الناحية الإلكترونية
فقط كأصناف نواقل وإنما أيضاً كمادة
حيوية "biomaterial" من الناحية الطبية.
لقد وجدنا بصورة خاصة أن ما يستعمل
بالسليكون "المسامي" (سليكون كتلي
مثنّب عن قصد بثقوب مقاسها من رتبة
النانومتر) يمكن أن يكون قابلاً للتلاؤم
الحيوي biocompatible وكذلك للتحلل
الحيوي biodegradable.

وهكذا بدلاً من أن نحمي نبيطة
معمّدة على السليكون من أنسجة الجسم
وجريان الدم كما كانت عليه الحال من قبل
من الناحية التاريخية فمن الممكن الآن نظرياً
بناء نياط معمّدة على السليكون تكون في
الواقع "فعالة" حيويةً bioactive". ومن
الممكن أن يُصمّم سطح الحداذة بحيث
يتأثر بفعالية مع الأنسجة الحية بهدف
الحصول على بعض الاستجابات
الفيزيولوجية المرغوبة. ويمكن أن تُحفّز
جذاذات السليكون مثلاً الخلايا المرشّبة
للعظام في الجسم لتغطية الحداذة
بالكولاجين collagen والهيدروكسي أباتيت hydroxyapatite (المركّب
اللاعضوي للعظام)، وهكذا تعطيلها تمويهاً طبيعياً وتجمّعها لتلتحم مع العظم
الجوار. وتتضمن الإمكانيات الأخرى مضغوطات tablets تحتوي على
خليط من العقاقير الخبّأة في خزانات صغيرة جداً تطلقها في مواعيد
مختلفة.

في محاولة لتسويق هذا البحث أنشأنا مع زملائنا في وكالة "ديرا"
شركة سُمّيت باسم سليكون p مديكا pSiMedica في كانون الأول من
العام 2000 باستثمار قدره مليون جنيه من الشركة الأسترالية سليكون p
فيديا pSiVida مع مؤازرين من المملكة المتحدة.

وكان هدفنا تصنيع نياط طبية بدمج السليكون المسامي وأشكاله
المختلفة. كانت شركة "pSi مديكا" أول مغامرة مشتركة لوكالة "ديرا" في
قطاع حماية البشر من الأمراض.

السليكون ذو البنية النانوية Nanostructuring

كيف يمكن أن نحول كتلة من السليكون الصافي إلى سليكون
مسامي ملائم حيويةً؟ إنّ إحدى التقانات الشائعة تكون في تمشيش
Etching سطح رقاقة من السليكون بثقوب بمقاس نانومتري باستخدام
محاليل أساسها حمض الهيدروفلوريك (الشكل 1). ويمكن إحداث مسام
ماكروية macropores (قطر الشّم < 50 نانومتر) ومسام متوسطة الحجم
mesopores (قطر الشّم 2-50 نانومتر) أو حتى مسام مكروية
micropores (قطر الشّم > 2 نانومتر) وذلك اعتماداً على اختيار

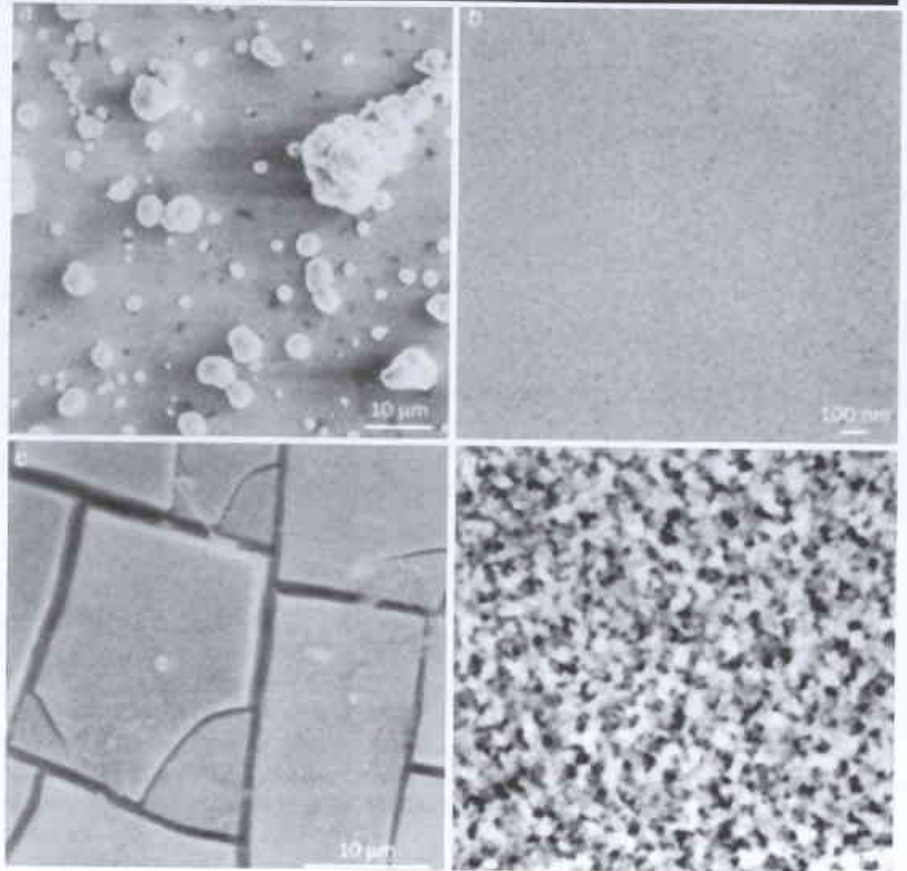
2 السليكون المسامي - الفعّال حيويًا والقابل أيضاً للتحلّل الحيوي

القابلة للتحلل حيويًا. وهذه المواد لها أهمية متزايدة في الطب لأنها لا تبقى في الجسم إلى الأبد وبذلك تُقلّل خطر الخمج والرفض بجهازنا المناعي. وبعبارة أخرى، تساعد المواد القابلة للتحلل الجسم ليشفى نفسه.

لقد محدّدت في الوقت الحاضر أيضاً أهمية السليكون المسامي في البيئات المحاكية للجسم في الزجاج التي تتضمن العصارات المعدية في المعدة والمائع المعوي والمائع الدماغى الشوكى الذي يجاور الدماغ والنخاع الشوكى (الأشكال 2 d-b)، وكانت النتائج واعدة. ففي كل الحالات تقريباً يتحلّل بسرعة نسبياً السليكون المسامي غير المتحوّل إلى مشتق underivatized والاستثناء الوحيد هو العصارّة المعدية التي تكون حامضية جداً وتحفّض بصورة مثيرة معدّل قابلية التحلل. ويمكن أن يقود هذا العمل إلى "مضغوطات ذكية" التي حالما يتم بلعها تعطي عقاقير قوية للقولون.

ورغم أنّ الآلاف من الاختبارات التي تمّت في الزجاج وأجراها العلماء السريويون لتطوير وفهم المواد الحيوية التي يستخدمها الجراحون، صدرت بعض الأبحاث المنشورة بصورة تثير الدهشة على السليكون اللامسامي، ولم تصدر أبداً حتى الآن نشرات عن أشكال البنية الثانوية من هذه المادة. إنّ غياب المعلومات المنشورة عن قابلية التلاؤم الحيوي للسليكون جعلنا نتحرى هذا المظهر وذلك بإجراء دراسة أساسية لمدة ستة أشهر لكل من السليكون المسامي واللامسامي على الخنازير الهندية cobaye. فقد أُجريت بحسب مقياس "إيزو ISO" في قسم العلوم الطبية الحيوية لدى وكالة "ديرا" حيث وجد أن لكلا شكلي نصف الناقل قابلية تلاؤم نسيجية جيدة تماماً مثل التيتانيوم الذي هو مادة حيوية مجرّبة ومختبرة. فبينما السليكون اللامسامي والتيتانيوم لا يتآكلان إلا بصعوبة أثناء كل فترة ستة أشهر من الاغتراس فإنّ أقراص السليكون المسامي بصورة جزئية يتناقص وزنها باستمرار وتصبح متآكلة بالتدرّج مع مرور الزمن. وهذا الأمر كان دليلاً على أنّ نصف الناقل يمكن أن يكون من الناحية الحيوية متلائماً وقابلاً للتحلل في الوقت نفسه.

فما هي الاستخدامات الممكنة للسليكون القابل للتحلل مع الأخذ بالحسبان المدى الواسع من البوليميرات والمعادن والخزفيات والمركبات التي تكون متاحة للصناعات الطبية والصيدلانية؟ إنّ الصفات الأساسية التي تميّز السليكون عن المواد الحيوية الأخرى هي إمكانية صنع الآلات المكروية وكونه نصف ناقل بالإضافة إلى شكله البلوري الخامل. يُضاف إلى هذه



تبيّن هذه الأشكال الأربعة المأخوذة بالمجهر الإلكتروني الماسح كيف يتأثر السليكون المسامي مع موائع الجسم المتنوعة. ففي كل حالة يُحضن السليكون في درجة حرارة 37°C.

- بعد أسبوعين في بلاسما محاكية لبلاسما البشر بدأ السطح لأن يصبح معطى بمرحلة لاعضوية من العظم.
- بعد 67 ساعة في مائع معدي يتوضّع وجود مسام منفردة رغم أنّ سوية التآكل في حدودها الدنيا.
- بعد ست ساعات في مائع معوي أفضى التآكل إلى تشققات تظهر بعد الإزالة.
- بعد أسبوعين في مائع دماغى شوكى يوجد مرة ثانية دليل على التآكل. ونظراً لأنّ التآكل يحدث في كل مائع يعزل عن العصارات المعدية يمكن القول إنّ السليكون المسامي هو مادة مقبولة قابلة للتحلل الحيوي.

مرتبك العظم اللاعضوي (هدروكسي أباتيت). أُجريت الاختبارات في "بلاسما" (الجزء السائل من مائع الجسم، الشكل a2) محاكاة بيولوجية. وهذه الاختبارات التي طوّرها في الأصل تاداشي كوكيبو T. Kokubo من جامعة كيوتو في اليابان تُستخدم الآن من قِبَل الكثير من الباحثين الذين يعملون في المواد الحيوية لمعرفة فيما إذا كان الخزف ceramics يمكنه أن يرتبط مع العظم في الجسم البشري.

توصّلنا (مؤلفو هذا المقال) أثناء مثل هذه الأبحاث إلى ملاحظات مثيرة، إذ لاحظنا أنّ الطبقات الرقيقة من السليكون العالي المسامية قابلة لأن تنحل بالفعل من الرقاقة اللامسامية الموجودة تحتها في يوم أو نحو ذلك. وبعبارة أخرى، أظهر السليكون ذو البنية النانوية أنّه قابل للتحلل الحيوي في الزجاج in vitro. وهذه النتيجة كانت مذهلة للغاية، فهي تعني أنّ الجسم البشري نفسه يكون قادراً على حلّ السليكون وإفرازه. وإذا كان الأمر كذلك فإن اسم السليكون سيضاف إذاً إلى قائمة المواد

من الفولاذ ولكنه، بخلاف المعادن، هش ومعرض إلى التلف بالصدم. ومع ذلك يمكن أن يُنظَّم مُعامل مرونته بحسب مُعامل يونغ Young وذلك بتغيير مستوى المسامية ليتلاءم إما مع العظم القشري، أي العظم الصلب، وإما مع العظم الإسفنجي. وهذا أمر مهم لتجنب مشكلة التدرج الإجهادي stress shielding الذي يحدث غالباً عندما تكون المواد المعدنية البديلة بتماس مباشر مع العظم. (العظم هو بصورة أساسية نسيج ينمو بقوة مع الإجهاد الذي يعني أن أية غرسة تتحمل كل العبء ستسبب موت العظم السليم المجاور.

ربما تشكل قابلية التحلل الحيوي للسليكون المسامي المزجة الأهم لهذه المادة. فقد شرع في الوقت الحاضر مهندسو النسيج المشهورون ومنهم جوزيف فاكانتي J. Vacanti من مدرسة الطب في هارفارد بالولايات المتحدة، في استخدام قوالب مكروية مصنعة آلياً من السليكون كطبقات templates لإحداث هياكل (تضاريس topographies) دقيقة ثلاثية الأبعاد في بوليميرات قابلة للتحلل حيوياً. وهكذا، لماذا لانحاول تصنيع بُنى ثلاثية الأبعاد من السليكون نفسه القابل للتحلل حيوياً؟ يمكن أن تُحفر بنائاً مثلاً بنية السليكون المسامي لإعطاء خلايا بانية للعظم مع "سقالة" تمكّنها من اختراقها والتثبت عليها (الشكل 4). فعندما يترسب النسيج العظمي على السقالة فإن السليكون المسامي سينحل ببطء ويترك في النهاية عظماً جديداً تماماً. أمّا المزجة الأخرى للسليكون المسامي فهي نقله للكهرباء، بخلاف السيراميك القابل للتحلل أو السقالات البوليميرية. (العظم نفسه كهروضغطي piezoelectric وهذا الذي مهّد السبيل للتقانات الكهربائية لترميم العظام المكسورة التي فشلت الطرائق الأخرى في شفائها.

قابلية التلاؤم الحيوي والتصنيع

إن حقيقة كون السليكون المسامي يتآكل بوجود الموائع الحيوية لا تكفي حتى يوصف أنه "مادة حيوية biomaterial حقيقية. وللحصول على هذه التسمية يجب أن نكون متأكدين أنه غير سام وقابل للتلاؤم من الناحية الحيوية. ويجب أيضاً أن نعلم أن المنتجات التي يتحلل إليها هي مواد آمنة وأنها تُفرز من الجسم بصورة كاملة. ولحسن الحظ، يتآكل السليكون المسامي بصورة رئيسة إلى حمض السيليسيك الأحادي الشكل $(Si(OH)_4)$ الذي يظهر بالمصادفة أنه شكل السليكون الطبيعي الأكثر وجوداً في البيئة. (في الواقع، يمثل حمض السيليسيك 95% من السليكون الذي يميز عبر دورة الأنهار والمحيطات ويكون موجوداً في الكثير من المواد الغذائية والمشروبات). وبالإضافة إلى ذلك فإن الاختبارات التي استخدمت مشروبات حمض السيليسيك الموسوم بمادة مشعة والتي أعطيت إلى متطوعين من البشر أفضت إلى أن تركيز الحمض في جهاز الدوران يرتفع لمدة قصيرة جداً فقط

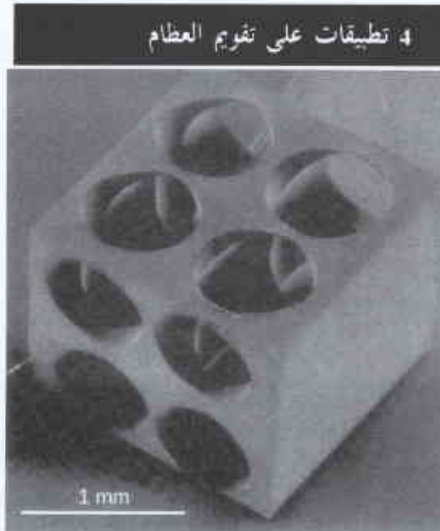
التحكّم "الذكي" لإطلاق العقار. ويمكن أن تصنّف مثلاً ذرات العقار مرتبطة إلى "سقالة" السليكون القابل للتحلل بروابط تكون حساسة إلى أنزيم محدد. فالسليكون سيطلق عقاره فقط عندما يجتمع مع تلك الجذاذة، ويكون للغرسة عندئذ وظيفة "قياس واستجابة" غير معقدة مطلقاً سلسلة من الأحداث الكيميائية الحيوية التي تحافظ على متطلبات العقار الفيزيولوجية. لقد يرنّ توماس لوريل Th. Laurell ومجموعته في جامعة لند في السويد، الذين يستخدمون مساحة السطح الداخلي الواسعة من السليكون المسامي لصنع مفاعلات حيوية bioreactors (بنائاً ترتّب فيها المتعضيات وبصورة خاصة البكتيريا، مواد مفيدة) في الزجاج in vitro، أن الأنزيمات يمكن أن تعمل بصورة جيدة ضمن السليكون المسامي.

بالأكيد لا تستخدم البنى المذكورة القيمة الكلية وإمكانات تقانة السليكون الحيوية. ومع الاستمرار بنمّة المركبات الإلكترونية المتضمنة منابع التغذية بالكهرباء والمحوالات transducers والمحثات، تصبح القضية قضية وقت فقط قبل أن يصبح بالإمكان إجراء ضبط أكثر دقة مع هذه المادة الحيوية الجديدة. وتتضمن الإمكانيات "المضغوطات المغلفة ticking tablets التي تُطلق ما تختزنه من عقار في وقت محدد (الشكل 3b). والبحث الصعب هو الربط في الحي in vivo بين انطلاق العقار والنبائط التشخيصية وتجميع المعطيات الحوسبية computerized (الشكل 3c). وعندها سيكون الأطباء قادرين على إدارة المرض إدارة محكمة وبدقة مع تقديم مساعدات أساسية للمرضى.

تقويم العظام وهندسة نسيجها

والمجال الأساسي الآخر لاهتمام شركة "سليكون p مديكا" هو تقويم العظام وهندسة نسيجها. في الواقع، إن تطبيقات من التطبيقات الأولى للمواد الصناعية في الجسم البشري يختص في إعادة البناء الداخلي للعظم المصاب باستخدام المعادن. وتتضمن المواد المفضّلة في الوقت الحاضر الفولاذ والتيتانيوم والبولي إيثيلين والسيراميك وأشباه الكوبالت والكروم بالإضافة إلى الزجاج الحيوي والمركبات. ومع ذلك يوجد عدد من القيود الأساسية لاستخدام غرسات التيتانيوم أو الفولاذ مثلاً. أولاً لأنها غالباً ما تُنزع بعد أن تكون قد استنفدت مهمتها. ثانياً ينمو النسيج العظمي بفعالية ويعد بنينه وهذا يعني أن المعدن لا يثبت تماماً باستمرار على العظم. وهناك مشكلة أخرى هي أن المعدن يلتصق بصورة ضعيفة على العظم في كل الحالات. ولذلك هناك حاجة إلى أنواع لاصقة من الملاط cements لغرسات الركبة والورك.

يتمتع السليكون الرابط للعظام، كمادة محتملة مقومة للعظام، ببعض الخصائص الموثوقة إلى جانب العيوب. فهو يتمتع بقوة شد أفضل



4 تطبيقات على تقويم العظام

يمكن أن يقوم السليكون القابل للتحلل مهمة "سقالة" في بنية نسيج تقويم العظام. هذه البنية تُصنع في البداية مكروياً لإحداث فجوات كبيرة (تقوَب ماركوبية) تُتيح للخلايا العظمية ولتشكيل الأوعية اللاحق، وهي الشبكة الشعرية للدم، من اختراق "السقالة". وبعد ذلك تُعرض الكتلة إلى الأتربة حيث تتحلل حيوياً في الجسم. وكلما ترسب النسيج العظمي على "السقالة" ينحل السليكون المسامي ببطء ويتلاشى تاركاً مكانه العظم الجديد.

قادة السوق الرئيسون مثل شركة ميدترونك في الولايات المتحدة بدخل يُقدَّر بحوالي 3 بليون دولار وقائمة واسعة من منتجات قابلة للغرس تتضمن ناظمتا للقلب وقثاطر catheters ومنظومات تزوية (للدلم) ونبائط لتوزيع العقاقير ومنظومات للمساعدة العصبية والنخاعية. إن مثل هذه المنظومات تعتمد بصورة رئيسة على نبائط إلكترونية تكون معزولة تماماً عن المنظومات البيولوجية التي تغذيها.

وأحد التحديات على وجه الخصوص، ولكنه يستحق المجازفة بقوة، مجال البحث الذي يتابعه عدد من المجموعات البحثية والمتمثل باستخدام تقانة الغرس الإلكتروني المكروي لإعادة البصر إلى المكفوفين. وبصورة مشابهة، يلقي التحريض الكهربائي الوظيفي لإعادة الحركة إلى المرضى المشلولين مزيداً من الاهتمام. وبكل وضوح، إن تطبيق الذكاء الإلكتروني على الكثير من النبايط كان مثيراً من الناحية التجارية وحسن نوعية حياة الكثير من المرضى.

وهكذا إلى أين سنصل بعد ذلك؟ سوف تبدأ شركة سليكون p مديكا، لتلبية الضغوط التجارية، بتطوير نبائط بسيطة موزعة للعقاقير غير ذكية نسبياً. وعلى المدى الأطول نريد تطوير منظومات غرس تحوي مركبات تقانية وبيولوجية على السواء مثل جذاذات التأثير الداخلي البيولوجية السليكونية المسامية البسيطة التي يمكنها توزيع العقاقير فقط عندما يحتاجها الجسم. ومع ذلك سوف تتطلب آليات مثل هذه المنظومات من الغرس سنوات كثيرة من البحث والتطوير قبل أن تصل إلى السوق.

بقدر ما تؤخذ قبولية المريض بالاعتبار، نكون قد دخلنا بالفعل حقبة من الزمن يكون الناس فيها مرتاحين بصورة عامة لفكرة الغرسات التي يمكنها أن تُنظّم نشاطات فيزيولوجية حيوية مثل ناظمتا لضبط ضربات القلب الطبيعية أو غير المنتظمة. ويكون توزيع العقاقير المحسن الذي يستخدم نبائط جديدة شائعاً، رغم أن معظم النبايط في السوق لا تلتفت النظر ولا تتطلب إلكترونيات عند هذه المرحلة. وربما سيأتي التحدي الأخلاقي الأكبر مع إدخال نبائط المراقبة الإلكترونية المكروية التي ستقبل الأطباء بصورة دائمة عن حالة المريض أو كيف تعمل أدويتهم التي وصفوها له. ومع ذلك توجد بالفعل منتجات ناجحة متعددة في هذا المجال "مستجلاً" بدارة مغلقة loop recorder الذي أطلقته شركة ميدترونك عام 1998 لتسجيل ضربات قلب المرضى ونظمه بدون توقّف لمدة سنة. ومن المحتمل أن يكون هذا الجهاز رائداً لسلسلة من النبايط الجراحية المنعمة من أجل مراقبة وضعية المرضى. وربما يكون التشخيص المبكر لحدوث السرطان أحد هذه المجالات.

إن الطبيعة لأتمتد سطوحاً مستوية فائقة النعومة مثل سطوح الرقاقتا المصقولة التي تحل خطوط السكب foundry السليكونية. فالمواد الحية في جسمنا تعول على المسامية لتعمل بصورة مناسبة، من المسام النانوية لكل غشاء خلوي، إلى البنيات التي تحكم التغيرات المتبادلة في النسج والأعضاء. هل السليكون المسامي مادة حيوية واضحة تربط بين الحاجة الأساسية لمادة متلائمة حيوياً وقابلة للتحلل الحيوي وبين مجال نشاط النبايط الإلكترونية التي تمت إقامتها بشكل جيد؟ سيكشف الزمن بدون شك وسيحسم فيما إذا ستستبعد الجذاذات ليس فقط "الموت" وإنما أيضاً الأطباء. ■

فوق القيم النموذجية بمقدار 1 mg l^{-1} . ويكون الإفراز البولي لحمض السليسيك فعلاً إلى حد كبير ويطرد كل السليكون غير المهضوم. في الواقع، يحتاج الجسم البشري بالفعل إلى السليكون في هذا الشكل كمادة أثر trace غذائية أساسية. وتحاول مجموعات مثل المجموعة التي يقودها جوناثان باول J. Powell من مستشفى سانت توماس في لندن، إيجاد سبب ذلك.

وهناك الآن مجال واسع من الاختبارات في الزجاج في طريقها لكشف وتحديد أية مصادر ممكنة من الشمية لأتماط مختلفة من الخلايا النامية مباشرة على هذه المادة. إننا نعرف على سبيل المثال أن الطبقات المتأكلة حديثاً من السليكون المسامي يمكن أن تُصدر، نتيجة للحلمهة، غاز السيلان silane gas بتركيز عدة أجزاء من المليون وأن الطبقات الأكثر فعالية يمكن أن تجعل المائع المجاور فوق مشبع بالسليكون. لقد وجدنا أيضاً أن بكتيريا مثل E - Coli يمكنها استعمار جذاذات السليكون تماماً كما تستعمر خلايا الثدييات. وهكذا، إننا نطور طرقاً لتعقيم السليكون المسامي بحيث لا تتغير خواصه وتقلل أي خطر يجمع الجسم إلى حد الأذني.

ماذا عن تطبيقات تصنيع منتجات السليكون المسامي؟ إننا نعرف الآن الكثير عن كيفية معالجة السليكون بفضل دوره الرئيس في صناعة الإلكترونيات المكروية. فقد أعطت هذه الخبرة العملية، التي تامت على مر السنوات الخمسين الأخيرة، للسليكون مزية أساسية كمادة ممكنة جديدة للحماية ضد الأمراض. ورغم ذلك يتم إنتاج السليكون بنقاوة ربما تكون موضع حسد معظم الشركات الصيدلانية. وربما مثل هذه النقاوة لا يحتاجها الكثير من التطبيقات الطبية، ولكن ما سيخشع بدون شك على إسهامه في الطب، حقيقة أن السليكون يُصنّع عادة في شروط من النظافة الفائقة بالإضافة إلى وجود الكثير من تقانات المعالجة المقامة.

ويهدف، في الواقع، مصنع نيبى لهذه الغاية في اليابان (مصنع تاكاوه يونيهارا التابع لشركة كانون) إلى أنودة anodization عشرة آلاف رقاقة wafers في الشهر كسبيل لتزويد رقاقتا من السليكون على عازل silicon-on-insulator (SOI) لاستخدامها من أجل تطبيقات جذاذية متخصصة. ففي هذه التقانة، ترسب بصورة تنضدية طبقات من السليكون النقي على الطبقة المسامية الأعلى من رقاقة السليكون. وبعد ذلك تُربط الرقاقة إلى رقاقة أخرى بسطح من أكسيد السليكون العازل وبذلك ينتهي السليكون التنضدي لأن يصبح محصوراً في الوسط. ينحل السليكون المسامي بصورة انتقائية ليترك منتج السليكون على العازل المرغوب (SOI): السليكون التنضدي فوق طبقة من أكسيد وهذه فوق رقاقة السليكون. والتشابه يكون واضحاً: فشرية كانون تستخدم السليكون المسامي كطبقة أنود ذوابة sacrificial layer خارج الجسم في حين نحاول نحن في شركة سليكون p مديكا استخدامه ضمن الجسم. يبت مؤسسة كانون أن رقاقتا السليكون ذي البنية النانوية يمكن أن تستجيب بهذه الطريقة إلى متطلبات التصنيع من حيث زيادة التلاؤم وانخفاض التكلفة والمردود والنظافة الفائقة.

المزيد من البيونية في المستقبل؟

نحن على بعد خطوات قليلة من المرور إلى تصنيع آلات التي تُعد أفضل صديق لمساعدة للإنسان. بالطبع إن المداواة التداخلية interventional والقابلة للغرس implantable شائعة الآن. ويتمتع

أخبار علمية



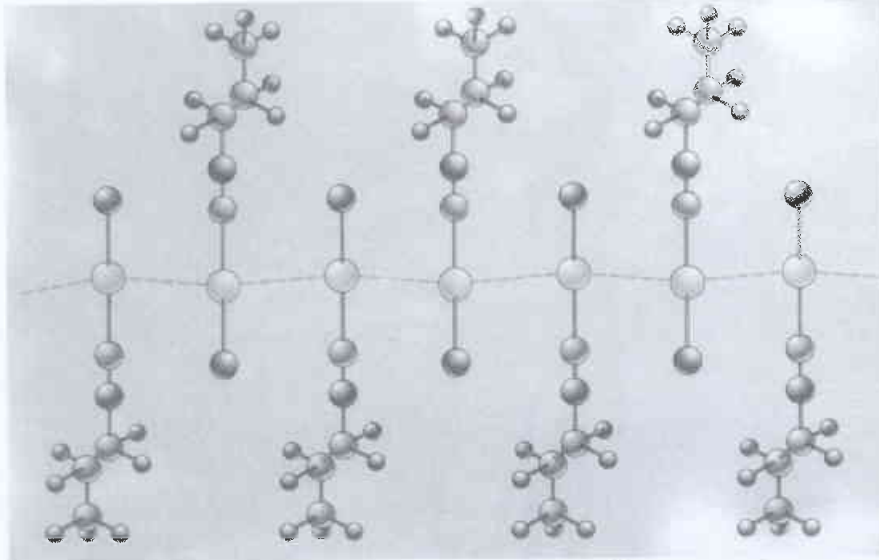
1- التوجه نحو الذهب*

لا يتوقع للجزئيات المحتوية على الذهب أن تُشكّل روابط معدنية؛ لكن هنالك دليلاً متنامياً على وجود تأثيرات بين ذرات الذهب التي تتشابه في القوة مع روابط الهيدروجين.

عندما يُشكّل الذهب رابطة مع ذرة أخرى، لا بد له ببساطة أن يمنح الإلكتروناً واحداً كي يحقق حالة إلكترونية شديدة الاستقرار. وتقول الحكمة التقليدية أنه لا يجوز للذرات، في مثل هذه الحالة، التورط في أي ربط خارجي آخر. لكن أدلة تجريبية تراكمية [1]، إضافة إلى أحدث ما وصلت إليه حسابات كيميائية - كمومية [2]، تُشير إلى وجود تأثيرات معدنية - معدنية قوية بصورة عجيبة بين ذرات الذهب ضمن معقدات جزئية. وتبدو هذه التأثيرات ماثلة في القوة لروابط الهيدروجين، وقد بدأ الكيميائيون باستخدامها لتصميم بُنى جديدة ذات خواص فيزيائية غير عادية. فعلى سبيل المثال، أفاد باكمان Bachman وزملاؤه [3]، في مجلة الجمعية الكيميائية الأمريكية، عن بناء "أطوار دوّارة" مثيرة من معقدات الذهب تعتمد بشكل كلي على تأثيراتها المعدنية - المعدنية. ويبدو أن هناك إمكانية لتعديل سلوك الذهب في هذه الأطوار الدوّارة من أجل تصنيع بُنى مفيدة، مثل البلورات السائلة ذات الأساس المعدني أو مواد ذات تألق ضوئي.

الكتلة المعدنية للذهب. وعندما يُمنح هذا الإلكترون بشكل كامل إلى شريكه كي يتشكل مركب في تفاعل أكسدة، يبقى الذهب في حالة طبقة مغلقة، $5d^{10}$ (التي تُعرف بحالة الأكسدة +1)؛ وبالتالي لن يتوقع بعد ذلك لهذا الذهب أن يخضع لتأثيرات معدنية - معدنية. ومع ذلك، هناك دليل قاطع على وجود ربط محب للذهب غالباً ما يتحكم بتنظيم مركبات الذهب كما أنه يلعب دوراً هاماً في العمليات التقانية. فعلى سبيل المثال، يُعدّ $[Au(CN)_2]$ أيوناً عضوي الشكل خماسي الذرة يتكسد بإحكام عندما يُمتص فوق سطح الكربون المنشط، الأمر الذي يجعل استخلاص سيانيد الذهب من محاليل النض الماخلة أكثر كفاءة [1]. ولقد كانت الحسابات الكيميائية - الكمومية، التي تأخذ بعين الاعتبار التأثيرات النسبوية والترابطية، ذات تأثير فاعل في حساب الهندسة المفضلة لهذه التكدسات وطاقاتها النسبية [2].

ولا تستطيع التأثيرات الضعيفة، كالربطين الهيدروجيني والمحب للذهب، أن تملّي طبيعة البنى الجزئية بالأسلوب الذي تملّي الروابط التشاركية القوية، لكن لها بعض التأثير في ترتيب مجموعات الجزئيات - أو ما يسمى بالبنية فوق - الجزئية. وقد عمل الكيميائيون لسنوات عديدة من أجل التحكم بالبنية الجزئية، لكنهم أهملوا البنية فوق الجزئية وتركوها للصدفة؛ وفي العقود القليلة الأخيرة فقط، بدأوا بمعالجة المسألة الصعبة، ألا وهي تصميم مواد ذات بُنى فوق - جزئية مفيدة. وهنا يأتي الدور الهام لما سبق أن تحقق من معرفة في مجال الربط الهيدروجيني، وبخاصة ما تم تحقيقه مؤخراً من معارف في كيمياء الذهب ذات علاقة بالربط المحب للذهب.



الشكل 1- بنية فوق - جزئية منشكلة بواسطة ربط بين ذرات الذهب. بين باكمان وزملاؤه [3] أن الربط المحب للذهب بين ذرات الذهب ضمن معقدات خطية لكلوريد الذهب (C_3H_7CAuCl) يجعلها تصطف بانجماها متعاكسة في سلسلة متعرجة طويلة. (تظهر في الشكل ذرات كل من الكربون باللون البني، والهيدروجين باللون الأحمر والآزوت باللون الأزرق، والذهب باللون الأصفر، والكحلور باللون الأخضر). وتكسد معاً عدة سلاسل متعرجة لتكوّن بنية ثنائية الطبقة تشابه الطبقات الثابتة المشكّلة بواسطة سلاسل الكحوليات المرتبطة بالهيدروجين. باستخدام سلاسل أنكيل أطول، بحري تشكّل أطوار دوّارة عند درجة حرارة فوق درجة حرارة التحول.

إن لمعظم مركبات الذهب بنية خطية شبيهة بالعصا. وبعد أن تمّ في الثمانينيات والتسعينيات، اكتشاف المزيد والمزيد من البنى البلورية المحتوية على مثل هذه العناصر البنيوية العنصرية الشكل، فوجيء الكيميائيون بالتكدس المحكم للمكونات والتي بدت تعمل دائماً على تقصير المسافات بين ذرات الذهب إلى حدها الأدنى. ويبدو أن الذهب ينجر أو يجذب دائماً نحو الذهب وأن المصطلح "محب للذهب" $aurophilic$ قد تمّت صياغته كي يصف هذه الظاهرة الجديدة في الكيمياء البنيوية.

ولتشكيل روابط كيميائية، لا بدّ للذرات أن تمنح أو تكتسب إلكترونات أو تتقاسم الإلكترونات مع غيرها من الذرات. وكعنصر نقي، فإن كل ذرة من الذهب تمتلك إلكترونات واحداً في الطبقة $(6s^1)$ زيادة عما تكون عليه تشكيلة الطبقة المغلقة $(5d^{10})$ ، ويجري تقاسم هذا الإلكترون مع ذرات الذهب المجاورة ضمن

مفيدة قد تتحقق في مجالات تتعلق بتقانة المحشآت والمواد البلورية - السائلة.

REFERENCES

- [1] Schmidbaur, H. (ed) Gold: Progress in Chemistry, Biochemistry and Technology (Wiley, Chichester, 1999).
- [2] Pyykko, P. Chem. Rev. 97, 579-636 (1997).
- [3] Bachman, R. E., Fioritto, M. S., Fetics, S. K. & Cocker, T. M. J. Am. Chem. Soc. 123, 5376-5377 (2001).
- [4] Schmidbaur, H. Chem. Soc. Rev. 24, 391-401 (1995).
- [5] Schmidbaur, H. Gold Bull 23, 11-21 (1990).
- [6] Schmidbaur, H. Gold. Bull 33, 3-9 (2000).
- [7] Braga, D., Grepioni, F. & Desiraju, G. R. Chem. Rev. 98, 1375-1390 (1998).
- [8] Schneider, W., Bauer, A. & Schmidbaur, H. Organometallics 15, 5445-5447 (1996).
- [9] Wang, J. -L. et al. J. Am. Chem. Soc. 116, 1192-1197 (1994).
- [10] Sirota, E. B. & Wu, X. Z. J. Chem. Phys. 105, 7763-7773 (1996). ■

2- القوة الشديدة بازدياد*

البروتونات والنترونات هي أجسام مركبة تتألف من كواركات تربطها قوة شديدة. فالكواركات الحرة والغلوونات، التي تربطها مع بعضها البعض، لا تلاحظ في الطبيعة لأن قوة الاقتران بين الكواركات تصبح أكبر عندما تزداد المسافة فيما بينها. فالنظرية التي تصف هذه القوة الشديدة يُطلق عليها اسم التحريك اللوني الكومومي (QCD). ومع ذلك تبدو معادلات التحريك اللوني الكومومي معقدة جداً بحيث يصعب حلها بالطرق التقليدية المألوفة. والطريقة الحديثة لمعالجتها تكون من خلال استخدام حواسيب ضخمة.

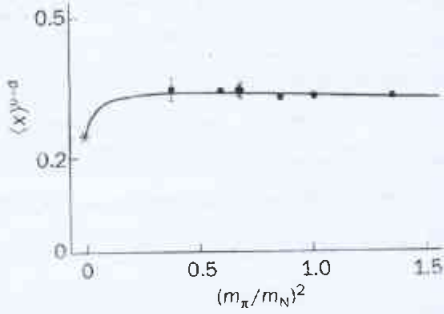
لكي يقوم الحاسب بحل النظرية، يجري تقريب المكان والزمان بصندوق محدود ينقسم إلى مجموعة منفصلة من النقاط، هي الشبكة. وهذا يحول المسألة إلى جملة محدودة من معادلات مقترنة يمكن حلها بتقنيات مونت كارلو Monte Carlo المعيارية. وفي المستقبل، يأمل النظريون في إزالة هذا التقريب من خلال تقليل التباعد الشبكي إلى الصفر وزيادة حجم الصندوق إلى اللانهاية (انظر مجلة Physics World, pp. 35-40, August 2000).

إن الكواركات غير المرتبطة هي وحدها التي تُقدّم تفسيراً لبضعة أجزاء بالغة من كتلة البروتون أو النيوترون، أما ما تبقى من الكتلة فهو ناجم عن طاقة ارتباط الكواركات والغلوونات. وثمة هدف رئيسي في QCD

في ورقة بحث لباكمان وزملائه [3]، دُرست معقدات n-alkylisocyanide لكلوريد الذهب من النموذج (R=NC)AuCl [حيث $n=1-11$ ، و $R=C_n H_{2n+1}$]. وتعتمد الصيغة الخطية للذرات N-C-Au-Cl ضمن المعقد المعدني إلى جعل الجزئيات تسلك سلوك السلاسل الهيدروكربونية المرنة والتي لها مجموعة طرفية عصوية الشكل تحتوي على ذرة الذهب المحببة للذهب. وعند التبلور، يتبع ترتيب الجزئيات نمطاً يؤدي إلى جلب ذرات الذهب في الجزئيات المتجاورة لتصبح متقاربة مع بعضها (تفصل بينها مسافة تقدر بحوالي 3.5\AA) بحيث تكون الجزئيات المتاخمة مضطفة في اتجاهات متعاكسة (الشكل 1). وهذه السلاسل المترجعة تتراص لتشكل ما يُعرف ببنية فقار سمك الرنكة والتي تُشاهد في هيدروكربونات أخرى ذات سلاسل طويلة حاملة لمجموعات وظيفية. ويجري صنع بُنى مشابهة لها تكرارية ثنائية الطبقة واضحة المعالم بواسطة كحولات لا متفرعة $(C_n H_{2n+1} OH)$ ، لكن السلاسل، في هذه الحالة، تكون متصلة مع بعضها البعض عبر روابط هيدروجينية بين مجموعات الهيدروكسيل (OH) [9].

وتعدّ المضاهاة البنيوية بين الأطوار المنخفضة درجة الحرارة للكحولات ومعقدات كلوريد الذهب (إيزوسيانيد) إثباتاً إضافياً للفكرة بأن الربط الهيدروجيني والربط المحب للذهب متماثلان بطاقتي ربطيهما وتوجهيهما [6]. وعند السوية فوق - الجزئية، تستطيع البنى المتشكلة بواسطة سلاسل الكحولات غير المتفرعة أن تُشكل أطواراً دوارة تمثل حالة متوسطة بين البلورة المرنة والصهير المتناحي (غير المرتب). وفي هذا الطور، تتمتع الجزئيات بحرية إضافية للحركة الدوارة والتي يمكن أن تُفسّر من وجهة نظر تفيد بأنه كلما امتدت السلاسل - غير المتوتية والشبيهة بنايخ مرن - أصبحت الشبكة الجزئية أقل تماسكاً وصلادة. وعموماً، تقود مثل هذه السمات البنيوية الفريدة إلى تمدد حراري كبير شاذ وانضغاطية متساوية درجة الحرارة وسعة حرارية.

أدى وجود أطوار دوارة في الكحولات إلى تحريض باكمان وزملائه على تقصي ما إذا كان ممكناً لجزئيات (R-NC)AuCl أن تُشكل أطواراً دوارة مماثلة [10]. فوجدوا أنه، فوق درجة حرارة تقع في حدود 50°C ، يكون لمعقدات كلوريد الذهب (إيزوسيانيد) خواص فيزيائية مميزة للأطوار الدوارة؛ وهذا، في حدّ ذاته، يمثل أول ملاحظة عن أطوار كهذه يجري تحريضها بواسطة أي نوع مباشر من الربط المعدني - المعدني. وقد تبينّ بواسطة المجهرية المستقطبة، أن المواد، عند درجة حرارة فوق درجة حرارة التحول، تكون على حالة متبلورة (حيث يكون للجزئيات الفردية مساحات مقطع فقّال مماثلة تماماً لتلك الخاصة بسلاسل الألكيل (Alkyl chains))، ولو أن ضغطاً ميكانيكياً طفيفاً قد يؤدي إلى تشوّهها. وتُعدّ الأطوار الدوارة التي تعتمد الذهب كأساساً أطواراً فريدة النوع، ذلك لأنها تتمتع بخواص وسطية المنشأ mesogenic (سائلة - بلورية) تتعرض حتى في غياب وحدات تقليدية وسطية المنشأ، كالحلقات الأروماتية. ويبقى الأمل معقولاً فيما إذا كانت هذه الخواص ستعود إلى تطبيقات



إن الجزء من اندفاع البروتون $\langle x \rangle < 0.5$ ، الذي تحمله الكواركات فوق مطروحاً منه الجزء الذي تحمله الكواركات تحت تم تحديد موقعه بيانياً مقابل $(m_\pi/m_N)^2$ ، وهي نسبة الكتلة البيونية إلى الكتلة النكلونية مربعة. تمثل الدوائر الحمراء نتائج المحاكيات العددية التي قدمها حاسب QCDSF اعتماداً على DESY و فريق UKQCD. والنقطة الأرجوانية ناجمة عن التمثيل الوسيط، الذي قام به آلان مارتن A. Martin وديك روبرتس D. Roberts وجيمس ستيرلنج J. Stirling، للمعطيات التجريبية الحالية. وهناك استقراء خطي بسيط للحسابات الشبكية ربما غالي في تقدير النقطة التجريبية بنسبة 40%، والطريقة بتأها توماس وزملاؤه. يصف الخط الأخضر التنبؤات الشبكية والمعطيات التجريبية معاً.

تقدير الرقم التجريبي بنسبة 40%، مما يوحي بأن الفيزياء الهامة هي قيد الإلغاء. والآن بين توماس ومعاونوه أن السحابة البيونية للنكلون تسبب حدوداً إضافية في الكتلة الكواركية، التي يمكن أن تؤدي إلى انحراف كبير عن الخطية طالما أن كتلة الكوارك تسعى إلى الصفر - وهذا ما يسمى بالحد الكيرالي (اليدواني). إن الملاءمة مع المعطيات الشبكية - التي تحافظ على السلوك السليم وتلائم القيمة التجريبية، تتوضح أيضاً في الشكل.

تنطوي هذه النتائج على مضامين هامة. ويبدو أن حسابات كتلة النكلون تتطلب تمثيل السحابة البيونية على الشبكية بشكل ملائم. ومع أن المرء لا يحتاج إلى حساب القيم التي يمكن ملاحظتها مثل $\langle x \rangle$ عند كتلة البيون (الكوارك) الفيزيائية، فإن كتلة البيون ينبغي أن تكون صغيرة بما يكفي بحيث يتم جيداً تحديد بارامترات التوسع اللاخطي بالحسابات الشبكية. وهذه الحالة تتعلق فقط بالبيونات الخفيفة جداً التي تكون كتلتها أقل من 300 MeV تقريباً.

تتطلب نظرية دقيقة للسحابة البيونية حواسيب ذات سرعات تصل إلى العديد من التيرافلوب (أي 10^{12} عملية في الثانية). غير أن هذا سيقدم حسابات موثوقة عن البنية الهدرونية في متناول الجيل التالي من الحواسيب. وهذه الأخيرة تتضمن الآلة APEnext التي تقوم ببنائها مجموعة مراكز مشتركة، وهي INFN في إيطاليا، و DESY في ألمانيا، وسيرن CERN في سويسرا. وخلال ذلك يقوم الفيزيائيون في جامعة كولومبيا، ومختبر RIKEN في اليابان، واتحاد الجامعات البريطانية بتطوير حاسب يدعى QCDOC. ومثل هذا التقدّم يرهن على أن النظريين سيتمكنون من السيطرة على القوة الشديدة. ■

يتمثل في فهم كيف تزود الكواركات والغلوونات طاقة الارتباط هذه، وكيف تساهم أيضاً في سبين النكلونات (الاسم الجماعي للبروتونات والنترونات). إن التقدم المستمر في قدرة الحوسبة والتطورات النظرية الحديثة أدت إلى إعادة التحريك اللوني الكومومي الشبكي إلى النقطة التي تصبح فيها الحسابات البديئة ممكنة بالنسبة لمجموعة الهدرونات التي يمكن ملاحظتها.

على أي حال، تُعدّ النظرية، حتى الآن، أقل نجاحاً فيما يتعلق بالتنبؤ بجزء من اندفاع البروتون أو النيوترون الذي تحمله الكواركات. وتقدم الحسابات الحديثة التي قام بها طوني توماس T. Thomas وزملاؤه في جامعة Adelaide في أستراليا ومختبر جيفرسون ومعهد ماساتشوستس للتقانة، وكلاهما في الولايات المتحدة، حلاً ممكناً للتعارض الذي دام طويلاً بين التحريك اللوني الكومومي الشبكي والتجارب.

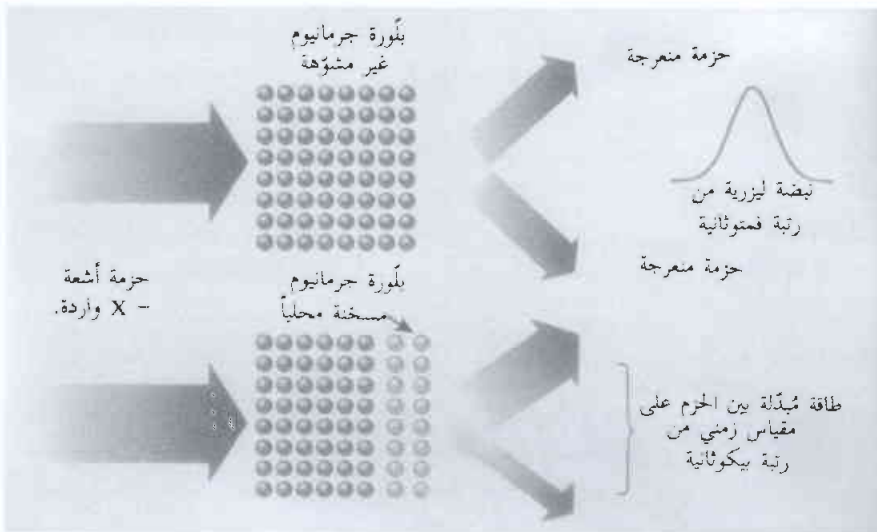
في التحريك اللوني الكومومي الشبكي، ينبغي أن يكون الصندوق الذي يُقرب الزمان - المكان كبيراً إلى حدّ يكفي للتلاؤم مع النكلون والسحابة المحيطة من البيونات "الافتراضية" التي تُصدرها وتمتصها باستمرار. إن البيونات الافتراضية، التي تتشكل من الكواركات والغلوونات، تتطابق باستمرار حيث تخفني تارة وتظهر تارة أخرى، حسب ما يفرضه مبدأ الشك. وبما أن النكلون يتفاعل بشدة مع هذه البيونات، فإنها يمكن أن تقوم بدور هام في حسابات التحريك اللوني الكومومي الشبكي. في الوقت ذاته يمكن أن تكون الشبكية دقيقة إلى حدّ يكفي كي تقوم بحل البنية الداخلية للنكلون. ويتعين على النظريين استخدام كتل كواركية صغيرة في الحسابات بحيث يمكن استكمالها استقرائياً بأمان إلى قيم فيزيائية. ومع ذلك، تتراد كلفة الحوسبة عكساً مع كتلة الكوارك مرفوعة إلى أس ما، مما يجعل الحسابات الحالية تقتصر على كتل كواركية أكبر من 50 MeV؛ بينما تكون الكتلة الفيزيائية للكواركات الخفيفة 5-10 MeV.

هنالك معلومات وافرة عن بنية النكلون تتضمنها توابع توزع الكوارك والغلوون التي يمكن تحزيمها في تجارب التبعر اللامرن العميقة. تُقدّم توابع التوزع هذه احتمال إيجاد كوارك أو غلوون باندفاع محدد أو سبين، على سبيل المثال، في النكلون. وتجربنا الحسابات الشبكية لأدنى عزم $\langle x \rangle$ لتوابع توزع الكوارك غير المستقطب عن الجزء من كتلة النكلون الذي تحمله الكواركات. وحتى الآن، وصلت هذه الحسابات إلى طريق مسدودة - فالقيمة المحسوبة لـ $\langle x \rangle$ أعلى بشكل بارز من القياسات التجريبية المقابلة. وبما أن العزم المتعلقة بأخف الكواركات هي حسابات مرجعية في التحريك اللوني الكومومي الشبكي، فإن هذا التناقض يمثل تحدياً حرجاً في فيزياء الهدرون.

ولمقارنة النتائج الشبكية مع الأرقام التجريبية، ينبغي على المرء أن يستقرى المعطيات من أدنى كتلة كواركية محسوبة وحتى القيمة الفيزيائية (انظر الشكل). فالاستكمال بالاستقراء الخطي البسيط يغالي في

مؤخراً من خلال تجارب التحري بالضغط pump-prob experiments فائقة السرعة، التي تستخدم نبضة ليزرية شديدة من رتبة فمتوثانية (10^{-15} ثانية) لإحداث تفاعل أو نبضة سير ضعيفة متأخرة زمنياً (تعمل بأطوال موجية مرئية أو أطول) لأخذ لقطات تصويرية للدينامية المتتالية [4]. غير أنه من الممكن في هذه الدراسات متابعة التغيرات في المواقع الذرية في أبسط الجزئيات فقط. وهذا يعود إلى أن الضوء المرئي يمكنه فقط سير الخواص الضوئية للإلكترونات الذرية ذات الرابطة الضعيفة، ومن ذلك يمكن استنتاج المواقع الذرية بالنسبة للجزئيات البسيطة فقط. بالمقارنة، يمكن امتصاص أو بعثرة أشعة -X القاسية بأطوال موجية أقصر من الضوء المرئي بـ 5000 مرة بواسطة إلكترونات "لبية" ذات رابطة قوية، بحيث تُقدّم معلومات حول مواقع النوى. لذلك، فإن التباين في امتصاص أو انعراج أشعة -X القاسية يمكن أن يرتبط بشكل لا يدعو للالتباس بالتغيرات الدينامية في البنية الجزئية بصرف النظر عن تعقيدها.

لقد أدت هذه التوقعات إلى بذل جهود عالمية لتطوير منابع نبضات قصيرة جداً من أشعة -X القاسية. وثمة طريقة ناجحة لنزع الإلكترونات عن الذرات (بحيث تتشكل بلازما من الأيونات والإلكترونات) ومن ثمّ تسريع الإلكترونات إلى سرعات قريبة من سرعة الضوء باستخدام نبضة ليزرية قوية من رتبة فمتوثانية. وعندما تصطدم الإلكترونات الطاقية مرة أخرى مع القلوب الذرية، فإنها تولد دفقة قصيرة من أشعة -X بأطوال موجية مميزة للذرات في الهدف. ومثل هذه المنابع الموجهة بالليزر من أشعة -X القاسية تم استخدامها مؤخراً في تجارب مُبرهنٌ على مبدئها في امتصاص أشعة -X السريعة جداً وقياسات الانعراج [5-7].



الشكل 1- مُبدّل سريع جداً لأشعة -X اخترعه ديكامب وزملاؤه [3] بهدف توليد نبضات قصيرة جداً من أشعة -X تستطيع اقتفاء الدينامية الجزئية أثناء التفاعلات الكيميائية والكيميائية الحيوية. يعتمد المُبدّل على بلورة من الجرمانيوم تنقل أشعة -X بكفاءة عالية (وهذا يعود إلى أثر بورمان). عندما تغادر حزمة أشعة -X البلورة، تنشطر إلى حزمتين منرجحتين ذاتي شذتين متساويتين تقريباً. يمكن تعديل بنية البلورة على مقياس زمني من رتبة فمتوثانية باستخدام نبضة ليزرية لتسخين الشبكة وتمديدتها. ويُعدّ نقل أشعة -X حساساً للغاية تجاه التشوهات الصغيرة في الشبكة، مما يسمح بتعديل شذات الحزم المنعرجة على مقياس زمني سريع جداً (من بيكو إلى فمتوثانية)، وكذلك فتحها وإغلاقها مما يؤدي إلى توليد نبضات قصيرة جداً.

3- التبدل السريع لأشعة-X*

بنجاح استكشاف بُنى البلورات، بدءاً من المعادن وانتهاءً بالبروتينات، بواسطة أشعة -X. وثمة مُبدّل فائق السرعة يُحسّن هذه الفكرة ويستخدم بلورة للتحكم بتوقيت نبضات أشعة -X.

منذ أن اكتشف ويلهلم رونجن W. Röntgen [1] أشعة -X قبل مئة عام تقريباً، وجدت هذه الأشعة لها استخدامات مهمة في المشافي، والمختبرات، وفي استكشاف الفضاء. كما أثبتت نجاعتها في تحوي البنى المجهرية للمادة [2]. ويتبعثر أشعة -X من جزيئات صغيرة، أو من بوليميرات حيوية كبيرة، أو بلورات ماكروسكوبية، استطاع العلماء تحديد كيفية ترتيب الذرات الأساسية بالنسبة إلى بعضها البعض. غير أن الحصول على معلومات أساسية حول دينامية التفاعلات الجزئية يبدو أكثر صعوبة، لكونه يتطلب متابعة الحركة الذرات الأساسية على مسافات بين ذرية. لتحقيق ذلك، ينبغي فتح أشعة -X وإغلاقها خلال فترة زمنية قصيرة إلى حدّ يكفي "لتجميد" الحركة الذرية، وهذا ينطوي على تحدّ كبير.

لقد بين ديكامب DeCamp وزملاؤه [3] كيفية التحكم بنسبة أشعة -X المنقولة عبر بلورة على مقياس زمني من رتبة بيكوثانية (1 بيكوثانية = 10^{-12} ثانية). وبهذه الطريقة يمكن تطوير مُبدّل أشعة -X من رتبة ما دون البيكوثانية، الذي قد يكون سريعاً إلى حدّ يكفي لمتابعة التغيرات الدينامية في البنية الجزئية أثناء التفاعلات الكيميائية والكيميائية الحيوية.

ومع أنه لا يمكن للتحليل البنيوي التقليدي لأشعة -X متابعة تطور التفاعلات، فإنه يُقدّم رؤية عن كيفية عمل الجزئيات، وبالتالي فهو يمثل تقنية تجريبية أساسية في العلوم الحياتية والكيميائية. ويمكن قياس مواقع التوازن للذرات في الجزئيات المعقدة بدقة مثيرة قدرها 10^{-13} m (أي واحد بالألف من طول رابطة جزيئية). إن معرفة البنية المتوازنة للجزئيات تسمح للفيزيائيين والكيميائيين بالتنبؤ بالطريقة التي يمكن أن يسلكوها في الظروف المختلفة. لكن هنالك أجوبة محددة للعديد من المسائل المهمة تتطلب الملاحظة المباشرة للدينامية الجزيئية.

إن العمليات الجزيئية، كتخطيط الروابط الكيميائية أو تشكيلها، تمت دراستها وتحريها

كاف. ويمكن تقليل زمن التبديل إلى أقل من بيكو ثانية باستخدام الاضطرابات الإلكترونية بدلاً من الاضطرابات الصوتية، مما يمهد الطريق لتوليد نبضات من أشعة - X القاسية زمنها من رتبة الفمتوثانية.

كيف يمكن مقارنة هذه الطريقة مع التقنيات الأخرى المستخدمة في التحكم بأشعة - X على مقياس زمني سريع جداً؟ إن منابع أشعة - X القاسية الموجهة بالليزر يمكن أن تولد نبضات أقصر من بيكو ثانية، لكن طالما أنها تُصدر فوتونات في جميع الاتجاهات فإن جزءاً فقط من فوتونات أشعة - X يمكن تركيزه على المادة المعنية. وتُعد السنكروترونات قادرة على توليد حزم قوية مسددة (شبيهة بالليزر) من أشعة - X معرضةً بذلك الأهداف إلى العديد من الفوتونات الإضافية، إلا أن التقنيات التي تُشكل الحزمة الإلكترونية في سنكروترون لتوليد نبضات قصيرة جداً تتطلب إجراء تعديلات مكلفة على منبع أشعة - X. وهذا يمكن فقط بالنسبة لخطوط الحزمة المخصصة. وبالمقارنة، يُعد مُبدّل أشعة - X الذي اخترعه ديكامب وزملاؤه أداة متعددة الاستعمالات يمكن إضافتها إلى كل خط حزمة تقريباً بدون الاقتراب من المنبع. وتبقى هنالك تحديات كثيرة كتقصير زمن التبديل باستخدام تحريضات إلكترونية، وتحسين كفاءة التبديل لتوليد نبضات من أشعة - X بتباين جيد. ولكن ما أن تُذلل هذه الصعوبات حتى تغدو المُبدلات السريعة عنصراً أساسياً في صندوق الأدوات لسبر الدينامية البنيوية للمادة.

REFERENCES

- [1] Röntgen, W. K. Nature 53, 274-276 (1896).
- [2] Stout, E. G. & Jensen, L. H. X-ray Structure Determination, a Practical Guide (Macmillan, New York, 1968).
- [3] DeCamp, M. E. et al. Nature 413, 825-828 (2001).
- [4] Bhattachajee, Y. Nature 412, 474-476 (2001).
- [5] Raksi, F. et al. J. Chem. Phys. 104, 6066-6069 (1996).
- [6] Rischel, C. et al. Nature 390, 490-492 (1997).
- [7] Rose-Petruck, C. et al. Nature 398, 310-312 (1999).
- [8] Schoenlein, R. W. et al. Science 287, 2237-2240 (2000). ■

المراجع

ويمكن توليد أشعة - X القاسية أيضاً في مسرع الجسيمات المعروف باسم السنكروترون بدون الحاجة إلى أي عمليات صدم. فالإشعاع السنكروتروني تُصدره إلكترونات عالية السرعة تتبع مساراً دائرياً عبر حقل مغنطيسي قوي، وتطلق نبضات تبلغ مدتها نموذجياً عشرات البيكو ثانية. في العام الماضي، قام الفيزيائيون بتوليد دفقات ما دون البيكو ثانية لأشعة - X القاسية في سنكروترون لأول مرة من خلال منابذة الإلكترونات المُصدرة لأشعة - X بليزر فمتوثانية ذي طاقة عالية [8].

إن العمل الذي قام به ديكامب وزملاؤه يفتح فصلاً جديداً برمته حول التحكم بالبنية الزمنية لأشعة - X القاسية، إذ عدّل الباحثون نقل حزمة من أشعة - X السنكروترونية عبر بلورة من الجرمانيوم على مقياس زمني من رتبة بيكو ثانية بواسطة تغيرات محفزة في الشبكة البلورية بنبضة ليزرية قصيرة جداً. يسمح لهم "مبدّل" أشعة - X هذا بتعديل حزم أشعة - X القاسية بصرف النظر عن منبع إصدارها. وبذلك تُفتح أشعة - X وتُطلق لتوليد سلاسل من النبضات أو حتى نبضات مشكلة، على مجال واسع من الأطوال الموجية لأشعة - X القاسية.

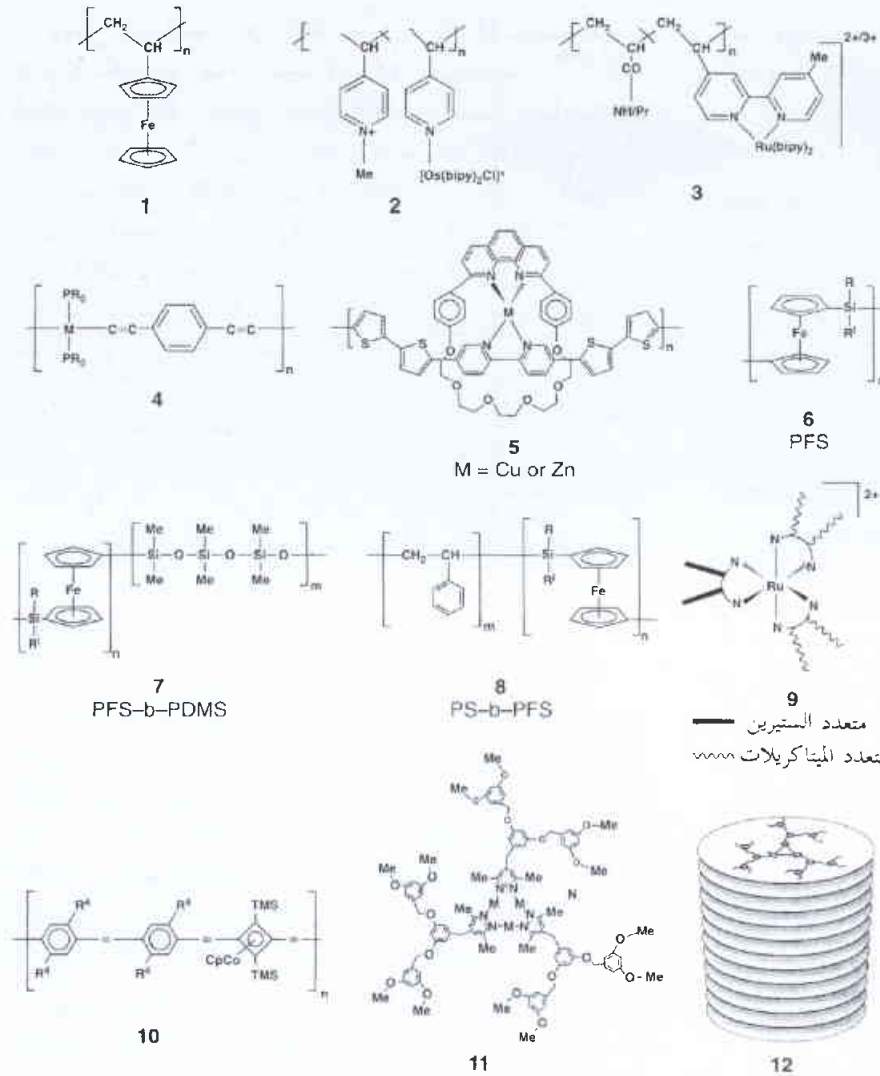
يتألف النموذج الأولي لمُبدّل أشعة - X، الذي طوره ديكامب وزملاؤه، من قطعة رقيقة من بلورة الجرمانيوم المشععة بضوء ليزري فمتوثانية شديد. ويقطع البلورة ورفضها بالطريقة الصحيحة توصل الباحثون إلى نفاذية عالية غير عادية لأشعة - X القاسية الواردة. وعلى وجه الخروج للبلورة تشطر حزمة أشعة - X النافذة إلى حزمتين منعرجتين تنتشران بشدتين متساويتين تقريباً في اتجاهين مختلفين إلى حد ما (الشكل 1). وتكون شدة حزمتي أشعة - X ونفاذيتهما النسبيتان حساستين للتشوهات الصغيرة في البنية البلورية ويمكن تسخين وجه الخروج للبلورة بسرعة بنبضة ليزرية من رتبة الفمتوثانية. وستعمد الحجم المسخن بحيث يؤدي ذلك إلى إزاحة الذرات عن موقع توازنها في الشبكة (بعملية تدعى التحريض الفوتوني الضوئي). وهكذا تضطرب بنية الشبكة، مما يُعدّل من عملية نقل حزمة أشعة - X الواردة وإعادة توزيع الطاقة بين الحزمتين الصادرتين. وبهذه الطريقة يمكن إغلاق وفتح الحزم أو يمكن بسرعة تبديل الشدتين النسبيتين للحزمتين.

4- إدخال المعادن في البوليميرات*

يمكن أن تُنسب الخواص الفيزيائية والكيميائية المفيدة في كثير من الأجسام الصلبة إلى العناصر المعدنية. وتتضمن الأمثلة على ذلك المواد المغنطيسية المستعملة في تخزين البيانات، والنواقل الفائقة، والمواد الكهركرومية، والحفازات. من المعروف منذ أمد بعيد أن دمج ذرات معدن داخل سلاسل وحيدة البعد من البوليمير الصناعي يمكن أن يؤدي أيضاً إلى خواص مرغوب فيها. وعلى أية حال، فإن الصعوبات الصناعية في توليد سلاسل جزيئية جهرية تعمل فيها ذرات المعدن عمل مكوّن بنيوي أساسي قد بطأت التقدم في هذا الحقل من البحث [1].

عندما يكون مُبدّل أشعة - X في حالة التشغيل، تتعد الذرات البلورية فقط جزئياً عن موقع توازنها. لكن هذا يكفي لتبديل جزء هام من طاقة أشعة - X من حزمة إلى أخرى. وهذه التجربة تثبت بشكل رائع حساسية انعراج أشعة - X نحو المواقع الذرية، وهذه السمة يعتمد عليها التحليل البنيوي لأشعة - X. إن دق طاقة أشعة - X ضمن الحزم المنعرجة الصادرة يتم تحويله خلال الزمن الذي تستغرقه الذرات لمغادرة موقع توازنها. وهذا يحدّ القيمة الصغرى لزمن التبديل إلى بيكو ثانية في التجربة الحالية، إلا أن نقل حزمة أشعة - X يمكن أن يتأثر باضطرابات بسيطة في توزع الإلكترونات حول الذرات في الشبكة البلورية. وبما أن الإلكترونات أخف كثيراً من النوى التي تُشكل الشبكة، فإن مثل هذه الاضطرابات (التي يُشار إليها بالفونونات الضوئية) يمكن توليدها على مقياس زمن تحت البيكو ثانية الأسرع بكثير بنبضة ليزرية قصيرة إلى حدّ

* نشر هذا الخبر في مجلة Science, Vol 294, 23 November 2001. ترجمة هيئة التحرير - هيئة الطاقة الذرية السورية.



نى البوليميرات، الجزئيات، والمواد الذاتية التجميع.

في المحلول وتملك خواص ضوئية لاختية مهمة. وزيادة على ذلك تقدم المواد مثل الرقم 5 في الشكل قوة دافعة من أجل الحرس المعدني - الأيوني القائم على الناقلية المعززة [6].

مكنت طرائق بلمرة فتح الحلقة من صنع منظومات بوليمير قائمة على الميتالوسين مثل سينيل سيلانات المتعدد الحديد (PFSs) (الرقم 6) [7]. إن هذه المواد العضوية المعدنية سهلة المعالجة. يعطي التحلل الحراري مركبات نانوية حاوية على عناقد Fe مغناطيسية. يحتفظ الخزف المغناطيسي بشكل المولد الطبيعي PFS. يمكن التحكم بحجم الجسيمات النانوية Fe من خلال درجة حرارة التحلل الحراري، مفسحاً بذلك المجال أمام الخواص المغناطيسية لأن تولف من المغناطيسية المسايورة الفائقة إلى المغناطيسية الحديدية [8]. يمكن أن تكون مثل هذه المواد مفيدة من أجل خزن البيانات أو من أجل تطبيقات الحجب الكهروطيسي. وتعد المواد PFS أيضاً بأن تكون مولدات طليعية للكرات المجهرية المشحونة كهربائياً، وكأغطية تبديد الشحنة الواقية، وكمجسات تكشف التغيرات في قرينة الانكسار بوجود محلل [9، 10].

لقد تم في العقد الماضي أو ما يقرب من ذلك تجاوز هذه الصعوبات الصناعية نتيجة اكتشاف طريقتي بلمرة فتح الحلقة والتكاثف المتعدد المحفز بالمعدن. وقد حصل تقدم جذري نحو توليد مواد هجينة من المعدن والبوليمير لها خواص جديدة ومفيدة [1، 2]. يعتبر نشوء التجميع الذاتي أداة قوية في توليد بنى بوليميرية فوق جزيئية حاوية على المعدن. يساعد هذا الأسلوب في توليد مواد وظيفية مرتبة ذاتياً تتمم خواصها خواص المنظومات العضوية الصرفة.

كانت أولى البوليميرات الحاوية على المعدن هي المواد التي تحوي مبادلات معدنية في السلاسل الجانبية للبوليمير (الرقم 1) (انظر الشكل الأول) [3]. إن البوليميرات القريبة منها، والتي ترتبط فيها معقدات الأوسميوم مع السلاسل الجانبية للبوليمير (الرقم 2)، قد أثارت الاهتمام مؤخراً. يمكن أن يكون الانتقال الإلكتروني بين الإلكترونات وكذلك مراكز الإرجاع والأكسدة المتعددة البلوغ نسبياً للأنزيمات بطيئة، مما يعيق عمليات الكشف الكهركيميائية. من الممكن استخدام أفلام رقيقة من بوليميرات الأوسميوم من أجل توسيط نقل إلكترون أو "ربط" أنزيمات مثل أكسيداز الغلوكوز إلى الإلكترونات. سمحت مثل هذه المنظومات توليد مجسات الغلوكوز. تستطيع النبائط القائمة على الأنزيمات والحواوية على بوليميرات متصلة بالأوسميوم أن تكشف عن زوج أساس مفرد غير موثم في 18 - قليل النكليوتيد الأساس [4].

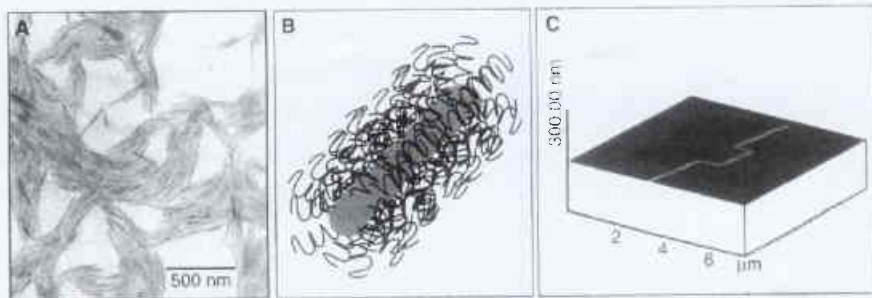
متعدد الستيرين
متعدد الميتاكريلات



12

استخدمت بوليميرات مماثلة من معقدات الروتينيوم (الرقم 3) في توليد هلامات مهتزة ذاتياً يمكن استخدامها مثلاً في نبائط نابضة لإيصال العقار. وبعكس الهلامات التقليدية، فإن بوليميرات الروتينيوم تنتفخ وتنقل بشكل دوري في درجة حرارة ثابتة دون حاجة إلى تحفيز خارجي. يُستخدم تفاعل بيلوسوف - زابوتنسكي - Belousov - Zhabotinsky المهتز في توجيه الانتفاخ والضمور، الذي يحصل عندما يتأرجح مركز الروتينيوم في حالة الأكسدة وحب للماء بين Ru^{3+} (أخضر) و Ru^{2+} (برتقالي) [5].

أدى اكتشاف البوليميرات العضوية الناقلة كهربائياً إلى تزايد الاهتمام بالجزئيات الجهرية التي يتم فيها إدخال ذرات معدنية في هيكل الكربون المترافق. إن البوليميرات القضيبيية القاسية (الرقم 4) التي تحوي في عمودها الفكري، معادن مثل البلاديوم والبلاتين، هي التي انتشرت أولاً في نهاية السبعينيات من القرن الماضي. لقد توسع حالياً التنوع البنيوي ليطضمن عناصر مثل الحديد والروتينيوم [3]. تُظهر هذه المنظومات ترتيباً بلورياً سائلاً



محو بني خزفية بمقياس النانومتر: (A) صورة المجهر الإلكتروني النافذ. (B) بنية المذيلات الأسطوانية PFS-b-PDMS. (C) خط خزفي موجه على رقاقة سليكون مشتقة من مذيلات أسطوانية موجهة PFS-b-PDMS بواسطة تمشيش بلازما الهيدروجين.

تسمح طرائق بلمرة فتح الحلقة الأنوية بتشكيل كتلة البوليميرات المشتركة PFS، فمثلاً تحتوي مادة البوليمير المشترك الثنائي الكتلة (الرقم 7 في الشكل) على متعدد ثنائي ميتيل سيلوكسان (PDMS) [11]. تنحل المادة في الهكسان، المحل النوعي من أجل كتلة PDMS، لتعطي مذيلات micelles أسطوانية (انظر اللوحة A في الشكل الثاني) مع لب PFS محاط بهالة PDMS (اللوحة B). إن البنى مستقرة بشكل كاف بحيث تسمح بتوضعها على الركازات.

REFERENCES

المراجع

- [1] Manners, *Angew. Chem. Int. Ed. Engl.* 35, 1602 (1996).
- [2] R. D. Archer, *Inorganic and Organometallic Polymers*(Wiley-VCH. Weinheim, 2001)
- [3] P. Nguyen, P. Gomez-Elipe, I. Manners, *Chem. Rev.* 99, 1515 (1999).
- [4] D. J. Caruana, A. Heller, *J. Am. Chem. Soc.* 121, 769 (1999).
- [5] R. Yoshida, T. Takahashi, T. Yamaguchi, H. Ichijo, *Adv. Mater.* 9, 175 (1997).
- [6] R. P. Kingsborough, T. M. Swager, *Prog. Inorg. Chem.* 48, 123 (1999).
- [7] D. A. Foucher, B. Z. Tang, I. Manners, *J. Am. Chem. Soc.* 114, 6246 (1992).
- [8] M. J. Maclachlan et al., *Science* 287, 1460 (2000).
- [9] K. Kulbaba, I. Manners, *Macromol. Rapid Commun.* 22, 711 (2001).
- [10] L. I. Espada et al., *Inorg. Organomet. Polym.* 10 169 (2000).
- [11] Y. Ni, R. Rulkens, I. Manners, *J. Am. Chem. Soc.* 118, 4102 (1996).
- [12] J. Massey et al., *J. Am. Chem. Soc.* 123, 3147 (2001).
- [13] J. Y. Chang et al., *Adv. Mater.* 13, 1174 (2001).
- [14] C. L. Fraser, A. P. Smith, X. Wu, *J. Am. Chem. Soc.* 122, 9026 (2000).
- [15] U. S. Schubert et al., *J. Synth. Met.* 121, 1249 (2001).
- [16] S. J. Hou, W. K. Chan, *Macromol. Rapid. Commun.* 20, 440 (1999).
- [17] R. Tassoni, R. R. Schrock, *Chem. Mater.* 6, 744 (1994).
- [18] W. Steffen et al., *Chem. Eur. J.* 7, 117 (2001).
- [19] M. Enomoto, A. Kishimura, T. Aida, *J. Am. Chem. Soc.* 123, 5608 (2001).
- [20] J. A. Massey et al., *J. Am. Chem. Soc.* 120, 9533 (1998).
- [21] J. A. Massey, K. N. Power, I. Manners, M. A. Winnik, *J. Am. Chem. Soc.* 122, 11577 (2000). ■

ويؤدي التوضع في الأحاديد المشكلة بالطباعة الحجرية للحزمة الإلكترونية والمتبوعة بالتنميش البلازمي إلى خطوط خزفية موجهة عرضها من 10 إلى 20 نانومتر (اللوحة C) لها خواص ناقلة أو خواص مغناطيسية ذات كفاءة عالية [12]. من الصعب للبنى السيراميكية ذات الأبعاد الصغيرة كهذه أن تُصنَّع وفق تقنيات الطباعة الحجرية المتوفرة حالياً.

حُضرت كتلة بوليميرات مشتركة أخرى أيضاً. ومن أمثلة ذلك الرقم 8 الذي يحتوي على الكتلة المشتركة من متعدد الستارين العضوي (PS). تنفصل الأفلام الرقيقة لهذه الأطوار المعدنية لتؤدي إلى مناطق دورية نانوية القياس من PFS و PS [11]. ولما كان PFS أكثر مقاومة للتنميش من PS، فإن من الممكن استعمال مثل هذه الأفلام في نمذجة ركازات مثل الكوبالت. وبهذا الأسلوب يمكن الحصول على صفيقات من النقاط النانوية لها تطبيقات هائلة في تخزين البيانات [13].

لقد تم أيضاً تتبع عدة مواد أخرى حاوية على وحدات معدنية ضمن هندسات بوليميرية ذاتية التجميع وعالية الكفاءة. حُضرت كتلة البوليميرات المشتركة ذات الشكل النجمي والقلب المعدني (الرقم 9 في الشكل) بطرائق بلمرة متحكم بها. يجب أن تبدي هذه المواد سلوكاً فوق جزئي غنياً ومهماً [14]. لقد طورت كتل البوليميرات المشتركة الحاوية على معقدات تناسقية من سلاسل رئيسة وسلاسل جانبية غير ميتالوسينية، والتي لها أهمية مشابهة [15-17].

إن التجمع الذاتي فوق الجزئي ليس محصوراً بكتل البوليميرات المشتركة الحاوية على معدن. فمثلاً تشكل البوليميرات المشتركة (الرقم 10) في الحالة السائلة أطواراً بلورية سائلة، بينما تم تحديد أشكالاً صفيحية وأشكالاً كأقرص العسل غير المنتظمة في الحالة الصلبة [18]. استخدمت تأثيرات معدنية - معدنية ضعيفة حاوية على عناصر انتقالية ثقيلة من Cu، Au و Ag في توجيه التجمع الذاتي لكتل البناء الدورية (الرقم 11) إلى ألياف متألقة ذات لولبية فائقة قائمة على بني ركامية (الرقم 12) [19].

تبرز البوليميرات القائمة على المعدن كمواد مهمة ومفيدة. إن الحاجة إلى اختراقات صناعية أبعد من ذلك لا تزال قائمة، ولكن التنوع البنوي الهائل ومجال الخواص والتأثيرات الجزئية البنية التي أصبحت ممكنة بسبب وجود العناصر المعدنية، سيجعل من البوليميرات المعدنية فوق الجزئية في الأبحاث المستقبلية مجالاً خصباً بشكل خاص.

5- مفعول الضوء مع الماء*

عند السطوح البينية بين نصف الناقل والإلكترونيات السائلة المختارة. يقدم الإلكترونيات خام التغذية الكيميائي الذي سيحوّل إلى الوقود المتشكل من التفاعل الكيميائي الضوئي، ويضمن بأن الشحنة الكهربائية يمكن أن تنساب خلال السائل لإتمام الدارة الكهربائية في خلية التحلل الكهربائي الشاطرة للماء. يبين الشكل 1 الخطط المختلفة لتحويل الطاقة من الشمس مع خلية نصف الناقل - خلية الكهرليت في الوسط.

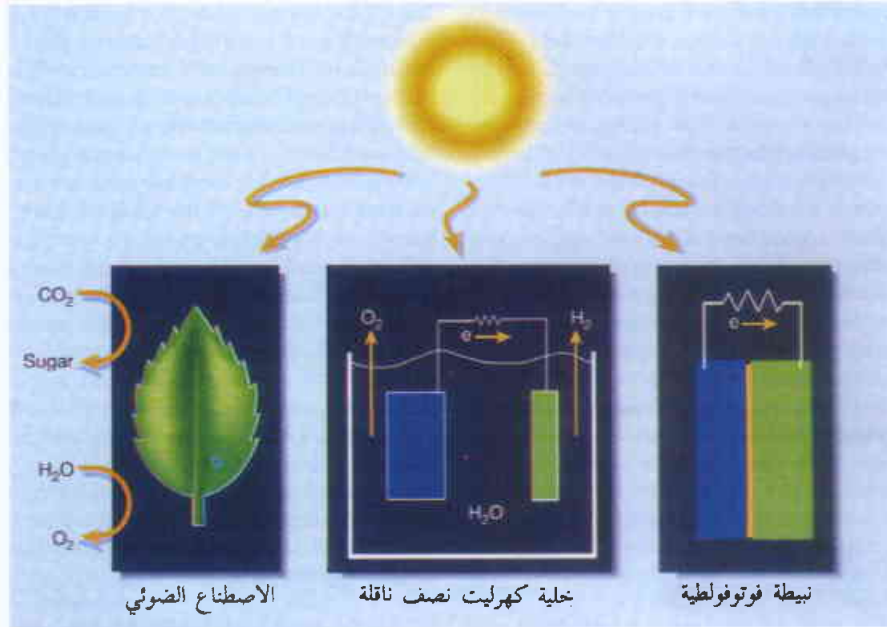
إن المتطلب الثالث هو الأساس، هذا إذا كانت الشحنة المثارة ضوئياً تستطيع أن تشرط الماء بفعالية. نجد، في العودة إلى عام 1972، ورقة بحث أصيلة [4] تصف التحلل الكهربائي للماء المدعوم بضوء الشمس تستخدم إلكترونيات ضوئية من TiO_2 البلوري. وقد حثت هذه الورقة موجة من الأبحاث تناولت شطر الماء بطريقة كيميائية ضوئية. ونتيجة لذلك حدّدت عدة أكاسيد معدنية بما فيها $SrTiO_3$ و $KTaO_3$ [3]، [5]، باعتبارها مواد قادرة على مؤازرة دفع الضوء، وغير مساعدة على التحلل الكهروضوئي للماء إلى H_2 و O_2 .

ولسوء الحظ، فإن مسألة أساسية قد خذلت التطبيق العملي لمثل هذه المنظومات من شطر الماء. فبالرغم من أن $KTaO_3$ و $SrTiO_3$ تحوّل بفعالية الفوتونات الممتصة إلى وقود كيميائي مخزون، فإن فرجات العصابات لأكاسيد هذه المعادن - ونعني الطاقات التي يبدأ عندها امتصاص الضوء -

يمكن تسخير ضوء الشمس بواسطة أنصاف النواقل من أجل توليد وقود غاز الهيدروجين من الماء. ولن يكون هذا الأسلوب قابلاً للتطبيق إلا عندما يتم تجاوز بعض المعوقات المتعلقة بالمواد، وها هم الكيميائيون الضوئيون يبحثون هذا الموضوع.

إنها نعمة كبيرة من الله أن تكون هنالك مادة مستقرة وفعالة تستخدم ضوء الشمس لشطر الماء إلى هيدروجين وأكسجين. الماء وضوء الشمس كلاهما مصدران متجددان ورخيصان. وأحد نواتجها النهائية، وهو الهيدروجين، وقود نظيف يعطي عند الاحتراق ماءً كنتاج نفاية. يقوم الباحثون بالتحري عن مثل هذه المادة [1]، ويصف تسو Zou وزملاؤه خطوة في التقدم على طريق هذا البحث الطويل المجدد من الكيمياء الضوئية اللاعضوية [2].

هنالك ثلاثة متطلبات أساسية في كل منظومة من أجل تحويل وخرن الطاقة الشمسية [3]. الأول هو ضرورة أن يكون امتصاص ضوء الشمس فعالاً لإنتاج حالات إلكترونية مثارة في المادة الماصة للضوء، الحفّاز الضوئي. والمتطلب الثاني هو أنه للحصول على عمل مُوجّه، سواء كان بشكله الكيميائي أو الكهربائي، يجب أن يكون الإلكترون المثار ضوئياً وشاغر الإلكترون المرافق له مفصولين فضائياً لمنع إعادة اتحادهما الذي يولد حرارة وضياح طاقة. والثالث هو أن تكون الشحنة المثارة ضوئياً قادرة طاقياً وحركياً لأن تنجز تحولاتاً كيميائياً مرغوباً فيه، مثل شطر الماء مثلاً. وفوق ذلك يجب أن لا ينتج عن هذه الشحنات نواتج نهائية غير مرغوب فيها كالحرارة مثلاً أو تحوّل كيميائي أو غيره يحطّ من الحفّاز الضوئي. إن تحقيق هذه المتطلبات في وقت واحد لمطلّب صعب المنال.



الشكل 1- استراتيجيات تحويل الطاقة من أجل توليد وقود أو كهرباء من ضوء الشمس. إلى اليسار، في الاصطناع الضوئي، تستخدم النباتات الإشعاع الشمسي بالاقتران مع CO_2 والماء لإنتاج سكريات (الوقود) و O_2 . إلى اليمين، تستطيع البناط الفوتوفولطية أن تحوّل الطاقة الشمسية مباشرة إلى الكهرباء. عندما يسقط الضوء على خلية شمسية فوتوفولطية، تتحرر الإلكترونات من المادة نصف الناقلة (الأزرق) لتنساب بعدئذ كتيار كهربائي إلى إلكترود معدني. (الأخضر). في الوسط، المنظومة التي استخدمها تسو وزملاؤه [2] والتي تنتج H_2 كوقود كامن. تُعمر المادة نصف الناقلة والإلكترود المعدني في الماء. وتحت التشعيع الضوئي تختزل الإلكترونات المثارة ضوئياً الماء لتعطي H_2 ، بينما تؤكسد الشواغر الإلكترونية الماء إلى O_2 . طعم تسو وزملاؤه أكسيد الإندنيوم والتنتاليوم بالنيكل فوجدوا أن هذه المادة تمتص الضوء في الطيف المرئي. وهذا تقدّم على الحفّازات الضوئية السابقة.

الأسلوب الشائع هو استعمال أنصاف النواقل كأجهزة امتصاص للضوء. تملك المواد الصلبة نصف الناقلة عادة ميزات امتصاص ضوئي قوي وواسع، محققة المتطلب الأول من أجل تحويل الطاقة الشمسية. وهي أيضاً بصورة عامة تحقّق المتطلب الثاني لأن فصل الشحنة الفعّال يكون ميسراً بوجود الحفّازات الكهربائية

سيكون أساسياً لتطوير منظومة تحفيز ضوئي متكاملة من أجل تحويل وتخزين الطاقة الشمسية.

إن ما يبحث على التشجيع هو أن جميع الأجزاء في عملية انشطار الماء موجودة في المنظومات البيولوجية: تنتج المنظومة الضوئية II في النباتات O_2 من الماء، وتخزن أنزيمات الهدروجينيز الماء إلى H_2 ، ويقدم حاصل الطاقة المشتقة من اليخضور ومكونات فاصلة الشحنة للنبات والاصطناع الضوئي البكتيري نموذجاً للامتصاص الضوئي الفعال ولينى فصل الشحنة التي تستطيع أن تدفع إلى الأمام التفاعلات الكيميائية المشكّلة للوقود. إن النباتات، مع ذلك، بعيدة عن كونها آلات مثلى من أجل تحويل الطاقة الشمسية، إذ لا يتحول من مجموع طاقة ضوء الشمس الساقطة على ورقة الشجر إلى طاقة حرة مخزونة بفعل الاصطناع الضوئي إلا 3-4% فقط. إن منظومات الاصطناع الضوئي الصناعية مستوحاة من العملية الحيوية، ولكن هدفها هو تجاوز عطاء هذه العمليات. وهكذا فبالرغم من أن نتائج تسو وزملائه واعدة إلا أن هنالك طريقاً لا بدّ من عبوره قبل أن تتمكن من التغلب على الطبيعة.

REFERENCES

- المراجع
- [1] Bard, A.J. & Fox, M. A. Chem. Res. 28, 141-145 (1995).
 [2] Zuo, Z., Ye, J., Sayama, K. & Arakawa, H. Nature 414, 625-627 (2001).
 [3] Tan, M. S. et al., Prog. Inorg. Chem. 41, 21-144 (1994).
 [4] Honda, K. & Fujishima, A. Nature 238, 37-38 (1972).
 [5] Finklea, H. A. Semiconductor Electrodes (Elsevier, Amsterdam, 1998).
 [6] Kung, H. H., Jarrett, H. S., Sleight, A. W. & Ferretti, A. J. Appl. Phys. 48, 2463-2469 (1977). ■

6- مسارات جديدة بغية التوصل إلى النظرية النهائية*

يقوم الفيزيائيون النظريون بالبحث عن نظرية كل شيء في ظواهر المادة الكثيفة مثل مفعول هول الكمومي والميوعة الفائقة.

هنالك تاريخ طويل من العلاقات بين المادة الكثيفة وفيزياء الجسيمات. والمثال التقليدي على ذلك هو آلية هيغز Higgs التي لها أصول في دراسة الناقلية الفائقة، وقد جرى اعتقاد بأنها تفسر بكل الجسيمات الأولية. يتوجه الفيزيائيون النظريون المختصون بالمادة الكثيفة في الوقت الحاضر إلى السعي التقليدي وراء الفيزيائيين المختصين بالجسيمات وهو البحث عن نظرية كل شيء التي توحد القوى الأربع الأساسية في الطبيعة. في الواقع،

كبيرة جداً لكي تسمح بالامتصاص الفعال لأغلب الفوتونات في الطيف الشمسي. إن المردود الإجمالي لتحويل الطاقة في مثل هذه المنظومات يساوي 1-2% فقط. تحوي مركبات، مثل CdTe (التي تدعى شلوكوجينيد المعدن) أو InP (نصف ناقل من النوع III-V)، فجرات عصابة أصغر تتماشى بشكل أفضل مع التوزيع الطيفي لضوء الشمس الواصل إلى الأرض. بيد أن هذه المواد إما أن تتآكل أو تصبح خاملة عندما تستعمل كإلكترودات ضوئية في محلول مائي [3, 5]. وعندما يتم جعل فجوة العصابة في مختلف أكاسيد المعادن أصغر (وذلك للحصول على تراكب أكبر مع الطيف الشمسي)، كما هو الحال في ZnO و Fe_2O_3 ، يصبح كمون الإلكترونات المثار ضوئياً في نصف الناقل أكبر إيجابية من الكمون الذي نحتاجه لاختزال الماء إلى H_2 ، ويصبح التفاعل من الناحية الترموديناميكية غير مناسب في ضغط الغرفة المساوي للضغط الجوي [6].

وباختصار، المشكلة هي كالتالي: إن المواد المستقرة في الماء والتي تستطيع أن تشطر الماء إلى H_2 و O_2 لا تمتص الضوء بفعالية، والمواد التي تمتص ضوء الشمس بفعالية لا تستطيع دعم انشطار الماء المحروض بطريقة كيميائية ضوئية. لا يعكس تحديد "المبدأ الثنوي" لتحلل كهربائي هذا عائقاً ترموديناميكياً أساسياً لأن المواد، التي فجوة العصابة فيها من 1.5 إلى 1.6 إلكترون فولط، تكون قادرة على تقديم الـ 1.23 فولط من الطاقة الحرة الضرورية لتحلل الماء تحت ضغط جوي واحد. وبدلاً عن ذلك، فإن التقييد يكون مفروضاً من التفاعل بين الخواص الضوئية والإلكترونية والكيميائية للمواد الماصة للضوء الموضوع تحت الاختبار.

إن عمل تسو وزملائه يعطي أملاً بإمكانية التغلب على هذه التقييدات المتعلقة بالمواد. فهم يبيّنون أن إدخال الـ Ni في $InTaO_4$ يمدّد امتصاص الضوء لعائلة المركب الفوتوإلكترود $In_{1-x}Ni_xTiO_4$ إلى المنطقة المرئية من الطيف الشمسي، وتبقى الإلكترونات الضوئية المثارّة محتفظة بطاقة كافية لاختزال الماء إلى H_2 . وعندئذ تؤكسد شواغر الإلكترونات المولدة ضوئياً الماء إلى O_2 ، متممة بذلك الدارة ودافعة تفاعل انشطار الماء. بين تسو وزملائه أنه في هذه المنظومة تستطيع الأطوال الموجية - ما دامت تساوي 420 nm - أن تحدث عملية انشطار الماء. لقد اعتبروا أن المنظومة مستقرة لأن كمية H_2 و O_2 (مقدرة بالمول) المنتجة تزيد من كمية المكافآت المحترقة في عينة الفوتوإلكترود.

ومع ذلك، فهذه ليست نهاية القصة، لأن مردود التحوّل في منظومة تسو وزملائه أقل من 1%. تتطلب الخطوات التالية توسيع الطريقة لإنتاج مواد تستطيع امتصاص جزء أكبر من المنطقة المرئية للطيف. تكون فجوة العصابة الأمثل من أجل نبيطة أحادية العتبة لتحويل ضوء الشمس إلى طاقة مخزونة بين 1.1 و 1.7 إلكترون فولط، مع النهاية الأعلى للمدى المطلوب من أجل انشطار الماء بسبب التقييدات الطاقية التي ترافق تشكل H_2 و O_2 في ضغط يساوي ضغط جوي واحد [3]. إن الحدود التي يمكن لعائلة أكاسيد المعادن الموجودة أن تصل إليها بحيث تفي بحاجة التقييدات الطاقية والامتصاص الضوئي معاً، غير مفهومة جيداً من الناحية النظرية أو من الناحية التجريبية. ولهذا فإن التقدم في هذا المجال إلى الأمام

أسس هول الكومومي

يلاحظ مفعول هول عندما يتم قياس مقاومة غاز من الإلكترونات ذي بعدين في حقل مغنطيسي. لاحظ كلاوس فون كليتسنغ K.v.Klitzing عام 1980 أن مقاومة الغاز تكون مكعبة عندما يكون الحقل المغنطيسي عالياً وتكون درجة الحرارة منخفضة جداً: تستطيع المقاومة أن تأخذ فقط القيم التي هي من الشكل h/ve ، حيث تدل h على ثابت بلانك Planck، وتدل v على عدد صحيح، وتدل e على شحنة الإلكترون.



توجهات جديدة: هل ستبقى النظرية النهائية عند الطاقات المنخفضة من مفعول هول الكومومي؟

يمكن توضيح مفعول هول الكومومي ذي العدد الصحيح باستخدام مقارنة سائل لاندائو - فيرمي Landau - Fermi المعيارية الحالية التي تتجاهل بشكل أساسي التأثيرات بين الإلكترونات، ولكن هذا الأمر فشل بعد سنتين عندما اكتشفت المنظومات التي كانت فيها v كسراً. وقد جرى توضيح مفعول هول الكومومي الكسري هذا من قبل لوغلين بعبارات شبه جسيمات مشحونة كسرياً أو إثارات في الغاز الإلكتروني. نال كليتسنغ جائزة نوبل 1985 لاكتشافه هذا، بينما اشترك لوغلين مع هورست شترورم H. Stromer ودانييل تسوي D. Tsui في نيل الجائزة عام 1998. وهؤلاء التجريبيون كانوا أول من لاحظ المفعول الكسري.

وبالإضافة إلى الهندسة غير التبديلية، وجد تسانغ وهو، عندما مددا نظرية مفعول هول الكومومي إلى أبعاد أربعة، أن المعادلات التي تصف بعض إثارات السائل الكومومي كانت مشابهة لمعادلات ماكسويل Maxwell المتعلقة بالكهرطيسية التقليدية وللصيغة الخطية لنظرية أينشتاين Einstein العامة في النسبية.

ولكن هل سيؤثر العمل تأثيراً مباشراً على أصحاب نظرية الأوتار الذين يحاولون أن يطوروا نظرية كمومية في الثقالة؟ يقول بولشنسكي "ليس بشكل مباشر، بالرغم من أن هنالك تشابهات مع الهندسة غير التبديلية التي جرى استكشافها في نظرية الأوتار، وقد يكون هذا شيئاً جديداً في الاتجاه نفسه." ومع ذلك فإن لوغلين أكثر حذراً إذ يقول "ليس واضحاً إذا كانت الهندسة غير التبديلية، في نهاية المطاف، وثيقة الصلة بالثقالة الكمومية الحقيقية".

الحلأء والنظرية النهائية

إن الفكرة التي كانت سائدة في السبعينيات من القرن الماضي هي أن نظريتي الثقالة والنسبية تنبعثان من الميكانيك الكومومي للحلأء بدلاً من كونهما مختلفين تماماً. وبهذه المقاربة كان يُنظر إلى الحلأء الكومومي كنوع خاص من المادة، وأن جميع القوانين الفيزيائية تنبثق عندما تنخفض طاقة الحلأء أو درجة حرارته. لخص لوغلين وديفيد باينس D. Pines في مقال لهما عن الموضوع (مجلة Proc. Natl. Acad. Sci، العدد 97 لعام 2000) هذه الفلسفة بقولهما "لم يعد العمل المركزي للفيزياء النظرية في وقتنا الحالي هو في تسجيل معادلات نهائية بل أصبح عوضاً عن ذلك في بيان وفهم السلوك الناشئ كنتيجة منطقية في مظاهره المتعددة.

يجادل بعض فيزيائيي المادة بأن الإجابة عن النظرية النهائية لن تكون بسبر طاقات أعلى فأعلى، بل يعتقدون بدلاً عن ذلك بأن ظهورها سيتم في الطاقات المنخفضة.

إن الهدف التالي من هذا الأسلوب الجديد هو في فهم الخواص الكومومية للحلأء على أساس منظومات المادة الكثيفة التقليدية مثل الموائع الفائقة والسوائل الكومومية. الاختراق الحديث في هذا الاتجاه هو اكتشاف شو- شينغ تسانغ S.C. Zhang و جيانينغ هو J. Hu من جامعة ستانفورد في كاليفورنيا وجامعة تسنغهاوا في الصين للصيغة الرباعية الأبعاد للظاهرة الثنائية البعد المدروسة كثيراً، ألا وهي مفعول هول الكومومي.

الفكرة المفتاحية في العمل، حسب رأي تسانغ، هي تعميم مبدأ الارتباب لهايزنبرغ Heisenberg المعروف بـ "الهندسة غير التبديلية": ففي حين يعني مبدأ الارتباب أنه من غير الممكن إجراء قياس متزامن، ولنقل، لمركبتين x للموقع والاندفاع، بدقة تامة، - فلا يمكن أيضاً في نموذج تسانغ - معرفة المركبات الثلاث للموقع بصورة دقيقة.

أخبر تسانغ مجلة Physics World قائلاً: "لقد جرى البحث عن التعميم الأعلى بعداً لمفعول هول الكومومي لمدة طويلة، إلا أنه لم يُعثر سابقاً على الصيغة المتناظرة في جميع الأبعاد". ويتابع "من الممكن أن تكون البنية الرياضية وثيقة الصلة بنظرية الأوتار، لكن النموذج مختلف جداً، إنه بعيد عن النموذج الواقعي للكون. ومع ذلك لقد نجحنا في جعل الموقع نفسه غير تبادلي. ويتحزّر كثير من الناس بأن الحل النهائي للثقالة الكمومية يتطلب مثل هذه البنية".

يوافق بعض النظرين على أن العمل مهم، ولكن لديهم أيضاً شكوكاً حول مدى الأهمية التي سيؤول إليها هذا العمل على المدى الطويل. يقول روبرت لوغلين R. Laughlin في ستانفورد "النتيجة عبارة عن اختراق أو كشف مهم في الفيزياء النظرية. لقد حاول كثير منا أن يحصل على مضاهيات ذات أبعاد أعلى لحالة هول الكومومية ولكننا فشلنا. يمثل نموذج، تسانغ - هو، نوعاً جديداً من المادة لا يضاهاي أي شيء آخر معروف من قبل ولا حتى تشكيل شيء مفهوم منه. ومع ذلك، إنه ليس حلأء نموذج جدير بالثقة للزمكان." وكمثال على ذلك، يشير لوغلين بأن: الحرارة النوعية للحلأء تتغير مع مكعب درجة الحرارة بينما نجدتها في نموذج، تسانغ - هو، خطية.

يوافق جو بولشنسكي J. Polchinski - من أصحاب نظرية الأوتار في جامعة كاليفورنيا في سانتا برابرة - على ذلك قائلاً: "إنه نموذج ممتع يثير الاهتمام". ويتابع "بشكل مفعول هول الكومومي العادي موضوعاً خصباً في فيزياء المادة الكثيفة ونظرية الحقل الكومومي، ولهذا فإنه يجب أن يكون للتعيم الأعلى بعداً بعض الفيزياء المثيرة، ولكنه كنظرية ثقالة لا يزال بدايئاً جداً".

يقول غريشا فولفيك G. Volovik الفيزيائي المختص بفيزياء الدرجات المنخفضة في جامعة هلسنكي للثقانة في فنلندا "تهدف هذه المقاربة إلى اكتشاف الأصول الممكنة لكل من الثقالة التقليدية والثقالة الكمومية، بالإضافة إلى أصول الكهروطيسية والتأثيرات الضعيفة والقوية والمادة بشكل عام." ويتابع قائلاً: "هنالك طريق طويل للسير فيه، ويعتبر مقال تسانغ وهو مهماً وبشكل إحدى الخطوات المرحلية في هذا الاتجاه".

يعتقد فولفيك أن التقدم في هذا الحقل سيعتمد على "التعاون الوثيق بين جماعات فيزياء المادة الكثيفة والطاقة العالية والتناقلية." ويضيف بأن هنالك أيضاً تشابهاً مهماً بين المادة الكثيفة وفيزياء الثقوب السوداء.

إن تسانغ وهو متحمسان لعدم المبالغة في تأكيد عملهما المهم. ويختتمان عملهما قائلين: "بالرغم من أن هذا العمل لا يزال محدوداً جداً، فإننا نأمل أن يُحرض إطار هذا العمل التحريات عن الصلة الوثيقة بين المادة الكثيفة وفيزياء الجسيمات الأولية. ■

7- التصادمات لتحسّس البرودة*

كانت تجارب التصادم الذري على مدى أعوام كثيرة تطوي بشكل أساسي على قياس انحراف القذائف السريعة التي اخترقت أهدافاً غازية، أو قياس كمية الضوء الذي تصدره الذرات والجزيئات عند رجحها بقذائف مختلفة. ومع ذلك يطمح مجتمع الفيزياء الذرية في السنوات الأخيرة إلى أبعد من ذلك: فنحن نرغب في إعداد هدف من ذرات لا تفاعلية أو جزيئات في حالة كمومية معينة، وصدمه بقذائف سرعتها واتجاهها وسبينها وحالتها الداخلية معروفة تماماً، ومن ثم تسجيل الزمن، والتواتر، والسرعة، والطاقة، والاتجاه، والسين، والحالة الداخلية لكل جزء ينبثق عن التصادمات.

إن الأمر يبدو وكأننا نحولنا من لعبة البلياردو ذات الكرات الثلاث إلى لعبة البوالة pool ذات الخمس عشرة كرة، ونريد أن نسجل ونوضح ليس فقط التأثير الوحيد لكرة البلياردو، التي تُضرب بعضاً بالبلياردو، في كرة أخرى ولكن أيضاً الرمية "الأولى" التي تبثر الكرات الخمس عشرة جميعها فوق الطاولة بكاملها بطريقة فريدة. ومؤخراً اتخذ فريقان من الفيزيائيين خطوة أخرى في هذا الاتجاه للمرة الأولى، إذ أنهما جمعاً أحدثت تقنيات الأسر والتبريد الليزري مع طريقة موضوعة بشكل جيد لدراسة التصادمات.

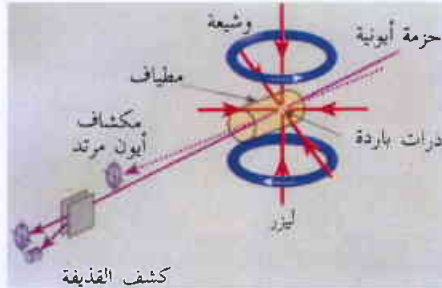
استخدم كلا الفريقين غازاً محصوراً في مصيدة ضوئية - مضطيسية بوصفه الهدف في تجارب تستغل تقنية عالية الطاقة تُعرف بمطيافية

الاندفاع الأيونية المرتد ذي الهدف البارد (COLTRIMS). وتسمح المجموعة باستخدام تقنية COLTRIMS مع أي ذرة تقريباً في الجدول الدوري وتزيد وبشكل كبير الاندفاع والفصل المكاني الذي يمكن تحقيقه. وهذا التقدم المفاجيء أتاح للفريقين - حيث يعمل أحدهما في مختبر KVI في غرونينغن Gröningen في هولندا، والآخر في جامعة ولاية كنساس في الولايات المتحدة - وضع التفاصيل الحركية كاملة لكل ذرة - أيون يلتقيان في تجارب التصادم عند طاقات من مرتبة keV.

ومع أن النتائج التجريبية الأولى لا تمثل إلا تقدماً محدوداً، فإن اجتماع هاتين التقنيتين يُبنيء بمرحلة جديدة في تصادمات ذرة - أيون. فهو يوحد تطورات جديدة في مجال الإلكترونيات السريعة وكشف الجسيمات الفردية مع تقنيات التبريد والأسر الليزري، التي حازت على جائزة نوبل في عام 1997 والتي جعلت من الممكن أيضاً إحداث تقدم كبير ومفاجيء في تكاثف بوز - أينشتاين الذي تمّ تقديره بجائزة هذه السنة. وهنالك رؤى جديدة وبيانات دقيقة حول التصادمات التي تحدث في البلازما المتشكلة بصورة طبيعية وصناعية (كثلك التصادمات الموجودة في صناعة الإلكترونيات، وتجارب طاقة الاندماج، والوسط الشمسي والينجمي) من المحتمل أن تكون نتيجة هذا الاقتران.

تعتمد تقنية COLTRIMS على مكاشيف حديثة متعددة الأهداف - مكاشيف جسيمية قادرة على تسجيل عدد كبير من الحوادث التلقائية بشكل مستقل - لتسجيل وتحديد الذرات الفردية، والأيونات، والإلكترونات والبروتونات الناجمة عن تصادم ما. وهذا يتيح إعادة تشكيل مساراتها واندفاعاتها لإظهار جميع تفاصيل التصادم. وهذه الطريقة تسمح لنا بإمعان النظر في داخل منطقة التصادم المعقدة والمسيطر عليها كمومياً حيث تحدث جميع عمليات إعادة الترتيب والفصل والانحراف والارتداد على مسافات أقل من 1 nm (10^{-9} m) وفي أزمنة أقل من 1 fs (10^{-15} s).

إن حوادث التصادم التي تحدث في الطبيعة نادرة وبسيطة كئلك التي اخترناها تقليدياً لدراستها في المختبر، والتي اختيرت بصورة رئيسة لأننا نعتقد أن لدينا فرصة مناسبة لفهم ما يجري. فالتصادمات "الفعلية" يمكن أن تتضمن العديد من الأجسام المنفصلة (الإلكترونات، نوى، مجموعات متنوعة من هذه الإلكترونات والنوى، وفوتونات) تعمل إما مع بعضها أو على التابع، بشكل مستقل أو على التوافق. تركز تقنية COLTRIMS بشكل رئيس على شظايا الهدف التي تنشأ أكثر من أن تركز على القذيفة المنطلقة بسرعة. ولهذا من الضروري التخلص من الحركة الحرارية العشوائية في الهدف بحيث لا تصبح الكمية



في تجربة MOT_COLTRIMS المشتركة تصطدم حزمة من أيونات السيزيوم (الأرجوانية) مع غاز من ذرات الروبيديوم (الهدف - الأبيض) داخل مصيدة ضوئية - مضطيسية. تؤسر ذرات الغاز وتبرز بالتأثير المشترك لست حزم ليزرية (حمراء) والحقل المغناطيسي الذي تولده وشائع هلمولتز المضادة (الزرقاء). ويقوم المطياف ومكشاف حثاس موضعياً ذو بعدين (2D-PSD) بتسجيل جميع تفاصيل الأيونات الهدف بعد التصادم، بينما يقوم بتسجيل تفاصيل القذيفة مكشاف 2D-PSD آخر.

أيونات السيزيوم إلكترونات 5s أو 5p من ذرة الروبيديوم (وكلتا الحالتين كانت موجودة في المصيدة)، فإن أيون الروبيديوم الناتج والمشحون بشحنة فردية قد ارتد. ويمكن تسجيل هذا الارتداد بمكشاف حساس موضعياً ذي بعدين. وتم تسجيل ذرة السيزيوم المنحرفة قليلاً - والحياضية الآن - في مكشاف مماثل.

تسمح درجة حرارة هدف MOT المنخفضة للغاية بفصل حوادث التصادم اعتماداً على الحالة الأولية للروبيديوم، وكذلك تبعاً للحالة النهائية للسيزيوم. كما أنه من الممكن قياس توزع زوايا التبثر بميز قدره 30 مكرو راديان لكل تركيب للحالة البدائية والنهائية. إن ميز الاندفاع الخطي الذي حققته المصيدة الضوئية - المغناطيسية MOT يشير إلى أن تحسناً بمقدار عشرة أضعاف عن ميز COLTRIMS التقليدي سيكون ممكناً في المستقبل.

تسمح أيضاً النتائج التي اتسمت بالوضوح للباحثين بدحض الافتراض الذي دام 35 عاماً فيما يتعلق بدور استقطاب اللب في نقل شحنة السيزيوم - الروبيديوم التي لم يكن حتى الآن بالإمكان اختبارها بأي تجربة أو نظرية. ومع أن الافتراض الأصلي يمكن أن يتجاوز غايته، فإن الأهمية لهذه التجربة تتمثل بكونها تبيّن أن الدراسات الدقيقة للتصادمات الذرية هي ممكنة الآن مع مجموعة الذرات المبردة ليزرياً بمطافية أيونات مرتدة.

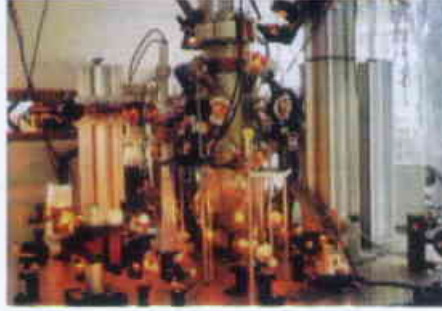
وبالإضافة إلى عرض تحسينات مهمة في ميز تجربة COLTRIMS ومجال الذرات التي يمكن دراستها، فإن المصائد الضوئية - المغناطيسية يمكن أن تسمح باستخدام أنماط جديدة من الأهداف. وهذه بدورها تتضمن أهدافاً من جزيئات وربما من كثافات بوز أيضاً. وتعد هذا العصر الجديد من فيزياء التصادم الذري بأن يكون أكثر إثارة بالفعل. ■

8- فيزياء كرة القدم*

إن دورة كأس العالم لكرة القدم، التي بدأت نهاية الشهر الماضي في كوريا الجنوبية واليابان، تُقدّم للفيزيائيين فرصة ذهبية للتمعّن والتفكير في الميكانيك والتحرك الهوائي لكرة القدم.

تعدّ كرة القدم أشهر رياضة في العالم. ويشاهد الملايين في هذه الأيام دورة كأس العالم لكرة القدم على التلفاز، ومعظم هؤلاء المشاهدين يمارسون هذه اللعبة بأنفسهم. ومع إعطاء هذه الرياضة كل هذا الاهتمام، يلفت انتباهنا قلة الاهتمام بالنواحي العلمية لهذه اللعبة. فعلى سبيل المثال تخدّم كل من لعبتي الغولف والكريكيت بشكل أفضل ولكن الميكانيك

الكبيرة من المعلومات، التي تتضمنها هذه الارتدادات الحساسة، ضبابية.



تجربة MOT_COLTRIMS المشتركة لدى مختبر KVI في غرونينغن.

يمثل الهدف في تجربة KVI وتجربة جامعة ولاية كنساس غازاً من ذرات قلوية مبردة ليزرياً حتى 1 mK من الصفر المطلق داخل مصيدة ضوئية - مغناطيسية (MOT). وهذه الأهداف أبرد بكثير من الغازات النادرة المبردة قوياً والمتمددة بشكل فوق صوتي (كغاز الهليوم أو الأرجون)، التي استخدمت في تجارب COLTRIMS السابقة وبالتالي تكون حركتها العشوائية أقل بكثير.

قام فريق تجربة KVI بأسر وتبريد 10^6 ذرة صوديوم ليزرياً في حالتها الأساسية لتشكل سحابة صغيرة قطرها 2-3 mm. ومن ثم رُجمت السحابة بأكسجين مؤيّن ست مرات، تم تسريعه إلى سرعة تماثل سرعة الإلكترونات الذرية. وسجلت الحوادث التي ارتدت فيها أربعة أنماط من أيونات الصوديوم - Na^+ , Na^{2+} , Na^{3+} , Na^{4+} - عن الهدف، كونها تخلت عن إلكترون أو أكثر من إلكتروناتها لأيونات الأكسجين العابرة.

ولدى تسجيل المركبتين الطولية (على طول حزمة الأكسجين) والعرضانية بدقة للسرعة المرتدة، بالإضافة إلى زمن طيران الارتدادات إلى المكشاف المتعدد الأهداف، كان الباحثون قادرين على إعادة تشكيل توزع التغير في الطاقة (قيمة Q) وفي الاندفاع العرضاني بالنسبة لكل حالة شحنة ناجمة. يمكن تفسير الاندفاع العرضاني بدلالة تابعة حوادث أسر الشحنة المتعددة الإلكترون للمسافة الدنيا بين القذيفة والذرة أثناء التصادم. فعندما يمر أيون الأكسجين قرب ذرة الصوديوم، فإن شحنته الموجبة تزيد إلكترونات أو أكثر مسببة ارتداد ذرة الصوديوم. وكلما تمّ الالتقاء بشكل أقرب، كان الارتداد أقوى.

تسمح طيوف القيمة - Q بإجراء استنتاجات حول الحالات الإلكترونية التي تؤسر فيها الإلكترونات بواسطة الأكسجين. وثمة إمكانية خادعة يشار إليها في البيانات تتمثل باحتمال وقوع بضعة حوادث تتحرر فيها مبدئياً أربعة إلكترونات من ذرة صوديوم واحدة، ولكن بعد أسر الإلكترون الثالث بالأكسجين (بحيث يكون الأكسجين والصوديوم مشحونين بالتساوي في تلك اللحظة)، يمكن عندئذ إعادة أسر الإلكترون الرابع بالصوديوم. هذا يعني أن التداخل الكومومي يمكن أن يحدث بين عملية إعادة الأسر الثلاثي المباشرة. وقد يكون من الممكن ملاحظة هذه الإشارة باستخدام تجربة مستقبلية مشتركة بين MOT - COLTRIMS بطريقة مماثلة للأهداف في تجربة شقي يونغ التقليدية.

قام فريق ولاية كنساس بأسر غاز مؤلف من ذرات الروبيديوم - 87 مستخدماً الضوء تحت الأحمر القريب الصادر من ليزر ديودي وصدمه بأيونات السيزيوم المشحونة بشحنة فردية طاقتها 6 keV. عندما أسر أحد

خالية من الهواء على الأرض تبقى ثابتة دون حراك.

وللحصول على لمحة عن فيزياء ارتداد الكرة، دعونا نتأمل أبسط حالات الارتداد وهي السقوط الشاقولي. فعندما ترتطم الكرة بالأرض، يصبح السطح السفلي للكرة مستوياً وبالتالي ينشأ لدينا توازن بين ضغط الهواء نحو الأسفل وقوة رد الفعل من الأرض نحو الأعلى (الشكل 1a). وبما أن ضغط الهواء منتظم بصورة أساسية، فإن قوة رد الفعل هذه تتناسب مع مساحة سطح التماس والتي بدورها تتناسب مع التشوه الشاقولي للكرة شريطة أن لا يكون هذا التشوه كبيراً.

يبين الحساب البسيط أن تشوه الكرة $y = a - h$ (انظر الشكل 1b) يتغير جيئياً مع الزمن t وفقاً للعلاقة $y \propto \sin(cp/m)^{1/2} t$ ، حيث c محيط الكرة و p هو الضغط الزائد عن الضغط الجوي و m كتلة الكرة، ومدة الارتداد هي $t_b = \pi(m/cp)^{1/2}$ (انظر الشكل 1c).

ومن القواعد المنظمة لهذه اللعبة أن تكون الكميات الثلاث التي تحدّد مدة الارتداد - محيط الكرة وضغطها وكتلتها - هي المعتمدة. لتأخذ كرة نموذجية كتلتها 0.45 kg ، ومحيطها 70 cm وضغطها يساوي 0.85 من الضغط الجوي ($8.6 \times 10^4 \text{ Nm}^{-2}$). إن زمن ارتداد هذه الكرة حوالي 8 ملي ثانية وهي نتيجة مؤكدة تمّ الحصول عليها بقياسات أجريت بواسطة كاميرات عالية السرعة. ومن الضروري الإشارة إلى أن هذا الزمن أقصر بكثير من 40 ملي ثانية وهو زمن الفجوة الذي ينشأ عن تتابع أطر الصور

والتحريك الهوائي لكرة القدم يضعان أمام الفيزيائيين العديد من التساؤلات المتنوعة والهامة. وعندما نذكر فيزياء كرة القدم نناقش عادةً طيرانها المنحني. فخلال دورة كأس العالم عام 1974، على سبيل المثال، دُهبش ملايين المشاهدين في العالم بالركلة المذهلة "ركلة الموزة" التي قام بها البرازيلي روبرتو ريفيلينو R. Rivelino. ومنذ ذلك الوقت، أصبحت القدرة على توجيه الكرة ودورانها مهارة من مهارات هذه الرياضة.

لا يشعر الجمهور أبداً بالملل من مشاهدة كرة منحنية ومصوّبة بشكل متقن. ففي عام 1997 ذُهبش مشجعو كرة القدم في العالم بالركلة الرائعة التي وجهها البرازيلي روبرتو كارلوس R. Carlos في مباراة البرازيل ضد منتخب فرنسا، حيث صُوّبت ركلته هذه من ضربة حرة على بُعد 30 متراً من المرمى ثم تجاوزت حائط المدافعين بأقل من متر قبل انحنائها وتوضّعها في الزاوية العليا لمرمى المنتخب الفرنسي.

يأمل مشجعو منتخب إنكلترا من ديفيد بيكهام D. Beckham، الذي يُعدّ الأهداف الخالي للمنتخب، النجاح بتسديد هذه الركلات نفسها في هذا الصيف، شريطة أن يشفى العظم المكسور في قدمه.

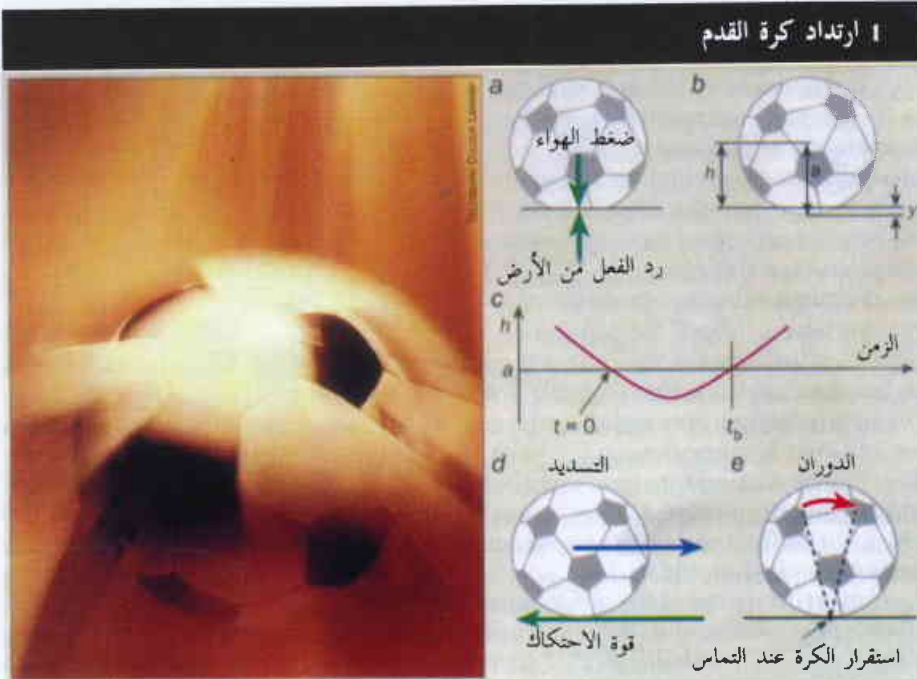
يعلم معظم الفيزيائيين أن الركلة المنحنية تُعزى إلى ما يسمى بتأثير ماغنوس Magnus ولكنها تبقى غامضة الشرح من خلال الأوصاف البسيطة التي تُقدّم عادةً والتي تكون مضلّلة أحياناً. لنبدأ أولاً بمشكلة أبسط وهي ارتداد الكرة. لارتداد الكرة العديد من الدلالات المثيرة للجدل

في مباريات كأس العالم. فمن متا ينسى الخلاف الذي دار حول الهدف الثالث الذي أحرزه جيوف هورست G. Hurst في نهائيات كأس العالم بإنكلترا عام 1966 ضد منتخب ألمانيا الغربية في ويمبلي Wembley، حيث كانت النتيجة 2-4 لصالح إنكلترا؟

لقد ارتدت الكرة التي ركلها هورست من العارضة ودخلت إلى المرمى ومن ثم ارتدت إلى الخارج وأبعدت من قبيل مدافع ألماني. فكيف حصل هذا؟

الارتداد

تُعدّ طريقة ارتداد الكرة عن الأرض هامة في لعبة كرة القدم. فالارتداد العالي يمكن أن يُفسد اللعبة بأكملها إذا كان السطح قاسياً، في حين لاتعطي الكرة اللينة أي ارتداد يُذكر. ولكن من المهم جداً معرفة أن الركلة هي عبارة عن ارتداد عن القدم. وهناك نقطة هامة أخرى يجب الإشارة إليها وهي أنه في رياضة الغولف أوالسكواش يزيد ارتداد الكرة عن سطح قاسٍ من مرونة المادة؛ فمن المعروف أن كرة القدم ليس لها أية مرونة، وإذا سقطت كرة



تلعب عملية ارتداد الكرة عن الأرض دوراً رئيساً في كرة القدم في حين تكون الركلة عبارة عن ارتداد عن القدم.

(a) خلال الارتداد تتوازن قوة ضغط الهواء على غلاف الكرة المفلطح مع رد الفعل من الأرض.

(b) يُعبّر عن ارتفاع مركز الكرة h عن سطح الأرض بـ $a - y$ ، حيث a نصف قطر الكرة و y التشوه.

(c) من أجل كرة نسقط شاقولياً تتغير y جيئياً مع الزمن t أثناء عملية الارتداد وفقاً للعلاقة $y \propto \sin(cp/m)^{1/2} t$ ، حيث c محيط الكرة و p الضغط الزائد عن الضغط الجوي و m كتلة الكرة. تستغرق عملية الارتداد وقتاً مساوياً لـ: $t_b = \pi(m/cp)^{1/2}$.

(d) الكرة التي تضرب الأرض بزواوية سطحية تنزلق أثناء عملية الارتداد.

(e) الكرة التي تضرب الأرض بزواوية منتصبة تدور عند ابتعادها عن الأرض.

إن ما يحدث بالفعل يمكن معرفته عن طريق دراسة الصور الفوتوغرافية والقياسات القديمة التلفزيونية. يكشف لنا تحليل الحركة البطيئة عدم عبور الكرة بكامل محيطها خط المرمى، ولهذا السبب يخطيء كل من مساعد الحكم والحكم في إعطاء الهدف. وبالطبع تابعت إنكلترا مساعها في الحصول على هدف رابع ولكن هذا لم يمنع الناس من الاستمرار في الجدل حول ركلة هورست باستمرار. ومع هذا كله هنالك نظرية يمكنها أن تشاركنا الرأي، حيث تقول بأنه لو اصطدمت الكرة بالعارضة عند موضع أدنى لكنت قد عبرت خط المرمى بشكل كامل. وقد حُرِّمَ متابعو هذه الرياضة من الاستمتاع بمثل هذا النوع من النقاش.

الركل

يمكن اعتبار ركل kick كرة القدم ارتداداً. فإذا تحركت قدم اللاعب بسرعة v لحظة اصطدامها بالكرة، تكون سرعة الكرة في مرجع مرتبط بالقدم $-v$ قبل حصول الاحتكاك، ثم

ترتد الكرة عن القدم بسرعة $+ev$ ، ولهذا السبب تتغير سرعة الكرة بمقدار كلي يساوي $(1+e)v$ وهو السرعة الفعلية التي ترتفع بها الكرة بعيداً عن القدم. وفي ركلة الجزاء الناجحة، تتحرك الكرة بسرعة 130 km في الساعة متجاوزة مسافة الـ 11 m من نقطة القيام بركلة الجزاء إلى المرمى مستغرقة حوالي ثلث الثانية ومعطية حارس المرمى فرصة صغيرة جداً لصدد الكرة عن مرماه. تساوي سرعة القدم حوالي 80 km في الساعة.

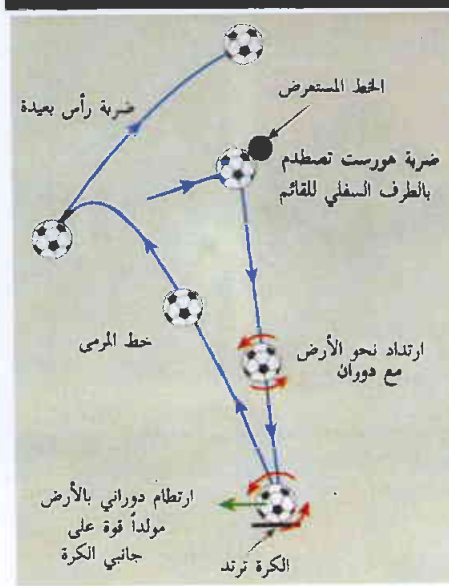
إن الميكانيك الحيوي للركلة السريعة ممتع أيضاً، حيث يتوضع الجزء العلوي من الساق بشكلٍ دائري، في حين يكون الجزء السفلي متديلاً في البدء. يتعرض الجزء السفلي من الساق خلال عملية دورانه حول الورك إلى قوة نابذة مركزية تؤدي إلى دفع القدم خارجاً. وأثناء هذه العملية تزداد سرعة القدم في حين تبقى الساق ثابتة عند ركل الكرة. يشبه هذا الأسلوب في اللعب طريقة دفع الكرة في لعبة الغولف، حيث يلعب الذراعان دور الجزء العلوي نفسه من الساق، في حين تأخذ هراوة اللعب دور الجزء السفلي منها، ويتم ضرب الهراوة كلما اقتربت من الكرة.

يحاول اللاعب في الركلة البسيطة توجيه قدمه إلى مركز الكرة ليتأكد من اتخاذ الكرة المسار المطلوب. وتتطلب الركلة المتقنة والذكية، التي تسعى إلى حني مسار طيران الكرة مع بقائها في الهدف، مهارة أعلى. ولفهم قدرة اللاعبين على توجيه الكرة عند ركلها، يجب علينا أولاً معرفة كيف تتحرك الكرة أثناء الطيران.

التحريك الهوائي لكرة القدم

هنالك تآلف بين معظم الفيزيائيين وقانون ستوكس Stokes الذي يصف حركة الكرات في سائل لزج في حالات السرعات المنخفضة جداً. يمكن تحديد قوة الاحتكاك المطبقة على كرة متحركة في الهواء بشكل

2 الهدف المثير للجدل؟ 1966 وكل ما يتعلق به



تتالي الأحداث خلال الهدف الثالث المثير للجدل في نهائيات كأس العالم عام 1966 عندما حققت إنكلترا الفوز على منتخب ألمانيا الغربية 2-4. لقد ضربت الكرة خط المرمى ومن ثم ارتدت خارج المرمى.

التلفزيونية، وهذا يعني أننا كمشاهدين نفتقد غالباً زمن الارتداد الفعلي بأدمغتنا التي تملأ هذه الفجوة الزمنية.

تعمل حسابات الزمن وحركة الارتداد التبدد الناجم عن انثناء غلاف الكرة. لا يؤثر هذا التقريب على المقياس الزمني بشكل أساسي ولكنه يغالي في تقديره للطاقة الحركية للكرة. يمكن أن يؤخذ هذا التأثير بعين الاعتبار تجريبياً من خلال صياغة سرعة الكرة بعد الارتداد v_1 بالعلاقة $v_1 = ev_0$ حيث v_0 السرعة البدائية للكرة و e معامل الارتداد. يتعلق هذا المعامل، الذي يساوي 1 من أجل التصادم الكامل المرنة، بطبيعة السطح الذي ترتد عليه الكرة وهو يساوي 0.8 للسطح القاسي و 0.6 للعبس القصير.

تعدّ الطريقة التي ترتد بها الكرة عندما تصطدم بالأرض بزاوية ما مع السطح أكثر تعقيداً. تنزلق الكرة أولاً على طول الأرض بسرعة اصطدام أفقية مولدة قوة احتكاك أفقية.

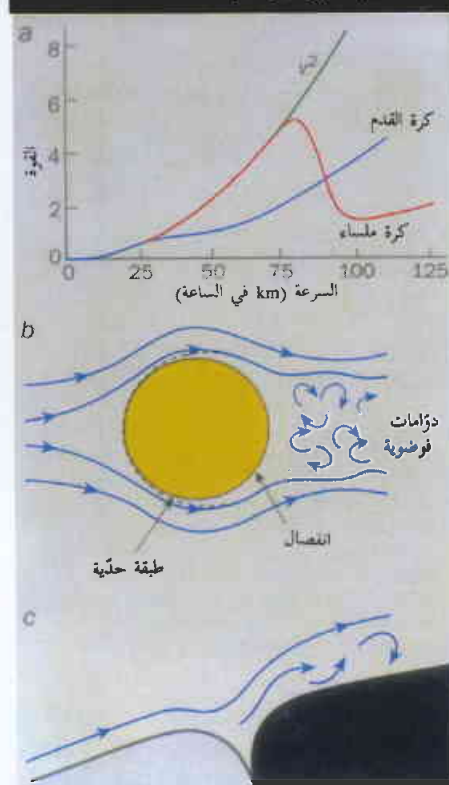
ولهذه القوة تأثيران: إنها تقوم بإبطاء الحركة الأفقية للكرة وتطبق عزم دوران عليها، ويعني هذا العزم أنه عندما تتباطأ الكرة خلال عملية الارتداد؛ فإنها تبدأ بالدوران في الوقت نفسه. وهنالك حالتان متعلقان بالزاوية بين مسار الكرة وسطح الأرض حين ارتطامها به.

إن الكرة التي ترتطم بالأرض بزاوية ضحلة، يمكنها أن تتابع الانزلاق عند انتهاء عملية الارتداد (الشكل 1d). أما الكرة التي تصدم الأرض بزاوية منتصبة فإن السطح السفلي يأخذ وضعية الاستقرار وتتابع الكرة دورانها على طول الأرض خلال ما تبقى من مدة عملية الارتداد (الشكل 1e).

إذا كانت الكرة تتمتع بمثل هذا الدوران السريع، حيث يتحرك سطحها السفلي باتجاه الخلف، فيمكنها أن تتسارع بالفعل خلال الارتداد. في الحقيقة، إن هذا الأمر نادر الحدوث فمن المتعارف عليه بتباطؤ الكرة أثناء عملية الارتداد. لذلك من المدهش سماع قول المعلقين على شاشة التلفاز عن سرعة التقاط الكرة من وضعية الارتداد على سطح رطب. والمتوقع حدوثه في مثل هذه الظروف هو أن الكرة تنزلق خلال عملية الارتداد ولا تتباطأ كما يمكن أن نتوقعه من خلال التجربة، وهذا ما يعطينا انطباعاً أو شعوراً بازدياد السرعة.

لقد تحدّث هورست كثيراً عن الهدف الذي حققه منتخب إنكلترا في نهائيات كأس العالم عام 1966 والذي ربما نتج عن أعظم الارتدادات شهرة في تاريخ كرة القدم (الشكل 2). يمكن وصف ضربتي الارتداد، الأولى ارتداد عن العارضة والثانية ارتداد عن الأرض، باستخدام المفاهيم المذكورة أعلاه، رغم أن ركلة الارتداد عن العارضة صعبة التحليل بسبب شكل العارضة.

3 تدفق الهواء والكرات



(a) قوة الاحتكاك المطبقة على كرة القدم كما تم قياسها من قبل الكاتب مقارنة بقيمة الكرة الملساء. يدي الاحتكاك المطبق على كرة ملساء انخفاضاً غير متوقع عند "السرعة الحرجة" التي تساوي حوالي 80 km في الساعة في حين يحدث تغير درامي أقل عند السرعة 30 km في الساعة. (b) تدفق الهواء حول الكرة عند سرعة أقل من السرعة الحرجة. لا يستطيع الهواء هنا الدوران إلى خلف الكرة وينفصل هذا التدفق عن الكرة مصدراً دوامات فوضوية في الخلف تتحرك ببطء. (c) كيف تؤثر عملية التخييط في الكرة الحقيقية على التدفق الخفيف للهواء حول الكرة.

C_D معامل الاحتكاك الذي يجب قياسه تجريبياً. يتغير معامل الاحتكاك تبعاً لعدد رينولد، وقد تم قياسه بشكل دقيق جداً للكرات الملساء. فمن أجل كرة ذات حجم معين تتحرك في الهواء، يتعلق عدد رينولد بالسرعة فقط. لذلك فمن السهل حساب قوة الاحتكاك المطبقة على كرة ملساء بحجم كرة القدم نفسها. عند السرعة الحرجة التي تبلغ حوالي 80 km في الساعة، يبدأ كل من معامل الاحتكاك وقوة الاحتكاك بشكل فعلي بالتناقص مع ازدياد السرعة، وفوق هذه السرعة تتناقص بشدة قوة الاحتكاك (الشكل 3a).

وتحت السرعة الحرجة، يمنع التبدد اللزج للطاقة الحركية في الطبقة الحدية الهواء من متابعة دورانه خلف الكرة، وينفصل التدفق عن السطح. تخلق هذه العملية غير المستقرة أثراً متحركاً يبطئ خلف الكرة (الشكل 3b). وعند السرعة الحرجة، تصبح الطبقة الحدية غير مستقرة ويمتدح الهواء فيها بالهواء السريع المتدفق خارج هذه الطبقة. وهذا ما يضيف اندفاعاً للتدفق ويؤخر عملية الانفصال مسبباً أثراً أصغر واحتكاكاً أقل. لقد تمت دراسة هذه التأثيرات بدقة تجريبياً، وأثبتت تابعة C_D لعدد رينولد من أجل الكرة الملساء منذ بداية القرن الماضي.

الاحتكاك المطبق على كرة القدم

رغم توفر العديد من القياسات المفصلة لتحريك الهوائي للكرات الملساء إلا أنه لا توجد نتائج مماثلة من أجل كرة القدم. وبالتالي كيف يمكننا معرفة سلوكية كرة القدم؟ يمكننا الحصول على المدخل الأول لهذه المشكلة عن طريق قياسات الكرات الخشنة مثل كرات الغولف. تبدي هذه الكرات تناقصاً مفاجئاً في معامل الاحتكاك، إلا أن الثغرات على كرة الغولف تسبب حدوث هذا الانخفاض عند سرعة أقل بكثير مما هي عليه من أجل الكرات الملساء. فبينما يحدث الانتقال عند عدد رينولد المساوي لـ 3.5×10^5 من أجل الكرة الملساء، يحدث الانتقال عند 5×10^4 من أجل كرة الغولف، (أي أقل بحوالي سبع مرات). يجب أن تقدم هذه الثغرات بداية حالة عدم الاستقرار التي تنتاب الطبقة الحدية التي تسبب التناقص في الاحتكاك.

هل كرة القدم ملساء خشنة؟ هنالك حقيقة واحدة مؤكدة وهي أن اللاعبين المستخدمين لكل من كرة القدم البلاستيكية الملساء وكرة القدم الحقيقية ذات القطع المخيطة يعرفون أنهما تسلكان سلوكاً مختلفاً. إن طيران كرة القدم الجيدة هو أكثر وثوقية بشكل ملحوظ. فلماذا يحدث هذا؟ إن أهم اختلاف واضح بين هذين النوعين من الكرات هو الشق

كامل بواسطة اللزوجة. يتحرك الهواء حول الكرة على شكل خطوط انسيابية ويعطي إجهاد القص الناجم عن جريان الهواء قوة احتكاك مطبقة على الكرة. وفي هذا النظام تتناسب قوة الاحتكاك هذه مع السرعة v .

تلعب "الشروط الحدية" عند سطح الكرة دوراً هاماً في التحريك الهوائي للكرة، وغالباً تعالج الكتب التعليمية بشكل رياضي الحالة البسيطة للجريان بدون لزوجة، حيث ينساب فيه الهواء ببساطة على سطح الكرة. لكن في الواقع يبقى الهواء الملامس للكرة ملتصقاً بالسطح ويتحرك معه. يؤثر الشرط الحدي هذا على عملية الانسياب عن السطح من خلال قوى اللزوجة.

إن المسافة δ عن الكرة، التي يتأثر على طولها الجريان باللزوجة، تساوي $(Vt)^{1/2}$ تقريباً، حيث V اللزوجة الحركية، و t الزمن الذي يتأثر فيه الهواء مع الكرة. يمكننا اعتبار الزمن المميز مساوياً d/v حيث d قطر الكرة. هذا يعني أن $\delta \sim d/R^{1/2}$ حيث $R = vd/V$ هو "عدد رينولد Reynold". بالنسبة لكرة القدم، إن $R = 3800 v$ في حين يُعبر عن v بالكم/سا.

يتوافق نظام ستوكس مع $R < 1$ وهذا يعني أنه يطبق فقط على كرات القدم المتحركة بسرعات أقل من 25 cm في الساعة، في حين يكون للكرات المتحركة بسرعات واقعية أعلى من ذلك، لنقل 25 km في الساعة، عدد رينولد يساوي حوالي 10^5 . وبالتالي تبلغ المسافة δ حوالي $d/300$ أي 1 mm تقريباً. يُعرف هذا المجال اللزج والضيق عند سطح الكرة بالطبقة الحدية، وهو مفهوم أدخله الفيزيائي الألماني لودويغ براندتل L. Prandtl في علم تحريك الموائع عند مطلع القرن العشرين. تفقد اللزوجة أهميتها خارج الطبقة الحدية وبالتالي يصبح التدفق هنا مثالياً.

ومع هذا كله هنالك إضافة لقصتنا هذه. فرغم صعوبة استخدام اللزوجة في تحديد نموذج التدفق، إلا أن الاحتكاك الناتج جامد أصلاً. يتأثر نموذج التدفق نفسه بسلوك الطبقة الحدية. فعند مؤخرة الكرة تنفصل الطبقة الحدية عن السطح وتصبح غير مستقرة عند السرعات العالية. تسبب حالة عدم الاستقرار هذه بالنسبة للكرة الملساء انخفاضاً كبيراً وغير متوقع في الاحتكاك.

يعطى اندفاع الهواء المتدفق على الكرة بـ pVA ، حيث p كثافة الهواء و v سرعة الكرة و A مساحة المقطع العرضي للكرة. ترتبط قوة الاحتكاك F_D بمعامل تدفق الاندفاع (pVA) وتُكتب كما يلي: $F_D = 1/2 C_D \rho A v^2$ ، حيث

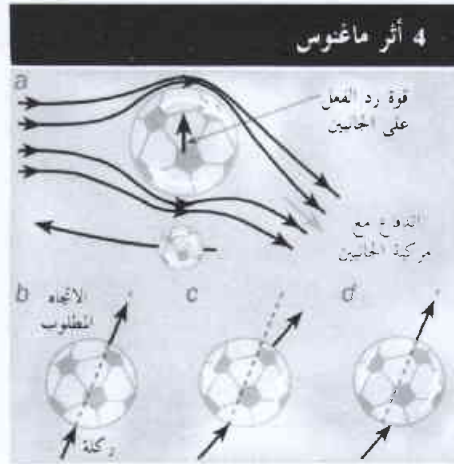
قوية تؤدي إلى ارتداد الكرة ومرورها من فوق حارس المرمى المفترض وجوده وقتها خارج منطقته. وعلى العكس من ذلك فقد تؤدي الرياح القوية جداً والتي تصل سرعتها إلى 65 km في الساعة إلى إبطاء الركلات أثناء تصويبها نحو المرمى حيث تهبط للأرض بعد ركلها وارتفاعها في الهواء ومن ثم تسير للخلف بدلاً من تقدمها إلى الأمام.

تأثير ماغنوس

كيف يمكن للاعبين مثل ريفيلينو وكارلوس ويكهام توجيه الكرة؟ يكمن حل اللغز هنا في القوة العرضانية المطبقة على كرة دوامة والتي تمت دراستها من قِبَل المهندس وعالم الرياضيات الإنكليزي بنيامين روينسن B. Robins في القرن الثامن عشر ومن ثم قام الفيزيائي الألماني غوستاف ماغنوس G. Magnus بدراستها في القرن التاسع عشر. تقول الشروح المقدمة حول تأثير ماغنوس إن دوران الكرة الدوامة يجعل الهواء على جانب واحد من الكرة يتحرك بسرعة أكبر من سرعته على الجانب الآخر، وبالتالي يدل مبدأ برنولي Bernoulli - الذي يقول إن زيادة في السرعة على طول خط الانسياب تحدث انخفاضاً في الضغط - على وجود اختلاف في الضغط بين جانبي الكرة. وينشأ عن هذا الاختلاف قوة جانبية تجعل خط طيران الكرة ينحني.

هنالك بالطبع اختلاف في سرعة الهواء على جانبي الكرة. إلا أن دوران الكرة يقود هذا الاختلاف إلى قوة اللزوجة، ووجود هذه القوة يجعل معادلة برنولي غير صالحة. وبالإضافة إلى ذلك فإن نمط التدفق الفعلي للهواء مع انفصال تفاضلي وأثر مضطرب منحرف يجعل حساب موازنة الضغط معقداً جداً.

على أية حال، هنالك طريقة مقنعة وبديهية لفهم أصل القوة المطبقة على الجانبين. وما يحدث هنا هو أن الكرة الدوامة تسرع الهواء المطبق على أحد جانبي الكرة في حين تبطئه عند الطرف الآخر. فعلى الجانب الذي يتحرك عنده الهواء بصورة أسرع يقوده اندفاعه المتزايد إلى دورة أخرى نحو مؤخرة الكرة وبالتالي تتأخر عملية الانفصال (الشكل 4a). أما على الجانب الأبطأ فيتم الانفصال وبالتالي تكون النتيجة الصافية أن الكرة الدوامة تدفع الهواء إلى جانب واحد. تدعى قوة رد الفعل المطبقة على جانبي الكرة بـ "قوة ماغنوس". وبعبارة عامة يمكن القول إن نموذج التدفق الحاصل هو عبارة عن قيام الهواء القادم بضرب الكرة ودفعها جانباً. لنفترض جديلاً أن القوة الجانبية المطبقة على الكرة تبقى ثابتة أثناء طيرانها في الهواء، فيكون انزياح جانبي الكرة d عند الزمن t متناسباً مع t^2 . وبما أن المسافة الأمامية التي تقطعها الكرة هي $x = vt$ ، فإن انزياح جانبي الكرة d يتناسب مع x^2 متخذاً شكل القطع المكافئ. فعندما تستخدم تابعة قوة ماغنوس للسبين والسرعة لحساب الانحراف النهائي



(a) كرة تدور أثناء الطيران دافعةً الهواء المتدفق إلى جانب واحد منها. تُعرف قوة رد الفعل المطبقة على الجانبين بقوة ماغنوس. تتحرك الكرة بالنسبة إلى الهواء نحو اليسار كما هو واضح.
(b) لن تقوم الكرة التي تم ركلها بشكلٍ مستقيم بأي دوران أو التفاف.
(c) يمكن لكرة وكلت بزوايا ما بالاتجاه المطلوب الدوران ولكنها تستملك الاتجاه الخاطئ.
(d) يجب ركل الكرة المراد دورانها باتجاه الهدف من الزاوية الصحيحة وبعيداً عن مركزها بمقدارٍ مناسب.

الموجود على سطح الكرة الحقيقية، حيث تكون القطع مخططة مع بعضها البعض. ينشأ عن عملية الخياطة هذه تسنن في السطح بعمق نموذجي حوالي 2 mm. إن خشونة السطح هذه تساوي تقريباً الشخن المحسوب للطبقة الحدية. ومن المفترض أن تسبب هذه الخياطة حالة من عدم الاستقرار في الطبقة الحدية وبالتالي تنشئ المزج الذي يؤخر عملية الانفصال وإنقاص الاحتكاك المطبق (الشكل 3c).

ولعدم وجود أية نتائج تجريبية في الأدبيات العلمية، أقنعت صديقي ديفيد غودال D. Goodall وكريس لوري Ch. Lowry لمساعدتي في القيام بتجربة لقياس الاحتكاك المطبق على كرة القدم وتحديد تابعيتها لسرعة الهواء. لقد كانت الفكرة الأساسية عبارة عن ربط كرة إلى قطعة من سلك بحيث تصبح حركة الكرة تماماً مثل حركة النواس. وبعد إخضاع الكرة لتدفق الهواء بسرعة محدودة ومعلومة، استطعنا حساب زاوية التوازن θ للنواس مع الشاقول. وبمعرفة القوة الشاقولية mg حصلنا على قوة الاحتكاك $b \cdot mg \tan \theta$ ، حيث

g هو التسارع الثقالي. وكمتابعة لتجربتنا فقد حملنا النواس في سيارة لاند روفر حيث استطعنا بذلك ضبط سرعة الهواء عن طريق قيادة السيارة بسرعات مختلفة على مدرج محلي مخصص لهبوط الطائرات، كما ربطنا النواس بنهاية قضيب طويل تُثبت إلى جانب الشاحنة وتمت مراقبة انحراف الكرة بواسطة كاميرا فيديو. لقد كانت تجربتنا هذه مليئة بالأحداث غير المتوقعة، فمثلاً اقتربت منا بشكلي واضح طائرة كانت تنوي الهبوط على المدرج، ولكننا رغم هذه العوائق استطعنا وبنجاح قياس تغير قوة الاحتكاك مع تغير السرعة (الشكل 3a).

لقد حصلنا من نتائجنا هذه على ميزتين واضحتين. الأولى هي تناقص معامل الاحتكاك عند سرعة 40 km في الساعة وبشكل أكبر من تناقصه عند السرعة 80 km في الساعة المتوقعة لكرة ملساء، والثانية هي أن انخفاض معامل الاحتكاك يعوّض تماماً التابعة لـ v^2 في معادلة قوة الاحتكاك F_a . ولهذا السبب تبقى قوة الاحتكاك المقيسة تقريباً ثابتة بدلاً من انخفاضها بشكلٍ حاد كما يحدث في حالة الكرة الملساء، وقبل أن تزداد ثانية عند زيادة السرعة.

تتأثر رياضة كرة القدم بشكل كبير جداً بالاحتكاك المطبق على الكرة. وإذا لم يكن هنالك أي احتكاك هوائي فإن الركلات الجيدة الموجهة للمرمى والتي تصل عادةً إلى خلفية الدائرة المركزية تقذف الكرة في الهواء لتصل إلى حشود الجماهير المتواجدة في الطرف المقابل لأرض الملعب. وبما أن الحد من عملية ارتفاع الكرة وطيرانها يُعد جزءاً من تجربتنا، فإننا نسبنا لأنفسنا. يبدو تأثير الهواء أكثر وضوحاً في حالة هبوب الرياح. فهنالك العديد من الهدافين حققوا أهدافهم بسبب هبوب رياح

تستدعي الركلة التي تؤدي إلى هذا النوع من الطيران وضع القدم على الكرة بالطريقة الصحيحة كما تسمح المعادلات الميكانيكية بحساب الركلة المطلوبة بشكل مفصل.

ليس مفضلاً القيام بركل الكرة من المنتصف وبالاجتهاد البدائي للمسار المختار (الشكل 4b)، لأن الكرة في هذه الحالة لن تدور ولن تلتف أثناء الطيران. وإذا تم ركل الكرة من زاوية ما تعطى الدوران المطلوب (الشكل 4)، فإن الطيران هنا سيأخذ الانحناء الصحيح ولكنه يكون في الاتجاه الخاطئ.

أما إذا رُكّلت الكرة بعيداً عن مركزها وبزاوية ما (الشكل 4d)، فإنها تستطيع الدوران الآن بالطريقة الصحيحة متخذة المسار المطلوب. وهكذا يمكنك القيام بهذه العملية. يمكن للقراء المهتمين بشكل نظري بهذه الرياضة إعادة حساباتهم، إلا أن المهتم بها عملياً يحاول السيطرة على تقنية قذف كرة القدم. وبما أن هذا المقال قد وصل متأخراً إلى القراء للحصول مسبقاً على فكرة حول دورة كأس العالم هذا الصيف، إلا أنه يمكن تطبيق هذه الخبرة المكتسبة على مباريات كرة القدم لفريقكم المحلي. ■

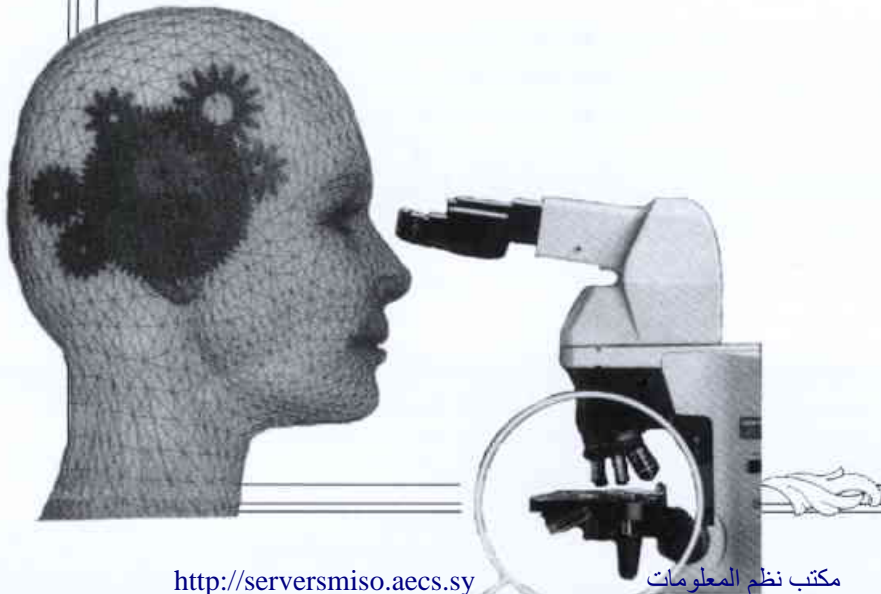
عند $d=D$ ، فإن النتيجة ترتبط بشكل صافٍ بعدد الدورانات التي تقوم بها الكرة. وهكذا تصبح النسبة D/L ببساطة متناسبة مع عدد دورانات الكرة خلال ذلك الوقت. ورغم عدم قيام أي شخص بقياس القوة الجانبية المطبقة على كرة القدم -حسب اطلاعي- فإن نتائج التجارب المدرّسة على كرات أخرى تكشف أن ثابتة التناسب تساوي حوالي 0.01. فعلى سبيل المثال، إذا كان معدل انحراف الكرة $D=1m$ أثناء حركتها لمسافة قدرها $L=20m$ ، فإنها ستدور حوالي خمس مرات أثناء طيرانها. وعلى أية حال يتولد لدي انطباع أثناء متابعتي لركلات الموز على التلفاز بأن هنالك العديد من حالات الانحراف تحدث مع دوران صغير. ربما يوجد هنا شيء ما لا نستطيع إدراكه.

دورها مثل بيكهام

كيف يمكننا القيام بحني مسار الكرة أثناء طيرانها؟ يجمع هذا السؤال كل الخصائص الفيزيائية التي تمت مناقشتها حتى الآن. يتطلب الديناميك الهوائي للطيران المحدّد الملتف طريقة الدوران الصحيحة بالإضافة إلى تحديد السرعة والاتجاه الابتدائي للكرة.



ورقات البحوث



محاكاة عدم الاستقرار الترموهيدروليكي في مفاعلات البحث عالية التدفق باستخدام الكود ATHLET*

علي حنين

قسم الفيزياء - هيئة الطاقة الذرية - ص.ب 6091 - دمشق - سورية

أندرياس شافرات

مركز بحوث روسن دورف - درسدن - ألمانيا

ملخص

لتغطية دراسات الأمان المتعلقة بمفاعلات الطاقة والتي تشمل الأحداث الانتقالية وأحداث ضياع المبرد، طورت وكالة أمان المفاعلات الألمانية كود تحليل الأمان الترموهيدروليكي ATHLET. ولتوسيع استخدام الكود على دراسات الأمان العائدة لمفاعلات البحث متوسطة التدفق التروني جرى، في عمل سابق [1] تطوير وتحقيق نموذج فيزيائي يسمح بوصف تشكّل البخار في نظام الغليان تحت البارد (دون المشيع) وذلك لمحاكاة ظاهرة عدم الاستقرار الترموهيدروليكي التي تلعب دوراً أساسياً في تحليلات الأمان كونها تُشكل الحدّ التصميمي الأول في مفاعلات البحث. وقد تمّ في نطاق هذا العمل توسيع النموذج الفيزيائي ليشمل الشروط النوعية لمفاعلات البحث ذات التدفق التروني المرتفع والتي تتميز بكثافات استطاعية وسرعات تدفق عالية، وذلك من خلال تعديل نموذج تكاثف البخار ضمن المبرد، إضافةً لبناء علاقة جديدة لحساب التدفق الحراري الحرج (CHF). وللتحقّق من البرنامج المعدّل أُعيد حساب مجموعة متكاملة من التجارب المتعلقة بعدم الاستقرار الترموهيدروليكي في نظام الغليان دون المشيع، التي أُجريت على وحدة الاختبار الترموهيدروليكي (THTL) في مركز الأبحاث الوطنية في أوكرج (ORNL). وقد أظهرت نتائج التحقيق مقدرة الكود المعدّل على محاكاة ظاهرة عدم الاستقرار الترموهيدروليكي ضمن مجال واسع للتيار الحراري يصل حتى 15 MW/m^2 ولسرعة تدفق المبرد عند مدخل القناة تصل حتى 20 m/s عند ضغط للجملية يقرب من 17 بار. وبمقارنة النتائج الحاسوبية للكود الموسع مع القيم التجريبية عند نقطة نشوء عدم الاستقرار الترموهيدروليكي (OFI) التي تمثل الحدّ التصميمي الأول لقنوات المفاعل، تبين أن هناك توافقاً كبيراً بين القيم التجريبية والحسابية المعدّل تدفق المبرد، في حين تراوح التباين بين ضياع الضغط المحسوب التجريبي عند هذه النقطة بين 3% و 25%. أما التباين بين القيم الحاسوبية والتجريبية لكل من درجة حرارة خروج المبرد ودرجة الحرارة العظمى لسطح القناة المجهدة حرارياً فقد وصل في حدّه الأعظم إلى 7% و 12% على التوالي.

الكلمات المفتاحية: مفاعلات البحث عالية التدفق، أمان المفاعلات، غليان تحت مشيع، ضياع الضغط، عدم استقرار ترموهيدروليكي، تدفق حراري، وحدة الاختبار الترموهيدروليكي في Oak Ridge، كود ATHLET.

مدخل

لما تتميز به هذه الكودات من مقدرة عالية على محاكاة مختلف الظواهر الفيزيائية المراقبة للتشغيل الاعتيادي وحالات الحوادث، ومرونة في النمذجة الواقعية للأنظمة الترموهيدروليكية المشبعة والمعقدة مع توفير إمكانية التحكم التلقائي بمختلف مركباتها في الدارة الأولية والثانوية. وقد دلّت الاختبارات الأولية أن استخدام هذه الكودات في دراسات الأمان العائدة لمفاعلات البحث يحتاج لإجراء تعديلات وتحقيقات إضافية لمراعاة الظواهر الفيزيائية التي تنشأ عن التصميم الخاص لعناصر الوقود والشروط الترموهيدروليكية الخاصة التي تعزز نشوء عدم الاستقرار الترموهيدروليكي في مجال الغليان (تحت البارد).

في هذا السياق تمّ في عمل سابق [4] تعديل الكود ATHLET بإضافة نموذج فيزيائي جديد يسمح بوصف تشكّل البخار في مجال

تُجرى على مستوى عالمي دراسات مكثفة نظرية وتجريبية لظاهرتي عدم الاستقرار الترموهيدروليكي (OFI: Onset of Flow Instability) والاستطاعة الحرارية السطحية الحرجة (CHF: Critical Heat Flux) بهدف تعيين الحدود التصميمية الخاصة بالأجيال الجديدة لمفاعلات البحث التي يصل التدفق التروني فيها حتى $10^{15} \text{ n/cm}^2\text{s}$. وقد جرى التوجّه في السنوات الأخيرة نحو تأهيل الكودات الترموهيدروليكية المتقدمة، كالكود RELAP [2] والكود ATHLET [3] المستخدمة في تحليل مفاعلات الطاقة، لاستخدامها في محاكاة الحوادث التصميمية وما فوق التصميمية ضمن نطاق دراسات الأمان المتعلقة بتصميم وترخيص مفاعلات البحث تماماً كما هو الحال بالنسبة لمفاعلات الطاقة، وذلك نظراً

* نشرت ورقة البحث هذه في مجلة (Nuclear Engineering and Design (2001)

- وحدة التحريك التروني (NEUKIN) التي تصف توليد الطاقة بفعل العمليات الانشطارية ضمن عناصر الوقود باعتماد مبدأ حركية النقطة أو الانتثار أحادي البعد.

- وحدة المحاكاة والتحكّم العامة (GCSM) التي تقوم بوظيفة الرقابة والتحكّم بمختلف الوحدات المشكّلة لمنظومة ما (كالمفاعل)، كالتحكّم بالمضخات، ووضع الصمامات، وتحريك قضبان التحكّم إضافةً للتحكّم بكافة المعطيات الفيزيائية في كل موضع من المنظومة من حرارة وضغط وسرعة تدفق.

- وحدة المعالجة العددية (EBE) لحل المعادلات التفاضلية.

- برمجيات سابقة ولاحقة للمعالجة (Pre - and Post processing) لرسم معطيات التقين هندسياً وإيضاح نتائج الحساب بيانياً مع إمكانية إظهار نتائج الحسابات الزمنية ديناميكياً بواسطة المحاكى ATLAS.

تعديل الكود ATHLET

جرى في عمل سابق [4]، [1]، [8] تعديل الكود إضافة نموذج فيزيائي متكامل لوصف تشكّل البخار في مجال الغليان دون المشبع (تحت البارد). يصف الغليان دون المشبع تلك الظاهرة التي تقود بسبب عدم التوازن الترمودناميكي على امتداد مقطع قنوات تبريد إلى تشكّل البخار على جدران هذه القنوات المجهدة بتيارات حرارية عالية بالرغم من أن درجة الحرارة الوسطى للمبرّد (وهو نفسه المهدىء) ضمن القناة لم تصل إلى درجة الغليان الموافقة للضغط الموضعي. وفقاً لذلك فقد ارتكز النموذج الفيزيائي عند حساب محتوى البخار ضمن قنوات التبريد على حساب معدّل تشكّل فقاعات على جدران قنوات التبريد (الغلاف الخارجي لعناصر الوقود) ومعدّل التكاثف الحجمي للفقاعات ضمن المبرّد اعتماداً على توصيف الآليات المعقّدة لانتقال الحرارة والكتلة المرافقة لعمليات التبخر والتكاثف. كما تضمّن النموذج مجموعة من العلاقات التكميلية شبه التجريبية لتحديد نقطة بداية الغليان دون المشبع، وحجم الفقاعات المتشكّلة ومجموعة من المعاملات الأخرى وفقاً للشروط الترمودوليكية والهندسية لقنوات التبريد. وقد أُجريت دراسات تحقيق شاملة للثبوت من صحة نتائج الكود بعد تعديله شملت الشروط الترمودوليكية لمفاعلات البحث متوسطة التدفق التروني المعرفة بضغط منخفض (حتى 2 بار) وتدفقات حرارية دون 200 W/cm^2 وسرع تدفق حتى 4 m/s . بالمقابل تتميز مفاعلات البحث عالية وأعظمية التدفق التروني بتدفقات حرارية فائقة تصل لأكثر من 1500 W/cm^2 وسرع تدفق عالية للمبرّد تفوق 20 m/s إضافة للضغوط التي تصل عند مخرج قنوات التبريد لأكثر من 17 بار.

لدى اختبار إمكانية توسيع استخدام الكود على دراسات الأمان الخاصة بمفاعلات البحث عالية وأعظمية التدفق تُبيّن أن العلاقة التي تصف معدّل تشكّل الفقاعات في واحدة السطح من جدار القناة $\psi_{ev}[\text{kg/m}^2\text{s}]$ تحافظ على صلاحيتها كون التصورات النظرية والعلاقات شبه التجريبية التي استُخدمت في اشتقاقها قابلة للتطبيق ضمن الشروط الترمودوليكية الجديدة:

الغليان تحت البارد، يأخذ بعين الاعتبار تغير شروط ومعاملات الانتقال الحراري المرافقة لتشكّل فقاعات البخار على السطح الداخلي لقنوات التبريد وتكاثفها اللاحق ضمن المبرّد. وقد حقق الكود المعدّل بواسطة تجارب خاصة تغطي الشروط الترمودوليكية لمفاعلات البحث متوسطة التدفق التروني المتميزة بضغط منخفض (حتى 2 بار) وتدفقات حرارية دون 200 W/cm^2 وسرع تدفق دون 5 m/s .

ولدى استخدام الكود على مفاعلات البحث عالية التدفق التروني تبيّن أنه من الضروري إجراء تعديل وتوسيع إضافي على النموذج الفيزيائي السابق وخاصة ما يتعلق بتكاثف البخار ضمن المبرّد لمراعاة الشروط الترمودوليكية النوعية لهذه المفاعلات المتميزة بضغط منظومة متوسطة (17 بار) وسرع تدفق عالية جداً للمبرّد تصل حتى 20 m/s إضافة للتدفقات الحرارية الفائقة التي تصل حتى 1500 W/cm^2 والتي تفوق كافة القيم المعروفة حتى الآن. وقد تمّ تحقيق الكود الموسع بحساب سلسلة متكاملة من التجارب المتعلقة بظاهرة عدم الاستقرار الترمودوليكي في مجال الغليان دون المشبع والتي أُجريت على وحدة الاختبار الترمودوليكية (THTL) في Ridge Oak [5] ضمن نطاق البرنامج الأمريكي المتعلق بحساب الحدود التصميمية لمفاعل البحث الأمريكي المتقدم (ANS: Advanced Neutron Source) [6]، إضافة للحدود التصميمية لمفاعل البحث الألماني FRMII الذي يجري إنشائه بالقرب من ميونخ [7]. يستخدم كلا المفاعلين تصميمياً فريداً لعناصر الوقود يمتاز ببنية متراصة للقلب تسمح بتحقيق أعلى تدفقات ترونية لأجل أدنى مستوى لاستطاعة المفاعل. وقد حقّق هذا التصميم، في حالة المفاعل الأمريكي، أعلى تدفق تروني حراري عُرف حتى الآن حيث وصل إلى $6 \times 10^{13} \text{ n/cm}^2\text{s}$.

وصف الكود ATHLET

يُستخدم الكود ATHLET (Analysis of Thermal-Hydraulic by Leaks and Transient) في دراسات الأمان المتعلقة بالحوادث التصميمية التي تُعنى بالحالات العابرة وحالات ضياع المبرّد للمفاعلات المبرّدة بالماء [3]، إضافة إلى استخدامه في دراسات التحليل الترمودوليكية لأنظمة التقليدية المختلفة. يتألف الكود من مجموعة من الوحدات البرمجية المستقلة فيزيائياً (Modules)، التي يمكن أن تعمل متكاملة ضمن نطاق الكود أو منفصلة بمفردها. وتتألف هذه الوحدات من:

- وحدة التحليل الترمودوليكي (TFD) التي تأخذ دوراً مركزياً في الكود وتُعنى بوصف كافة الظواهر الترمودوليكية للتدفقات أحادية وثنائية الطور وذلك بحل معادلات الانحفاظ والاندفاع والطاقة باتجاه واحد لكل طور من طورَي المبرّد على حدة.

- وحدة النقل والانتقال الحراري (HECU) التي تصف النقل الحراري في البنى الصلبة والانتقال الحراري بين هذه البنى والمبرّد في كافة مجالات التدفقات والانتقالات ثنائية الطور.

مرتفعة جداً. وفقاً لهذا التوسيع فقد أعيدت صياغة عدد نسلت في العلاقة (2) باستخدام علاقة شبه تجريبية لـ Levenspiel [11] لحساب معامل الانتقال الحراري h_c أثناء تكاثف فقاعات البخار المحاطة بسائل تحت بارد:

$$h_c = \frac{f C h_{ev}}{2 \left(\frac{1}{\rho_v} - \frac{1}{\rho_l} \right)} d_B(t) \quad (4)$$

$d_B(t)$ يصف نصف قطر الفقاعة اللحظي أثناء التكاثف، C معامل تأثير الضغط p [MPa] على التكاثف معطى بالعلاقة:

$$C = 0.2510^{10} p^{-1.418} \text{ for } 1 \leq p \text{ [MPa]} \leq 17.7 \quad (5)$$

f معامل تأثير سرعة السائل المحيط بالفقاعة وفق العلاقة:

$$f = 1 \text{ for } v \leq 0.61 \text{ m/s}$$

$$f = \left(\frac{v}{0.61} \right)^{0.47} \text{ for } v > 0.61 \text{ m/s} \quad (6)$$

يمكن صياغة القطر اللحظي للفقاعة في العلاقة (4) بحساب التيار الحراري Q_c [W] المتشكل لدى تكاثف الفقاعة والمنتقل إلى السائل المحيط بفعل التدرج الحراري $\Delta T_{sub} = T_s - T_l$ بين طرفي الطبقة الحراري الحدية المحيطة بالفقاعة ذات السطح الكروي A_B :

$$\dot{Q}_c = \dot{M}_B h_{ev} = \rho_v \dot{V}_B h_{ev} = -A_B h_c \Delta T_{sub} \quad (7)$$

\dot{M}_B , \dot{V}_B التغير الزمني لحجم وكتلة الفقاعة على التوالي.

بتعويض المعادلة (4) في (7) ومراعاة العلاقة $\dot{V}_B = 1/2 A_B \dot{d}_B$ لأجل فقاعة كروية نحصل على المعادلة التفاضلية التالية:

$$d_B = -f C \Delta T_{sub} d_B(t) \rightarrow d_B + k d_B = 0, \text{ where: } k = f C \Delta T_{sub} \quad (8)$$

بمراعاة الشرط البدئي $d_B(t=0) = d_{BA}$ ، حيث قطر الفقاعة عند بداية التكاثف يكافئ قطر الانفصال عن الجدار، نحصل على الحل:

$$\dot{d}_B(t) = d_{BA} e^{-kt} \quad (9)$$

نظراً لصغر عمر الفقاعة ضمن السائل تحت البارد (زمن التكاثف $t = \tau_c \leq 5 \text{ ms}$) فيمكن نشر المعادلة السابقة للحصول على التقريب التالي لقطر الفقاعة كتابع للزمن:

$$\dot{d}_B \approx d_{BA} \left(1 - \frac{t}{\tau_c} \right), \text{ where: } \tau_c = \frac{1}{k} \quad (10)$$

لتفادي استخدام قيم لحظية لمعامل الانتقال الحراري ومن ثم المعدل الحجمي بسبب الصعوبات التي ستنشأ أثناء المكاملة العددية لمعادلات انحفاظ الكتلة والاندفاع في الكود ATHLET [4] فقد تبين أن استخدام قيمة وسطى لمعامل الانتقال الحراري خلال زمن التكاثف يفني بالدقة المطلوبة. من المعادلة (10) يمكن حساب نصف القطر الوسطى للفقاعة خلال زمن التكاثف (يوجد علاقة). بتعويض هذه القيمة في المعادلة (4) يمكن حساب عدد نسلت الوسطى لتكاثف الفقاعات ضمن سائل تحت بارد:

$$Nu = h_c \frac{l_{chr}}{\lambda_l} = \frac{f C h_{ev} d_{BA} l_{chr}}{4 \left(\frac{1}{\rho_v} - \frac{1}{\rho_l} \right) \lambda_l} \quad (11)$$

حيث λ_l الناقلية الحرارية لسائل المحيط بالفقاعة.

$$\psi_{ev} = \frac{\dot{q} - \dot{q}_{fc}}{h_{ev}} \left(\frac{T_W - T_S}{T_W - T_l} \right)^2 \quad (1)$$

حيث \dot{q} , \dot{q}_{fc} التدفق الحراري الكلي والتدفق الحراري للحمل القسري مقدرتان بـ h_{ev} حرارة التبخر النوعية للماء. T_s , T_l , T_w درجة حرارة الجدار والمبرد ودرجة الغليان على التوالي مقدرة بـ K .

أما معدّل التكاثف الحجمي للبخار ضمن المبرد في مجال التكاثف المتحكّم به حرارياً فيوصف بالعلاقة:

$$\psi_C = 3.6 C_{kon} \frac{\alpha \rho_v a}{d_{BA} l_{chr}} Ja Nu \quad (2)$$

C_{kon} ثابتة التكاثف بقيمة 0.5 تقريباً، α المحتوى الحجمي البخاري في الحيز الحجمي، $[m^2/s]a$ معامل التمدد الحراري، ρ_v كثافة البخار، l_{chr} الطول الوصفي، d_{BA} قطر الفقاعة عند الانفصال عن الجدار. أما الثابتة 3.6 فقد نتجت عن حساب القيمة الوسطى لسطح التبادل الكلي للفقاعات في واحدة الحجم باعتماد توزيع نوكياما - تانازوري لقطر الفقاعة.

Nu عدد نسلت المعطى كتابع لعدد رينولد وبراندل والذي سنأتي على وصفه لاحقاً. Ja عدد يعقوب الذي يصف النسبة بين الطاقة الحرارية الضرورية لرفع درجة حرارة حجم معين من السائل لدرجة الإشباع إلى طاقة البخار الكامنة في نفس الحجم:

$$Ja = \frac{c_{pl} \rho_l (T_s - T_l)}{h_{ev} \rho_v} \quad (3)$$

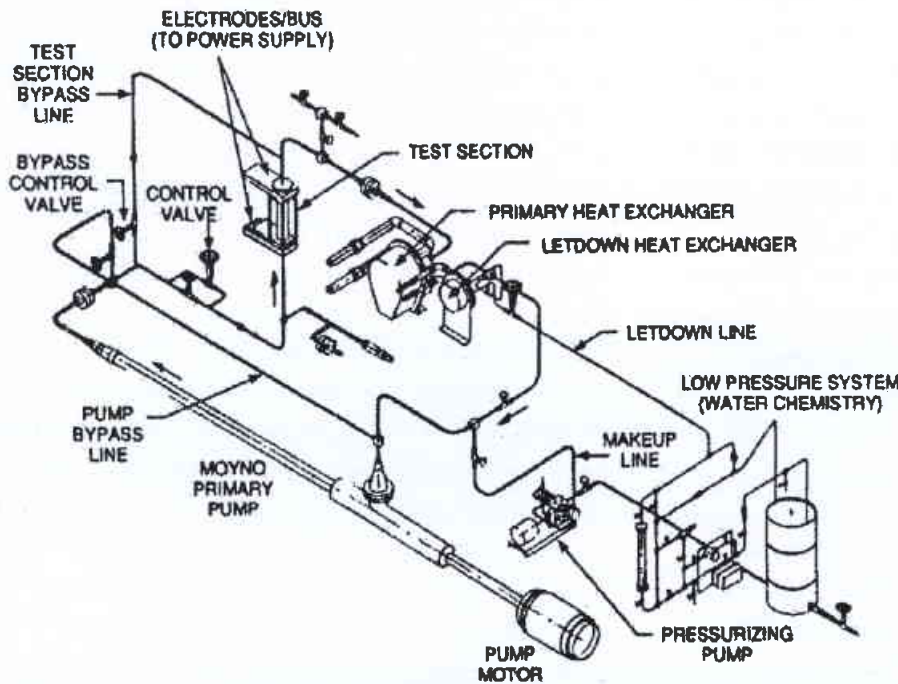
حيث C_{pl} , ρ_l الكثافة والسعة الحرارية للماء.

لقد تبين لدى حساب تجارب خاصة بتوزيع البخار في مجال الغليان تحت البارد عند ضغوط أعلى من 9 بار وسرع أعلى من 4 m/s، أن العلاقة (2) تعطي قيماً مرتفعة لمعدّل التكاثف الحجمي للفقاعات مقارنة مع القيم التجريبية [9] مما يؤكد ضرورة إدخال تعديلات جديدة عليها مراعاة الظواهر الفيزيائية الناجمة عن الشروط الترموهيدروليكية الجديدة. ويعود عدم صلاحية المعادلة (2) لتغطية الشروط الترموهيدروليكية الجديدة إلى أن العلاقات المستخدمة في حساب معدّل التكاثف اعتمدت على تجارب خاصة لتكاثف الفقاعات تحت ضغوط وسرع منخفضة في حين يؤدي ارتفاع الضغط وازدياد سرعة تدفق المبرد إلى تغير شروط الانتقال الحراري أثناء التكاثف نظراً لازدياد معدّل اضطراب الجريان (turbulent) وتغير مواصفات الطبقة الحرارية الحدية المحيطة بالفقاعة. من جهة أخرى تؤثر المعاملات الثلاثة مجتمعة على الحجم الحرج للفقاعة عند انفصالها عن جدار القناة حيث يمكن أن يصل قطرها d_{BA} إلى أقل من 0.04 ملم كما تبين تجارب THTL؛ في حين تقتصر صلاحية العلاقات شبه التجريبية المستخدمة لحساب عدد نسلت Nu في المعادلة (2) وفقاً لماينغر وأفديف [10] على فقاعات ذات قطر أكبر من 0.1 ملم وهي قيمة أكبر بكثير من قطر الفقاعات المتوقعة تحت الشروط الجديدة. مراعاة هذه الشروط الجديدة وما ينتج عنها من تأثير على معدّل التكاثف الحجمي للفقاعات أدخل تعديل وتوسيع جديد على حساب معامل الانتقال الحراري أثناء تكاثف الفقاعات يصلح لأجل تيارات حرارية وسرع تدفق وضغوط منظومة

الزوايا الدائرية إلى المواضع الأخرى حوالي 0.36. وقد وضعت وحدة الاختبار ضمن غلاف من الستانلس المغطى بعازل خارجي، ولحمت كل من نهايتها (مدخل ومخرج) بفلاش من الألمنيوم وُصِلت عن طريقه التغذية الكهربائية؛ وزودت هذه المواضع بثقوب محلزنة مجهزة بحساسات لقياس درجة حرارة وضغط المبرد عند مدخر ومخرج القناة كما جُهزت الوحدة بمقياس جريان لمعدل تدفق المبرد وبمزدوجات حرارية لقياس درجة حرارة الجدار الداخلية والخارجية عند مواضع شاقولية مختلفة. في حين لم تزود الوحدة بأي مسابير لقياس توزع المحتوى الحجمي البخاري على طول القناة.

طريقة إجراء التجارب

تألف دارة الاختبار هيدروليكياً من موزع سفلي يتدفق منه المبرد إلى قناة الاختبار والمجاز المربوط على التوازي معها، إضافة لمجمع علوي يلتقي فيه المبرد بعد مغادرته القناة والمجاز. وقد اقتصر المحاكاة على تجارب النمط الصلب (Stiff Mode) الذي أجريت وفقه معظم التجارب. يجري في هذا النمط إغلاق المجاز الفرعي بشكل كامل بحيث يتدفق المبرد خلال قناة الاختبار فقط. يحاكي هذا النمط عدم الاستقرار الترموهيدروليكي في قناة تبريد أحادية حيث تقابل نقطة بداية الاستقرار الترموهيدروليكية النهاية الصغرى في منحنى ضياع الضغط التكاملي لقناة التبريد كتابع لمعدل التدفق. هذا وقد أجريت تجربتان حقيقتان لقياس الاستطاعة الحرارية السطحية الحرجة من خلال الاستمرار بتخفيض معدل التدفق ضمن القناة بعد تجاوز النهاية الصغرى في منحنى ضياع الضغط. وقد جرى في بداية كل سلسلة من التجارب قياس ضياع الضغط داخل القناة كتابع لمعدل التدفق في الحالة الباردة للقناة.



الشكل 1- المخطط العام لدارة الاختبار الترموهيدروليكية ATHLET

بتعويض العلاقة (11) في العلاقة (2) نحصل على معدل التكاثف الحجمي الوسطي للبخار في سائل تحت بارد:

$$\psi_c = \frac{3.6}{4} C_{kon} \alpha \frac{f C \Delta T_{sub}}{\left(\frac{1}{\rho_v} - \frac{1}{\rho_l}\right)} \quad (12)$$

بالاستعانة بالعلاقة (1) والعلاقة (12) يمكن حساب معدلات التباين الكتلي بين الطور السائل والبخاري. وتعويض هاتين القيمتين في معادلتى انحفاظ الكتلة والطاقة يمكن وصف التوزع الزمني للمحتوى الحجمي للبخار في مجال الغليان دون المشبع في كل موضع من نقاط الجملة الترموهيدروليكية.

التحقق من نتائج الكود (ATHLET VERIFICATION)

تم التحقق من البرنامج المعدل بعد إجراء اختبارات التوافقية، بإعادة حساب مجموعة متكاملة من التجارب المتعلقة بعدم الاستقرار الترموهيدروليكي في مجال الغليان دون المشبع، التي أجريت على وحدة الاختبار الترموهيدروليكية (THTL) في مركز الأبحاث الوطنية في أوكرج (ORNL). تغطي مجموعة التجارب هذه كافة الشروط الترموهيدروليكية والهندسية لعناصر وقود مفاعلات البحث عالية وأعظمية التدفق. وبذلك يصبح الكود ATHLET بعد دراسات التحقيق هذه ودراسات التحقيق السابقة على مفاعلات البحث متوسطة التدفق، موثقاً بالشكل الذي يؤهل استخدامه على كافة أنماط مفاعلات البحث من متدنية وحتى أعظمية التدفق.

وحدة الاختبار الترموهيدروليكية في Oak Ridge (THTL)

يُظهر الشكل 1 المخطط العام لدارة الاختبار الترموهيدروليكية THTL

متضمناً المُرَكِّبات الرئيسية المؤلفة من مجموعة المضخات وأنابيب التوصيل وصمامات التحكم والمبادلات الحرارية إضافة لوحدة الاختبار مع المجاز الفرعي (By-Pass) الموصل بها على التوازي ووحدة التسخين الكهربائية

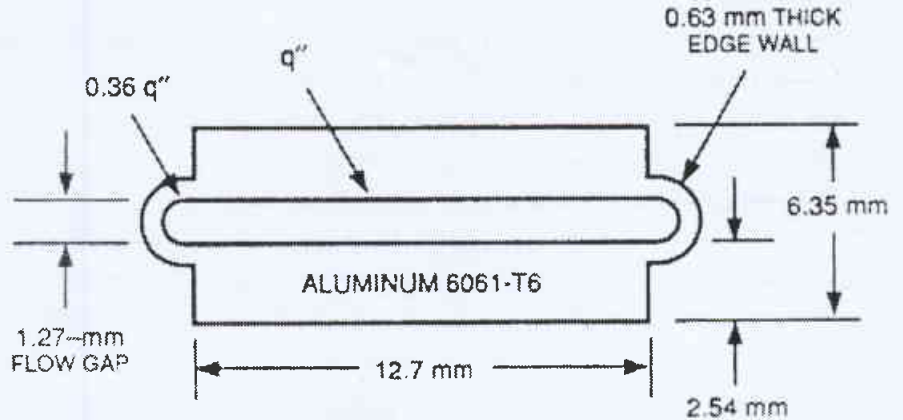
ويُظهر الشكل 2 مقطعاً عرضياً لوحدة الاختبار التي تحاكي سلوك قناة واحدة من قنوات تبريد مفاعل البحث ANSR. تزود هذه الوحدة بالطاقة الكهربائية عن طريق المقاومة الكهربائية لجدار القناة التي يبلغ ارتفاعها 507 سم. وتمتلك القناة مستطيلاً بطول 12.7 مم وعرض 1.27 مم فقط. يبلغ سمك جدار القناة المصنوع من الألمنيوم 2.54 مم وقد حُقِّضت السماكة عند الزوايا الدائرية الأربع لمقطع القناة إلى 0.63 مم وذلك للحد من التدفق الحراري فتادياً لارتفاع درجة حرارة المبرد ومن ثم جدار القناة إلى قيم تؤدي إلى تلف الجدار وانصهاره (burn-out) عند هذه المواضع. وتبلغ نسبة التدفق الحراري عند

0.507 بطول (HEATER-1, HEATER -2) جزئت كل منها 15 حيزاً حرارياً متساوياً لمحاكاة توليد الطاقة الحرارية في الجزء المسخن من جدار قناة الاختبار CORE. تمثل المركبة HEATER-1 الجزء الدائري من الجدار بنصف قطر قدره 1.7 mm وسمك يبلغ 0.63 mm (الشكل 1). بينما تمثل المركبة HEATER-2 الجزء المسطح من الجدار بطول 2 x 12.7 mm وسمك 2.45 mm.

النتائج والمناقشة

تشابه كافة التجارب بالشروط الحدية المتمثلة بدرجة حرارة دخول المبرد البالغة 45°C وضغط الجملة عند مخرج قناة التدفق البالغ حوالي [1.7 MPa] وتختلف فيما بينها بالاستطاعة الحرارية السطحية (التدفق الحراري)، التي تختار عند بداية الحساب حسب القيمة الموافقة للتجربة المراد حسابها وترك بعد ذلك ثابتة طيلة فترة المحاكاة. وقد حسبت منحنيات المقاومة لقناة الاختبار ضمن مجال واسع للتدفقات الحرارية [6-14 MW/m²] لأجل الشروط الحدية الترموهيدروليكية آنفة الذكر في حالة نمط الاختبار الصلب. يظهر الشكل 4 مقارنة بين النتائج التجريبية وحسابات الكود ATHLET لمنحنيات ضياع الضغط التكاملية لقناة التبريد كتابع لكثافة تدفق المبرد [kg/m²s] لأجل تدفقين حراريين مختلفين (التجربة FE714C والتجربة FE105B)*.

في مجال معدّلات التدفق المرتفعة يبقى المبرد بكامله في الطور السائل بعيداً عن درجة الإشباع، حيث لا تكفي استطاعة التسخين لإحداث أي تبخر على جدار القناة؛ لذا يتبع منحنى ضياع الضغط التكاملية التوزيع القطعي لوحيد الطور السائل. يتراجع معدّل التدفق تحت قيمة معينة تكفي لتجاوز درجة حرارة الجدار درجة الغليان الموضوعية بقيمة معينة (حوالي 10 K) فإن فقاعات البخار الأولى تبدأ بالتشكل على جدار القناة (ONB). ومع استمرار تراجع معدّل التدفق يزداد عدد الفقاعات المتشكلة على الجدار والتي تبدأ بالانفصال عنه لتختلط مع الطور السائل رافعةً محتوى البخار داخل القناة. ومع استمرار تراجع معدّل التدفق يصل المحتوى الحجمي البخاري في مقطع القناة إلى قيم معتبرة تؤدي بدورها إلى ارتفاع محسوس لضياع الضغط، حتى إذا تجاوز معدّل التدفق القيمة الحرجة (OFI) وصل المحتوى البخاري إلى قيم مرتفعة بحيث أن ثنائي الطور المتشكل يقود برغم استمرار تراجع التدفق إلى ارتفاع ضياع الضغط الكلي للقناة من جديد. يعود ذلك إلى قيم ضياع الضغط العالية لثنائي الطور الناتجة عن الاحتكاك والتسارع والتي تفوق بضع مرات القيم المقابلة لوحيد الطور عند معدّل التدفق ذاته. بالتراجع المطرد لمعدّل التدفق يزداد محتوى البخار في القناة دافعاً ضياع الضغط إلى الاستمرار في الارتفاع مروراً بالمجال الكلي لثنائي الطور. يصل ضياع الضغط إلى قيمته العظمى حينما يتبخر مجمل السائل في القناة متحولاً إلى الطور البخاري، حيث



الشكل 2- مقطع عرضي لوحدة الاختبار الترموهيدروليكية THTL (عرض قناة التدفق: FLOW GAP، جدار القناة من الألمنيوم: ALUMINIUM 6061-T6)

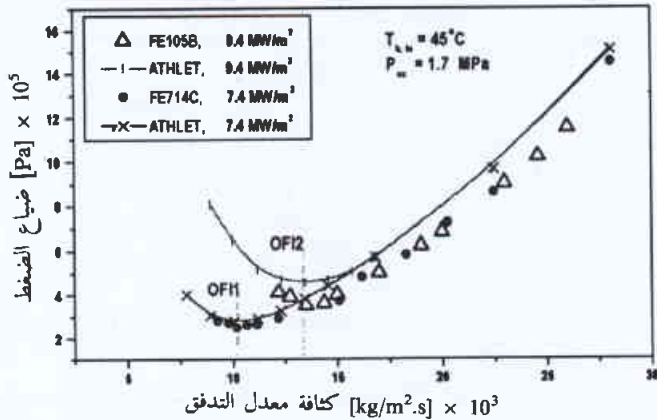
الشروط الحدية للتجارب

المبرد: ماء عادي متدفق تصاعدياً،
أبعاد قناة الاختبار: 1.27x12.7x507 (mm)،
درجة حرارة دخول المبرد: 45(°C)،
ضغط الجملة عند مخرج القناة: 1.7 (MPa)،
مجال الاستطاعة الحرارية السطحية: 6-14 (MW/m²)،
مجال سرعة تدفق المبرد عند مدخل القناة: 8.21 (m/s)

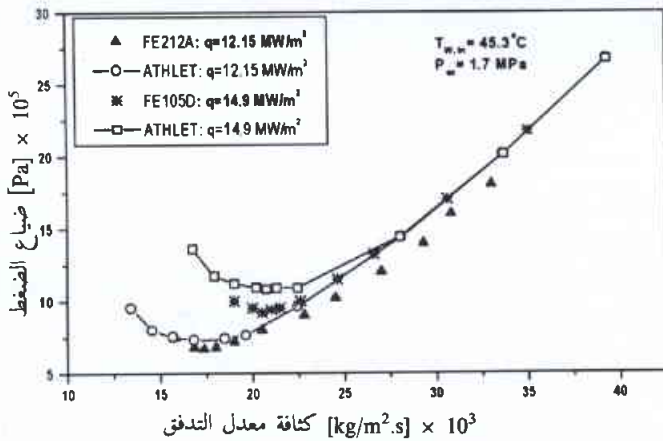
نمذجة وحدة الاختبار بواسطة الكود ATHLET

يظهر الشكل 3 التمثيل الهندسي لوحدة الاختبار حسب طريق التجزئة المتبعة في ATHLET، تتألف الجملة الترموهيدروليكية من مركبات هيدروليكية وأخرى حرارية. تحاكي المركبات الهيدروليكية الجزء الخاص بتدفق المبرد وتنقسم إلى ثلاثة أنماط هي العقد (Branch) التي تمثل حيزاً حقيقياً واحداً ولا تمتلك اتجاه تدفق، والأنابيب (Pipe) التي تتألف من عدة حوزات حجمية متوالية بتأثيرها بتدفق محدد، والمركبات الخاصة كأنابيب التغذية والتصريف التي تربط المجموعة الهيدروليكية مع الوسط الخارجي. وتتألف وحدة الاختبار THTL من 6 مركبات هيدروليكية. تمثل المركبة LHV الموزع السفلي الذي يُمدّج كعقدة (branch) مرتبطة بأنبوب تغذية (FILL) لمحاكاة معدّل تدفق المبرد إلى قناة الاختبار. بينما تمثل المركبة (TDV) أنبوباً خاصاً بحيز حجمي واحد يسمح بمحاكاة قيمة ثابتة لضغط الجملة عند مخرج القناة، وقد رُبط بأنبوب تصريف (LEAK) لمحاكاة معدّل تدفق المبرد خارج القناة. أما وحدة الاختبار فقد مثلت بأنبوب دخل (CLP) مجزئاً إلى 4 حوزات حجمية متساوية، يليه الجزء المسخن من قناة الاختبار الذي يمثله أنبوب (CORE) بطول 0.507 m مجزئاً بدوره إلى 15 حيزاً حقيقياً متساوياً بمقطع تدفق قدره $1.778 \cdot 10^{-5} \text{ m}^2$. يلي هذه المركبة أنبوب خرج (HLP) مجزئاً أيضاً إلى 4 حوزات حجمية متساوية. أما المركبات الحرارية فتشتمل على البنى الخاصة بتوليد ونقل الحرارة وتتألف في هذه الحالة من مركبتين من الألمنيوم

* تتفق ترميزات التجارب مع الرموز المستخدمة في المرجع الأساسي [5] للشروط الحدية الواردة في الجدول 1.



الشكل 4- مقارنة نتائج حساب الكود ATHLET مع القياسات التجريبية لوحدة الاختبار THTL بالنسبة لعدم الاستقرار الترموهيدروليكي للغليان دون المشبع (عند تدفقات حرارية عالية).



الشكل 5- مقارنة نتائج الكود ATHLET مع القياسات التجريبية لوحدة الاختبار THTL بالنسبة لعدم الاستقرار الترموهيدروليكي للغليان دون المشبع (عند تدفقات حرارية عالية جداً).

القيم التجريبية نجد أن التباين لا يتعدى 5%، مما يدل على المقدرة العالية للكود ATHLET المعدّل على التنبؤ بنقطة نشوء عدم الاستقرار الترموهيدروليكي، ويوضح الشكل 6 بياناً للتوافق الكبير بين كثافة معدلات التدفق المحسوبة والقيم التجريبية الموافقة عند الشروط الحدّية نفسها. وقد أعطت القيم التجريبية ونتائج المحاكاة العلاقة التوفيقية التالية بين كثافة المعدّل التدفق وكثافة التيار الحراري عند النقطة OFI لأجل كافة التجارب بمجال وثوقية كبير:

$$\dot{m}_{OFI} = 1.455 \dot{q} \quad (13)$$

تعطي هذه العلاقة الحد التصميمي الأول لمفاعلات البحث عالية التدفق التي تتميز بشروط حدّية ترموهيدروليكية وهندسة مشابهة لتلك العائدة لوحدة الاختبار THTL. وبموجب ذلك فإن التشغيل الآمن لعناصر وقود هذه المفاعلات يتحقق عند التدفق الحراري \dot{q} لأجل قيمة تشغيلية $\dot{m}_{operation}$ لكثافة معدل التدفق تفوق القيمة الحدّية بمعامل الأمان S . يتضمن معامل الأمان مجمل الارتبايات التجريبية والإحصائية والتصنيعية لعناصر الوقود وقد يصل في بعض التقديرات المحافظة إلى القيمة 1.5.

يبدأ بعدها بالتراجع سالكاً الشكل القطعي الموافق لضياعات الاحتكاك للطور البخاري (هذا الجزء غير متضمن في الشكل). تشمل النهاية الصغرى للمنحني نقطة بدء عدم الاستقرار الترموهيدروليكي (OFI: Onset of Flow Instability) ويعتبر المجال بعدها غير مستقر ذلك أن التراجع اللاحق في معدّل التدفق سيقود إلى تنامي محتوى البخار في القناة ومن ثم انسدادها الذي سيؤدي حتماً إلى انصهار جدارها. وبناءً عليه لا يوجد تشغيل آمن للقناة بعد نقطة الانقلاب OFI التي تمثل الحدّ التصميمي الأول لعناصر وقود مفاعلات البحث.

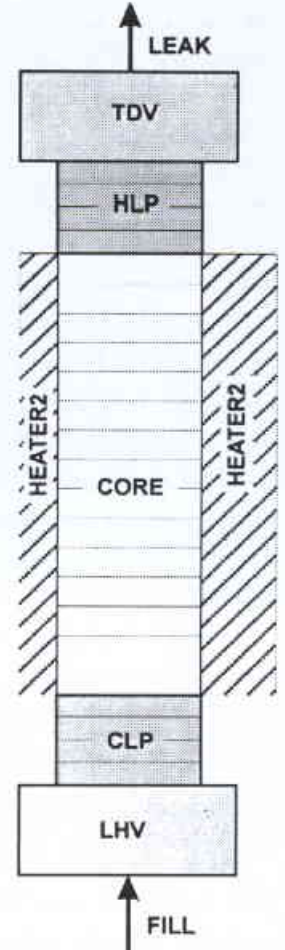
يمكن أن نستقرئ من الشكل 4 أن نقطة نشوء عدم الاستقرار OFI تنزاح باتجاه معدلات تدفق أعلى كلما ازدادت الاستطاعة الحرارية السطحية المطبقة على القناة (تظهر النقطة OFI2 للحالة FE105B عند معدّل تدفق أعلى من النقطة OFI1 للحالة FE714C). ويعود ذلك بداية إلى أن ازدياد كثافة التيار الحراري (مع بقاء ضغط الجملة دون تغير) يؤدي لوصول درجة حرارة الجدار بشكل مبكر (لأجل معدلات تدفق أعلى) إلى نقطة بداية الغليان دون المشبع نظراً لازدياد الاستطاعة الحرارية المودعة في واحدة الحجم مما ينتج عنه ارتفاع المحتوى الحجمي الموضعي للبخار في القناة الذي يقود بدوره لنشوء عدم الاستقرار بشكل مبكر.

كما يُظهر الشكل 5 مقارنة أخرى

بين التجارب والنتائج الحاسوبية الموافقة لأجل تدفقات حرارية مرتفعة جداً.

يمثل الشكلان 4 و 5 السلوك النمطي لبقية الحالات المدرجة لاحقاً في الجدول 1. ويمكن أن نستقرئ من هذه المنحنيات أن نتائج محاكاة الكود المعدّل متوافقة مع القيم التجريبية في مجالي التدفقات الحرارية العالية والعالية جداً، نظراً لتشابه منحنيات المقاومة المحسوبة مع المنحنيات التجريبية خاصة فيما يتعلق بمعدّل تدفق المبرد الذي يتعدى عنده ميل منحني ضياع الضغط (النهاية الحدّية الصغرى) معلناً بداية عدم الاستقرار الترموهيدروليكي.

يعتبر معدّل التدفق الحرج، القيمة الأكثر أهمية في تحديد مجال عدم الاستقرار. وبمقارنة كثافة معدلات التدفق المحسوبة عند النقطة OFI مع



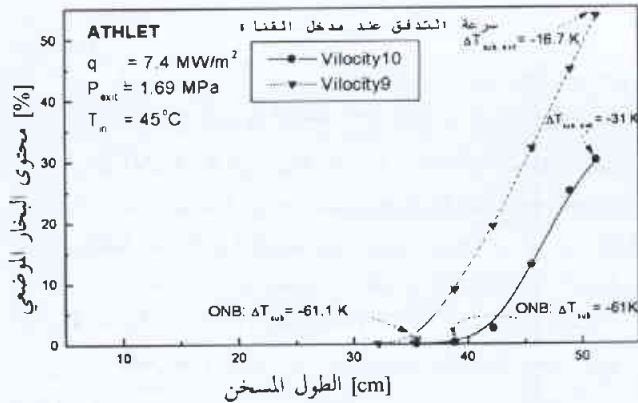
الشكل 3- تجرئة وحدة الاختبار THTL حسب طريقة الكود ATHLET (أنبوب تغذية (FILL)، الموزع السفلي: LHV، أنبوب دخل: CLP، الجزء المسخن من قناة الاختبار: CORE، أنبوب خرج: HLP، أنبوب بضغط خرج ثابت: TDV، أنبوب تصريف: LEAK، جدار القناة من الألمنيوم: HEATER).

ضباغات الضغط الحساسة أعلى من القيم التجريبية المقابلة. يعزز هذا التوقع ازدياد التباين بين القيم الحساسة والتجريبية مع ازدياد التدفق الحراري.

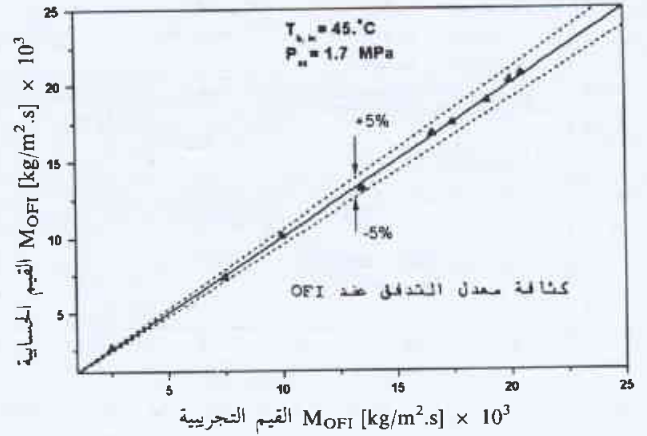
يظهر الشكل 7 التوزيع المحوري لمحتوى البخار الحجمي على طول الجزء المسخن من القناة والمحسوب من قبل الكود ATHLET عند نقطة نشوء عدم الاستقرار OFI والنقطة الأولى بعدها، وذلك لأجل تدفق حراري يبلغ $7.4 \text{ [MW/m}^2\text{]}$. يُستقرأ من الشكل أن الفقاعات الأولى تنشأ على جدار القناة (ONB) عندما تفوق درجة حرارة الجدار درجة الغليان بحوالي 11 درجة (فرط التسخين: $\Delta T_{\text{sup}} = T_w - T_s = +11 \text{ K}$). في الوقت الذي لا تزال فيه درجة حرارة السائل الوسطى ضمن القناة بحدود 61 درجة دون درجة الغليان (تحت البرودة: $\Delta T_{\text{sub}} = T_l - T_s = -61 \text{ K}$) يبدأ المحتوى الحجمي للبخار بالنمو اعتباراً من هذه النقطة ليصل عند مخرج القناة إلى حوالي 30% نتيجة لتراجع برودة السائل التي وصلت عند مخرج القناة إلى 31- درجة. يقود إنقاص سرعة تدفق المبرد عند مدخل القناة إلى ازدياد منحني توزيع البخار باتجاه مدخل القناة مما يقود إلى ارتفاع المحتوى الحجمي الموضعي للبخار ليصل عند مخرج القناة إلى 53% مع تراجع درجة برودة السائل لتصل إلى 16- درجة تحت درجة الغليان. يلاحظ مما سبق أنه برغم البرودة الكبيرة للسائل فإن المحتوى الحجمي للبخار يصل إلى قيم معتبرة تتسبب بدورها في ازدياد مقاومة القناة نتيجة تنامي ضباغ الضغط لثنائي الطور المتشكل مما يقود في النهاية لنشوء الاستقرار.

لإجراء تقييم كمي شامل لنتائج المحاكاة قورنت في الجدول 1 النتائج الحساسة لكافة التجارب مع القيم التجريبية فيما يتعلق بتيار تدفق المبرد، ضباغ الضغط، درجة حرارة الجدار الأعظمية ودرجة حرارة خرج المبرد عند نقطة نشوء عدم الاستقرار الترموهيدروليكي. كما يتضمن الجدول المحتوى الحجمي البخاري عند مخرج القناة المحسوب من قبل الكود ATHLET دون مقارنة مع القيم التجريبية لعدم توافرها.

تدل الحسابات أن محتوى البخار الحجمي عند مخرج القناة يبلغ عند نقطة نشوء عدم الاستقرار الترموهيدروليكي حوالي 30% في معظم



الشكل 7- التوزيع المحوري لمحتوى البخار الحجمي على طول الجزء المسخن من القناة والمحسوب من قبل الكود ATHLET عند نقطة نشوء عدم الاستقرار OFI والنقطة الأولى بعدها وذلك لأجل تدفق حراري يبلغ $7.4 \text{ [MW/m}^2\text{]}$. (بداية الغليان: ONB).



الشكل 6- مقارنة النتائج الحساسة والتجريبية لكثافة معدل تدفق المبرد عند نقطة نشوء عدم الاستقرار الترموهيدروليكي للغليان دون المشبع عند تدفقات حرارية مختلفة.

تظهر الأشكال أيضاً أن قيم ضباغ الضغط المحسوبة تفوق القيم التجريبية بشكل يزداد بازدياد التدفقات الحرارية المطبقة على القناة، كما يتضح ذلك من مقارنة القيم التجريبية والحساسة في حالة التدفقات الحرارية المرتفعة مع الحالة الباردة للقناة (بدون تسخين). تتفق القيم التجريبية مع القيم الحساسة لضباغ الضغط في حالة انعدام التسخين ووقوع التدفق في الطور الأحادي، عدا اختلاف بسيط يظهر عند سرعة تدفق أعلى من 30 m/s. في حين يصبح التباين واضحاً لأجل التدفق الحراري المرتفع $14.77 \text{ [MW/m}^2\text{]}$ في المجالين أحادي وثنائي الطور ويصل الفرق النسبي عند نقطة نشوء عدم الاستقرار إلى +25%. يمثل هذا الفرق الذي لوحظ أيضاً في الحالة FEN20A القيمة العظمى للتباين الملحوظ في كافة التجارب. أما التباين النسبي البالغ 34% للحالة الخاصة FE904C فيعود لارتبايات تجريبية، نظراً لوجود تجربتين أخريين FE212A، FE179B بتدفق حراري قريب جداً من هذه الحالة أظهرتا ارتباياً دون 17%.

يمكن أن يُعزى تجاوز قيم ضباغ الضغط المحسوبة للنتائج التجريبية مع ارتفاع التدفق الحراري وسرعة تدفق المبرد إلى سببين رئيسيين. الأول يتعلق بعلاقة Colebrook المستخدمة في حساب ضباغ الضغط للطور الأحادي. تستخدم هذه العلاقة قيمة ثابتة لمعامل لزوجة الطبقة الحدية (Viscosity) في حين يتوقع أن تراجع لزوجة وثنائية هذه الطبقة المسؤولة عن ضباغات الاحتكاك بشكل ملموس بسبب القيم الهائلة للتدفق الحراري وسرعة تدفق السائل المستخدمة، الأمر الذي سيفضي إلى تراجع في ضباغ الضغط. يؤيد تأثير سرعة التدفق العالية على مواصفات الطبقة الحدية، التباين الملحوظ عند سرعة تدفق أعلى من 30 m/s للحالة الباردة للقناة. أما السبب الآخر فقد يعود إلى احتمال تمدد جدار قناة الاختبار المصنوع من الألمنيوم خاصة في حالة التدفقات الحرارية الفائقة، مما يؤدي إلى توسع مقطع التدفق والقطر الهيدروليكي. والنتيجة هي أن القطر الهيدروليكي المستخدم في المحاكاة والموافق للقيمة الاسمية للحالة الباردة أصغر من القطر الحقيقي، نظراً لعدم مقدرة الكود ATHLET على محاكاة تمدد البنى الصلبة تحت التأثيرات الحرارية؛ ومن ثم ستكون

الجدول 1- مقارنة المعطيات التجريبية لتجارب THTL في Oak Ridge مع النتائج الحاسوبية للكود ATHLET عند نقطة نشوء عدم الاستقرار الترموهيدروليكي OFI لنمط الاختبار الصلب.

| التدفق الحراري [MW/m ²] | كثافة التدفق m [kg/m ² s].10 ³ | | درجة حرارة الماء عند مخرج القناة T _{b,exit} [°C] | | درجة حرارة الجدار T _{w,max} [°C] | | التباين Δp _{ATHLET} Δp _{THTL} [MPa] | محتوى البخار عند الخارج α _{exit} [%] |
|---|--|--------|--|--------|---|--------|--|--|
| | THTL | ATHLET | THTL | ATHLET | THTL | ATHLET | | |
| FE712B 2 | 2.5 | 2.65 | 183 | 180.3 | 214.4 | 217.1 | -0.006 | 20 |
| FE714B 5.3 | 7.5 | 7.34 | 174.3 | 170 | 225.6 | 222 | 0.004 | 20 |
| FE714C 7.4 | 10.0 | 10.1 | 182 | 173 | 228.4 | 225.6 | 0.03 | 30 |
| FE105B 9.4 | 13.50 | 13.2 | 173.6 | 170.2 | 237 | 228 | 0.097 | 28 |
| FE904C 11.8 | 16.6 | 16.75 | 178 | 171 | 250 | 232 | 0.25 | 31.5 |
| FE719B 11.7 | 17.5* | 16.8 | 176.8 | 170.4 | 374* | 233 | 0.114 | 34 |
| FE212A 12.15 | 16.7 | 16.75 | 185 | 171 | 264 | 232 | 0.06 | 31.5 |
| FE105C 12.7 | 17.5 | 17.43 | 179 | 170 | 263.5 | 232 | 0.13 | 30 |
| FEN20A 13.6 | 19.0 | 18.9 | 178 | 170 | 233 | 233.4 | 0.266 | 30 |
| FED28B 14.77 | 20.0 | 20.2 | 181 | 171 | 242 | 236.4 | 0.25 | 32.6 |
| FE105D 14.92 | 20.5 | 20.7 | 182.5 | 170.4 | 265.5 | 236.5 | 0.163 | 31.7 |

وصف تشكّل البخار في مجال الغليان دون المشبع عن طريق تقديم صياغة جديدة لمعدّل تكاثف البخار تشمل الشروط الترموهيدروليكية الآتية. وقد يثبت حسابات الاختبار أن النموذج المعدّل عمل ضمن الكود ATHLET بشكل متوافق مع المركبات الأخرى للبرنامج.

اعتمدت دراسات التحقيق (Validation) على إعادة حساب مجموعة تجارب Oak Ridge حول عدم الاستقرار الترموهيدروليكي في مجال الغليان تحت البارد، وبيّنت المقارنة توافق النتائج الحاسوبية مع القيم التجريبية في تحديد معدّل التدفق عند نقطة نشوء عدم الاستقرار الترموهيدروليكي (الحّد التصميمي الأول) بارتياح أقل من 5%. في حين تراوح الارتياح النسبي بين ضياعات الضغط المحسوبة والقيم التجريبية الموافقة عند هذه النقطة بين 3% و 17% في معظم الحالات ووصل في ثلاث حالات لقيم أعظمية تقرب من +25%. بينما بقي الارتياح بين التجربة والحساب بالنسبة لدرجة حرارة خروج المبرد ودرجة الحرارة العظمى لجدار القناة عند نقطة نشوء عدم الاستقرار أعلى بقليل من الخطأ القياسي

التجارب المحسوبة باستثناء الحالتين FE712، FE714B العائدتين لتدفقات حرارية منخفضة (الجدول 1). وبالمقابل تظهر المقارنة بين القيم الحاسوبية والتجريبية لدرجة حرارة الجدار العظمى ودرجة حرارة خروج المبرد عند نقطة نشوء عدم الاستقرار للحالات المختلفة وجود توافق جيد بين الحساب والتجربة، حيث لا يتعدى التباين النسبي بين القيم التجريبية والقيم الحاسوبية 7% لدرجة حرارة خروج المبرد و 12% لدرجة حرارة الجدار العظمى على التوالي وهي تباينات مقبولة إذا أخذنا بعين الاعتبار أن الخطأ القياسي للمزدوجات الحرارية يقع بحدود 6% [5].

الخاتمة

جرى توسيع وتحقيق الكود ATHLET لتأهيل استخدامه في دراسات الأمان المائدة لمفاعلات البحث عالية وأعظمية التدفق والتي تتميز عناصر وقودها بقيم عالية لسرعة تدفق المبرد وكثافة التيارات الحرارية عند ضغوط منظومة معتدلة. وقد وُسع الكود بتعديل نموذج

باستكمال مجمل التعديلات والتحقيقات سيصبح الكود ATHLET مؤهلاً للاستخدام في دراسات الأمان المتعلقة بمفاعلات البحث منخفضة ومتوسطة وعالية التدفق التروني. في هذا السياق سيتم في عمل لاحق استخدام الكود لدراسة ظاهرة انقلاب التدفق لدى تعطيل مضخات التبريد الرئيسية في مفاعلات البحث عالية التدفق التي تُبرّد فيها عناصر الوقود بالاتجاه الهابط. تحت هذه الظروف يمكن دراسة أشكال مختلفة من ظواهر عدم الاستقرار بما فيها ظاهرة الحمم الحارة (Geysering).

للمزدوجات الحرارية. تؤكد هذه النتائج مقدرة الكود المعدّل ATHLET على محاكاة تشكّل البخار ونشوء عدم الاستقرار في مجال الغليان تحت البارد بشكل صحيح وفي مجال واسع للتدفقات الحرارية وكثافة تدفق المبرّد يصل حتى 15 MW/m^2 و $20 \times 10^3 \text{ kg/m}^2\text{s}$ على التوالي، عند ضغط خرج للحملة يقرب من 17 بار.

وستُستكمل فيما بعد حسابات التحقيق بنمذجة عدم الاستقرار للقنوات المتوازية بوجود المجازات التدفقية، مع حساب التدفق الحراري الحرج (CHF).

REFERENCES

المراجع

- [1] A. Hainoun, Modellierung des unterkühlten Siedens in ATHLET und Anwendung in wassergekühlten Forschungsreaktoren, D 294 Diss. Uni. Bochum, Jul 2961 (1994).
- [2] Y. Elkasabgi, Y. L. Graydon, W. R. Gambil, Thermal Hydraulic Analysis of Advanced Neutron Source Reactor Refuelling Process, Nuclear Technology 105 (1994) 411-420.
- [3] G. Lerchel, H. Austregesilo, ATHLET Mode 1.2 Cycle A, User's Manual, GRS-p-1 /Vol. 1, Rev. 1, GRS (1998).
- [4] A. Hainoun, J. Wolters, E. Hicken, Modeling of void formation in the Subcooled boiling regime in the ATHLET code to simulate flow instability for research reactors, Nuclear Engineering and Design, 167 (1996) 175-191.
- [5] M. Siman-Tov, D. Felde et al., FY 1993 Progress Report on the ANS Thermal Hydraulic Test Loop Operation and Results, ORNL/M-3789, July 1994.
- [6] N. C. Chen, M. W. Wendel, and G. L. Yoder, Jr., Conceptual Design Loss of Coolant Accident Analysis for the advanced Neutron Source Reactor. Nuclear Technology, Vol. 105, Jan. 1994.
- [7] Neutronquelle München FRM-II, Satusbericht der Projektgruppe "Neuer Forschungsreaktoren" der Fakultät für Physik E21, Technische Universität München, 1992 (in German).
- [8] A. Hainoun, G. Meister et al., Theoretische und experimentelle Untersuchungen zur thermohydraulischen Instabilität von MTR - Reaktoren. Jahrestagung Kerntechnik, Tagungsbericht 1992, pp. 469- 473.
- [9] S. Z. Rouhani and E. Axelsson, Calculation of Void Volume Fraction in the Subcooled and Quality Regions, Meeting of European Two- Phase Flow Group, Oslo, June 18- 20, 1968.
- [10] A. Avdeev, The Rate of Growth (Condensation) of Vapor Bubbles in a Turbulent Flow, Thermal Engineering, 33 (1) (1986) 30- 33.
- [11] H. C. Unal, Maximum Bubble Growth Time and Bubble Growth Rate during Subcooled Nucleate Boiling of Water up to 17.7 MN/m^2 Int. J. Heat and Mass Transfer, Vol. 19, pp. 643- 649, 1976.



أثر فعاليات تحميل الفسفات على البيئة البحرية القريبة: الشاطئ السوري

د. محمد سعيد المصري - سامر ماميش - يوسف بلير
قسم الرقابة والأمان - هيئة الطاقة الذرية - ص. ب 6091 - دمشق - سورية

ملخص

جرى تقدير أثر عمليات تحميل الفسفات الخام إلى أسفن على البيئة البحرية القريبة من الشاطئ السوري. أظهرت النتائج زيادة معنوية من البولونيوم 210 والرصاص 210 والتكليدات المشعة الطبيعية الأخرى في رسوبيات ومياه داخل منطقة المرفأ. بلغت أعلى قيمة لتراكيز البولونيوم 210 والرصاص 210 في الرسوبيات قرابة 170 و 64 بكريل/كغ على الترتيب، بينما تراوحت تراكيز الرصاص 210 والبولونيوم 210 في المياه السطحية بين 5 و 20 ميلي بكريل/ل و 0.93 و 3.23 ميلي بكريل/ل. بالإضافة إلى ذلك، أوضحت نتائج البولونيوم 210 والرصاص 210 القابلة للمقارنة في الأحياء البحرية جميعها (طحالب، سرطان، أسماك)، بأن استخدامها كمشعرات للتلوث بالفسفات غير منسوح به. على أية حال، لوحظ بأن أثر عمليات التحميل على البيئة البحرية القريبة لمرفأ طرطوس يعتمد بشكل رئيسي على اتجاه الرياح حيث تنتشر عوالتق الهواء المشعة إما إلى اليابسة أو إلى البحر.

الكلمات المفتاحية: الصناعة الفسفاتية، البيئة البحرية، ^{210}Po ، ^{210}Pb ، مرفأ طرطوس، الساحل السوري

مقدمة

تعد الصناعة الفسفاتية إحدى المصادر الهامة للتلوث بالمواد المشعة الطبيعية (سلسلتا تفكك ^{238}U و ^{232}Th). يمكن أن تتركز هذه التكليدات المشعة الطبيعية في النفايات الصلبة كالفوسفوجبسوم، والتصرفات السائلة والاصدارات الجوية كغاز الرادون والغبار الحامل للنشاط الإشعاعي. أجريت دراسات كثيرة حول العالم تناولت التأثير البيئي لمثل هذه التصريفات (الاطلاقات) [1-13]. وبالإضافة إلى ذلك، تستورد بعض الدول (مثل المملكة المتحدة) أو تصدر (مثل سورية والمغرب) خامات الفسفات عبر البحر. يمكن أن يلوث الغبار الصادر خلال عمليات التحميل الهواء الجوي أو مياه البحر السطحية.

ففي سورية، يصدر معظم الفسفات الخام بكميات كبيرة (1.36 ميغا طن في 1996) عبر أحد المرفأ السوري الأساسية (طرطوس) الذي يقع على الجزء الشرقي للبحر المتوسط (34°54(N), 35°52(E)) حيث بدأت عمليات تحميل الفسفات إلى السفن منذ أكثر من عشرين عاماً. تتصاعد العوالتق الملوثة بالنشاط الإشعاعي وتنتشر في المناطق المجاورة مؤثرة بذلك على معظم منطقة المرفأ.

أجريت قياسات للنشاط الإشعاعي في العوالتق الهوائية وعينات تربة جمعت من مرفأ طرطوس ومدينة طرطوس [14] حيث لوحظت مستويات مرتفعة نسبياً من البولونيوم 210 والرصاص 210 وتكليدات مشعة طبيعية أخرى في منطقة المرفأ. وأظهرت دراسات أخرى [15، 16] تراكيز مرتفعة من البولونيوم 210 في رسوبيات جمعت من شاطئ طرطوس (250-450 بكريل/كغ). وبالإضافة إلى ذلك، درس حديثاً تلوث مرفأ طرطوس بعناصر الأثر [1] فلوخطت مستويات مرتفعة نسبياً من الكاديوم في

رسوبيات جمعت من منطقة المرفأ. على أية حال، لم يدرس بشكل جيد النشاط الإشعاعي للبيئة البحرية القريبة من مرفأ طرطوس، ولهذا كان الهدف الرئيسي للدراسة الحالية تقييم أثر عمليات الفسفات على البيئة البحرية القريبة بتعيين كل من الرصاص 210 والبولونيوم 210 في مياه البحر والرسوبيات والأحياء البحرية.

المواد والطرائق

جمع العينات

نفذت ثلاثة رحلات بحرية لجمع العينات فكانت الأولى في 10/22/1997 أما الثانية والثالثة فكانتا في 5/5/1998 و 26/6/1999 على الترتيب. جمعت رسوبيات (1 كغ لكل عينة) ومياه بحر (50 لتر لكل عينة)، أسماك وطحالب وعينات بيولوجية أخرى من أربعة عشر موقعاً كما هو موضح في الشكل 1. أخذت عينات الرسوبيات من الطبقة السطحية من أسفل كل موقع بواسطة جامع العينات من نوع grab أو من قبل غطاس.

الطرائق التحليلية

حمضت عينات الماء بإضافة حمض كلور الماء. أما عينات الرسوبيات والأسماك والطحالب والسرطانات فلقد جففت بالفرن في الدرجة 90 مئوية لمدة تراوحت بين 24 - 48 ساعة. قيست تراكيز البولونيوم 210 والرصاص 210 باستخدام التقانة القياسية (تقانة صحن الفضة) [17، 18]. مُزج 1 غرام من كل عينة رسوبيات (أو 10 غرام من الوزن الجاف لعينات الأحياء البحرية والأسماك والطحالب والسرطانات) مع كمية محددة (0.2 بكريل) من البولونيوم 208 كمقفي أثر. هضمت كل عينة باستخدام مزيج من الحموض المعدنية (حمض كلور الماء وحمض الآزوت) لفترة

ضبط الجودة

طبقت إجراءات ضبط الجودة باستخدام عينات مراقبة داخلية وتحاليل مكررة، كما حلت أيضاً عينات عيارية زوّدت من الوكالة الدولية (MA-B3/RN، IAEA-368) للتأكد من صحة النتائج التحليلية التي تم الحصول عليها في هذه الدراسة، عرضت بعض هذه النتائج في الجدول 1.

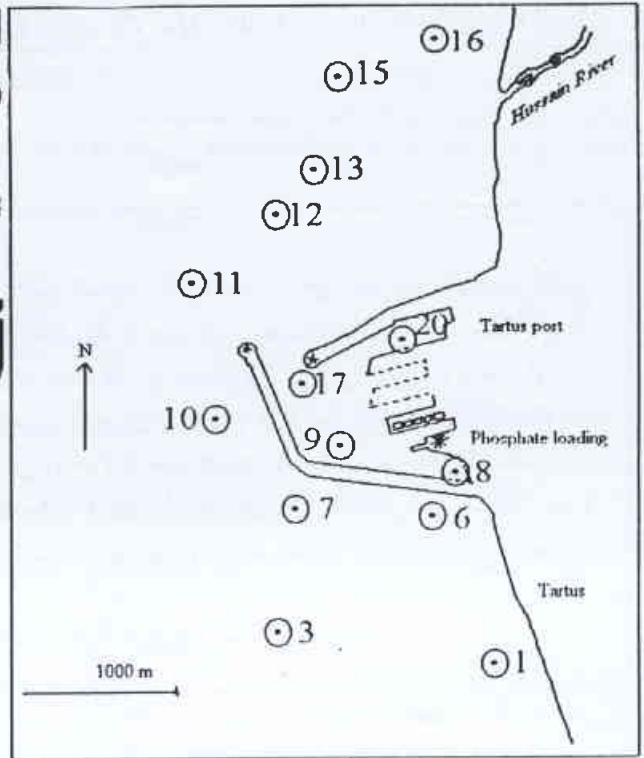


النتائج والمناقشة

البولونيوم 210 والرصاص 210 والنكليدات المشعة الأخرى في الرسوبيات

تعد الرسوبيات الجزء الراسب الأخير من أي ملوث يدخل البيئة البحرية ولهذا فإن أي ارتفاع في تراكيز النكليدات المشعة في الرسوبيات بقدر أعلى من المستويات الطبيعية يدل على وجود مصدر خارجي.

عُرِضت نتائج تحليل البولونيوم 210 والرصاص 210 في الجدول 2 حيث لوحظت أعلى التراكيز والبالغة 170 و 64 بكريل/كغ لكل من البولونيوم 210 والرصاص 210 على الترتيب في العينات التي جمعت من داخل منطقة المرفأ وهي ناجمة طبعاً عن فعاليات تحميل الفسفات. على أية حال، تعد هذه القيم أقل بكثير من القيم المذكورة في مناطق أخرى من العالم حيث توجد اطلاقات ماثلة [19، 9]. وإضافة إلى ذلك، كانت تراكيز الرصاص 210 في معظم عينات الرسوبيات أقل من تراكيز البولونيوم 210 بمعامل وقدره 2، حيث تكون عادة نسبة النشاط $^{210}\text{Po}/^{210}\text{Pb}$ أعلى من ذلك بكثير في المستويات الطبيعية [21، 20]. وربما يعود هذا إلى حقيقة أن كلاً من هذين النكليدين المشعين يدخلان



الشكل 1- مواقع جمع العينات

زمنية وصلت إلى 24 ساعة على الأقل. بخرت العينة بهدوء، بعد أن أصبح المحلول صافياً، إلى قرب الجفاف ومن ثم حل الراسب في 100 مل من 0.5 مول/ل حمض كلور الماء. سخن المحلول إلى الدرجة 80 مئوية ورسب البولونيوم 210 تلقائياً على قرص من الفضة مع التحريك بعد ارجاع الحديد بحمض الاسكوريك. جرى تعداد جسيمات ألفا الصادرة عن البولونيوم 208 (5.15 ميغا إلكترون فولت) والبولونيوم 210 (5.3 ميغا إلكترون فولت) باستخدام مطيافية ألفا (Oasis, Oxford) زوّد بكاشف سليكون قفّال (مساحة المنطقة الفعالة 300 ملم²، تعداد الخلفية الطبيعية قرابة 6.3 في اليوم وتبلغ الشحنة الصفرى المستنضبة حوالي 100 ميكرومت). صححت فعالية البولونيوم 210 من أجل المردود بمقارنة الفعالية المقاسة للبولونيوم 208 المستخدم كمقفي أثر والتفكك الإشعاعي من زمن جمع العينة. أعيد طلي وتعداد قرص جديد بعد 6 أشهر من حفظ المحلول لقياس نمو البولونيوم 210 الجديد من الرصاص 210 وحساب تركيز الرصاص 210 في العينة الأساسية. بلغ الحد الأدنى لكشف الطريقة المستخدمة حوالي 0.4 بكريل/كغ وزن جاف. أما لتعيين الرصاص 210 والبولونيوم 210 في عينات ماء البحر فلقد رسب الرصاص 210 والبولونيوم 210 من 40 ل بواسطة MnO_2 ، حل الراسب في 1.5 مول/ل حمض كلور الماء وعولج المحلول كما شرح آنفاً للعينات الصلبة. قيست عينات الرسوبيات أيضاً بمطيافية غاما باستخدام كواشف الجرمانيوم مرتفعة مقدرة الفصل (1.85 كيلوالكترون فولت عند الطاقة 1.33 ميغا إلكترون فولت) ومرتفعة كفاءة التعداد النسبية (26% و80%) ومنخفضة الخلفية الطبيعية وذلك لتعيين مصدرات غاما الطبيعية والصناعية مثل ^{137}Cs ، ^{40}K ، ^{229}Th ، ^{228}Ra ، ^{226}Ra ، ^{224}Ra .

الجدول 1- تراكيز البولونيوم 210 في مواد الوكالة الدولية للطاقة الذرية المرجعية

| رقم العينة | القيمة المرجعية (بكريل/كغ وزن جاف) (أحد التقة) | القيمة المقاسة (بكريل/كغ وزن جاف) (+1 SD) | بمركب |
|------------|--|---|---------|
| MA-B3 RN | 0.31 (0.23-0.33) | 0.3±0.02 | سمك |
| IAEA-368 | 23.2 (19.8-27.2) | 18.3±1.5 | رسوبيات |

الجدول 2- تراكيز البولونيوم 210 والرصاص 210 ونسبة الفعالية $^{210}\text{Po}/^{210}\text{Pb}$ في الرسوبيات

| رقم الموقع | تراكيز البولونيوم 210 بكريل/كغ (+1 SD) | تراكيز الرصاص 210 بكريل/كغ (+1 SD) | نسبة الفعالية $^{210}\text{Po}/^{210}\text{Pb}$ (±1 SD) |
|------------|--|------------------------------------|---|
| 1 | 7.3 ± 0.7 | 3.4 ± 0.8 | 2.10 ± 0.5 |
| 3 | 22.0 ± 5 | 6.4 ± 1.1 | 3.4 ± 1.0 |
| 6 | 30.0 ± 1.7 | 14.0 ± 0.5 | 4.6 ± 0.1 |
| 7 | 39 ± 2.8 | 19.0 ± 0.4 | 2.1 ± 0.2 |
| 8 | 100 ± 1 | 39.0 ± 3.3 | 2.5 ± 0.2 |
| 9 | 151 ± 3 | 77 ± 1 | 1.9 ± 0.04 |
| 10 | 31 ± 3 | 13.3 ± 0.5 | 2.3 ± 0.2 |
| 11 | 23 ± 0.7 | 12.0 ± 0.4 | 2.0 ± 0.1 |
| 12 | 69 ± 1 | 28 ± 2 | 2.5 ± 0.2 |
| 13 | 50 ± 3 | 23 ± 0.7 | 2.1 ± 0.2 |
| 15 | 90 ± 5 | 49 ± 0.5 | 1.8 ± 0.1 |
| 16 | 24 ± 0.3 | 13.0 ± 0.7 | 1.9 ± 0.1 |
| 17 | 170 ± 3 | 64.0 ± 2.8 | 2.7 ± 0.1 |

الجدول 4- تراكيز البولونيوم 210 والرصاص 210 ونسبة الفعالية $^{210}\text{Po}/^{210}\text{Pb}$

| رقم الموقع | تركيز البولونيوم 210 مليغرام/كغ (±1 SD) | تركيز الرصاص 210 مليغرام/كغ (±1 SD) | $^{210}\text{Po}/^{210}\text{Pb}$ (±1 SD) |
|------------|--|--|--|
| 1 | 7 ± 0.3 | 1.2 ± 0.1 | 5.8 ± 0.5 |
| 3 | 5 ± 0.3* | 1.8 ± 0.1 | 2.8 ± 0.2 |
| 6 | 6 ± 0.3 | 1.0 ± 0.1 | 6.1 ± 0.5 |
| 7 | 5 ± 0.2 | 1.0 ± 0.1 | 5.4 ± 0.5 |
| 8 | 3 ± 0.1* | 2.5 ± 0.1 | 1.2 ± 0.1 |
| 9 | 7 ± 0.36 | 1.2 ± 0.1 | 5.7 ± 0.1 |
| 13 | 6 ± 0.3 | 1.0 ± 0.1 | 5.8 ± 0.5 |
| 16 | 5 ± 0.3* | 2.0 ± 0.1 | 2.5 ± 0.2 |
| 20 | 20 ± 0.6 | 3.2 ± 0.2 | 6.5 ± 0.4 |
| | 19 ± 0.8 | 2.5 ± 0.1 | 8.2 ± 0.5 |
| | 8 ± 0.5 | 1.1 ± 0.1 | 7.5 ± 0.6 |
| | 6 ± 0.3* | 1.0 ± 0.1 | 5.8 ± 0.5 |
| | 20 ± 0.7 | 3.2 ± 0.2 | 6.2 ± 0.4 |
| | 17 ± 0.8* | 4.0 ± 0.1 | 4.2 ± 0.2 |

رصيف التحميل (9, 13, 17, 20)، ويبدو أنه يوجد تأثير قليل على المناطق الأخرى الموجودة في جنوب المرفأ (المواقع 1, 3, 6).

الرصاص 210 والبولونيوم 210 في الأحياء البحرية

أظهرت الطحالب التي جمعت وحللت من أجل تعيين البولونيوم 210 عام 1993 على طول الشاطئ السوري [16, 13] تراكيز تراوحت بين 0.52 و 8.5 بكريل/كغ على الوزن الرطب وكانت أعلى التراكيز في الطحالب من نوع *Spiridia SP* (8.5 بكريل/كغ من الوزن الرطب). بين الجدول 5 أن أعلى تراكيز البولونيوم 210 والرصاص 210 الملاحظة هنا كانت في الطحالب السمراء (*Stypopodium sp*) (15.44 بكريل/كغ وزن رطب). على أية حال، لا يدل تحليل هذه النوع من الطحالب على أي زيادة في البولونيوم 210 والرصاص 210 حيث لوحظت أعلى القيم في تلك العينات التي جمعت خارج منطقة المرفأ (الموقع 1). على الرغم من انخفاض عدد عينات السمك التي جمعت وحللت من داخل المرفأ، كانت تراكيز البولونيوم 210 مرتفعة نسبياً وتراوحت بين 5.5 و 23 بكريل/كغ من الوزن الرطب. ولقد لوحظت قيم مشابهة (27 بكريل/كغ من الوزن الرطب) في دراسة سابقة [12]. أما نسبة فعالية $^{210}\text{Po}/^{210}\text{Pb}$ فكانت مرتفعة جداً (307) في نوع واحد جمع من داخل المرفأ والتي يمكن أن تعود إلى ارتفاع محتوى البولونيوم 210 في المياه السطحية. وأظهرت أيضاً عينات السرطانات من داخل منطقة المرفأ تراكيز مرتفعة من البولونيوم 210 (عينات جمعت من 16 و 17) وأعلى بكثير من تلك القيم المذكورة لأنواع أخرى جمعت على طول الساحل السوري [16, 15]. على أية حال، دلت دراسات أخرى [23, 22] أجريت في بحر البلقان أن تحاليل عينات أسماك جمعت بالقرب من انطلاقات الصناعة الفسفافية غير مختلفة إحصائياً عن المناطق الأخرى، بينما أظهر آخرون [9] اختلافات

الجدول 5- تراكيز البولونيوم 210 والرصاص 210 ونسبة الفعالية $^{210}\text{Po}/^{210}\text{Pb}$ في عينات مياه البحر جمعت من مواقع مرجعية

| رقم الموقع | تركيز البولونيوم 210 مليغرام/كغ (±1 SD) | تركيز الرصاص 210 مليغرام/كغ (±1 SD) | $^{210}\text{Po}/^{210}\text{Pb}$ (±1 SD) |
|---------------|--|--|--|
| حجلة | 0.7 ± 0.04 | 0.45 ± 0.05 | 1.5 ± 0.2 |
| بانينس | 1.1 ± 0.1 | 0.55 ± 0.05 | 2 ± 0.2 |
| طرطوس | 5.7 ± 0.1 | 2.52 ± 0.10 | 1.6 ± 0.1 |
| مرفأ اللانقية | 2.1 ± 0.1 | 2.05 ± 0.07 | 1.0 ± 0.1 |
| شمال اللانقية | 1.7 ± 0.1 | 1.29 ± 0.10 | 1.5 ± 0.1 |

البيئة البحرية بطريقتين مختلفتين وليس عبر طريق تفكك غاز الرادون، ويمكن اعتبار غبار الفسفات الحامل لهذين النكليدين هو ذلك المصدر. وبالتالي، يعد هذا دليلاً على أثر فعالية تحميل الفسفات على بيئة البحر داخل منطقة المرفأ.

حددت أيضاً النكليدات المشعة الطبيعية الأخرى في عينات الرسوبيات التي جمعت في هذه الدراسة فكانت تراكيز الراديوم 226 مرتفعة نسبياً (33.2 بكريل/كغ) والثوريوم 234 (88 بكريل/كغ) في كل العينات التي جمعت من منطقة المرفأ. هذا واحتوت أيضاً هذه العينات مستويات مرتفعة من البولونيوم 210 والرصاص 210 (الجدول 2). بالإضافة إلى ذلك، لوحظت مستويات مرتفعة نسبياً من السيزيوم 137، الذي هو نكليد مشع صناعي ناجم عن السقط الجوي في العينات نفسها. ويفترض أن يكون سبب ذلك معدلات الترسيب المرتفعة في تلك المواقع (رقم 9 و 17).

تركيز الرصاص 210 والبولونيوم 210 في مياه البحر

تراوح المستويات الطبيعية للبولونيوم 210 في مياه البحر الشاطئية (عمق المياه أقل من 100 م) بين 1 و 4 ميلي بكريل/ل [21, 20]. وتكون نسبة الفعالية $^{210}\text{Po}/^{210}\text{Pb}$ المنحلة بشكل وسطي حوالي 0.9 بينما تكون نسبة الفعالية $^{210}\text{Po}/^{210}\text{Pb}$ في العوالق أكبر من الواحد.

جرى تعيين كل من الرصاص 210 والبولونيوم 210 في عينات ماء البحر التي جمعت من داخل وخارج منطقة المرفأ، وعرضت النتائج في الجدول 3. هذا وحدد كلا النظيرين بشكل آني في عينات مياه البحر التي جمعت على طول الشاطئ السوري وبعيد عن مرفأ طرطوس، (الجدول 4). ومن الواضح ملاحظة تراكيز مرتفعة نسبياً في تلك العينات التي جمعت من القسم الشمالي لرصيف التحميل (المواقع 20 و 17). ويمكن تفسير ذلك أن العوالق الهوائية المشعة تُدفع بواسطة الرياح بالاتجاه الشمالي الشرقي أي باتجاه المرفأ ومن البحر نحو اليابسة على طول الشاطئ. وبالإضافة إلى ذلك، يمكن أن تؤثر التيارات المائية في تلك المنطقة، والتي تتجه من الجنوب إلى الشمال على طول الشاطئ السوري، على توزع هذه النكليدات المشعة. على أية حال، يلاحظ بأن نسبة الفعالية $^{210}\text{Po}/^{210}\text{Pb}$ في عينات المياه السطحية أكثر من الواحد (5.38-8.23) والتي تدل على أن معظم فعالية البولونيوم 210 ناجمة عن التراكيز المرتفعة الموجودة في العوالق فيها عما هي في الجزء المنحل. وبالتالي، فإن أثر فعاليت تحميل الفسفات واضحة في المواقع المتوضعة في شمال وشرق

الجدول 3- تراكيز الفعالية للنكليدات المصدرة لغاما في الرسوبيات

| رقم الموقع | Th-234 | Ra-228 | Ra-226 | Ra-224 | Cs-137 | K-40 |
|------------|------------|------------|------------|------------|------------|----------|
| 1 | 19.7 ± 0.8 | 0.9 ± 0.07 | 0.5 ± 0.05 | 0.5 ± 0.03 | 0.2 ± 0.01 | 145 ± 6 |
| 2 | 15.7 ± 0.9 | 2.0 ± 0.1 | 1.8 ± 0.09 | 1.6 ± 0.08 | 0.3 ± 0.01 | 151 ± 10 |
| 3 | 20 ± 1.5 | 5.2 ± 0.4 | 7.0 ± 0.2 | 4.5 ± 0.20 | 0.5 ± 0.07 | 118 ± 4 |
| 6 | 17.9 ± 1.2 | 5.6 ± 0.4 | 8.0 ± 0.2 | 4.7 ± 0.2 | 0.6 ± 0.06 | 118 ± 3 |
| 7 | 20 ± 1.3 | 1.2 ± 0.1 | 1.5 ± 0.2 | 1.5 ± 0.1 | 0.5 ± 0.03 | 245 ± 14 |
| 8 | 32 ± 2.0 | 5.3 ± 0.50 | 33 ± 1.0 | 6.0 ± 0.2 | 1.3 ± 0.1 | 102 ± 5 |
| 9 | 88 ± 8.0 | 13.0 ± 0.6 | 25.0 ± 1.2 | 13 ± 1.0 | 10 ± 0.8 | 292 ± 20 |
| 10 | 9 ± 0.5 | 1.0 ± 0.05 | 1.0 ± 0.05 | 1.0 ± 0.05 | 0.3 ± 0.02 | 177 ± 8 |
| 11 | 59 ± 6.5 | 13.0 ± 0.6 | 18.0 ± 0.9 | 9 ± 0.5 | 1.3 ± 0.4 | 109 ± 10 |
| 12 | 75 ± 6.0 | 13.0 ± 0.6 | 25.0 ± 1.2 | 9 ± 0.5 | 1.2 ± 0.6 | 137 ± 8 |
| 13 | 17.6 ± 0.9 | 6 ± 0.35 | 6.4 ± 0.2 | 7.0 ± 0.2 | 0.8 ± 0.05 | 121 ± 3 |
| 15 | 27 ± 1.4 | 7.0 ± 0.40 | 8.0 ± 0.25 | 7.0 ± 0.2 | 1.8 ± 0.1 | 135 ± 3 |
| 16 | 9.5 ± 0.8 | 6.0 ± 0.5 | 7.0 ± 0.2 | 6.0 ± 0.2 | 0.5 ± 0.03 | 86 ± 4 |
| 17 | 45 ± 2.3 | 12.6 ± 0.6 | 29.0 ± 2.0 | 10.0 ± 0.8 | 9.0 ± 0.7 | 175 ± 14 |

الجدول 6- تراكيز البولونيوم 210 والرصاص 210 ونسبة الفعالية $^{210}\text{Po}/^{210}\text{Pb}$ في الأحياء البحرية

| رقم العينة | اسم ونوع الأحياء البحرية | تركيز البولونيوم 210 بـ (كغم/كغم وزن رطب) (± 1 SD) | تركيز الرصاص 210 بـ (كغم/كغم وزن رطب) (± 1 SD) | $^{210}\text{Po}/^{210}\text{Pb}$ (± 1 SD) |
|------------|--------------------------|---|---|---|
| I | صفائح | 15.4 \pm 1.2 | 1.3 \pm 0.03 | 11.5 \pm 1.0 |
| | | 2.1 \pm 0.04 | 1.0 \pm 0.03 | 2.1 \pm 0.1 |
| | | 10.6 \pm 0.2 | 4.5 \pm 0.2 | 2.3 \pm 0.1 |
| | | 3.7 \pm 0.3 | 1.5 \pm 0.2 | 2.3 \pm 0.3 |
| II | تمتلك | 7.3 \pm 0.2 | 0.5 \pm 0.01 | 13.0 \pm 0.4 |
| 16 | سمك | 7.0 \pm 0.1 | 0.60 \pm 0.01 | 11.7 \pm 0.2 |
| | | 5.5 \pm 0.8 | 0.8 \pm 0.1 | 7.0 \pm 1.5 |
| | | 7.9 \pm 0.2 | 0.7 \pm 0.03 | 11.9 \pm 0.6 |
| | | 4.9 \pm 0.4 | 0.8 \pm 0.01 | 6.2 \pm 0.5 |
| 16 | صفائح | 7.6 \pm 0.7 | 1.2 \pm 0.3 | 6.3 \pm 1.6 |
| | | 6.7 \pm 0.5 | 0.4 \pm 0.03 | 15.3 \pm 1.5 |
| | | 1.6 \pm 0.2 | 0.4 \pm 0.01 | 4.0 \pm 0.6 |
| | | 1.8 \pm 0.3 | 0.6 \pm 0.05 | 3.1 \pm 0.3 |
| 16 | سرطان | 2.5 \pm 0.2 | 0.5 \pm 0.03 | 5.3 \pm 0.5 |
| | | 27.0 \pm 0.3 | 1.1 \pm 0.1 | 24 \pm 3 |
| | | 7.5 \pm 0.1 | 0.5 \pm 0.2 | 15 \pm 5 |
| | | 7.3 \pm 0.1 | 1.5 \pm 0.1 | 5 \pm 0.3 |
| 17 | صفائح | 26.3 \pm 0.3 | 1.0 \pm 0.02 | 27 \pm 0.6 |
| | | 20.1 \pm 0.04 | 3.2 \pm 0.2 | 6.3 \pm 0.3 |
| | | 11.0 \pm 0.7 | 0.6 \pm 0.1 | 20 \pm 3 |
| | | 23.0 \pm 0.05 | 0.5 \pm 0.01 | 50 \pm 1 |
| 17 | سمك | 11.4 \pm 0.5 | 0.04 \pm 0.01 | 307 \pm 84 |
| | | 7.1 \pm 0.04 | 1.0 \pm 0.1 | 6.5 \pm 0.1 |
| | | 2.5 \pm 0.2 | 0.5 \pm 0.03 | 5.3 \pm 0.5 |
| | | 1.8 \pm 0.3 | 0.6 \pm 0.05 | 3.1 \pm 0.3 |
| 20 | سمك | 2.5 \pm 0.2 | 0.5 \pm 0.03 | 5.3 \pm 0.5 |
| | | 27.0 \pm 0.3 | 1.1 \pm 0.1 | 24 \pm 3 |
| | | 7.5 \pm 0.1 | 0.5 \pm 0.2 | 15 \pm 5 |
| | | 7.3 \pm 0.1 | 1.5 \pm 0.1 | 5 \pm 0.3 |
| 17 | سرطان | 26.3 \pm 0.3 | 1.0 \pm 0.02 | 27 \pm 0.6 |
| | | 20.1 \pm 0.04 | 3.2 \pm 0.2 | 6.3 \pm 0.3 |
| | | 11.0 \pm 0.7 | 0.6 \pm 0.1 | 20 \pm 3 |
| | | 23.0 \pm 0.05 | 0.5 \pm 0.01 | 50 \pm 1 |
| 20 | سمك | 11.4 \pm 0.5 | 0.04 \pm 0.01 | 307 \pm 84 |
| | | 7.1 \pm 0.04 | 1.0 \pm 0.1 | 6.5 \pm 0.1 |
| | | 2.5 \pm 0.2 | 0.5 \pm 0.03 | 5.3 \pm 0.5 |
| | | 1.8 \pm 0.3 | 0.6 \pm 0.05 | 3.1 \pm 0.3 |

معنوية تعكس أثر الصناعة الفسفافية على البيئة البحرية للبحر الأيرلندي [الجدول 6]. ولهذا ينصح بعدم استخدام الأحياء البحرية كمشعرات لتأثير الصناعة الفسفافية على البيئة البحرية حيث تركز معظم الأحياء في أجسامها كل من البولونيوم 210 والرصاص 210.

ويستنتج من ذلك أن مياه البحر والرسوبيات هي العينات الرئيسية التي يجب مراقبتها من أجل تلوث البيئة البحرية الناجم عن اطلاقات الصناعة الفسفافية بما فيها عمليات تحميل الفسفات الخام. ويفترض أن يكون الأثر الصحي الإشعاعي الناجم عن عمليات التحميل هو استنشاق غبار الفسفات وغاز الرادون ولا بد من تقدير التعرض الداخلي.

الاستنتاج

بينت نتائج تراكيز البولونيوم 210 والرصاص 210 في عينات البيئة البحرية القريبة من مرفأ طرطوس زيادة معنوية في النكليدات الطبيعية داخل منطقة المرفأ وبالاجته الشمالي، وتستخدم فقط تحاليل المياه السطحية والرسوبيات لتقدير أثر فعاليات تحميل الفسفات. هذا وأظهرت تحاليل الأحياء البحرية التي جمعت من المنطقة المتأثرة نتائج قابلة للمقارنة مع مناطق أخرى وأنه غير مجدي استخدامها كمشعرات بيولوجية.

REFERENCES

المراجع

- [1] Al-Masri, M.S., Ibrahim, S. & Al-Shamali, K. (1999). Tartous port pollution by trace metals resulting from phosphates loading activities, Atomic Energy Commission of Syria, AECS-PR/RRE 62.
- [2] Barisic, D., Lulic, S. & Milatic, P. (1992) Radium and uranium in phosphate fertilizers and their impact on the radioactivity of water. Water Research, 26. 607- 611.
- [3] Carvalho, F. P. (1995) ^{210}Pb and ^{210}Po in sediments and suspended matter in Tagus estuaries Portugal, local enhancement of natural levels by wastes from phosphate ore processing industry, Science of the Total Environ. 159, 201-214.
- [4] Dalegaard, H. (1996). Polonium-210 in mussels and fish from the Baltic-North Sea estuary. Journal of Environmental Radioactivity, 32, 91-96.
- [5] Hamam, H. & Landsberger, S. (1994). Studies of radioactivity and heavy metals in phosphate fertilizer. Journal of Radioanalytical Nucl. Chem. 194, 331-336.
- [6] Marovic, G. & Sencar, J. (1995). ^{226}Ra and possible water contamination due to phosphate fertilizer production, Journal of Radioanalytical Nuclear Chem. 200, 9-18.
- [7] Martinez, A. & Garcia, L. M. (1996). Anthropogenic emissions of ^{210}Po , ^{210}Pb , ^{226}Ra in an estuarine environment, Journal of Radioanalytical Nuclear Chem. 207, 357-367.

- [8] McCartney, M., Kershaw, P. J., Allingtu, D. J., Young, A. K., & Turner, D. (1992). Industrial sources of naturally occurring radionuclides in the eastern Irish Sea. Journal of Radioanalytical Protection and Dosimetry, 45, 711-714.
- [9] McDonald, P., Cook, G. T. & Baxter M. S. (1991). Natural and artificial radioactivity in coastal regions of the UK. In P. J. Kershaw & D. S. Woodhead (Eds). Radionuclides in the study of marine processes, London: Elsevier Applied Science, (pp. 329-339).
- [10] Rutherford, P. M., Dudas, M. J. & Samek, R. A. (1994) Environmental impacts of phosphogypsum, Science of the Total Environ, 149, 1-38.
- [11] Timmrmanas, C. W. & Van der Steen, J. (1996). Environmental and occupational impacts of natural radioactivity from some non-nuclear industries in the Netherlands. Journal of Environmental Radioactivity, 32, 97-104.
- [12] Al-Masri, M.S., Mamish, S. Budeir Y. & Nashwati, A. (2000). ^{210}Pb and ^{210}Po concentrations in fish consumed in Syria Journal of Environmental Radioactivity 49, 34-352.
- [13] Othman, I., Al-Hushari, M. & Raja, G. (1992) Radiation exposure levels in phosphate mining activities, Radiation Protection Dosimetry, 45, 197 - 201.
- [14] Al-Masri, M.S., Al-Kharfa, K., Khaleli, H., Al-Haleem, M.A. & Al-Hares, Z. (2000). Determination of natural radionuclides in air particulates and soil near phosphate

- mines and its port, Atomic Energy Commission of Syria, AECS-PR/RSS 322.
- [15] Othman, I.; Yassine, T. & Bhat, I. (1994b). Measurements of some radionuclides in the marine coastal environment of Syria. *Science Total Environ.* 153, 57-60.
- [16] Othman, I. & Mamish, S. (1994a). Radioactivity in marine sediment of the east coast of the Mediterranean Sea. *Proceedings of the Radiation Protection 70, Rome European Nuclear Energy Agency 17-19 May.*
- [17] Harley, J.H. (1978). *Manual of standard procedures, Environmental Measurement Laboratory, USAEC Report HASL-300. New York. Department of Energy.*
- [18] Flynn, W.W. (1968). The determination of low levels of polonium-210 in environmental materials. *Anal. Chem.* 43, 221-227.
- [19] McDonald, P., Baxter, M. S. & Scott E. M. (1996). Technological enhancement of natural radionuclides in the marine environment, *Journal of Environmental Radioactivity.* 32, 67-90.
- [20] Parfenov, Yu. D.(1974). Polonium-210 in the environment and in the human organism. *Atomic Energy Review.*1, 75-143.
- [21] Robbins, J. & Edgington, D. N., (1975). Determination of recent sedimentation rates in lake Michigan using ^{210}Pb and ^{137}Cs , *Geochemi Cosmochim. Acta*, 39, 285-301.
- [22] Skwarzec, B. (1997), Polonium, uranium and plutonium in the Southern Baltic Sea, *Ambio*, 26, 113-117.
- [23] Stepnowski, P., Skwarzec, B. (2000), A comparison of ^{210}Po accumulation in mussels from Southern Baltic, the coast of Spitsbergen and Lasek Wielki Lake in Poland, *Journal of Environmental Radioactivity*, 49, 201-208. ■



تثبيت الآزوت الجوي في الحمص : تأثير الهيدروكينون كمثبط لليوريز على ثبات الإغناء بالنظير ^{15}N *

د. فواز كرد علي

قسم الزراعة، هيئة الطاقة الذرية، ص. ب. 6091، دمشق - سورية

ملخص

أجريت تجربة أصص بهدف دراسة تأثير تسميد نبات الحمص بسماد اليوريا الموسوم بالنظير ^{15}N منفرداً أو بإضافة الهيدروكينون كمثبط لأنزيم اليوريز إلى سماد اليوريا أو التسميد بمادة نباتية موسومة بالنظير ^{15}N ، على ثبات الإغناء بالآزوت 15 في أزوت التربة المتاح. استعملت طريقة التخفيف النظيري لقياس كفاءة تثبيت الآزوت الجوي وذلك بزراعة طراز وراثي من الحمص - الذي يتصف بعدم قدرته على تشكيل عقد جذرية - بصفة نبات مرجعي.

أدت إضافة الهيدروكينون إلى اليوريا أو إضافة المادة العضوية الموسومة إلى الحصول على ثبات في قيم ^{15}N لأزوت التربة المتاح مقارنة مع الإضافة المنفردة لليوريا وذلك في المراحل المختلفة من النمو. لم تتأثر الكفاءة التثبيتية للآزوت الجوي نتيجة اتباع الطرائق المختلفة من إضافة الأسمدة الموسومة. إن تمتع الحمص بكفاءة تثبيتية عالية للآزوت الجوي من جهة، واستعمال نبات مرجعي مناسب من حيث طبيعة امتصاص الآزوت من جهة أخرى، قد أدى إلى التغلب على الأخطاء الكامنة في حساب كفاءة تثبيت الآزوت الجوي وذلك عند حدوث انخفاض في قيم الإغناء بالآزوت 15. من ناحية أخرى، أدت إضافة الهيدروكينون إلى اليوريا إلى الحصول على ارتفاع معنوي في كفاءة استخدام السماد مقارنة مع الإضافة المنفردة لليوريا.

الكلمات المفتاحية: تثبيت الآزوت الجوي - الحمص - يوريا - هيدروكينون - ^{15}N .

المقدمة

تسهم هذه الطرائق في تقليص خطأ حساب كفاءة تثبيت الآزوت الجوي؛ ولكن، حسب رأي Witty [4] يبقى تطبيق هذه الطرائق أمراً غير ممكن دوماً.

تضاف الأسمدة الآزوتية الموسومة، عموماً، بأشكال مختلفة، بحيث تحتوي إما على جذر NH_4^+ أو جذر NO_3^- أو يوريا. وتعتبر اليوريا من الأسمدة الواسعة الانتشار، والمستعملة كمادة تعليم في دراسات تثبيت الآزوت الجوي. وقد أظهرت الدراسات أن اليوريا تتحلل سريعاً في التربة بوجود أنزيم اليوريز Urease حيث تتحرر الأمونيا التي يُفقد قسم منها بالتطاير Volatilization، وخاصة في الظروف الجافة. لقد قام بعض الباحثين بإضافة مواد مثبطة لأنزيم اليوريز إلى اليوريا في دراسات عن التسميد الآزوتي [8، 9]، حيث تسهم هذه المواد في تنظيم حلمة اليوريا، وبالتالي تقليل فقد آزوتها الأمونياكي عن طريق التطاير. ويُعدّ الهيدروكينون واحداً من المركبات المثبطة لليوريز والمستعمل في العديد من التجارب [8، 9، 10]. ومن الجدير ذكره عدم توفر معلومات حول استعمال مثبطات اليوريز في دراسات تثبيت الآزوت الجوي عند استعمال اليوريا كسماد موسوم. ويعالج هذا العمل، لأول مرة، استعمال الهيدروكينون مع اليوريا في دراسة قياس كفاءة تثبيت الآزوت الجوي في الحمص خلال مراحل مختلفة من النمو، وذلك في تجربة أصص. وتتنحصر أهداف هذه التجربة في النقاط التالية:

تُستعمل تقنية التمديد النظيري للآزوت 15، ^{15}N isotope dilution technique بشكل واسع لتقدير كفاءة التثبيت الحيوي للآزوت الجوي في النباتات البقولية. وتعتمد هذه التقنية على الاختلافات في التركيب النظيري لمصادر الآزوت المتاحة لنمو النباتات كالتربة والسماد والآزوت الجوي [1، 2] يمكن أن تنشأ هذه الاختلافات من الآزوت 15 الطبيعي في التربة ومن جراء إضافة الأسمدة المغناة أو المستفدة بالنظير ^{15}N [3].

تؤدي عادة إضافة الأسمدة الموسومة بالآزوت 15 للتربة إلى إغناء أولي مرتفع في أزوت المتاح والذي يتناقص تدريجياً مع الزمن. وقد ينجم هذا الانخفاض عن امتصاص النبات للآزوت و عن عمليات فقْدٍ أخرى لآزوت التربة المتاح والمترافقة مع التمديد بالآزوت الناجم عن معدنة الآزوت العضوي، حيث يسبب ذلك أخطاءً في قياس كفاءة تثبيت الآزوت الجوي [4]. وللحصول على ثبات في قيم الإغناء بالآزوت 15 القابل للإفادة خلال نمو النباتات، أثبتت طرائق مختلفة من الإضافات السمادية بهدف تقليص مثل هذه الأخطاء. ويتضمن ذلك إضافة الآزوت 15 إلى التربة بأشكال تتصف بإتاحتها البطيئة للنباتات، كإضافة مواد عضوية تحوي على ^{15}N مثلاً [5، 6]، أو إضافة الأسمدة مع مصدر من الكربون [7] أو إجراء إضافات متكررة من الأسمدة الموسومة، حيث

Fried and Middelboe. خضعت البيانات المستحصل عليها إلى تحليل إحصائي وجرى تبيان الفروق بين متوسطات المعاملات المختلفة بحساب أقل فرق معنوي (L. S. D.) على مستوى ثقة 0.05.

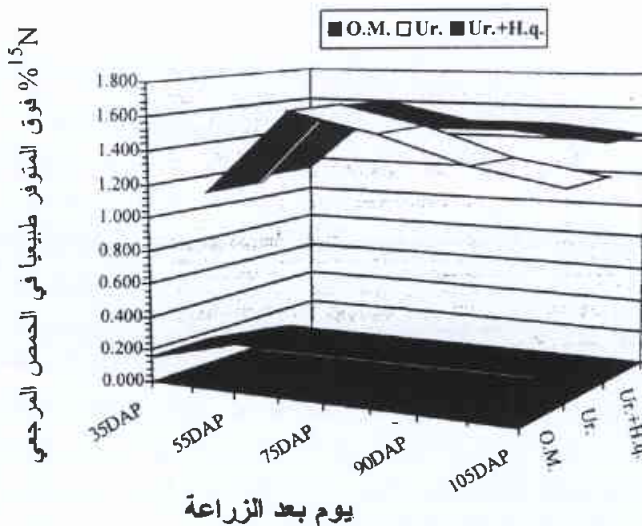
النتائج

ديناميكية الإغناء بالأزوت 15 في أزوت التربة المتاح

حدد مستوى الإغناء بـ ^{15}N في أزوت التربة المتاح في النبات المرجعي، وذلك اعتماداً على مبدأ طريقة التخفيف النظري التي تستعمل، عادةً، لحساب كفاءة التثبيت الحيوي للأزوت الجوي. ويتضح من الشكل 1 انخفاض النسب المئوية للأزوت ^{15}N فوق المتوفر طبيعياً بدءاً من المرحلة (75 يوماً بعد الزراعة) وذلك في المعاملة التي أضيف إليها اليوريا فقط (Ur.)، في حين كان مستوى الإغناء بالأزوت 15 أكثر نباتاً مع الزمن في كل من معاملة اليوريا + الهيدروكينون (Ur. + H.q) والمعاملة التي استعملت فيها المادة العضوية الموسومة (OM).

إنتاج المادة الجافة والأزوت الكلي

بيّن الجدولان 1 و 2 إنتاج المادة الجافة والأزوت الكلي في النباتات النامية في تربة أضيف لها يوريا موسومة، و يوريا موسومة مع هيدروكينون، وبقايا نباتية موسومة، وذلك في سلالتين الحمص المثبتة و غير المثبتة للأزوت الجوي، على التوالي. ويتضح من الجدولين المذكورين أنفاً ازدياد إنتاج المادة الجافة والأزوت الكلي في المعاملات كافة مع تقدم النباتات في العمر. كان إنتاج المادة الجافة في الحمص المثبت في معاملة اليوريا فقط أكثر ارتفاعاً (بسوية طفيفة) منه في المعاملات الأخرى، في حين لم تلاحظ فروق معنوية في قيم الأزوت الكلي، وذلك بعد 105 أيام من الزراعة (الجدول 1). وبالنسبة للنباتات المرجعية فقد تبيّن عدم وجود فروق معنوية في قيم إنتاج المادة الجافة والأزوت الكلي وتراكيز الأزوت بين المعاملات المختلفة في مراحل النمو المدروسة كافة (الجدول 2).



يوم بعد الزراعة

الشكل 1- ^{15}N % فوق المتوفر طبيعياً في الحمص المرجعي نتيجة إضافة اليوريا (Ur.)، واليوريا مع الهيدروكينون (Ur. + H.q)، ومادة عضوية (OM) موسومة وذلك في مراحل مختلفة من النمو.

1 - تقييم إضافة الهيدروكينون إلى اليوريا، ومعرفة تأثير هذه الإضافة على ثبات الإغناء بالأزوت 15 في أزوت التربة المتاح مع الزمن.

2 - مقارنة إضافة الهيدروكينون إلى اليوريا مع إضافة اليوريا فقط ومع إضافة بقايا نباتية موسومة ناجمة من تجربة سابقة.

3 - تحديد كفاءة استعمال السماد الأزوتي في المعاملات المختلفة.

4 - قياس الأزوت الجوي المثبت في الحمص Cicer arietinum L. الذي يتصف عادة بكفاءة تثبيتية عالية في الظروف الحقلية [11].

المواد والطرائق

أجريت التجربة في أصص مملوءة بتربة مجمّعت من محطة البحوث الزراعية في جليلن الواقعة جنوب سورية. وقد تمّ عرض أهم المواصفات الفيزيائية والكيميائية للتربة في بحث سابق [12]. لقد تبيّن - في دراسة سابقة - أن التربة المستعملة حوت عدداً كبيراً من الريزوبيا المستوطنة بالتربة، وأن نباتات الحمص المزروعة في هذه التربة حملت عقداً وفيرة على جذورها [11].

ملئ كل أصيص بـ 2 كغ تربة منخولة (2 مم) وزرع ستون أصيصاً بالحمص الشتوي (صنف ILC 482) وستون أصيصاً بسلالة من الحمص الهندي غير مثبت للأزوت الجوي بصفة نبات مرجعي (PM - 233 - إيكاردا). وبعد الإنبات تمّ إبقاء نبات واحد في كل أصيص ثم أضيفت الأسمدة الموسومة بمعدل 22 مغ N في الأصيص الواحد (20 كغ N / هـ) باستعمال المعاملات الثلاثة التالية:

1 - أربعون أصيصاً (20 حمص مثبت و 20 حمص غير مثبت) أضيف إليها يوريا موسومة بنسبة إغناء قدرها 9.6337 ذرة ^{15}N فوق الحد الطبيعي.

2 - أربعون أصيصاً (20 حمص مثبت و 20 حمص غير مثبت) أضيف إليها يوريا موسومة بنسبة إغناء قدرها 9.6337 ذرة ^{15}N فوق الحد الطبيعي مع هيدروكينون بنسبة 10%.

3 - أربعون أصيصاً (20 حمص مثبت و 20 حمص غير مثبت) أضيف إليها أزوت عضوي موسوم من بقايا نباتية لمحصول القمح استحصل عليها من تجربة سابقة، تحوي على الأزوت بنسبة = 1.35% و موسومة بنسبة إغناء قدرها 4.0037 ذرة ^{15}N فوق الحد الطبيعي.

جرى ترتيب المعاملات وفق تصميم القطاعات العشوائية الكاملة بأربعة مكررات. ووضعت النباتات ضمن ظروف مناخية طبيعية ورويت حسب الحاجة. تمّ حصاد المجموع الخضري للنباتات في مواعيد مختلفة بعد الزراعة (35، 55، 75، 90، و 105 يوم بعد الزراعة DAP). جففت العتبات على درجة حرارة 70 درجة مئوية لمدة 72 ساعة، وقُدّر الوزن الجاف لها. طُحنت العتبات فيما بعد وقُدّر محتواها من الأزوت الكلي وفق طريقة كلداهل، ثم قيست نسب $^{15}\text{N} / ^{14}\text{N}$ في العينات باستعمال جهاز مطياف الإصدار الضوئي في (Emission Spectrometer, Jasco - 150, Japan). وجرى تقدير النسب المئوية للأزوت الجوي المثبت $\% \text{Ndff}$ باستعمال معادلة [2]

الجدول 1- إنتاج المادة الجافة (غ/أصيص) والآزوت الكلي (مغ N/أصيص) في الحمص المزروع في تربة أُضيف لها اليوريا، واليوريا مع الهيدروكينون (Urea + H.q)، ومادة عضوية (OM) موسومة، بعد أيام مختلفة من الزراعة (DAP).

| المعاملة | المادة الجافة (غ/أصيص) | | | | |
|----------|------------------------|-------|-------|-------|--------|
| | DAP | | | | |
| | 35 | 55 | 75 | 90 | 105 |
| Urea | 0.54b* | 1.18a | 2.65a | 3.38a | 3.90a |
| Urea+Hq. | 0.57ab | 1.20a | 2.63a | 3.50a | 3.87ab |
| O.M | 0.60a | 1.23a | 2.45b | 3.53a | 3.68b |

| المعاملة | الآزوت الكلي (مغ N/أصيص) | | | | |
|----------|--------------------------|--------|--------|---------|---------|
| | DAP | | | | |
| | 35 | 55 | 75 | 90 | 105 |
| Urea | 31.96a | 49.85a | 92.18a | 126.25b | 154.45a |
| Urea+Hq. | 33.68a | 50.59a | 93.45a | 133.93a | 153.24a |
| O.M | 34.85a | 53.95a | 90.70a | 133.26a | 147.05a |

* المتوسطات المشار إليها بأحرف متشابهة ضمن عمود واحد لا تختلف معنوياً على مستوى ثقة = 0.05.

الجدول 2- إنتاج المادة الجافة (غ/أصيص) والآزوت الكلي (مغ N/أصيص) في الحمص المرجعي غير المثبت للآزوت الجوي المزروع في تربة أُضيف لها اليوريا، واليوريا مع الهيدروكينون (Urea + H.q)، ومادة عضوية OM موسومة، بعد أيام مختلفة من الزراعة (DAP).

| المعاملة | المادة الجافة (غ/أصيص) | | | | |
|----------|------------------------|-------|-------|-------|-------|
| | DAP | | | | |
| | 35 | 55 | 75 | 90 | 105 |
| Urea | 0.35a | 0.90a | 2.23a | 3.15a | 3.73a |
| Urea+Hq. | 0.32a | 0.85a | 2.33a | 3.03a | 3.73a |
| O.M | 0.35a | 0.80a | 2.15a | 3.08a | 3.64a |

| المعاملة | الآزوت الكلي (مغ N/أصيص) | | | | |
|----------|--------------------------|--------|-------------|---------|---------|
| | DAP | | | | |
| | 35 | 55 | 75 | 90 | 105 |
| Urea | 21.86a | 42.19a | 98.28a | 119.42a | 124.75a |
| Urea+Hq. | 19.52a | 39.47a | 97.78a | 122.09a | 130.81a |
| O.M | 21.42a | 37.90a | 91.09±8.18a | 121.83a | 126.25a |

* المتوسطات المشار إليها بأحرف متشابهة ضمن عمود واحد لا تختلف معنوياً على مستوى ثقة = 0.05.

مقارنة مع المعاملات الأخرى في المراحل كافة، بينما كانت النسب المثوية للآزوت الممتص من السماد %Ndff أقل. لقد أدت إضافة الهيدروكينون إلى اليوريا إلى زيادة معنوية في نسب الآزوت الممتص من السماد بعد 90 و 105 يوم من الزراعة، وذلك مقارنة بالمعاملة التي استخدمت فيها اليوريا فقط. ويبيّن الجدول 4 الاتجاه ذاته فيما يتعلق بكميات الآزوت الممتصة من التربة ومن السماد.

كانت كميات الآزوت الممتصة من التربة Ndfs عموماً، مرتفعة في معاملة المادة العضوية مقارنة مع المعاملات الأخرى، في حين كانت كميات الآزوت الممتصة من السماد Ndff أقل ارتفاعاً. لم تختلف معنوياً كميات الآزوت الجوي المثبت بين معاملة اليوريا (90 مغ N/أصيص) ومعاملة اليوريا مع الهيدروكينون (92 مغ N/أصيص)، وذلك بعد 105 أيام من الزراعة. ولم تؤثر إضافة المادة العضوية في كمية الآزوت الجوي المثبت لدى المقارنة بمعاملة اليوريا، في حين كانت هناك زيادة طفيفة في الآزوت الجوي المثبت عند المقارنة مع معاملة اليوريا مع الهيدروكينون (الجدول 4).

مصادر الآزوت في نباتات الحمص المثبتة للآزوت الجوي

يبين الجدول 3 النسب المثوية للآزوت المثبت من الجو (%Ndfa)، والممتص من التربة (%Ndfs) ومن السماد (%Ndff). لوحظ وجود زيادة طفيفة ولكنها معنوية، في قيم %Ndfa وذلك في معاملة اليوريا مع الهيدروكينون مقارنة مع معاملة المادة العضوية الموسومة بعد 55 و 75 يوماً من الزراعة.

بلغت النسب المثوية للآزوت المثبت من الجو %Ndfa في نهاية التجربة (105 DAP) 58.1% و 60% و 58.34% في معاملات اليوريا، و اليوريا + الهيدروكينون، والمادة العضوية، على التوالي. وعلى الرغم من الزيادة المعنوية في قيمة %Ndfa في معاملة اليوريا مع الهيدروكينون بالمقارنة مع اليوريا المنفردة إلا أن هذه الزيادة قليلة جداً من حيث تحسين كفاءة تثبيت الآزوت الجوي. يلاحظ من الجدول ذاته ازدياد قيم الآزوت المثبت من الجو (%Ndfa) مع تقدم النبات بالعمر، وذلك بعكس قيم الآزوت الممتص من التربة (%Ndfs). لقد أدت إضافة المادة العضوية الموسومة إلى زيادة في النسب المثوية للآزوت الممتص من التربة %Ndfs

الجدول 3- النسب المثوية للآزوت المثبت من الجو (%Ndfa) والممتص من التربة (%Ndfs) ومن السماد (%Ndff) في الحمص المزروع في تربة أضيف لها اليوريا، واليوريا مع الهيدروكينون (Urea+H.q)، ومادة عضوية (OM) موسومة ، بعد أيام مختلفة من الزراعة (DAP).

| المعاملة | DAP | | | | |
|----------|--------|--------|---------|--------|---------|
| | 35DAP | 55DAP | 75DAP | 90DAP | 105DAP |
| Urea | 34.40a | 41.28a | 45.18ab | 54.94a | 58.10b |
| Urea+Hq. | 37.34a | 39.45a | 46.22a | 55.81a | 60.00a |
| O.M | 35.38a | 34.74b | 44.53b | 55.52a | 58.34ab |
| | %Ndfs | | | | |
| المعاملة | 35 | 55 | 75 | 90 | 105 |
| Urea | 58.08b | 48.91b | 46.31b | 38.85b | 36.54b |
| Urea+Hq. | 55.28b | 50.51b | 45.48b | 37.35b | 34.05±c |
| O.M | 62.08a | 60.49a | 51.59a | 41.34a | 38.85a |
| | %Ndff | | | | |
| المعاملة | 35 | 55 | 75 | 90 | 105 |
| Urea | 7.51a | 9.81a | 8.51a | 6.21b | 5.36b |
| Urea+Hq. | 7.38a | 10.04a | 8.29a | 6.83a | 5.95a |
| O.M | 2.53b | 4.77b | 3.88b | 3.13c | 2.81c |

• المتوسطات المشار إليها بأحرف متشابهة ضمن عمود واحد لا تختلف معنوياً على مستوى ثقة = 0.05.

الجدول 4- كميات الآزوت (مع N / أصيص) المثبتة من الجو (Ndfa) والممتصة من التربة (Ndfs) ومن السماد (Ndff) في الحمص المثبت للآزوت الجوي المزروع في تربة أضيف لها اليوريا، واليوريا مع الهيدروكينون (Urea+H.q)، ومادة عضوية (OM) موسومة ، بعد أيام مختلفة من الزراعة (DAP).

| المعاملة | DAP | | | | |
|----------|--------|--------|--------|---------|---------|
| | 35 | 55 | 75 | 90 | 105 |
| Urea | 10.99a | 20.60a | 41.63a | 69.38b | 89.74ab |
| Urea+Hq. | 12.57a | 19.95a | 43.23a | 74.75a | 91.87a |
| O.M | 12.35a | 18.75a | 40.37a | 73.99ab | 85.80b |
| | Ndfs | | | | |
| المعاملة | 35 | 55 | 75 | 90 | 105 |
| Urea | 18.56b | 24.36b | 42.69a | 49.03b | 56.44ab |
| Urea+Hq. | 18.26b | 25.56b | 42.47a | 50.03b | 52.24b |
| O.M | 21.62a | 32.62a | 46.81a | 55.09a | 57.12a |
| | Ndff | | | | |
| المعاملة | 35 | 55 | 75 | 90 | 105 |
| Urea | 2.39a | 4.88a | 7.84a | 7.84b | 8.27b |
| Urea+Hq. | 2.49a | 5.08a | 7.75a | 9.16a | 9.12a |
| O.M | 0.88b | 2.57b | 3.52b | 4.17c | 4.13c |

• المتوسطات المشار إليها بأحرف متشابهة ضمن عمود واحد لا تختلف معنوياً على مستوى ثقة = 0.05.

العضوية أعلى معنوياً من المعاملات الأخرى، وكان منحى كميات الآزوت الممتصة من التربة مماثلاً.

النسب المثوية لكفاءة استعمال السماد

يبين الشكل 2 كفاءة استعمال السماد في المعاملات المدروسة كافة. يلاحظ من هذا الشكل أن قيم كفاءة استعمال السماد كانت أكثر ارتفاعاً في المعاملتين (اليوريا، و اليوريا + الهيدروكينون) من القيم المتحصل عليها جراء إضافة المادة العضوية الموسومة. من ناحية أخرى، أدت إضافة

مصادر الآزوت في نباتات الحمص غير المثبتة للآزوت الجوي

يظهر الجدول 5 النسب المثوية وكميات الآزوت الممتصة من التربة Ndfs ومن السماد Ndff في نبات الحمص المرجعي، حيث يلاحظ ازدياد واضح في هذه القيم مع تقدم النبات في العمر. كانت النسب المثوية وكميات الآزوت الممتصة من السماد أعلى معنوياً في معاملة اليوريا مع الهيدروكينون مقارنة مع المعاملات الأخرى وذلك في المرحلتين الأخيرتين من النمو (90 و 105 يوم بعد الزراعة). كانت %Ndfs في معاملة المادة

الجدول 5- النسب المئوية % وكميات الأزوت (مغ /N أصيص) الممتصة من التربة (Ndfs) ومن السماد (Ndff) في الحمص المرجعي غير المثبت للأزوت الجوي المزروع في تربة أضيف لها اليوريا، واليوريا مع الهيدروكينون (Urea + H.q)، ومادة عضوية (OM) موسومة، بعد أيام مختلفة من الزراعة (DAP).

| المعاملة | DAP | | | | |
|-----------|--------|---------|--------|---------|----------|
| | 35 | 55 | 75 | 90 | 105 |
| Urea | 11.31a | 16.7a | 15.52a | 13.79b | 12.81b |
| Urea+Hq. | 11.78a | 16.59a | 15.42a | 15.47a | 14.86a |
| O.M | 3.92b | 7.13b | 7.00b | 7.05c | 6.75c |
| كمية Ndff | | | | | |
| المعاملة | 35 | 55 | 75 | 90 | 105 |
| Urea | 2.50a | 7.05a | 15.23a | 16.46b | 15.97b |
| Urea+Hq. | 2.30a | 6.55a | 15.09a | 18.88a | 19.44a |
| O.M | 0.84b | 2.76b | 6.34b | 8.59c | 8.53c |
| %Ndfs | | | | | |
| المعاملة | 35 | 55 | 75 | 90 | 105 |
| Urea | 88.56b | 83.3b | 84.47b | 86.21b | 87.19b |
| Urea+Hq. | 88.22b | 83.41b | 84.58b | 84.53c | 85.14c |
| O.M | 96.08a | 92.69a | 93.00a | 92.96a | 93.25a |
| كمية Ndfs | | | | | |
| المعاملة | 35 | 55 | 75 | 90 | 105 |
| Urea | 19.35a | 35.15a | 83.04a | 102.96b | 108.77b |
| Urea+Hq. | 17.23a | 32.92a | 82.70a | 103.20b | 111.36ab |
| O.M | 20.58a | 35.39±a | 84.75a | 113.23a | 117.81a |

• المتوسطات المشار إليها بأحرف متشابهة ضمن عمود واحد لا تختلف معنوياً على مستوى ثقة = 0.05.

تثبيت الأزوت الجوي [4]. وفي هذه الدراسة تبين أن كميات الأزوت الممتصة من التربة في بداية النمو (35 يوماً من الزراعة) كانت متماثلة بين الحمص المثبت والحمص غير المثبت (الجدولان 4 و 5)؛ وهذا يشير إلى عدم اختلاف في طبيعة امتصاص الأزوت بين المحصولين. وبعد هذه المرحلة، ازدادت كميات الأزوت الممتصة من التربة تدريجياً في المحصول المرجعي (الجدول 5)، مقارنة مع المحصول المثبت، جراء عملية تثبيت الأزوت الجوي، التي ازدادت ارتفاعاً مع تقدم النباتات بالمرحلة. لذلك تشير هذه النتيجة إلى أن المحصول المرجعي المستعمل في هذه التجربة كان مناسباً لتقدير كفاءة تثبيت الأزوت الجوي في الحمص.

لقد بين Papastilianou و Danso [5] أن إضافة المواد العضوية الموسومة بالنظير ^{15}N تؤدي إلى الحصول على نتائج أكثر صحة من جراء إضافة الأزوت المعدني بسبب تقليص معدل الانخفاض في مستوى الإغناء بالأزوت 15 في أزوت التربة المتاح مع الزمن. وقد أظهرت هذه الدراسة أن كمية الأزوت الجوي المثبتة في الفترة الكاملة للتجربة (105 أيام) لم تختلف بين معاملة اليوريا لوحدها ومعاملة المادة العضوية. علاوة على ذلك، ورغم الحصول على ثبات في مستوى الإغناء بالأزوت 15 في أزوت التربة المتاح مع الزمن نتيجة إضافة الهيدروكينون متارنة مع اليوريا المنفردة إلا أن الفرق في كميات الأزوت الجوي المثبتة بين هاتين المعاملتين لم يكن معنوياً.

الهيدروكينون إلى اليوريا لزيادة معنوية في كفاءة استعمال السماد بالمقارنة مع اليوريا لوحدها وقد بلغت هذه الزيادة 16.7 و 10% في المحصول المثبت وحوالي 15 و 23 في المحصول المرجعي، وذلك في المرحلتين 90 و 105 يوم بعد الزراعة على التوالي.

المناقشة

تعدّ تقنية الموسم بالأزوت 15 من أكثر التقنيات أهمية في تجارب التمديد النظري المصممة لتقدير كفاءة تثبيت الأزوت الجوي [13]. أكدت الأبحاث السابقة أن أفضل الظروف لاستعمال تقانة الأزوت 15 هي تلك التي يتحقق فيها ثبات في قيم ^{15}N في أزوت التربة المتاح مع الزمن [4]. لوحظ في هذه التجربة انخفاض في ^{15}N في أزوت التربة المتاح عند إضافة اليوريا منفردة بعد 90 يوماً من الزراعة والذي استمر حتى نهاية التجربة (105 أيام بعد الزراعة)، في حين أدت إضافة الهيدروكينون إلى اليوريا إلى الحصول على منحى أكثر ثباتاً في هذه القيم، وازى نوعاً ما منحى قيم المعاملة التي استعملت فيها المادة العضوية الموسومة (الشكل 1). لقد بين Witty [4] أن انخفاض الإغناء بالنظير ^{15}N في أزوت التربة المتاح مع الزمن، واختلاف طبيعة امتصاص أزوت التربة بين النبات المثبت والنبات غير المثبت، يمكن أن يؤدي إلى أخطاء في حساب كفاءة تثبيت الأزوت الجوي. فللحصول على نبات مرجعي مناسب، يجب أن يبدأ المحصولان امتصاص أزوت الترب بوقت واحد وكميات ماثلة قبل بدء

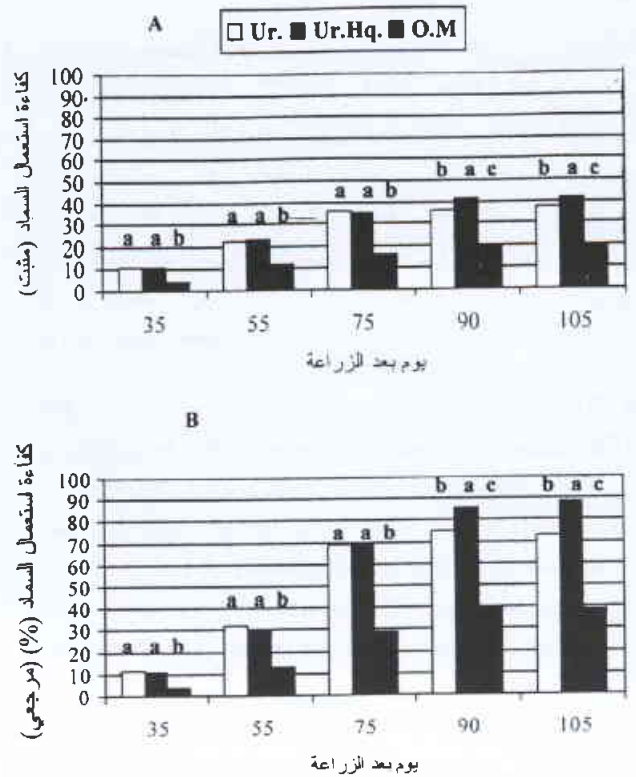
عكس الترتجأة Denitrification مما سبب خطأ في قياس كفاءة تثبيت الآزوت الجوي في نبات Navy bean عند استعمال طريقة القيمة A. كما يبيّن Chalk [3] وجود مثل هذا الخطأ عند إضافة اليوريا متساوية من الآزوت - في هذه التجربة - إلى كل من المحصول المثبت والمحصول المرجعي (طريقة التمديد النظيري)، فإن أي فقد متوقع للآزوت سيكون متساوياً.

لم يتأثر محتوى النباتات المثبتة وغير المثبتة من الآزوت - في أغلب الحالات - باختلاف المعاملات السمادية، على الرغم من اختلاف نسب وكميات الآزوت الممتصة من السماد. كانت قيم Ndff في معاملة اليوريا مع الهيدروكينون أعلى معنوياً من تلك في المعاملات الأخرى وذلك بعد 90 و 105 يوم من الزراعة (الجدولان 3 و 5). في حين كانت نسب وكميات Ndff في معاملة المادة العضوية أخفض من معاملة اليوريا ومعاملة اليوريا مع الهيدروكينون. غير أن كمية الآزوت الممتصة من التربة في معاملة المادة العضوية كانت - في أغلب الحالات - أكثر ارتفاعاً. أدت زيادة كمية الآزوت الممتصة من التربة وانخفاض كمية الآزوت الممتصة من السماد في معاملة المادة العضوية إلى عدم الحصول على فروق معنوية في قيم الآزوت الكلي بين المعاملات في كلا المحصولين خلال المراحل المختلفة من النمو (الجدولان 1 و 2).

على الرغم من إضافة كميات متساوية من الآزوت من المصدر المعدني ومن المصدر العضوي، فقد تمّ الحصول على انخفاض واضح في نسب وكميات الآزوت الممتص من السماد نتيجة إضافة المادة العضوية الموسومة مقارنة مع الأسمدة المعدنية (الجدولان 3 و 4). وقد يعود منشأ هذا الانخفاض إلى بطء معدنة الآزوت العضوي والذي أدى - بالتالي - إلى انخفاض في كفاءة استعمال السماد من قبل النباتات في كل من المحصولين المدروسين اللذين خضعا إلى إضافة المادة النباتية الموسومة.

أدت إضافة الهيدروكينون إلى اليوريا لزيادة معنوية في كفاءة استعمال السماد بالمقارنة مع اليوريا لوحدها، وبلغت هذه الزيادة 16.7% و 10% في المحصول المثبت وفي حدود 15% و 23% في المحصول المرجعي، وذلك في المرحلتين 90 و 105 يوم بعد الزراعة على التوالي. وقد تكون هذه الزيادة ناجمة، غالباً، عن انخفاض معدل فقد الأمونيا بالتطاير نظراً لوجود الهيدروكينون كمركب ميثيل أنزيم اليوريز [8، 9]. لذلك فإن إضافة الهيدروكينون إلى اليوريا أهمية زراعية من حيث زيادة كفاءة استعمال السماد.

هناك ميزتان هامتان لإضافة المخلفات النباتية الموسومة الناجمة من تجارب سابقة، حيث تكمن الميزة الأولى في تحقيق تحرر بطيء للنظير ^{15}N مع الزمن. في حين تكمن الميزة الثانية في إعادة الاستفادة من هذه المواد في تجارب أخرى، مخففة بالتالي الأعباء المالية التي تسببها الأسمدة المعدنية الموسومة. ونظراً لأن إضافة الهيدروكينون إلى اليوريا تؤدي أيضاً إلى تحرر بطيء للنظير ^{15}N مع الزمن، فإنه من المتوقع الحصول على فائدة من تطبيق هذه الطريقة في تجارب يستعمل فيها سماد يوريا منخفض الإغناء بالنظير ^{15}N مما يوفر، بالتالي، استعمال أسمدة يوريا مرتفعة الإغناء بالنظير ^{15}N ذات تكاليف أكثر ارتفاعاً.



الشكل 2- النسب المئوية لكفاءة استعمال السماد Fertilizer use efficiency في الحمص المثبت A وفي الحمص المرجعي B نتيجة إضافة اليوريا (Ur.) أو اليوريا مع الهيدروكينون (Ur.+Hq.) أو مادة عضوية (OM) موسومة في مراحل مختلفة من النمو.

كانت كفاءة تثبيت الآزوت الجوي في الحمص، المقدر في المعاملات المختلفة، مرتفعة على الرغم من الانخفاض الحاصل في نسبة $^{15}\text{N} / ^{14}\text{N}$ في آزوت التربة المتاح مع الزمن، لدى معاملة اليوريا المنفردة وذلك في الفترة التي تلت 75 يوماً من الزراعة. يمكن أن يكون ارتفاع الكفاءة التثبيتية للآزوت الجوي، سبباً إضافياً في تقليص الأخطاء المتعلقة بتقدير تثبيت الآزوت الجوي. فقد بيّن Danso [14] أن أخطاء قياس كفاءة تثبيت الآزوت الجوي الناجمة من اختلاف في طبيعة امتصاص آزوت التربة بين المحصول المثبت والمحصول المرجعي يمكن أن تكون طفيفة عند تمتع النظام التثبيتي بكفاءة مرتفعة في تثبيت الآزوت الجوي. وعملياً يمكن أن يؤدي ذلك إلى انخفاض أقل حدة في مستوى الإغناء بالآزوت 15 في آزوت التربة المتاح مع الزمن [4]. إن تمتع الحمص بكفاءة تثبيتية عالية للآزوت الجوي من جهة واستعمال نبات مرجعي مناسب من حيث طبيعة امتصاص الآزوت من جهة أخرى أدى إلى التغلب على الأخطاء الكامنة في حساب كفاءة تثبيت الآزوت الجوي وذلك عند حدوث انخفاض في قيم الإغناء بالآزوت 15.

يمكن أن يسبب فقد آزوت السماد أخطاءً في قياس الآزوت المثبت وخاصة عند توظيف طريقة القيمة A والتي يتم من خلالها إضافة كميات مختلفة من السماد الآزوتي إلى كل من المحصول المثبت والمرجعي، وبالتالي فإن معدل فقد الآزوت سيكون مختلفاً. فقد بيّنت نتائج Renie [15] وجود فقد في السماد الآزوتي $\text{Na}^{15}\text{NO}_3$ نتيجة عملية

الاستنتاجات

أن تكون طريقة مجددة للحصول على ثبات في قيم ^{15}N في آزوت التربة المتاح مع الزمن، وخاصة عند استعمال نبات مرجعي غير مناسب، حيث يتوقع، من تطبيق هذا الإجراء، تقليل الخطأ المحتمل حصوله في قياس تثبيت الأزوت الجوي. من ناحية أخرى، سببت إضافة الهيدروكينون إلى اليوريا الحصول على ارتفاع معنوي في كفاءة استخدام السماد مقارنة مع الإضافة المنفردة لليوريا. ومن المفيد، في تجارب قادمة، اختبار مركبات مختلفة من مثبطات اليوريا المتوفرة، وتحديد التراكيز المناسبة لاستخدامها في ظروف حقلية مختلفة.

يمكن الاستنتاج، اعتماداً على النتائج السابقة، أن استعمال الهيدروكينون مع اليوريا يؤدي إلى الحصول على ثبات جيد في قيم ^{15}N في آزوت التربة المتاح مع الزمن، بحيث يوازي الثبات المتحصل عليه جراء إضافة مادة عضوية موسومة. إذا كان سماد اليوريا الموسوم هو المتوفر والمستعمل لتقدير كفاءة التثبيت الحيوي للأزوت الجوي، عند توظيف طريقة التخفيف النظيري، فإن إضافة الهيدروكينون إلى هذا السماد يمكن

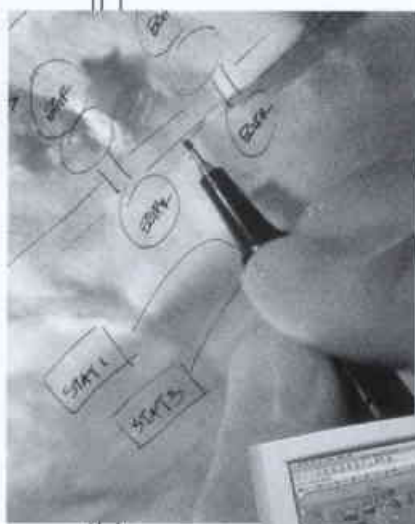
REFERENCES

المراجع

- [1] Bergersen, F. J. and G. L. Turner, 1983. An evaluation of ^{15}N methods for estimating nitrogen fixation in a subterranean clover - perennial ryegrass sward. Australian Journal of Agricultural Research. 34: 391 - 401.
- [2] Fried, M. and V. Middelboe, 1977. Measurements of amount of nitrogen fixed by a legume crop. Plant and Soil. 47: 713 - 715.
- [3] Chalk, P. M., 1985. Estimation of N_2 fixation by isotope dilution: an appraisal of techniques involving ^{15}N enrichment and their application. Soil Biol. Biochem. 17: 389 - 410.
- [4] Witty, J. G. 1983. Estimation N_2 -fixation in the field using ^{15}N -labelled fertilizer: some problems and solutions. Soil Biol. Biochem. 15: 631 - 639.
- [5] Papastylianou, I. and S. K. A. Danso, 1991. Nitrogen fixation and transfer in Vetch and Vetch - Oats mixture. Soil Biochem. 21: 447 - 452.
- [6] Witty, J. F. and K. Ritz, 1984. Slow-release ^{15}N fertilizer formulations to measure N_2 fixation by isotope dilution. Soil. Biol Biochem. 16: 657 - 661.
- [7] Legg, J. O. and C. Sloger 1975. A tracer method for determining symbiotic nitrogen fixation in field studies. In Proceedings of the Second International Conference on Stable Isotopes, Oak Brook, Illinois, pp. 661 - 666.
- [8] Rao, D. L. N., and S. K. Ghai, 1986. Urease inhibitors: effect on wheat growth in an alkali soil. Soil Biol. Biochem. 18: 255 - 258.
- [9] Xiaoyan, Z., Z. Lika, L. Ronghua, A. Guiru, and Z. Bo, 1993. Effect of hydroquinone on maize yield and urea efficiency. Soil Biol. Biochem. 25: 147 - 148.
- [10] Zhengping, W., O. V. Cleemput, and L. Baert, 1996. Movement of urea and its hydrolysis products as influenced by moisture content and urease inhibitors. Biol. Fertil. Soils 22: 101 - 108.
- [11] Kurdali, F. 1996. Nitrogen and phosphorus assimilation, mobilization and partitioning in rainfed chickpea (*Cicer arietinum* L.). Field Crop Research. 47: 81 - 92.
- [12] Arslan, A. and F. Kurdali, 1996. Rainfed vetch-barley mixed cropping in the Syrian semiarid conditions. II. Water use efficiency and root distribution. Plant and Soil. 183: 149 - 160.
- [13] Chalk, P. M. and C. J. Smith, 1994. ^{15}N isotope dilution methodology for evaluating the dynamics of biologically fixed N in legume - non - legume associations. Biol Fertil soils. 17: 80 - 84.
- [14] Danso, S. K. A., 1986: Review: estimation of N_2 - fixation by isotope dilution: an appraisal of techniques involving ^{15}N enrichment and their application - comments. Soil Biol. Biochem. 18: 243 - 244.
- [15] Rennie, R. J., 1979. Comparison of ^{15}N - aided methods for determining symbiotic dinitrogen fixation. Revue d'Ecologie et de Biologie du Sol. 16: 455-463. ■



النفاير العلمينة



رصد الهزات الأرضية الصغيرة في محافظة اللاذقية*

د. مظهر بايرلي

قسم الجيولوجيا - جامعة تشرين - اللاذقية - سورية

ج. ف. محمد رضا سينياني، ج. ف. رياض الدراوشة

قسم الجيولوجيا - هيئة الطاقة الذرية - ص. ب 6091 - دمشق - سورية

د. يانس ماكرس، د. يورك شتيكر

معهد الجيوفيزياء - جامعة هامبورغ - ألمانيا

ملخص

بهدف تحديد الصدوع النشطة في محافظة اللاذقية، وضعت شبكة رصد زلزالية صغيرة (مكروية) في المحافظة في الفترة الممتدة من 25 شباط إلى 12 أيار 2000 م، تتألف من 30 محطة رصد زلزالية قصيرة الدور، ثلاثية المركبة ورقمية التسجيل. بيّن تحليل المعطيات المسجلة ما يلي:

- (1) تمثل النشاط الزلزالي في حدوث 78 هزة أرضية مكروية توزعت على مناطق واسعة، إلا أن هزات مكروية كثيرة تركزت على صدع اللاذقية - كلس.
- (2) يمكن نسب عدد من هذه الهزات إلى بعض الصدوع السائدة في منطقة الدراسة.
- (3) تبين باستخدام حلول مستوي الصدع لثلاث هزات أرضية مسجلة أن الصدوع المولدة لمثل هذه الهزات هي من النوع العادي مع مركبة صغيرة لحركة انزياح يسارية.
- (4) يظهر تقدير احتمالية حدوث الزلازل المحسوب لفترات تكرار الزلازل ذات القدر من 1 إلى 4 درجات، أن النشاط الزلزالي في المحافظة قليل إلى متوسط.

الكلمات المفتاحية: هزات أرضية مكروية، تكتونيك نشط، سورية.

مقدمة

المحطات وفق ستة خطوط شبه متوازية باتجاه شمال شرق - جنوب غرب، ليتضمن كل خط رصد خمس محطات يتباعد يتراوح من خمسة إلى ثمانية كيلو مترات فيما بينها. غطت هذه الشبكة محافظة اللاذقية من البحر غرباً حتى صدع الغاب شرقاً، ومن جيلة جنوباً حتى منطقة كسب شمالاً بمساحة 2400 كم².

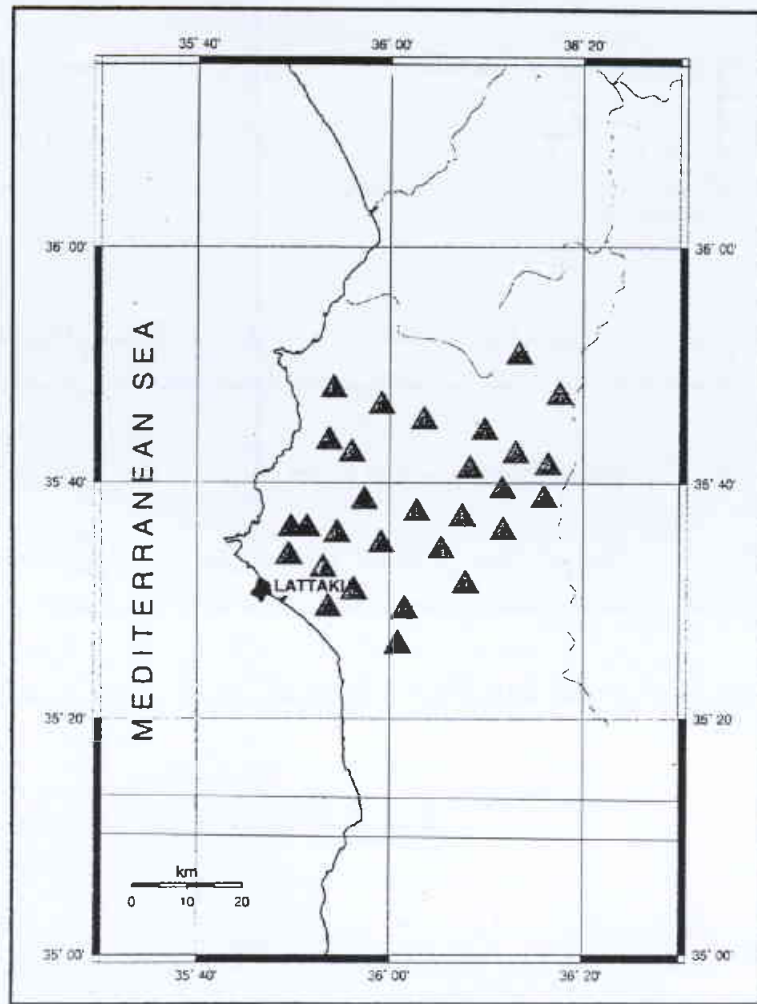
يبين الشكل 1 توزيع شبكة محطات رصد الهزات الأرضية المكروية المستخدمة في المحافظة.

تغطي المنطقة التي زُرعت فيها الشبكة الزاوية الشمالية الغربية من الصفيحة العربية، أي عند التقاء نطاق صدع الغاب بنظام صدع شرق الأناضول. ويعد صدع الغاب الفرع الشمالي من نظام صدع البحر الميت الممتد باتجاه عام: شمال - جنوب، من خليج العقبة جنوباً حتى أنطاكية شمالاً. وتكون الحركة على طول مسار صدع الغاب، الذي يأخذ اتجاهاً عاماً شمال - جنوب، يسارية انزياحية المضرب كما هو الحال على مسار صدع البحر الميت. ويعد هذا النطاق الصدعي بمجمله مولداً للزلازل. وقد تأثر الوضع التكتوني في منطقة الدراسة، وبقدر كبير، بصدع الغاب الواقع إلى الشرق من منطقة الدراسة. من ناحية أخرى، يمتد صدع اللاذقية - كلس (يساري الانزياح) في منخفض نهر الكبير الشمالي ذي الاتجاه شمال - شرق، من قبرص إلى الساحل السوري إلى أن يلتقي بصدع

نظراً لكون الدراسات التكتونية الزلزالية في سورية قليلة جداً، وبخاصة فيما يتعلق بالمنطقة الساحلية التي تشهد نهضة عمرانية ومشاريع إنمائية متنوعة، مثل إقامة السدود والمصانع ... إلخ، يعتبر فهم الطبيعة التكتونية الزلزالية لمنطقة اللاذقية هاماً جداً لمعرفة العلاقة بين نظام صدع الغاب وصدع اللاذقية - كلس، ولتحديد الصدوع النشطة بدقة في منطقة الدراسة، وصولاً إلى تقدير المخاطر الزلزالية في المحافظة.

من ناحية ثانية، تعد طريقة رصد الهزات الأرضية صغيرة القدر ($M \leq 3.0$) العامل الرئيس في تحديد الصدوع النشطة في محافظة اللاذقية وفي دراسة النشاط التكتوني للصدوع في المدينة وبالقرب منها حيث قام كل من معهد الجيوفيزياء التابع لجامعة هامبورغ (ألمانيا)، وجامعة تشرين (في اللاذقية)، وهيئة الطاقة الذرية السورية بتكيب وتشغيل شبكة رصد زلزالية صغيرة (مكروية) في المحافظة المذكورة في الفترة الممتدة من 25 شباط إلى 12 أيار 2000 م، يتألف من 30 محطة رصد زلزالية رقمية التسجيل من أتمودج SEDIS-III (صنع شركة Geopro في هامبورغ). حيث جُهزت كل محطة رصد بلاقط اهتزازات أرضية ثلاثي المركبة وبساعة كوارتزية داخلية وبشريط ممغنط بسعة تخزين 2 جيجابايت، إضافة إلى جهاز نظام تحديد المواقع على الكرة الأرضية (GPS). ووزعت هذه

* تقرير مختصر عن دراسة علمية أنجرت في قسم الجيولوجيا - هيئة الطاقة الذرية السورية.



الشكل 1- توزيع شبكة محطات الرصد الزلزالي المكروية في محافظة اللاذقية.

يعني حدوث هزة واحدة - وسطياً - كل يوم. يبين الشكل 2 توزيع المراكز السطحية للزلازل المسجلة في منطقة الدراسة، ويلاحظ فيه أن النشاط الزلزالي يتوزع على مساحة واسعة، علماً بأنه يمكن نسب عدد من هذه الهزات إلى الصدوع السائدة في منطقة الدراسة إلا أن التأكيد على ذلك يحتاج لرصد زلزالي لفترة زمنية أطول (سنة أشهر) للحصول على نتائج أكثر وثوقاً، نظراً لعدم رصد كمية كبيرة (أو كافية) من الأحداث الزلزالية خلال فترة الـ 64 يوماً المنقذة.

ولتقدير حلول آلية البؤرة الزلزالية وتحديد طبيعة الصدع المولد لها، استخدمت أهم ثلاثة أحداث زلزالية مسجلة. فتبين أن الصدوع المولدة للهزات المسجلة هي من النوع العادي مع مركبة صغيرة للحركة الانزاحية.

ووفقاً لعلاقة ريختر التالية [1958]، التي تربط تكرار تردد الزلازل بدلالة مجال من القدر في منطقة محددة:

$$\text{Log } N = a - b M$$

حيث تمثل $\text{Log } N$ اللوغاريتم العشري للعدد التراكمي للحوادث N .

a : قيمة النشاط الزلزالي لمنطقة معينة خلال فترة الرصد.

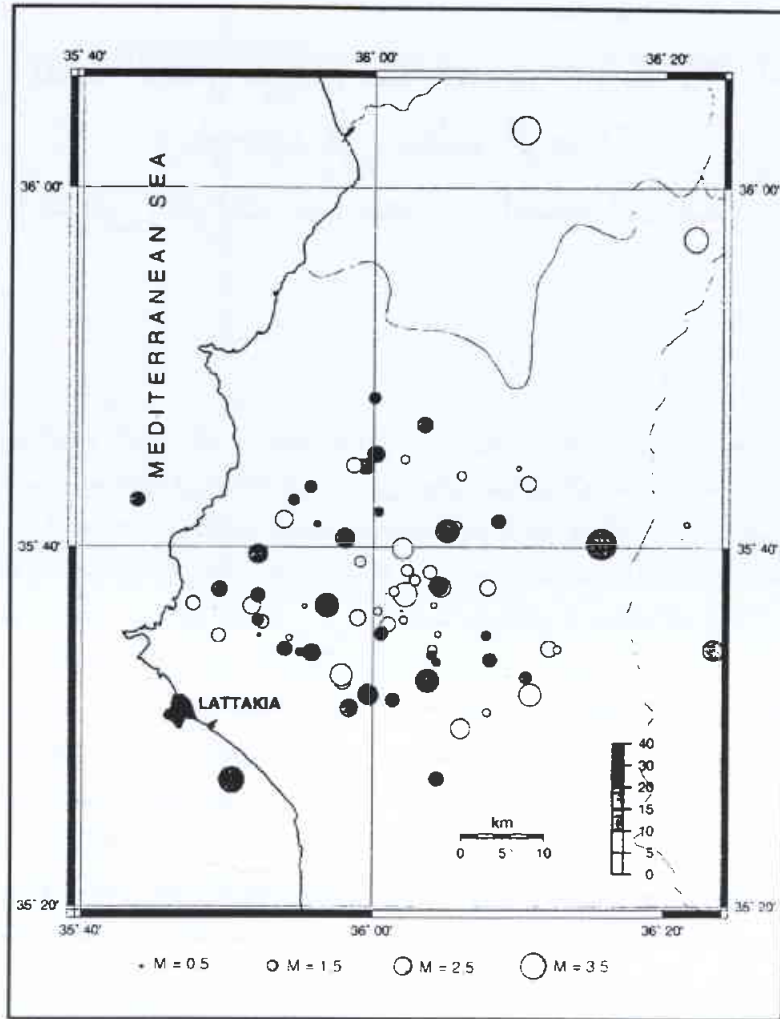
الغاب في منطقة أنطاكية، بينما يوجد في كتلة البسيط عدد من الصدوع الثانوية [1].

بالنسبة للنشاط الزلزالي التاريخي في منطقة الدراسة وما حولها، فقد تعرضت المنطقة وجوارها لعدد من الزلازل التاريخية الكبيرة القدر ($M \geq 7.0$) مثل زلازل 20 شباط 1404 و 29 كانون الثاني 1408 و 26 نيسان 1796 [2]. أما في القرن الماضي فقد تعرضت منطقة الدراسة إلى سلسلة من الزلازل متوسطة القدر حتى الـ 5 درجات على مقياس ريختر [3].

نتائج الرصد والمناقشة

عولجت معطيات شبكة الرصد المسجلة على شرائط ممغنطة سعة 2 جيجا بايت على نحو شبه مؤتمت في مختبر معهد الجيوفيزياء في جامعة هامبورغ، باستخدام برمجيات زلزالية متقدمة.

وبعد ذلك تم إعداد سجل بالحوادث المسجلة للمنطقة المدروسة خلال فترة المسح، وتتضمن: تاريخ وزمن وقوع الهزة الأرضية المكروية، والإحداثيات الجغرافية للمركز السطحي للهزة وعمق بؤرتها، وقدرة الهزة. حيث تبين أنه خلال 64 يوماً من الرصد الفعلي سُجِّلت 78 حادثة، ما



الشكل 2- توزيع المراكز السطحية للزلازل المكروية المسجلة في منطقة الدراسة. وتشير ألوان الدوائر إلى أعماق البؤر المختلفة (بالكم) في حين يدل حجم الدائرة على قدر الزلزال.

ولتقدير احتمالية حدوث زلازل بقدر معين في منطقة الدراسة، تحسبت فترة تكرار الزلازل ذات القدر من 1 إلى 4 لكامل المنطقة فكانت النتائج كما في الجدول 1.

الجدول 1- تكرارية الزلازل في محافظة اللاذقية بدلالة القدر.

| قدر الزلزال | $M \geq 1$ | $M \geq 2$ | $M \geq 3$ | $M \geq 4$ |
|-------------|------------|------------|------------|------------|
| فترة تكراره | كل 17 ساعة | كل يومين | كل 11 يوم | كل شهرين |

b: ميل الدالة اللوغاريتمية على توزيع قدر الزلازل خلال فترة الرصد. فقد أظهرت الدراسة أن النشاط الزلزالي في محافظة اللاذقية يمكن تمثيله بالعلاقة التالية:

$$\text{Log}N = 3.147 - 0.787 M$$

وأوضحت عملية الرصد هذه أن قيم القدر تراوحت بين الصفر و 4 درجات. ووجد أن قيمة المعامل b تساوي 0.787.

REFERENCES

- المراجع
- [1] Ponikarov, V. P. (Editor)[1966] "The Geological map of Syria, scale 1:200,000 sheets: I-37-XIX and I-36-XXIV", Ministry of Industry, Syrian Arab Republic, Damascus.
- [2] Mouty, M., M. R. Sbeinati and R. Darawchek [1998] " Seismic data for siting and site-revalidation of nuclear

facilities': Part 1: Catalogue of historical earthquakes in and around Syria', Internal report, Atomic Energy Commission of Syria G/FRSR 176, Damascus.

- [3] Bulletin of the USGS between 1975-2000. ■

تطبيق تقنية النظائر في دراسة مصادر تغذية المياه الجوفية وملوحتها في منطقة الرصافة (حوض الفرات الأوسط - الضفة الشامية)*

د. عبد الرحمن شريدة

قسم الجيولوجيا - هيئة الطاقة الذرية - ص. ب 6091 - دمشق - سورية

ملخص

على قاعدة استخدام تقنية النظائر البيئية، فقد تمّ تحديد مصادر تغذية المياه الجوفية وتقييم علاقة نهر الفرات بتلك المياه وذلك في التوضعات الرباعية والبايورباعية والنيوجينية في منطقة الرصافة من حوض الفرات الأوسط "الضفة الشامية". تشير نتائج استخدام نموذج المزج النظائري isotopic mixing model المقاربة جداً مع نموذج المزج الجيوكيميائي (Netpath Model)، والتي تؤكد مصداقية كل نموذج للنموذج الآخر، تشير إلى أن مساهمة نهر الفرات في تغذية المياه الجوفية تصل بشكل وسطي إلى 70% مقابل 30% للرشح من الهاطل المطري، مع منحى عام يشير إلى أن الطبقة الجوفية في توضعات التورتونيان والهلفيت تكون فيها مساهمة نهر الفرات أعلى من الطبقة الجوفية في التوضعات البايورباعية. وإذا كانت كل المياه الجوفية في المنطقة تحتوي على التريتيوم، فإن خريطة التوزيع المكاني لتراكيز التريتيوم تشير وبشكل واضح إلى النطاقات المميزة لحركة المياه الجوفية والمرتبطة بالتكتونيك العرضي مع منظومة فالق الرصافة، وأن زمن مكوث تلك المياه (MRT) قصير ويقي ضمن حدود استخدامات عنصر التريتيوم لتقدير أعمار المياه الجوفية والتي تترافق بشكل عام مع فعالية عالية للكربون - 14 والتي تؤكد حداثة تشكل تلك المياه. وأخيراً فإن دراسة الملوحة وسيناريو التملح تشير إلى أن الانحلال يشكل العامل الرئيسي في الملوحة العالية وأن الحمولة الملحية مرتبطة بشكل أساسي بأيون السلفات الناتج عن انحلال الجبس، وأن النموذج المختار في تفسير هذه الظاهرة يرتبط بظاهرة الضخ الجائر في المنطقة وتشكيل منخفض ضخ محلي يؤدي بدوره إلى زيادة جبهة التسرب من نهر وسد الفرات.

الكلمات المفتاحية: الفرات، الرصافة، نظائر، نموذج Netpath، تغذية، زمن مكوث المياه الجوفية، ملوحة، سلفات، جبس.

النتائج والمناقشة

تمّ رفع 30 عينة من السويات المائية للتوضعات البايورباعية وتوضعات الهلفيت والتورتونيان والتي تمّ إخضاعها للتحليلات الكيميائية والنظائرية.

الملف النظائري للمياه الجوفية يشير إلى عدم تأثر هذه المياه بعمليات التبخر ووجود قطبي تغذية: الأول يمثل التغذية الواردة من نهر الفرات، والقطب الآخر يمثل التغذية القادمة من التدمرية الشمالية. إن استخدام مختلف النماذج لتحديد الكمي لمصادر التغذية (النموذج النظائري - برنامج Netpath) يشير إلى أن نسبة مساهمة الفرات في آبار منظومة فالق الرصافة ومنخفض وادي جعدين تصل إلى 70% مقابل 30% للرشح من الهطولات المطرية.

فضلاً عن ذلك فإن تراكيز التريتيوم في المياه الجوفية تؤكد على حداثة تلك المياه وأن (MRT) لا يتجاوز عدة سنوات، بالإضافة إلى ذلك فإن التوزيع المكاني لقيم التريتيوم يشير إلى نطاقات مميزة لحركة المياه الجوفية.

مقدمة

تقع منطقة الدراسة في الجزء الأوسط من مسار نهر الفرات من الجهة الشامية. لقد تمّ حفر مجموعة من الآبار من قِبَل إدارة البادية في كل من محافظتي الرقة وحلب في المنطقة، أتبعَت بجملعة ضخمة من الآبار السطحية من قبل سكان المنطقة والتي تركزت على طول منظومة فالق الرصافة ومنخفض وادي جعدين؛ والخاصية التي تنفرد بها تلك الآبار هي الإنتاجية الكمونية المرتفعة والتي تجاوزت 250 م³/سا (بئر الرصافة السطحي) والملوحة المرتفعة نسبياً من 3 - 5 غ/ل.

وضمن إطار إدارة مصادر المياه الجوفية، فإن الأهداف المتوخاة من إجراء هذا البحث تتضمن: تحديد مختلف مصادر التغذية والتحديد الكمي لها، وتحديد وقت مكوث المياه الجوفية ودراسة تفاصيل عملية التملح على قاعدة الانحلال أو التبخر.

* تقرير مختصر عن بحث علمي أنجز في قسم الجيولوجيا - هيئة الطاقة الذرية السورية.

ولا بد من التنويه أخيراً إلى أن تواجد تراكيز عالية لأيون NO_3^-2 في بعض الآبار ناتجة عن الفعاليات البشرية يقودنا إلى التفكير في إمكانية وجود رشح فقّال من خلال تدوير مياه الري. وهذه المياه الجوفية تتميز بفعالية إشعاعية للكربون - 14، والتريتيوم والتي كانت أعلى ما يمكن في بحر الرصافة السطحي. ■

وترتبط الملوحة وتفاصيل عملية تملح المياه الجوفية بشكل أساسي بعمليات الانحلال لصخور الجبس، أما الآلية فتقوم على ظاهرة تشكل مخروط انخفاض في المنطقة نتيجة الضخ الجائر الذي يؤدي إلى زيادة جبهة التسرب من بحيرة السد بشكل رئيسي ...

تأثير المعالجة بأشعة غاما على الحمولة المكروبية والخصائص النوعية للعرق سوس (*Glycyrrhiza glabra* L.)

د. محفوظ البشير

قسم تكنولوجيا الإشعاع - هيئة الطاقة الذرية - ص.ب 6091 - دمشق - سورية

د. جورج لحام

جامعة دمشق - كلية الصيدلة

ملخص

عرض مسحوق جذور العرق سوس للجرع 0 و 5 و 10 و 15 و 20 كيلو غرامي من أشعة غاما الصادرة عن النظير المشع كوبالت 60، وحفظت العينات المشعة وغير المشعة ضمن جو العرقة العادي ولمدة 12 شهراً بدءاً من تاريخ التشعيع. تمّ تقدير كل من الحمولة المكروبية في المسحوق الجاف للجذور، ونسبة بعض العناصر المعدنية في الخلاصة المائية لهذا المسحوق، إضافة إلى تقدير اللزوجة والخصائص الحسية للخلاصة المائية والمتمثلة بالطعم واللون والرائحة حيث تمّ تنفيذ جميع هذه الاختبارات بعد التشعيع مباشرة وبعد مرور 12 شهراً. بيّنت نتائج هذه التجارب أن للجرع المستخدمة من أشعة غاما تأثيراً معنوياً في خفض الحمولة المكروبية للمسحوق بعد التشعيع مباشرة وخلال مراحل التخزين المختلفة وكانت قيمة الجرعة الإشعاعية اللازمة لتخفيض الحمولة المكروبية دورة لوغاريتمية واحدة (D10) في حدود 2 كيلو غرامي. لم يلاحظ أي تأثير للجرع المستخدمة من الأشعة على كمية المواد الصلبة المنحلة ضمن الخلاصة المائية، وكان لجميع الجرع الإشعاعية المستخدمة أثر واضح في خفض كمية عناصر الصوديوم والكالسيوم والبوتاسيوم وذلك عندما تمّت عملية الاستخلاص بعد مرور 12 شهراً على التشعيع. وسجل انخفاض معنوي واضح في تركيز حمض الغليسيريدي في الخلاصة المائية الناتجة من مسحوق معالج بالأشعة مقارنةً مع ما هو عليه في خلاصة عينات الشاهد. وكان لجميع الجرع الإشعاعية المستخدمة تأثير معنوي في خفض لزوجة الخلاصة المائية الناتجة من مسحوق مشع وذلك بعد التشعيع مباشرة. وزالت هذه الفروق في اللزوجة بين الخلاصة الناتجة عن مسحوق معالج وبين الخلاصة الناتجة من مسحوق شاهد بعد مرور 12 شهراً على التخزين، ولم تظهر الاختبارات أي تأثير للجرع المستخدمة من الأشعة على الطعم والرائحة واللون في الخلاصة المائية للعرق سوس سواء بعد التشعيع مباشرة أو في نهاية مرحلة التخزين.

الكلمات المفتاحية: خفض الحمولة المكروبية، خصائص الخلاصة المائية، التشعيع، العرق سوس، الخصائص الحسية.

مقدمة

النظير المشع كوبالت 60، وقُدّر بعد التشعيع مباشرة وبعد مرور 6 و 12 شهراً على التشعيع كل من الحمولة المكروبية في المسحوق الجاف للجذور، ونسبة كل من المادة الجافة والرماد والصوديوم والبوتاسيوم والكالسيوم وحمض الغليسيريدي في الخلاصة المائية لهذا المسحوق، إضافة إلى تقدير قيم الحموضة والناقلية الكهربائية ولزوجة هذه الخلاصة، كما تمّ

يعتبر العرق سوس نباتاً ذا فوائد غذائية وطبية عديدة، تُستعمل منه جذوره التي تحتوي على حمولة مكروبية عالية نتيجةً لتماسها المباشر مع التربة، واختبار تأثير أشعة غاما على الحمولة المكروبية والخصائص النوعية للجزء المستخدم من العرق سوس، فقد تمّ تعريض مسحوق جذوره للجرع 0 و 5 و 10 و 15 و 20 كيلو غرامي من أشعة غاما الصادرة عن

العناصر، فالتشعيع يؤدي إلى تحطيم الجزيئات الكبيرة وخاصة أملاح حمض الغليسيريدي، التي هي عبارة عن أملاح كلسية وبوتاسية داخل الجذور، وتحولها إلى أملاح حمض الغليسيريدي التي تعتبر أقل ذوباناً في الماء.

هذا الانخفاض في كمية الصوديوم والكالسيوم يؤدي بدوره إلى انخفاض في قيم الناقلية لدى العصير المستخلص، بالرغم من وجود تأثير سلبي للجرع الإشعاعية المستخدمة على كمية حمض الغليسيريدي في الخلاصة المائية للجذور المعالجة بالأشعة. إلا أن هذا التأثير زال عند تخزين المسحوق المعالج بالأشعة لمدة تزيد على 6 أشهر.

وربما يعود الأثر الواضح للأشعة في حمض الغليسيريدي إلى عدم ثباته وسهولة تخرجه تحت تأثير العوامل الخارجية وتحوله إلى مكونات الحمض الغليسيريدي (glyconic acid) والحمض الغلوكوروني (glycyrrhetic acid). ويعزز هذا التعليل التفكك الطبيعي له خلال التخزين، إذ تشير نتائج هذه التجارب إلى تفكك حوالي 70% من هذا الحمض خلال فترة التخزين التي استمرت لمدة 12 شهراً، وبما أن حمض الغليسيريدي وأملاحه هما المسؤولان عن الطعم الحلو المميز لجذور العرق سوس، فإن تخرّب هذا الحمض يؤدي إلى تغير الطعم وفقدان الخصائص التذوقية للخلاصة المائية.

ترتبط لزوجة المعلقات أو المزيغ المتجانس لمساحيق المواد البيولوجية في المذيئات المحلّة لها كالماء في سرعة دخول المذيب إلى الخلايا وفي نفاذية الجدار الخلوي وفي محتوى النسج من الجزيئات المعقدة (macro-molecules) المسؤولة أساساً عن قوام النسج وتشكل الهلام في هذه النسج (gel-forming). وفي هذا السياق يبيّن نتائج التجارب المنفذة في هذا المجال وجود تأثير واضح للأشعة على الخصائص المكونة للزوجة.

لم يكن مستوى الجرع المسموح باستخدامه في مجال تشعيع الأغذية (أقل من 10 كيلو غراي) تأثير معنوي على الخصائص الحسية (اللون والطعم و الرائحة) للخلاصة المائية الناتجة عنها، وذلك عند مقارنتها بالخلاصة المائية الناتجة عن مسحوق غير معالج بالأشعة. ■

تقدير الخصائص الحسية للخلاصة، والمتمثلة بالطعم واللون والقوام والرائحة.

النتائج

بيّنت نتائج هذه التجارب أن للجرع المستخدمة من أشعة غاما تأثيراً معنوياً في خفض الحمولة الميكروبية للمسحوق بعد التشعيع مباشرة وخلال مراحل التخزين المختلفة، وسُجّل انخفاض معنوي في حمض الغليسيريدي الناتج من مسحوق معالج بالأشعة وذلك عندما تمّ الاستخلاص بعد التشعيع مباشرة، وكان لجميع الجرعات الإشعاعية المستخدمة تأثير واضح في خفض كمية عناصر الصوديوم والكالسيوم والبوتاسيوم وقيم الناقلية والرماد وذلك عندما تمّت عملية الاستخلاص بعد مرور 12 شهراً على التشعيع. وكان لجميع الجرعات الإشعاعية المستخدمة تأثير معنوي في خفض لزوجة الخلاصة الناتجة من المسحوق بعد التشعيع مباشرة، في حين زالت الفروق في اللزوجة بين الخلاصة الناتجة عن مسحوق معالج وبين الخلاصة الناتجة من مسحوق شاهد وذلك بعد مرور 12 شهراً على التخزين. هذا ولم يلاحظ أي تأثير للجرع المنخفضة من الأشعة (5 و10 كيلو غراي) على الطعم والرائحة واللون في الخلاصة المائية، في حين كان لاستخدام الجرعة المرتفعة من الأشعة (20 كيلو غراي) تأثير معنوي في الطعم والرائحة والقوام.

المناقشة

لقد كان لجميع الجرعات الإشعاعية المستخدمة تأثير واضح في خفض الحمولة الميكروبية في مسحوق العرق سوس، وكان لاستخدام الجرعة 10 كيلو غراي - وهو المستوى المسموح باستخدامه في معالجة المواد الغذائية استناداً إلى المواصفة القياسية السورية رقم 304- تأثير واضح في خفض الحمولة الميكروبية إلى الحدود المقبولة للتداول التجاري للمسحوق (بضع مئات من الميكروبات في الغرام).

ربما يعود انخفاض كمية الصوديوم والكالسيوم في الخلاصة المائية الناتجة من مسحوق جذور العرق سوس المعالج بالأشعة بعد مرور 12 شهراً على تشعيعه إلى تأثير الأشعة وفترة التخزين على الأشكال الحرة من هذه

القيمة الغذائية لنبات السيسبان (*Sesbania aculeata*) وتأثيره على الأداء التناسلي عند إناث الماعز الشامي*

د. معتر زرقاري، د. محمد راتب المصري، د. خلف خليفة
قسم الزراعة - هيئة الطاقة الذرية - ص. ب 6091 - دمشق - سورية

ملخص

قيمت القيمة الغذائية لنبات السيسبان (*Sesbania aculeata*) المتحمل للملوحة، بتقدير محتواه من المكونات الغذائية (الرماد الخام CA، البروتين الخام CP، الألياف الخام CF، الدهن الخام CL، ألياف المنظف المتبادل NDF، ألياف المنظف الحامضي ADF، اللغنين الخام ADL)، إضافة إلى تقدير معامل هضم المادة العضوية مخبرياً (IVOMD) والطاقة الاستقلابية (ME) والطاقة الصافية لإنتاج الحليب (NEL) والطاقة الكلية (GE). وجرى حساب كمية الطاقة الاستقلابية والطاقة الصافية لإنتاج الحليب. كما درس تأثير تغذية عنزات الماعز الشامي على دريس نبات السيسبان (كامل النبات) على الوزن الحي، الأداء التناسلي خلال مراحل تناسلية مختلفة وعلى التغيرات في تراكيز هرمون البروجسترون في مصل الدم. أشارت النتائج إلى ما يلي:

- 1 - بلغت قيم المكونات الغذائية في نبات السيسبان الكامل (غ/ كغ مادة جافة): 76 (CA)، 144 (CP)، 341 (CF)، 23 (CL)، 562 (NDF)، 435 (ADF)، 72 (ADL). كما بلغ معامل هضم المادة العضوية 50.7% وقيم (ميغا جول/ كغ مادة جافة) الطاقة الكلية 28.27 والطاقة الاستقلابية 6.84 والطاقة الصافية لإنتاج الحليب 3.50.
- 2 - بلغت كمية المادة الجافة المنتجة من دريس نبات السيسبان 8269 كغ/ هكتار، وكمية البروتين الخام 1190 كغ/ هكتار، والطاقة المنتجة (ميغا جول/ هكتار): 2338 GE، 799 ME، 607 NEL.
- 3 - لم تؤثر الكمية المتأولة من نبات السيسبان على معدل التلقيح، وعلى طول فترة الحمل، وعلى وزن المواليد أو على وزن الفطام.
- 4 - أثرت الكمية المتأولة من نبات السيسبان على معدل الخصوبة، حيث بلغت نسبة الإناث التي لقحت ولم تلد 50%.
- 5 - كان المنحي لتركيز هرمون البروجسترون في مصل الدم طبيعياً عند العنزات كافة منذ التغذية على دريس نبات السيسبان وحتى التلقيح، وخلال فترة الحمل بالنسبة للعنزات التي كان تلقيحها مخصباً، بينما كان هذا المنحي غير طبيعي عند تلك التي لقحت ولم تحمل وتلد.

الكلمات المفتاحية: سيسبان، قيمة غذائية، تغذية، تناسل، بروجسترون، مقياس مناعية إشعاعية، ماعز شامي.

النتائج والمناقشة

وبمتوسط وزن عند بدء التجربة 52.2 ± 8.6 كغ. أعطيت العنزات عليقة تجريبية (تبن عدس، دريس السيسبان، علف مركز) حسب الحالة التناسلية للعنزات وحسب عمر الحمل، بحيث تغطي المتطلبات الغذائية لكل مرحلة من مراحل الحمل. هذا وتم تثبيت كمية دريس السيسبان المعطى للحيوانات التجريبية (300 غ يومياً). بلغت كمية المادة الجافة التي استهلكتها العنزة يومياً 1436 غ خلال الفترة الممتدة من 23 يوماً قبل التلقيح وحتى 105 أيام من الحمل، و 2132 غ من عمر 106 أيام من الحمل وحتى الولادة. قيس أوزان الحيوانات مرة بالأسبوع طوال فترة التجربة وعند الولادة، كما قيس أوزان المواليد حتى مرحلة الفطام. جمعت عينات الدم من العرق الوداجي للعنزات وفق برنامج معين. حُضِر المصل وحفظ مجمداً على درجة حرارة مقدارها 20°C لحين تقدير مستوى هرمون البروجسترون بوساطة المقياس المناعية الإشعاعية. أدخل

زرعت بذور السيسبان في شهر أيار 1999 بمعدل 80 كغ/ هكتار في محطة دير الحجر، وحشت النباتات على ارتفاع 10 سم من سطح الأرض في شهر أيلول 1999. جفت النباتات وقطعت لأجزاء بلغت حوالي 8 سم، حيث استخدمت بعد التجانس لتغذية إناث الماعز الشامي. بعد الخلط والتجانس أخذت عدة عينات بشكل عشوائي، ثم خلطت العينات ثانياً للحصول على عينة متماثلة لدريس نبات السيسبان، حيث طحنت على منخل قطر خرمة 1 مم وحفظت تحت التجميد لحين إجراء التحاليل اللازمة.

نُفذت التجربة على إناث الماعز الشامي البالغة والتي لا تعاني من مشاكل أو اضطرابات تناسلية سابقة (12 عنزة) بعمر 3-5 سنوات،

* تقرير مختصر عن تجربة استطلاعية حقلية أجريت في قسم الزراعة - هيئة الطاقة الذرية السورية.

ذلك إلى الاختلافات الفردية ضمن العرق. على أي حال، وبالرغم من وجود الاختلافات الفردية في تركيز بروجستيرون الدم، فإن منحاه العام كان متشابهاً عند العنزات. بينما كان المنحى العام لتركيز الهرمون غير طبيعي عند العنزات اللواتي لقحت ولم تلد، حيث كان هذا المنحى لا دورياً ولا يماثل المنحى الطبيعي لهذا الهرمون، سواء خلال دورة الشبق، أو خلال فترة الحمل.

لم يؤثر السيستان على الأداء التناسلي منذ التغذية عليه وحتى التلقيح، وأبدت العنزات المستخدمة في التجربة شياً عاماً ولقحت كافة، وبلغ معدل ظهور الشباع والتلقيح 100%. على أي حال، ربما لم يكن لتناول السيستان تأثير على الأداء التناسلي خلال هذه الفترة، بالرغم من تأثيره على الوظيفة التناسلية كما سيبين لاحقاً، بسبب قصر مدة التغذية (23 يوماً) بحيث لم يبدأ التأثير بعد.

أشارت نتائج التجربة إلى وجود تأثير هام لنبات السيستان على الوظيفة التناسلية عند عنزات الماعز الشامي، حيث بلغت نسبة العنزات التي لقحت ولم تلد 50%. فلم تعرف آلية تأثير السيستان بشكل دقيق، حيث يمكن أن يكون التأثير على مستوى الدماغ تحت السريري، و/ أو على مستوى الغدة النخامية، و/ أو على مستوى المبيض، حيث يعد المحور المذكور المسؤول عن الوظيفة التناسلية عند الإناث. ويوجد مواد ذات نشاط أستروجيني في محاصيل علفية مختلفة تؤثر على مستوى المعادن في الدم وهذا هام خاصة خلال مرحلة الحمل. لم تؤثر التغذية بالسيستان على طول فترة الحمل عند العنزات والتي بلغت بالمتوسط 148.8 ± 1.5 يوماً، وكانت الولادات طبيعية دون أي مشاكل كعسر ولادة أو ولادة مبكرة، أو مشاكل بالمشيمة وغيرها، وكانت حالة الأمهات والمواليد جيدة. كما لم يؤثر نبات السيستان على وزن المواليد الذي بلغ بالمتوسط 4.6 ± 1.1 كغ، أو على وزن الفطام الذي بلغ بالمتوسط 18.8 ± 5.0 كغ.

أخيراً، تعد هذه الدراسة لنبات السيستان الأولى في سورية حيث تتعرض للقيمة الغذائية والإنتاجية لهذا النبات، وهي الأولى عالمياً إذ تدرس تأثير نبات السيستان على الأداء التناسلي عند الماعز خلال مراحل تناسلية مختلفة. النتائج هامة وتتطلب المزيد من الدراسات والأبحاث لمعرفة آلية تأثير السيستان، والفترة الحرجة التي تؤثر، والكمية الدنيا من السيستان التي يمكن أن لا تؤثر على الأداء التناسلي، ودراسة تأثير نبات السيستان على الأداء التناسلي عند أغنام العواس، والحيوانات المجترة الصغيرة والهامة جداً في سورية وفي العديد من دول العالم. ■

ذكران خصبان من عرق الماعز الشامي إلى العنزات كافة بعد نحو 23 يوماً من بدء التغذية على السيستان من أجل كشف الشباع والتلقيح الطبيعي.

حُسيب معامل هضم المادة العضوية في المخبر وحسبت الطاقة الاستقلابية والطاقة الصافية لإنتاج الحليب للمكونات. قدرت المكونات الغذائية (الرماد الخام، الدهن الخام، الألياف الخام، البروتين الخام)؛ وألياف المنظف المتبادل، وألياف المنظف الحامضي، واللغنين الخام. كما قدر كل من الكالسيوم والصدوديوم والبوتاسيوم.

بلغت نسبة البروتين الخام في دريس نبات السيستان (كامل النبات) 13.1%، وهي أقل من 17.5-27.5% التي ذكرت في المراجع ولكن باستخدام أوراق نبات السيستان فقط. وكانت تراكيز ألياف (ADF و NDF) و (455)، وتراكيز الألياف الخام (341) غ/ كغ مادة جافة في نتائجا عالية، مما أدى إلى انخفاض قيم معامل هضم المادة الجافة إلى 51% وكذلك الطاقة الاستقلابية إلى 6.84 ميغا جول/ كغ مادة جافة. وكانت قيمة الطاقة الكلية 28.27 ميغا جول/ كغ مادة جافة أعلى من قيم نتائج المراجع العلمية ويعود ذلك إلى ارتفاع تراكيز الألياف الخام والمواد اللغوسلوزية في نبات السيستان الكامل مقارنة مع الأوراق، حيث أن قيمة الطاقة الكلية للمواد اللغوسلوزية أعلى من المواد النشوية وأعلى من البروتين، ويعود ذلك لارتفاع نسبة مواد الجدران الخشبية والمواد اللغوسلوزية الموجودة في أفرع وسوق النبات مقارنة مع الأوراق.

استخدم في التجربة تركيز هرمون البروجستيرون لتقوم تأثير نبات السيستان على الأداء التناسلي عند عنزات الماعز الشامي خلال مراحل تناسلية مختلفة، حيث يُعد الهرمون المذكور من أهم الهرمونات التناسلية ويستخدم بنجاح كمؤشر هام في الدراسات المتعلقة بفيزيولوجيا التناسل عند الحيوان.

أشارت النتائج إلى عدم وجود تأثير السيستان على تركيز هرمون البروجستيرون في مصل الدم خلال الفترة منذ التغذية عليه وحتى التلقيح، حيث كان المنحى لتركيز هرمون البروجستيرون طبيعياً وكانت دورات الشبق طبيعية عند كافة العنزات. يُعد شكل هرمون البروجستيرون عند عنزات التجربة خلال الفترة المنوه بها أنفاً مشابهاً لمنحاه في دراسة سابقة على عنزات ماعز شامي لم تتعد على نبات السيستان.

كان منحى تركيز هرمون البروجستيرون في مصل الدم منذ التلقيح وحتى الولادة عند العنزات طبيعياً. ووجدت اختلافات في قيم تراكيز هرمون البروجستيرون عند العنزات التي حملت وولدت، ويمكن أن يعزى

تأثير إضافة الفسفوجبسوم إلى التربة في نمو وإنتاج بعض المحاصيل الزراعية الهامة وفي انتقال العناصر المشعة والنادرة والفلور إليها*

د. محمد العودات

قسم الوقاية والأمان - هيئة الطاقة الذرية - ص. ب 6091 - دمشق - سورية

د. نجم الدين الشرايبي م. سلوى كاكري

قسم التقانة الحيوية - هيئة الطاقة الذرية - ص. ب 6091 - دمشق - سورية

ملخص

يوجد في سورية كميات كبيرة من الفسفوجبسوم، وهو ناتج ثانوي من صناعة السماد الفسفاتي، والتي تكسب قرياً من المناطق الحضرية، ويمكن أن يكون لها تأثيرات سلبية على الوسط المحيط.

تبين دراسات عديدة التأثير الإيجابي لإضافة الفسفوجبسوم إلى الترب الزراعية، في إتاحة العناصر الغذائية، والخواص الفيزيائية والكيميائية للتربة، ولكن هناك مخاوف من أن تؤدي إضافة الفسفوجبسوم، للأراضي الزراعية، إلى امتصاص النباتات للعناصر المشعة والفلور والعناصر النادرة.

خلط الفسفوجبسوم ذو النشاط الإشعاعي 430 بكريل/ كغ، بتربة لومية - سلتية بمعدل 0 و 10 و 20 و 40 و 80 كغ/ هـ. واستعمل في التجارب نباتات الحمص والذرة والقطن والسبانخ.

أوضحت النتائج أن إضافة الفسفوجبسوم إلى التربة زادت من معدل الرشح والناقلية الكهربائية ومن تركيز الكبريتات والمغنيزيوم والكالسيوم والفسفور المتاح، كما ازداد إنتاج المحاصيل المدروسة معنوياً، وأوضحت أيضاً أن النشاط الإشعاعي للمجموع الخضري وحوب النباتات المزروعة بقي دون حد الكشف. كما لم تنعكس إضافة الفسفوجبسوم إلى التربة في زيادة تراكم العناصر النادرة في التربة والنباتات، أما الفلور فبالرغم من زيادة تراكيزه في النباتات بقي دون السويات المسموح بها (30 ppm). وهكذا يمكن أن تكون طريقة إضافة الفسفوجبسوم إلى التربة بمعدل 10-20 طن/ هـ وسيلة فعالة لتحسين خصائص التربة وزيادة الإنتاج، ووسيلة فعالة للتخلص من الفسفوجبسوم وآثاره السلبية على البيئة.

الكلمات المفتاحية: الفسفوجبسوم، النشاط الإشعاعي، العناصر النادرة، الفلور.

وفي نمو النباتات والنشاط الإشعاعي وتراكيز العناصر النادرة والفلور في التربة والنباتات المزروعة فيها. وجرى اختيار النباتات بحيث تمثل مجموعات المحاصيل المزروعة في سورية وهي:

- الحمص من النباتات البقولية.

- الذرة الصفراء من نباتات الحبوب كما أنها من النباتات العلفية أيضاً.

- القطن من النباتات الصناعية والعلفية.

- السبانخ من الخضار العريضة الأوراق والمستعملة بشكل واسع في الغذاء.

جرت التجارب في مزرعة هيئة الطاقة الذرية، في دير الحجر، واستعمل فيها الفسفوجبسوم السوري، ذو النشاط الإشعاعي

توجد في سورية كميات كبيرة من الفسفوجبسوم وهو ناتج ثانوي من صناعة السماد الفسفاتي، تكوّن بالقرب من معمل السماد الفسفاتي. وقد تنجم عن أكوام الفسفوجبسوم أو عن إلقاءه في المسطحات المائية تأثيرات مختلفة في مكونات النظام البيئي، أهمها تلوث الهواء والماء والتربة بالمواد المشعة والعناصر النادرة والفلور وغيرها.

تشير المعطيات المختلفة إلى أن إضافة الفسفوجبسوم إلى التربة تعتبر طريقة للتخلص منه تزيد من درجة إتاحة المواد الغذائية للنباتات، وتحسن من الخصائص الفيزيائية والكيميائية للتربة، وهذا ينعكس إيجابياً على زيادة الإنتاج النباتي، ولكن قد تؤدي إضافته إلى التربة إلى زيادة تراكيز العناصر المشعة والفلور وبعض العناصر النادرة في النباتات المزروعة فيها.

هدفت التجارب إلى تبيان تأثير إضافة الفسفوجبسوم السوري إلى التربة، كطريقة للتخلص منه، في الخصائص الفيزيائية والكيميائية للتربة،

* تقرير مختصر عن تجربة استطلاعية حقلية أجرت في قسم الوقاية - هيئة الطاقة الذرية السورية.

تربة الشاهد، إلى نحو 414 ملغ/ كغ للإضافة 80 طن/ هـ، علماً بأن تركيز الفلور في الفسفوجبسوم المستعمل بلغ معدلاً قدره 8722 ملغ/ كغ. هذا وتتراوح التراكيز الطبيعية، الأكثر مصادفة، للفلور في التربة بين 150 و 400 ملغ/ كغ.

وأدت إضافة الفسفوجبسوم إلى زيادة تركيز الفلور في المجموع الخضري وحبوب النباتات المدروسة، ولكنها بقيت دون السويات المسموح بها (30 ملغ/ كغ /وزن جاف) والتي لا تنعكس سلباً في نمو النباتات أو في الحيوانات التي تتغذى بها، ولم تؤد إضافة الفسفوجبسوم إلى زيادة النشاط الإشعاعي في النباتات، وبقي دون حد الكشف، والأمر نفسه كان بالنسبة للعناصر النادرة التي لم ترتفع تراكيزها بشكل ملموس، مقارنةً بالشاهد.

كان للإضافة المباشرة للفسفوجبسوم إلى التربة، أو للفسفوجبسوم المتبقي تأثير واضح ومعنوي في زيادة الإنتاج النباتي الكلي أو الحي، بمعدلات تراوحت بين 14 و 34% لحبوب الحمص، وبين 3 و 24 لحبوب الذرة، كما ازداد وزن القطن المحبوب بين 13 و 22%، ووزن المجموع الخضري للسانخ بمعدلات وصلت إلى 12 و 56 و 23%، وذلك في القطفات الأولى والثانية والثالثة على التوالي.

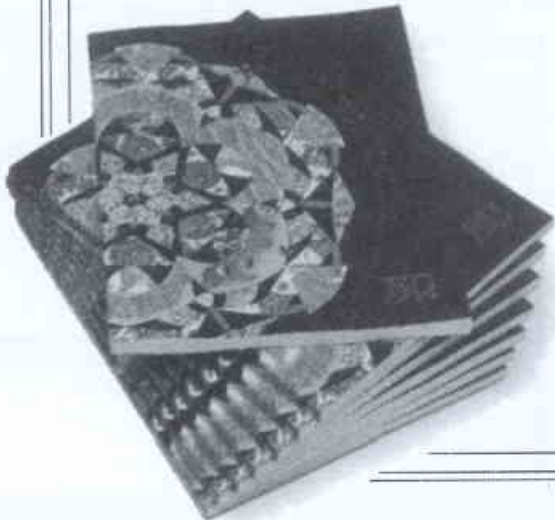
أوضحت نتائج التجارب أن إضافة الفسفوجبسوم إلى التربة، وخاصة بمعدلات 10 - 20 طن/ هـ، تعتبر وسيلة لتحسين الخصائص الفيزيائية والكيميائية للتربة، وتحسين إنتاج المحاصيل المزروعة فيها، كما تعد وسيلة فعالة للتخلص من الفسفوجبسوم. ■

430 بكريل/كغ، الذي أضيف إلى تربة سلتية - لومية بمعدلات: 0 و 10 و 20 و 40 و 80 طن/ هـ، في تجارب الحمص والذرة، وبمعدلات 0 و 5 و 10 و 20 و 40 طن/ هـ، في تجارب القطن والسانخ. وروعي في التجارب دراسة تأثير الإضافة المباشرة للفسفوجبسوم إضافة إلى تأثير المتبقي منه في التربة.

أوضحت النتائج أن إضافة الفسفوجبسوم إلى التربة زادت من معدل الرشح، ومن قيم الناقلية الكهربائية (ECe)، ومن تركيز الكبريتات والكالسيوم والمغنيزيوم في التربة، كما ارتفع تركيز الفسفور في طبقة التربة السطحية (0 - 15 سم) من 10.2 ppm في الشاهد، إلى 142 ppm عند إضافة 80 طن/ هـ. والأمر نفسه كان في طبقتي التربة 15 - 30 سم و 30 - 45 سم، حيث ارتفعت تراكيزه من 3.7 إلى 49.5 ppm للطبقة 15 - 30 سم، ومن 1.8 إلى 11.1 ppm للطبقة 30 - 45 سم. كما أوضحت القياسات أن تركيز الفسفور المتاح انخفض، بعد أربع سنوات من الإضافة، إلى الثلث تقريباً في طبقة التربة السطحية، مقارنةً بتركيزه بعد الإضافة مباشرة. أما في طبقتي التربة 15 - 30 و 30 - 45 سم فلم تنخفض تراكيزه عنها عند إضافته، مما يعني أن تأثير إضافة الفسفوجبسوم لا يقتصر على سنة الإضافة وإنما يستمر لسنوات عدة، كما ارتفع كذلك النشاط الإشعاعي للطبقة السطحية من التربة من 24 إلى نحو 50 بكريل/ كغ، وهو ضمن مجال النشاط الإشعاعي للتربة الطبيعية. وبقيت تراكيز العناصر النادرة في التربة (الكاديوم والنحاس والزنك والرصاص) ضمن التراكيز الطبيعية الأكثر مصادفة، أما تركيز الفلور فقد ارتفع من 40 ملغ/ كغ، في



كتب حديث مختارة



وإنتاجه. وبصدد هذه المسائل وضع المؤلف الجيولوجي كينيث ديفيس كتاباً مرجعياً سهل القراءة إلى حد كبير يتصف بالوضوح ويشتمل على ملاحظات غنية بالمعلومات. لكن كتابه ذهب إلى أبعد من ذلك. لقد تعرّفنا على هوبرت Hubbert من العنوان، وهو الجيولوجي الذي، على الرغم من سخرية الآخرين في الصناعة، تنبأ في عام 1956 بأن إنتاج الولايات المتحدة من النفط سيصل إلى ذروته ومن ثم يبدأ بالتناقص مباشرة بعد عام 1970، وكان ذلك. يشرح ديفيس كيف عدّل طريقة هوبرت الإحصائية بعناصرها المتعلقة بالواقع والأفكار الحدسية للتنبؤ بنقطة التحول في إنتاج النفط العالمي. وليست تلك هي النقطة التي سوف تُستنفد عندها احتياطات النفط العالمية، لكنها مجرد العلامة الأولى لاتجاه أخذٍ بالتنازل دائماً. وهو هنا يتوقع بداية الذعر جزئاً ذلك.

متى سيحدث ذلك؟ سيحدث ذلك في حوالي عام 2005 - وربما قبل ذلك - ولكن بدون أي توسع في الأرقام إلى أبعد من نهاية هذا العقد. وبالتالي إذا كان على صواب فيما يقول، فأمامنا على أبعد تقدير سنتان أو ثلاث سنوات ينبغي خلالها الاستعداد لتلقي صدمة أخرى في الأسعار، والإسراع في ابتعادنا عن النفط كوقود. تكمن قوة الكتاب في تماسك خلفيته ووضوح قاعدته من أجل ذلك التنبؤ الفريد. يمتلك ديفيس طريقة جذلة في التعامل مع المسائل الهامة جداً وتتميز طريقة سرده بالحوية التي، مع أنها أحياناً تكون مشوشة، تتجلى بالنواتر الشخصية. يكمل المؤلف تقريره بذكر بعض مصادر الطاقة الأخرى التي ينساق العالم لاستخدامها، لكن بحوية أقل مما تميّز به استعراضه للمسائل المتعلقة مباشرة بالنفط. وعلى أفضل تقدير سيستخدم الكتاب كملحق عملي ومنوع للدراسات الفنية والاقتصادية المتعلقة بإنتاج النفط.



البديل الأسود: إذا نضبت مصادر النفط، سيكون هنالك اعتماد أكبر على الفحم في المدى القصير.

1- ذروة هوبرت: النقص في كمية النفط العالمي على وشك الحدوث

Hubbert's Peak: The Impending World Oil Shortage

تأليف: كينيث س. ديفيس

2- الميغاواطات والميغاطونان: نقطة تحول في العصر النووي؟

Megawatts and Megatons: A Turning Point in the Nuclear Age?

تأليف: ريتشارد ل. غاروين وجورج شارباك

3- طاقة الغد: الهيدروجين، الخلايا الوقودية والتوقعات بشأن كوكب أنظف

Tomorrow's Energy: Hydrogen, Fuel Cells and the Prospects for a Cleaner Planet

تأليف: بيتر هوفمان

عرض وتحليل: ستيفارت يونغ ****

كنا نسمع بعبارة "أزمة الطاقة" على نحو متكرر على مدى الأعوام الثلاثين الماضية، ونحن ننظر إلى الشرق الأوسط الآن، يمكن أن نتوقع سماعها مرة أخرى. مع ذلك، إذا ما ظهرت الأزمة بأي حال، فلن تبرز نتيجة نضوب أحد مصادر الإنتاج، ولكن سنكون نحن، مستهلكو الطاقة، السبب في ذلك إذا لم نقم بالاستفادة الفعالة والآتية من بدائل الطاقة التقليدية كالنفط. وهذه الكتب الثلاثة تحمل بين طياتها هذه الرسالة حول المستقبل (غير البعيد) للطاقة العالمية مع أنها تفعل ذلك من خلال وجهات نظر مختلفة، معالجةً بذلك مسائل النفط، والطاقة، والهيدروجين على التوالي.

يشتمل الكتاب الأول الذي عنوانه Hubbert's Peak (ذروة هوبرت) على بعض المعلومات العملية جداً حول منشأ النفط واستكشافه

* By Kenneth S. Deffeyes, 2001

** By Richard L. Garwin & G. Charpak, 2001

*** By P. Hoffmann, 2001

**** س. يونغ: نوردريك 7985 - جنوب إفريقيا.

- العرض والتحليل عن مجلة Nature, November 2001. ترجمة مكتب الترجمة والتأليف والنشر - هيئة الطاقة الذرية السورية.



نهاية مصافي تكرير النفط؟ توحى الإحصائيات إلى انخفاض دائم في احتياطي النفط بحلول عام 2005

مهما تكن ضئيلة، لا سيما إذا كان من المحتمل أن تؤثر في حكمها على القضايا المثيرة للنزاع أمامهم. وهذا يؤدي بشكل محتوم إلى بعض المقاطع الصعبة التي يمكن أن يحصل نزاع بشأنها مع القارئ الذي لا يتمتع بأية معرفة عن الفيزياء النووية الأساسية. وبلا شك سيقول خصوم ديهارد Diehard بشأن الطاقة النووية، لدى افتراض مسار آمن لاستخداماتها المستقبلية، إن غاروين وشارباك هما من مؤيديها. وليس هنالك قارئ دقيق لهذا الكتاب يمكن أن يدعم ذلك الادعاء. ويتألف هذا الكتاب من مجموعة من النصوص ويُعدّ مساهمة شاملة وجيدة في عملية الفهم، وينبغي أن يطلع عليه كل من له اهتمامات بمشكلات الطاقة النووية.

أما بيتر هوفمان فقد وضع كتابه حول مستقبل الهيدروجين والخلايا الوقودية وعنوانه Tomorrow's Energy (طاقة الغد). وبما أنه محررٌ وناشرٌ للمطبوعة The Hydrogen & Fuel Cell Letter، فلديه معلومات حول مشاريع التطوير ذات العلاقة في العالم. وينظر المتحمسين، يُعدّ الهيدروجين وقوداً مثالياً لأنه سواء أتمّ حرقه في محرك من أجل الدفع، أم استخدم في خلية وقودية لتوليد الكهرباء فإن الإصدار الوحيد هو الماء. ومع ذلك فإن القسم الأكبر من الرأي العام يوحى بالشكوك، ومن بينها المسائل المتعلقة بالتوليد الفعال للغاز، ويمكن أن يُنظر إلى الهيدروجين كوسيط لنقل وتخزين الطاقة بدلاً من كونه مصدراً أساسياً.

يُعدّ كتاب هوفمان غنياً بالمراجع المتعلقة بالتطورات على نطاق محدود، لكنه يفتقر إلى طريقة لعرض المعلومات. وهنالك أكثر من 250 صفحة في الكتاب تخلو من شكل تخطيطي واحد، أو جدول أو صورة. ومع ذلك توجد أربع وعشرون صورة فوتوغرافية للمركبات التجريبية التي لا تضيف شيئاً إلى الفهم التقني للمشاريع التجارية والإعلان. وبالتالي سيشرح القراء المعتمدون على العلم جزءاً ذلك بالحرمان. ■

إن استبدال النفط كوقود من أجل توليد الكهرباء لن يؤسف عليه. فالنفط الخام يعدّ سلعة ذات قيمة عالية تستخدم للحرق على نطاق واسع، وبذلك نكون قد عملنا على زيادة تأثير الاحترار العالمي. وتبدو العودة إلى الاعتماد الأكبر على الفحم محتومة لا مناص منها، لكن في المدى القريب فقط، لأنه يواجه نقداً أشدّ كمواد للغازات الدفينة أكثر مما يولده النفط.

إن الطاقة النووية تتجنب غالباً وبصورة تامة هذا الخطر البيئي الأساسي للوقود الأحفوري، لكنها تتحمل عبء مخاطره وتبعياته. ففي المقام الأول هنالك علاقة واضحة بين توليد الطاقة النووية والأسلحة النووية. ومنذ عدة أعوام ذكر مؤيدو الطاقة النووية أن هذه العلاقة سواء أتمّ تصوّرها أم لا فيما يتعلق بتطبيقاتها، مع ذلك فإن الخوف المتأني على نطاق واسع من الطاقة النووية والمتمد إلى مخاطر الإشعاع عموماً، لم يتعد كثيراً. والآن أمامنا كتاب آخر بعنوان Megawatts and Megatons الذي تتوضح فيه جوانب التأثير كافة بين هذين التطبيقين للطاقة النووية وتخضع للاختبار بلا ريب، وتغدو المضامين العالمية المرعبة عارية. إن مؤلفي هذا الكتاب، Garwin وCharpak Georges، هما فيزيائيان متميزان يتمتعان بكفاءة عالية في هذا المجال. يعتمد الكتاب المذكور على عملهما باللغة الفرنسية Feux Follets et Champignon Nucleaires (النيران المتجنونة والفطور النووية) لكنه يتضمن بعض التلميحات والمعلومات.

يغطي غاروين وشارباك مجالاً عريضاً ومعقداً بشكل جريء، ولكن ترتيب عرض المقال جاء منطقياً ويشتمل النص على نقاط عملاً مهمة ودقيقة. وفي هذه المجموعة يمكنك أن تعرف موقعك. ويخلو السرد من الأخطاء وتغدو قراءته ممتعة، حتى لو كان الكتاب طويلاً والتفاصيل الواردة في النص كثيرة. ويمكن إدراك مبدأ دليلي يدعو للإعجاب من خلال الكتاب - وهو أن القارئ المهتم ينبغي عليه ألا يرفض أية تفاصيل

4- مختصر تاريخ العلوم: كما يُرى من خلال تطور الأدوات العلمية

A Brief History of Science: As Seen Through the Development of Scientific Instruments

تأليف: توماس كرمب

عرض وتحليل: كيفن جونسون**

يجب أن لا يُفاجأ القارئ، في ما يتصل بعنوان يغطي مثل هذا الحقل الواسع من المقالات، بأن هذا الكتاب يُعدّ انتقائياً حقاً بالنسبة للمواضيع التي يغطيها. يوجز توماس كرمب في المقدمة بوضوح نهجه في الكتابة. إنه يركز على العلوم الغربية في الفترة الحديثة - من القرن السادس عشر حتى الوقت الحاضر. ويقوم بمناقشة مختصرة للفترة السابقة لذلك يؤكد فقط على نجاحات العلوم الأوروبية في العالم القديم. وعندما كان كرمب يعترف بإنجازات البلدان الأخرى كالصين والهند فإنه كان يعتقد أن الأصل والميزات الاستثنائية للعلوم قد أتت من بلاد الإغريق القديمة، وهذه فكرة يمكن أن تخضع للنقاش.

وعلاوة على ذلك، فإن العمل مقتصر على ما يمكن أن يسمى بالعلوم العالية أو حسب تعبير كرمب العلوم "الدقيقة" وتعني تلك المجالات التي تغلب فيها الأسس الرياضية. وبكلمة أخرى، تلك المجالات من العلوم التي تتعامل مع تطور الفيزياء والكيمياء والفلك والفروع المرتبطة بها، وتتجاهل معظم فروع العلوم الطبيعية.

يستخدم كرمب في كتابته أسلوباً واضحاً ومقنعاً موجهاً بصراحة إلى الشخص العلماني، مع تضمينه بعض الصيغ عند الضرورة. لكل فصل عنوان وظيفي يتصل مباشرة مع الاكتشافات النوعية والتفكير العلمي اللاحق. وباستخدام هذا الشكل من الكتابة، يعالج بنجاح المواضيع المتنوعة في الكهرباء والطاقة والكيمياء. ويواصل ليبين كيف أصبحت الفيزياء في القرن التاسع عشر نهجاً موحداً في الفيزياء، وكيف أعيد ترتيبها بعد ذلك عند بزوغ النظرية الكهروضوئية وفيزياء الجسيمات. ولسوء الحظ، يفضي هذا الأسلوب العقلاني

لأن يتجاهل السياق التاريخي الأوسع الذي فيه أخذت هذه التطورات مكانها. لقد عولجت بعض هذه المسائل تحت العناوين المنفصلة من الثقافة والاتصالات، ولكن ذلك أدى إلى عزلها عن بقية الكتاب. كما أنه ضغط أيضاً موضوع التغير التقني في فصل وحيد، مما يعني أن أسلوب معالجته أضحى إلى حد ما سطحيًا. وبصورة مشابهة، فإن تعقيد هذا التاريخ يعني أن كثيراً من المواضيع الأوسع قد تَمَّت معالجتها والعرض لها بشكل سطحي.

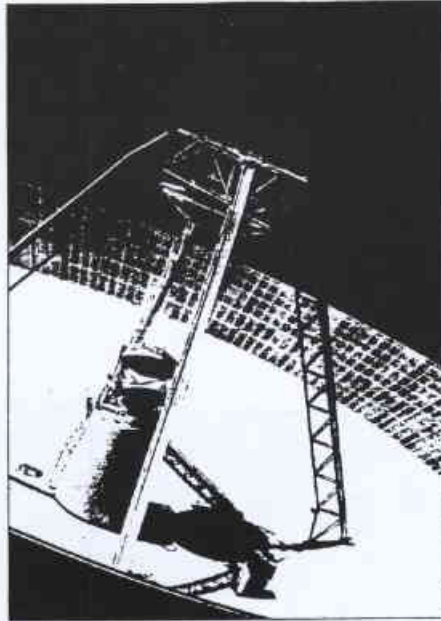
رغم التقييدات المفروضة من محاولة تغطية هذا الزخم الواسع من المواضيع، فقد أورد المؤلف قصة أكبر لبعض العلماء، ولكنها مهمة. ومن الأمثلة الجيدة على ذلك وصفه لغاليليو Galileo، الذي غالباً ما صُوِّر بالشهيد الطاهر الذليل من أجل العلم. لقد تمَّ وصفه هنا، عوضاً عن ذلك، بالداعية الشخصي الناجح الذي دافع وناصر نظرية كوبرنيك عند كل منعطف، مستخدماً فقط الدليل الذي أيد وجهة نظره. إن المجال الأوسع لهذه الروايات يعطي القارئ منظوراً عن ردِّ فعل الكنيسة الكاثوليكية لأعمال غاليليو وارتباطه بالاضطراب السياسي ضد الإصلاح الديني.

وبطريقة مماثلة، وُصف نيوتن Newton بعنق أكثر وتمَّ إظهاره كشخص أكثر واقعية بخلاف ما كان يوصف به غالباً كقديس. وقد تمَّ توقيره أيضاً إلى جانب معاصريه الأقل شهرة مثل رينيه ديكارت R. Descartes وكريستيان ويغنز C.Huygens.

فقد وُصف الأول كمتشامخ ومتحفظ، وصُوِّر الثاني كمعارض لنشر أعماله وكشخص تُعدّ حياته نموذجاً من الفرص الضائعة.

وأما العلماء الأكثر حداثة، مثل نيلز بور N. Bohr، فقد عوملوا بالمثل. إذ صُوِّر ن. بور على أنه كالأب والمركز للنهج الجديد للفيزياء ما تحت الذرية. يكشف كرمب أيضاً الطبيعة التنافسية للعلوم، والتي غالباً بقدر ما تكون معيقة فهي مساعدة. لقد جرى توضيح هذه الحالة جيداً بالنزاع الذي حصل بين وليام رامسي W. Ramsey وجيمس ديوار J. Dewar حول سدِّ الحاجة إلى الهليوم من أجل أبحاث درجات الحرارة المنخفضة. كان رامسي يتحكم بالموارد الوحيدة من الهليوم الطبيعي في بريطانيا ورفض أن يقتسمها - رغم حاجته إلى الهيدروجين السائل لأبحاثه، والتي لا يستطيع إنتاجها في ذلك الوقت إلا ديوار.

يستكشف الفصل النهائي من الكتاب "العلم الكبير" فيما يخص المصادر والآلات الضرورية للنجاح في عالم الفيزياء ما تحت الذرية والتي تكلف ملايين عديدة من



الآلات والمقارِب والاختراعات الأخرى أمور حاسمة في التقدم العلمي

* By T. Crump 2001

** ك. جونسون: متحف العلوم - لندن.

- العرض والتحليل عن مجلة Physics World, March 2002. ترجمة هيئة التحرير - هيئة الطاقة الذرية السورية.

الدولارات. لقد نوقشت مسألة البحث المتواصل عن بوزون هيغز Higgs

الوقت. يجب وضع تاريخ العلوم في السياق الحضاري الواسع بدلاً من وضعه في فراغ لا سياسي كما هو الحال غالباً. بالإضافة إلى ذلك، وبينما يجب استحسان المراجع الموجودة، فإن أهمية بعض الملاحظات السفلية مشكوك في أمرها. فمثلاً نجد أن المرجع الخاص بمقولة وليام هيرشيل W. Herschel المتعلقة بالمقرباب الذي طوله 400 قدم، والذي يشير بالرجوع إلى عمل ثانوي بدون أي مصدر لذلك، من الصعب فهم الفائدة منه وسيحبط القارئ.

باختصار فيما يتعلق بالبحوث التي تمت في سيرن CERN بجنيف. وبينما جرى الاهتمام بفيزياء الجسيمات، فإن هذا المقطع الختامي يتجاهل مشاريع العلم الكبير المشابهة التي تتم في مجالات أخرى كعلم الفلك. رغم أسلوب الكتاب المقبول، فإنه يعاني من ضعف، كعادة العديد من كتب تاريخ العلوم، من حيث أنه يطرح موضوعه من منظور معاصر. وبهذا الخصوص فقد جرى تصوير التطور العلمي كشيء محتوم مع وصف تقاناته المنتشرة كقوة من أجل الأفضل. على أية حال، يجب تقديم تبني الكنيسة الغريبة لتعاليم أرسطو Aristotle وغاليليو على ضوء الزمن الذي تمت فيه بدلاً من إدراكه مؤخراً اليوم. وأما فيما يتصل بنعت هذه الحوادث "بالخطأ" أو "على مسار خاطيء" - وهي مقاطع استعملت عدة مرات في الكتاب - فهذا ليس صحيحاً من الناحية التاريخية.

وكما ينمو العلم ويتجزأ إلى تفرعات تخصصية، فإن مجال كتابة الروايات الموسوعية لتاريخ العلوم يتناقص. إن هذا الكتاب محاولة شجاعة في تجريب وضم الجدائل المتباعدة من العلوم الحديثة بعضها مع بعض، ما تحمله من أصولها المختلفة والمتعاكسة غالباً. يقدم الكتاب مقدمة ممتعة للمواضيع الأوسع في تاريخ العلوم، ويوفر معالم مفيدة لاستكشاف الموضوع بشكل أكثر اكتمالاً. ■

ولكي تقدر تماماً كيف تطور العلم من تنافس الأفكار والنظريات، يحتاج المرء أن يأخذ بعين الاعتبار المنظور الشعبي لهذه الأشياء في ذلك



Correction:

In the issue No. 79, p.110, the key words of the report entitled "Removal of Cadmium from Phosphoric Acid by Liquid-Liquid Extraction with Topo in Kerosene" by S. K. Khorfan, are:
cadmium, phosphoric acid, topo, kerosene.

تعريف بمنشورات هيئة الطاقة الذرية المعدّة للبيع

Publications of the AEC of SYRIA

| السعر (ل.س من داخل القطر) (\$ من خارج القطر) | الشكل | منشورات عامة |
|--|----------------------------|---|
| 15 ل.س \$ 3 | كتيب مطبوع Printed Book | 1- النظائر المشعة في الحياة اليومية Isotopes Day Life (ترجمة دائرة الإعلام والترجمة والنشر) |
| 40 ل.س \$ 9 | كتيب مطبوع Printed Book | 2- ما يجب أن يعرفه الطبيب الممارس في معالجة المتعرضين للإشعاع What The General Practitioner (MD) Should Know About Medical Handling of overexposed Individuals (ترجمة قسم الوقاية والأمان) |
| 80 ل.س \$ 7 | كتاب مطبوع Printed Book | 3- مستويات التدخل المقدرة لمواجهة تلوث الطعام بالنظائر المشعة (إرشادات للتطبيق بعد الانتشار الواسع للتلوث الإشعاعي الناتج عن حادث نووي كبير) Derived Intervention Levels for Radionuclides in Food (ترجمة الدكتور إبراهيم عثمان) |
| 160 ل.س \$ 15 | كتاب مطبوع Printed Book | 4- تشعيع الغذاء (تقنية لحفظ الغذاء وتحسين سلامته) Food Irradiation (A technique for Preserving and Improving the Safety of Food) (ترجمة الدكتور نجم الدين شرابي) |
| 250 ل.س \$ 25 | كتاب مطبوع Printed Book | 5- نظرية الكم وقصتها الغريبة L'étrange Histoire des Quanta (ترجمة محمد وائل الأناسي) |
| 160 ل.س \$ 8 | كتاب مطبوع Printed Book | 6- حقائق حول تشعيع الأغذية سلسلة نشرات الحقائق صادرة عن المجموعة الاستشارية الدولية لتشعيع الأغذية Facts about Food Irradiation (ترجمة الدكتور نزار حمد) |
| 100 ل.س \$ 10 | كتاب مطبوع Printed Book | 7- الإشعاع: الجرعات - الآثار - المخاطر Radiation: Doses, Effects, Risks (ترجمة الدكتور إبراهيم عثمان - المهندسة مها عبد الرحيم) |
| 100 ل.س \$ 6 | كتيب مطبوع Printed Book | 8- دروس من حوادث وقعت في منشآت التشعيع الصناعية Lessons Learned From Accidents In Industrial Irradiation Facilities (ترجمة الدكتور محمد قعقع) |
| 200 ل.س \$ 10 | كتاب مطبوع Printed Book | 9- الاختبارات اللائاقية: طريقة التصوير الشعاعي الصناعي Industrial Radiography Method (تأليف الدكتور وفيق حرارة) |
| 300 ل.س \$ 25 | كتاب مطبوع Printed Book | 10- الطاقة الذرية لأغراض عسكرية Atomic Energy for Military Purposes (ترجمة مكتب الترجمة والتأليف والنشر) |
| 300 ل.س \$ 25 | كتاب مطبوع Printed Book | 11- معجم المصطلحات العلمية والتقنية (إنكليزي-عربي) Dictionary of Technical Terms in the Field of Atomic Energy (طبعة جديدة موسعة) |
| 350 ل.س \$ 15 | كتاب مطبوع Printed Book | 12- تثبيت النيتروجين الحيوي للأزوت الجوي Biological Nitrogen Fixation (تأليف الدكتور فواز كرد علي) |

ملاحظة: يمكن طلب هذه المنشورات من مكتب الترجمة والتأليف والنشر في هيئة الطاقة الذرية - دمشق - شارع 17 نيسان - هاتف 6111926/7.

1 - Nutritive components of *Sesbania aculeata* (whole plant) were (g/kg dry matter): CA 76, CP 144, CF 341, CL 23, NDF 562, ADF 435 and ADL 72. IVOMD was 50.7%, and values (MJ/kg dry matter) were: GE 28.27, ME 6.84 and NEL 3.50.

2 - Dry matter and crude protein yields of *Sesbania* hay were 8269 and 1190 kg/ha, respectively; and the energy produced (MJ/ha) was: GE 2338, ME 799 and NEL 607.

3 - *Sesbania* had no effects on mating rate (100%), duration of pregnancy (148.8 ± 1.5 days), birth weight (4.6 ± 1.1 kg) or weaning weight (18.8 ± 5.0 kg) of kids.

4 - There was a pronounced effect of *Sesbania* on fertility rate since percentage of does that were mated but failed to conceive reached 50%.

5 - Progesterone pattern in serum was normal in all does from feeding on *Sesbania* supplement until mating, and likewise was in does that had fertile matings; whereas, the pattern was abnormal in those in which they were mated, but failed to conceive.

Key Words

Sesbania aculeata, nutritive value, nutrition, reproduction, progesterone, radioimmunoassay, Damascus goats.

★ A short report on exploratory field experiment achieved in the Department of Agriculture, Atomic Energy Commission of Syria.

EFFECT OF ADDING PHOSPHOGYPSUM TO THE SOIL ON GROWTH, YIELD, RADIONUCLIDES, TRACE ELEMENTS AND FLUORINE ACCUMULATION IN SOME CROPS★

M. AL-OU DAT

Department of protection and safety, Atomic Energy Commission, P. O. Box 6091, Damascus, Syria

N. AL-SHARABI, S. KANACRI

Department of Biotechnology, Atomic Energy Commission, P. O. Box 6091, Damascus, Syria

ABSTRACT

Large quantities of phosphogypsum, -by product of phosphate fertilizer industry -, are stacked close to urban areas in Syria. That may pose a negative impacts on environment. Many studies have reported positive effects of phosphogypsum application on nutrient levels, physical and chemical properties of agricultural soils. There are some concerns that the application of phosphogypsum to agricultural lands may lead to the uptake of radionuclides, fluorine and trace elements by plants.

Phosphogypsum, which has radioactivity of 430 Bq/kg^{-1} , was mixed with silty-loam soil, at different rates (0, 10, 20, 40 and 80 T/ha), the experiments were carried out using chick pea, maize, cotton and spinach.

The results show that adding phosphogypsum to the soil increased infiltration rate, electrical conductivity and the concentration of available S, Mg, Ca, P. It also increased significantly the yields of studied crops. The radioactivities of shoot systems and the grain yield of crops grown in these soil-phosphogypsum mixtures were blow detection level. In addition phosphogypsum application did not result in accumulation of trace elements in soil or plants. The fluorine concentrations in plants increased but remained less than the allowable level (30 ppm).

Therefore adding phosphogypsum (at a rate of 10-20 T/ha) can be considered an effective way of improving the properties of the soil, increasing the productivity and a way of phosphogypsum utilization and to overcome its negative effect on the environment.

Key Words

phosphogypsum, radioactivity, trace elements, fluorine.

★ A short report on an exploratory field experiment achieved in the Department of Protection and Safety, Atomic Energy Commission of Syria.



consideration the influence of severe pumping in the area, leading to the formation of local depression pumping which in turn, increases the flowpaths of river and dam Euphrates waters.

Key Words

Euphrates, Rasafeh, isotope, Netpath, recharge, main residence time, salinity, sulfate, gypsum.

★ A short report on a scientific research achieved in the Department of geology, Atomic Energy Commission of Syria.

THE EFFECT OF GAMMA IRRADIATION ON THE MICROBIAL LOAD, MINERAL CONCENTRATION AND SENSORY CHARACTERISTICS OF LICORICE (GLYCYRRHIZA GLABRA L.)★

M. AL-BACHIR

Department of Radiation Technology, Atomic Energy Commission, P. O. Box 6091, Damascus, Syria.

G. LAHHAM

Faculty of Pharmacy, Damascus University, Syria

ABSTRACT

Ground licorice roots were exposed to 0, 5, 10, 15 and 20 k Gy of gamma radiation in a ^{60}Co source. Irradiated and non-irradiated samples were stored at room temperature. Microbial population, viscosity, concentration of some minerals and sensory properties of the extract were evaluated after 0 and 12 months of storage. The results indicated that, immediately after irradiation, used doses reduced the microbial count and D_{10} was at about 2 kGy. No effect was observed in total dissolved solids in the extract of licorice roots. Glycyrrhizic acid concentration in extract and viscosity of suspension produced from irradiated roots were lower than in non-irradiated ones. Sensory evaluation indicated that no significant differences ($P < 0.05$) were found in color, taste or flavor between extract produced from irradiated and non-irradiated roots. However, after 12 months of storage, mineral charges (Na^+ , Ca^{++} and K^+) concentration in extract produced from irradiated roots were lower than in non-irradiated ones, and no significant differences ($P < 0.05$) were found in viscosity between suspension of irradiated and non-irradiated roots.

Key Words

decontamination, extract characteristics, irradiation, licorice, sensory evaluation.

★ A short report on a research achieved in the Department of Radiation Technology, Atomic Energy Commission of Syria.

NUTRITIONAL EVALUATION AND EFFECT OF SESBANIA ACULEATA ON THE REPRODUCTIVE PERFORMANCE OF DAMASCUS DOES★

M. ZARKAWI, R. AL-MASRI, K. KHALIFA

Department of Agriculture, Atomic Energy Commission, P. O. Box 6091, Damascus, Syria

ABSTARCT

Nutritional value of *Sesbania aculeata*, a salt-tolerant plant was evaluated by estimating the nutritive components (crude ash CA, crude protein CP, crude fiber CF, crude lipid CL, neutral-detergent fiber NDF, acid-detergent fiber ADF and crude lignin acid-detergent lignin ADL); and the in vitro organic matter digestibility (IVOMD), metabolizable energy (ME), net energy lactation (NEL) and gross energy (GE). The effects of feeding *Sesbania aculeata* hay (whole plant) on live-weight, reproductive performance during several reproductive stages and on the serum progesterone levels in the blood of Damascus does were also determined. Results showed the following:

REPORTS

A MICROEARTHQUAKE SURVEY OF LATTAKIA DISTRICT, SYRIA[★]

M. BEYERLY

Department of Geology, Tishreen University, Lattakia, Syria

M. R. SBENATI AND R. DARAWCHEH

Department of Geology, Atomic Energy Commission, P. O. Box 6091, Damascus, Syria

J. MAKRIS AND J. STACKER

Institute of Geophysics, University of Hamburg, Germany

ABSTRACT

For delineating the active faults of Lattakia district, a microearthquake network consisting of 30 short-period, three-component digital seismic stations has been installed and operated during the period from 25 February to 12 May 2000. Analysis of the recorded microearthquake data revealed that: 1) the earthquake activity is represented by occurrence of 78 microearthquakes distributed over a broad area, nevertheless a large bulk of them clustered along Lattakia-Kelles fault, 2) some of them may be correlated with certain lineaments, 3) fault plane solutions of 3 representative events show dominant normal faulting with a small component of a strike-slip movement, 4) seismic hazard, calculated by return periods for events whose magnitude ranges between 1 to 4, shows a moderate to low earthquake activity in the studied area.

Key Words

microearthquakes, active tectonics, Syria.

★ A short report on a scientific study achieved in the Department of Geology, Atomic Energy Commission of Syria.

APPLICATION OF ISOTOPE IN STUDYING THE ORIGIN OF GROUNDWATER RECHARGE AND SALINITY IN THE RASAFEH AREA "MIDDLE EUPHRATES BASIN - THE SHAM BANK"[★]

A. AL-CHARIDEH

Department of Geology, Atomic Energy Commission, P. O. Box 6091, Damascus, Syria

ABSTRACT

By using the environmental isotopes technique. It is possible to determine the recharge of groundwater resources and establish the relation of Euphrates river with these resources, in Quaternary, Palequaternary and Neogene aquifers in the Rasafeh area of the Middle Euphrates basin (Sham Bank).

The results of the isotopic mixing model and Netpath mixing model show that Euphrates river contribution in the recharge of the groundwater reached 70% on the average compared to 30% of infiltrated rain water with general trend indicating the contribution of Euphrates River in Tortonian and Helvetian aquifers which is higher than its contribution in paleoquaternary aquifer.

Overall groundwater contains tritium. The map of tritium distribution shows the distinct zonation of groundwater circulation, which is associated with Rasafeh fault system. The main residence time is very short and correlated with high radioactivity of C-14, confirming that the groundwater returns to recent age.

In conclusion, study of salinity scenario reveals that dissolution is the main factor of high salinity, and salinity amount is basically related to SO₄ from gypsum dissolution. The interpretation of this phenomena takes in

THE IMPACT OF PHOSPHATE LOADING ACTIVITIES ON NEAR MARINE ENVIRONMENT: THE SYRIAN COAST[★]

M. S. AL-MASRI, S. MAMISH, Y. BUDEIR

Department of Protection and Safety, Atomic Energy Commission, P. O. Box 6091, Damascus, Syria

ABSTRACT

The impact of loading cargoes of phosphate ore into ships on the near marine environment at the Syrian coast has been evaluated. Results have shown a significant enhancement of ^{210}Po , ^{210}Pb and other natural radionuclides in sediment and surface water inside the port area. The highest ^{210}Po and ^{210}Pb concentrations observed in sediment were found to be 170 Bq kg^{-1} and 64 Bq kg^{-1} respectively, while ^{210}Pb and ^{210}Po concentrations in surface water ranged from 5 to 20 mBq l^{-1} and 0.93 to 3.23 mBq l^{-1} . In addition, comparable values of ^{210}Po and ^{210}Pb for all marine organisms (algae, crab and fish) suggest that their use as indicators for phosphate pollution is not recommended. However, the effect of loading cargoes on Tartous port marine environment of Tartous was found to be mainly related to wind direction where Radioactive air particulate are either being dispersed to land or sea.

Key Words

phosphate industry, marine environment, ^{210}Po , ^{210}Pb , Tartous port, Syrian coast.

★ This paper appeared in *Environmental Radioactivity* (2001).

N₂ FIXATION IN CHICKPEA: EFFECT OF HYDROQUINONE AS UREASE INHIBITOR ON THE STABILITY OF ^{15}N ENRICHMENT[★]

F. KURDALI

Department of Agriculture, Atomic Energy Commission, P. O. Box 6091, Damascus, Syria

ABSTRACT

A pot experiment was conducted to study the effect of fertilizing chickpea with ^{15}N - labelled urea alone, urea with hydroquinone, or organic plant materials on the stability of ^{15}N enrichment of available soil nitrogen. An isotopic dilution method was used to estimate N_2 fixation using a non - nodulating chickpea genotype as a reference crop.

The use of hydroquinone - containing urea as well as the use of labelled organic material resulted in a stable ^{15}N enrichment of the available soil N with time as compared with urea alone. Estimates of N_2 fixation were not affected by the three different ^{15}N - labelled fertilizer applications employed. The high N_2 fixation in chickpea, and the appropriate use of a reference crop, which has a unique N uptake pattern, can adjust the error in the estimation of N_2 fixation when a decline occurs in ^{15}N enrichment. On the other hand, the addition of hydroquinone to urea significantly increased its efficient use as a nitrogen fertilizer as compared with urea alone.

Key Words

Chickpea, Hydroquinone, N_2 - fixation, ^{15}N , Urea.

★ This paper appeared in *Communication in soil science & plant analysis* (2001).

WILL A CHIP EVERY DAY KEEP THE DOCTOR AWAY?*

L. CANHAM AND R. ASTON
pSiMedica Ltd. Worcestershire, UK

ABSTRACT

Silicon - the raw material of the microelectronics industry- can be developed into biocompatible and biodegradable material that could lead to smaller, smarter and more - interactive implants in the human body.

Key Words

chip, bionic man, implant, porous silicon, microelectronics, biocompatible, biodegradable, biomaterial, ticking tablets, anodization, etching.

* This article appeared in *Physics World*, July 2001. It has been translated into Arabic by Editorial Board, Atomic Energy Commission of Syria.

PAPERS

SIMULATION OF SUBCOOLED FLOW INSTABILITY FOR HIGH FLUX RESEARCH REACTORS USING THE EXTENDED CODE ATHLET*

A. HAINOUN
Department of Physics, Atomic Energy Commission, P.O. Box 6091, Damascus, Syria

A. SCHAFFRATH
Forschungszentrum Rossendorf (FZR) Dresden, Germany

ABSTRACT

Covering the wide range of reactor safety analysis of power reactors, consisting of leak and transients, the thermohydraulic code ATHLET is being developed by the German Society for Plant and Reactor Safety (GRS). In order to extend the application range of the code to the safety analysis of low and medium flux research reactors, a model was developed and implemented permitting a description of the steam formation in the subcooled boiling regime [1].

Considering the specific features of high flux research reactors given by both high heat flux and high flow velocity, further extension to the model of void condensation in subcooled flow has been extended and a new correlation of critical heat flux (CHF) is implemented. To validate the extended Program, the Thermal -Hydraulic Test Loop (THTL) of Oak Ridge National Laboratory (ORNL) was modeled and an extensive series of experiments concerning the onset of thermohydraulic flow instability (OFI) in subcooled boiling regime were calculated. The comparison between experiments and ATHLET postcalculation shows that the extended code can accurately simulate the thermohydraulic conditions of flow instability in a wide range of heat flux up to 15 MW/m² and inlet flow velocity up to 20 m/s. The thermohydraulic design limit characterized by the mass flux, at which the flow just becomes unstable (OFI), has been predicted in very good agreement with the experiment. However the calculated pressure drop at OFI is overestimated by a maximum deviation of about 25%. The calculated exit bulk temperature of subcooled coolant and the maximum wall temperature at OFI show a maximum deviation from experiment of 12% and 7% respectively.

Key Words

high flux research reactors, reactor safety, subcooled boiling, thermohydraulic instability, pressure loss, heat flux, THTL of Oak Ridge, ATHLET code.

* This paper appeared in *Nuclear Engineering and Design*, (2001).

ABSTRACTS OF THE SUBJECTS PUBLISHED IN THIS ISSUE

ARTICLES

**A REVIEW OF RADIATION DOSIMETRY APPLICATIONS
USING THE MCNP MONTE CARLO CODE***

**TIMOTHY D. SOLBERG, JOHN J. DEMARCO, INDRIN J. CHETTY, ALBERT V. MESA, CHRISTOPHER H. CAGNON,
ALEX N. LI, KALI K. MATHER, PAUL M. MEDIN, ALONSO R. ARELLANO AND JAMES B. SMATHERS**
Department of Radiation Oncology, UCLA School of Medicine, Los Angeles, California, 90095 - 6951, USA

ABSTRACT

The Monte Carlo code MCNP (Monte Carlo N - Particle) has a significant history dating to the early years of the Manhattan Project. More recently, MCNP has been used successfully to solve many problems in the field of medical physics. In radiotherapy applications MCNP has been used successfully to calculate the bremsstrahlung spectra from medical linear accelerators, for modeling the dose distributions around high dose rate brachytherapy sources, and for evaluating the dosimetric properties of new radioactive sources used in intravascular irradiation for prevention of restenosis following angioplasty. MCNP has also been used for radioimmunotherapy and boron neutron capture therapy applications. It has been used to predict fast neutron activation of shielding and biological materials. One area that holds tremendous clinical promise is that of radiotherapy treatment planning. In diagnostic applications, MCNP has been used to model X - ray computed tomography and positron emission tomography scanners, to compute the dose delivered from CT procedures, and to determine detector characteristics of nuclear medicine devices. MCNP has been used to determine particle fluxes around radiotherapy treatment devices and to perform shielding calculations in radiotherapy treatment rooms. This manuscript is intended to provide to the reader a comprehensive summary of medical physics applications of the MCNP code..

Key Words

Monte Carlo code, MCNP, radiation dosimetry, medical physics, treatment planning, dosimetry applications.

* This article appeared in *Radiochimica Acta*, Vol 89, 2001. It has been translated into Arabic by Editorial Board, Atomic Energy Commission of Syria.

**CANCER TREATMENT USING Bi-213 AND Ac-225
IN RADIOIMMUNOTHERAPY***

C. APOSTOLIDIS, R. CARLOS-MARQUEZ, W. JANSSENS, R. MOLINET, T. NIKULA, A. OUADI
Institute for Transuranium Elements (ITU), Division of Nuclear Chemistry, Karlsruhe, Germany

ABSTRACT

Radioimmunotherapy is an innovative cancer therapy in which a radioactive charge is connected to a cancer cell-specific vector to selectively kill targeted tumor cells.

Key Words

radioimmunotherapy, alpha-immunotherapy, alpha-emitters, monoclonal antibody, Bi-213 generator, radioactive conjugate, Bi-213 isotope, Ac-225 isotope, micrometastatic tumors, chelates, peritoneal carcinoma, Ra-224 isotope, ankylosing spondylitis.

* This article appeared in *Nuclear News*, December 2001. It has been translated into Arabic by Editorial Board, Atomic Energy Commission of Syria.

THE ORIGIN OF GROUNDWATER RECHARGE AND SALINITY
IN THE RASAFEH AREA "MIDDLE EUPHRATES BASIN - THE SHAM BANK"

- THE EFFECT OF GAMMA IRRADIATION ON M. AL-BACHIR, 87
THE MICROBIAL LOAD, MINERAL CONCENTRATION G. LAHHAM
AND SENSORY CHARACTERISTICS OF LICORICE (GLYCYRRHIZA GLABRA L.)
- NUTRITIONAL EVALUATION AND EFFECT M. ZARKAWI, 89
OF SESBANIA ACULEATA ON THE REPRODUCTIVE R. AL-MASRI, K. KHALIFA
PERFORMANCE OF DAMASCUS DOES
- EFFECT OF ADDING PHOSPHOGYPSUM TO M. AL-OU DAT, 91
THE SOIL ON GROWTH, YIELD, RADIONUCLIDES, N. AL-SHARABI, S. KANACRI
TRACE ELEMENTS AND FLUORINE ACCUMULATION IN SOME CROPS

SELECTED NEW BOOKS

(Review and analysis)

-
- HUBBERT'S PEAK: THE IMPENDING By: Kenneth S. Deffeyes 94
WORLD OIL SHORTAGE OVERVIEW & ANALYSIS: STUART YOUNG
- MEGAWATTS AND MEGATONS: A TURNING BY: Richard L. Garwin & G. Charpak ... 94
POINT IN THE NUCLEAR AGE ? OVERVIEW & ANALYSIS: STUART YOUNG
- TOMORROW'S ENERGY: HYDROGEN, FUEL BY: P. Hoffmann 94
CELLS AND THE PROSPECTS FOR OVERVIEW & ANALYSIS: STUART YOUNG
A CLEANER PLANET
- A MODERN VIEW OF THE HISTORY OF SCIENCE DYNAMICS: ... BY: T. Crump 96
A CASE STUDY IN MECHANICAL VIBRATION OVERVIEW & ANALYSIS: KEVIN JOHNSON

ABSTRACTS OF THE SUBJECTS PUBLISHED IN THIS ISSUE IN ENGLISH. 104

CONTENTS

ARTICLES

- A REVIEW OF RADIATION DOSIMETRY TIMOTHY D. 7
APPLICATIONS USING THE MCNP MONTE CARLO CODE SOLBERG et al
- CANCER TREATMENT USING Bi-213 AND Ac-225 C. APOSTOLIDIS et al. 29
IN RADIOIMMUNOTHERAPY
- WILL A CHIP EVERY DAY KEEP L. CANHAM AND 35
THE DOCTOR AWAY ? R. ASTON
-

NEWS

- GOING FOR GOLD NATURE 42
- BEEFING UP THE STRONG FORCE PHYSICS WORLD 43
- SLICK SWITCHING OF X-RAYS NATURE 45
- PUTTING METALS INTO POLYMERS SCIENCE 46
- LIGHT WORK WITH WATER NATURE 49
- NEW PATHS TO THE ULTIMATE THEORY PHYSICS WORLD 50
- COLLISIONS FEEL THE COLD PHYSICS WORLD 52
- FOOTBALL PHYSICS PHYSICS WORLD 53
-

PAPERS (Published worldwide by the Syrian A. E. C. Staff)

- SIMULATION OF SUBCOOLED FLOW INSTABILITY A. HAINOUN, 60
FOR HIGH FLUX RESEARCH REACTORS USING A. SCHAFFRATH
THE EXTENDED CODE ATHLET
- THE IMPACT OF PHOSPHATE LOADING M. S. AL-MASRI et al 69
ACTIVITIES ON NEAR MARINE ENVIRONMENT: THE SYRIAN COAST
- N₂ FIXATION IN CHICKPEA: EFFECT OF HYDROQUINONE F. KURDALI 74
AS UREASE INHIBITOR ON THE STABILITY OF ¹⁵N ENRICHMENT
-

REPORTS (Unpublished works of the Syrian A. E. C. Staff)

- A MICROEARTHQUAKE SURVEY OF M. BEYERLY et al 83
LATTAKIA DISTRICT, SYRIA
- APPLICATION OF ISOTOPE IN STUDYING A. AL-CHARIDEH 86

Notice: Scientific matters and different inquiries; subscriptions, address changes, advertisements and single copy orders, should be addressed to the journal's address:

Damascus, P.O. Box 6091 Phone 6111926/7, Fax 6112289, Cable; TAKA.

Subscription rates, including first class postage charges:

| | |
|--------------------------|---------------------------|
| <i>a) Individuals</i> | <i>\$ 30 for one year</i> |
| <i>b) Establishments</i> | <i>\$ 60 for one year</i> |
| <i>c) For one issue</i> | <i>\$ 6</i> |

It is preferable to transfer the requested amount to:

The Commercial Bank of Syria N-13 P.O. Box 16005 Damascus-Syria account N-3012|2

Cheques may also be sent directly to the journal's address.

The views expressed in any signed article in this journal do not necessarily represent those of the AEC of Syria, and the commission accepts no responsibility for them.



AALAM AL-ZARRA

JOURNAL OF THE ATOMIC ENERGY COMMISSION OF SYRIA

A journal published in Arabic six times a year, by the Atomic Energy Commission of Syria. It aims to disseminate knowledge of nuclear and atomic sciences and of the different applications of atomic energy.

N° 80

17th Year

JULY/AUGUST 2002

Managing Editor

Dr. Ibrahim Othman

Director General of A. E. C. S.

Editorial Board

Dr. Tawfik Kassam (*Editor In-Chief*)

Dr. Mohammed Ka'aka

Dr. Fouad Al-Ijel

Dr. Ahmad Haj Said

Dr. M. Fouad Al-Rabbat

